



UNIVERSITAT POLITÈCNICA DE CATALUNYA
BARCELONATECH

Escola Politècnica Superior d'Enginyeria
de Manresa

Treball Final de Màster

DISSENY D'UNA LÍNIA DE METRO A MANRESA

Màster Universitari en Enginyeria de Mines Curs 18/19

Autor: David López Burgos

Director: David Parcerisa Duocastella

Data: 20/10/2019

Localitat: Manresa

Primerament, vull agrair en particular al meu tutor d'aquest projecte de final de màster David Parcerisa Duocastella, sense la seva ajuda i coneixements no hagués sigut possible la realització d'aquest estudi i sobretot per la amabilitat i la proximitat a l'hora de solucionar tots els dubtes i qüestions.

També m'agradaria agrair a la meva família, a la meva parella Cristina, els meus pares Fernando i Conxita i al meu germà Ferran, sense el seu suport moral i la seva ajuda res del plasmat en aquest treball hagués sigut possible.

Finalment, i no menys importants, a tots i cada un dels professors i professores de l'EPSEM, ja que amb les seves ganes i energia converteixen els estudis en un veritable viatge a Ítaca.

A tots vosaltres, gracies.

RESUM

El present treball consisteix en la presentació d'un mètode de modelització geològica 3D amb el software *Vulcan* de la zona de Manresa per a, posteriorment, proposar dues seccions de túnel ferroviari amb capacitat per a dos vagons de metro al subsòl de la pròpia ciutat.

Les dades de les que es parteix són les dades públiques disponibles a la web de ICGC. D'aquestes dades s'han utilitzat principalment tots els sondejos disponibles a la zona d'estudi, un total 374 incloent cales i penetròmetres. A part s'ha fet ús de la cartografia geològica 1:25000 del full corresponent a Manresa, de la cartografia geològica 1:50000 del Bages i de la base topogràfica municipal 1:5000.

Per a la modelització del subsòl s'han tractat individualment cada un dels sondejos per a generar una base de dades dividida en tres taules, per a això s'han decidit quins són els horitzons que s'han volgut representar que seran els que contindran la línia de metro. En aquest cas els horitzons modelitzats han estat els corresponents als terciaris marins i continentals, als quaternaris que s'han dipositat a sobre i, per últim, els reblons antròpics i vegetals que es troben per sobre tant dels sòls quaternaris com dels massissos terciaris.

Donada la poca representativitat de les dades de partida, el present treball s'ha continuat amb dades obtingudes de la literatura consultada i plasmada a la bibliografia ja que no s'aconsegueix un model fiable amb les dades públiques disponibles.

Posteriorment es proposen dues seccions per a la línia de metro, una de circular per a extreure amb tuneladora i una altra per a l'extracció amb mètodes convencionals seguint el Nou Mètode Austríac i el mètode Belga. Per a les simulacions geotècniques del massís contenidor del túnel s'han utilitzat els softwares *RocData*, per a les propietats del massís rocós; *Examine2D*, per a comprovar esforços a les parets del túnel i possibles trencaments; *Dips*, per al càlcul de despreniments al interior del túnel per cunyes i *RocSupport*, per al càlcul dels sosteniments de la secció circular.

Finalment, seguint la normativa actual en matèria de túnels ferroviaris, es decanta per a la construcció de la línia de metro seguint el Nou Mètode Austríac per als massissos quaternaris marins i continentals i el mètode Belga per a poder travessar el terreny fallat que es troba al sud-est de Manresa.

ABSTRACT

The present work paper consists in the presentation of a 3D geological modelling with *Vulcan* software in the Manresa's zone for, later, propose two rail tunnel sections with enough capacity for two subway wagons in the subsoil of the city.

The starting data is the public data available at the web page of ICGC. Of this data it has been used mainly all the drill holes available at the studied area, a total of 374 including manual drill holes and penetrometers. Apart it has been used the geological cartography 1:25000 of the Manresa's sheet, the geological cartography 1:50000 of Bages and the municipal topographical base 1:5000.

For the modelling of the subsalt each drill hole has been treated individually in order to generate a database divided in four spreadsheets, to do so it has been decided which are the horizons that are wanted to be represented and which are the containers of the subway line. In that case the modelled horizons are the ones corresponding with the marine and continental tertiaries, the quaternaries that has been deposited on their top and, finally the anthropic and vegetation rivets that can be found above the tertiary masses and quaternary soils.

Due the poor representativeness of the starting data, the present work paper has been continued with the data obtained from the consulted literature available at the bibliography since a reliable model has not been achieved with the public data available.

Later two subway lines are proposed, one circular to be extracted with a tunnelling machine and another one to be extracted with conventional methods following the New Austrian Method and the Belgic method. For the geotechnical simulations of the container mass of the tunnels the RockData software has been used; Examine2D, to check the stresses in the tunnel walls and its breaks; Dips, to compute the landslides inside the tunnel for wedges and RocSupport, for the calculation of the supports of the circular section.

Finally, following the current standards on rail tunnels, it prefers to build the subway line following the New Austrian Method for the marine and continental quaternary massifs and the Belgian method to cross the failed terrain that is in the south- east of Manresa.

ÍNDEX

1. INTRODUCCIÓ	1
2. OBJECTIUS	2
3. MARC GEOGRÀFIC I GEOLÒGIC	3
3.1. MARC GEOGRÀFIC	3
3.2. MARC GEOLÒGIC	4
4. MODELITZACIÓ GEOLÒGICA 3D	8
4.1. TAULA "COLLAR"	8
4.2. TAULA "SURVEY"	9
4.3. TAULA "GEOL"	9
4.4. TAULA "ASSAY"	11
4.4.1. SPT	12
4.4.2. DPSH	12
4.4.3. Borros	13
4.4.4. Correlació entre assajos dinàmics	13
4.4.5. RQD	13
4.5. MODELITZACIÓ AMB <i>VULCAN</i>	14
5. PROPOSTA DE SECCIONS DEL TÚNEL	27
5.1. SECCIÓ CIRCULAR PER A TUNELADORA	28
5.2. SECCIÓ PER MÈTODES CONVENCIONALS	29
6. MODELITZACIÓ GEOTÈCNICA	30
6.1. PROPIETATS DEL MASSÍS ROCÓS AMB <i>ROCDATA</i>	30
6.2. CÀLCUL DE LES TENSIONS ELÀSTIQUES I ELS DESPLAÇAMENTS AMB <i>EXAMINE2D</i>	34

6.3. CÀLCUL DEL REVESTIMENT DE LA SECCIÓ CIRCULAR AMB ROCSUPPORT.....	37
6.4. ESTUDI DE DESPRENIMENTS PER CUNYES AMB DIPS	40
7. NOU MÈTODE AUSTRIAC I MÈTODE BELGA.....	41
7.1. NOU MÈTODE AUSTRIAC.....	41
7.2. MÈTODE BELGA.....	42
8. CONCLUSIONS.....	44
9. BIBLIOGRAFIA	45
10. ANNEXOS.....	47
10.1. TAULA "COLLAR"	47
10.2. TAULA "SURVEY"	56
10.3. TAULA "GEOL"	65
10.4. TAULA "ASSAY"	96
10.5. TAULA "GEOL" MODIFICADA.....	156
10.6. EXAMINE2D	199
10.7. FAMÍLIES DE DISCONTINUITATS	217
10.8. MODEL GEOLÒGIC 3D.....	219

ÍNDEX D'ACRÒNIMS

ICGC	Institut Cartogràfic i Geològic de Catalunya
EBgm ₂	Gresos grisos i, en menor porció, conglomerats grisos
EBlg	Lutites, gresos i conglomerats, vermells
EPIg	Lutites vermelles amb intercalacions de gresos vermells
Qac	Llims sorrencs amb graves disperses
Qt ₀	Graves polimíctiques i sorres, amb un percentatge baix de llims
Qt ₁	Graves polimíctiques, sorres, i llims
Qt ₂	Graves, sorres, i llims
Qt ₃	Graves, sorres, i llims
Qt ₅	Graves i blocs ben rodats amb matriu sorrenca
TEC	Materials terciaris continentals
TEM	Materials terciaris marins
TER	Materials terciaris unificats
DHID	<i>Drillholle ID</i> – Denominació del sondeig
TD	<i>Total Depth</i> – Profunditat total
SPT	<i>Standard Penetration Test</i> - Assaig de Penetració Standard.
DPSH:	<i>Dynamic probing super heavy</i> - Proba de penetració dinàmica superpesada
RQD:	<i>Rock Quality Designation</i>
GSI	<i>Global Strenght Index</i>

ÍNDEX DE FIGURES

Il·lustració 1 Situació del àrea d'estudi.....	3
Il·lustració 2 Mapa geològic de la comarca de Bages. [dibuix Oriol Oms] de la web 'El medi Natural del Bages.	5
Il·lustració 3 Esquema de relacions estratigràfiques de la zona de Manresa	6
Il·lustració 4 Mapa geològic 1:25.000 de Manresa 363-1-2 (1-28)	6
Il·lustració 5 Disposició dels sondejors a la cartografia geològica	10
Il·lustració 6 Anàlisis del sondeig GN_3778 S-2	11
Il·lustració 7 Representació de sondejors i vista en detall inclinada	15
Il·lustració 8 Base topogràfica 1:5000 i sondejors.....	16
Il·lustració 9 Superfície topogràfica.....	17
Il·lustració 10 Error FixDHD	18
Il·lustració 11 Vista en perspectiva de les malles	19
Il·lustració 12 Vista en planta de la malla ANT	19
Il·lustració 13 Vista en planta de la malla Qac.....	20
Il·lustració 14 Vista en planta de la malla Qt1	21
Il·lustració 15 Vista en planta de la malla Qt3.....	21
Il·lustració 16 Vista en planta de la malla TER	22
Il·lustració 17 Secció nord-oest, sud-oest de la disposició del terra de cada horitzó	22
Il·lustració 18 Mapa geològic escala 1:25000	24
Il·lustració 19 Tall núm. 1 del model geològic.....	25
Il·lustració 20 Tall núm. 2 del model geològic.....	25

Il·lustració 21 Tall núm. 3 del model geològic.....	25
Il·lustració 22 Núvol de sondejos del sector nord-est del tall núm. 2.....	26
Il·lustració 23 Representació de l'amplada de la corona en túnels ferroviaris.....	30
Il·lustració 24 GSI per a roques heterogènies	31
Il·lustració 25 Càlculs a partir de la evolvent de ruptura Hoek-Brown amb <i>RocData</i> per a TEM.....	32
Il·lustració 26 Càlculs a partir de la evolvent de ruptura Hoek-Brown amb <i>RocData</i> per a TEC.....	33
Il·lustració 27 Càlculs a partir de la evolvent de ruptura Hoek-Brown amb <i>RocData</i> per a la falla.....	33
Il·lustració 28 Desplaçaments de la secció cilíndrica per la falla.....	35
Il·lustració 29 Q-System	36
Il·lustració 30 Resultats per al càlcul de sosteniment pel Q-System	37
Il·lustració 31 Gràfica elasto-plàstica per TEM	38
Il·lustració 32 Gràfica elasto-plàstica per TEC	38
Il·lustració 33 Gràfica elasto-plàstica per a la falla	39
Il·lustració 34 Plans de les discontinuitats	40
Il·lustració 35 Seqüència d'excavació del Nou Mètode Austríac	41
Il·lustració 36 Seqüència d'excavació del mètode Belga.....	42

1. INTRODUCCIÓ

Manresa és una ciutat en constant creixement, capital de comarca i única localitat que té una sèrie de serveis que proveeix a un gran nombre de municipis propers com ara tres hospitals, dues universitats, diferents departaments autonòmics i regionals, etc. El transport públic a l'interior de la ciutat és lent i ineficaç fent que la majoria de les persones optin per cotxes propis per a desplaçar-se. Ja fa temps que entre els ciutadans de Manresa es parla sobre la possibilitat d'instal·lar un metro al subsòl de la ciutat per a ajudar a aquests desplaçaments interns.

A Catalunya, gracies a l'Institut Cartogràfic i Geològic de Catalunya (ICGC), es disposa d'una sèrie de dades públiques per a tota la ciutadania com sondejors, cartografia geològica, cartografia topogràfica, etc. en diferents formats que poden ser tractades amb softwares especialitzats.

El present treball estudia la creació d'un model geològic 3D i la secció de dos tipus de túnel per a metro, un excavat amb tuneladora i un altre mitjançant mètodes d'extracció convencionals, com ara el mètode Belga o el nou mètode Austríac.

Per a la creació del model geològic es fan servir tots els sondejors disponibles de l'àrea de Manresa i rodalies disponibles al *Geoíndex* del ICGC juntament amb mapes geològics i topogràfics. Aquests mapes i sondejors son tractats amb el software *Vulcan* per aconseguir un model geològic el més fiable possible a la realitat que permeti determinar el traçat i profunditat de la línia de metro.

Posteriorment, es proposa unes seccions per a la línia de metro segons la normativa vigent utilitzant diversos softwares de la companyia Rocscience que permeten fer un estudi geotècnic dels esforços rebuts al túnel, les possibles fractures i esfondraments, els revestiments i subjeccions, etc.

L'última part del treball es centra en la excavació del túnel amb els dos mètodes proposats, un amb tuneladora i revestiment de les parets, i un altre amb una combinació del mètode Belga, també conegut com a mètode clàssic de Madrid o mètode tradicional, amb el mètode Austríac, depenent de la qualitat del macís rocós.

Per acabar, es fa una conclusió on s'extreuen i es discuteixen els resultats obtinguts al llarg del treball.

2. OBJECTIUS

Els objectius que es volen assolir durant la realització del present treball són els de utilitzar els diversos softwares utilitzats a la EPSEM durant la realització del Màster Universitari en Enginyeria de Mines i ampliar el domini sobre aquests per aprofundir en les seves possibilitats i extreure dades efectives.

A la part de la modelització geològica 3D el software que s'utilitza és el *Vulcan* de la companyia *Maptek* i els objectius en concret d'aquest apartat són:

- Tractar i adequar dels sondejors per a la creació de la base de dades.
- Interpol·lar els diversos sondejors per a la creació d'un model estratigràfic.
- Generar els sòlids dels diferents horitzons obtinguts a les malles provinents de la interpolació dels sondejors.

Durant l'estudi geotècnic s'utilitzen diversos softwares de la companyia *Rocscience* que tenen com a objectiu:

- Estudiar els paràmetres del massís rocós i càlcul d'esforços a partir de l'envoltant de fractura amb el software *RocData*.
- Calcular els esforços als quals estarà sotmès el túnel amb el software *Examine2D*.
- Estudiar la possibilitat de caigudes de blocs per formació de cunyes amb el software *Dips*.
- Determinar els diferents tipus de sosteniments per a la secció de tuneladora amb el software *RocSupport*.

Aquest treball té com a últim objectiu estudiar els mètodes d'excavació de túnels per a estructura ferroviària més emprats actualment seguint la normativa vigent.

3. MARC GEOGRÀFIC I GEOLÒGIC

3.1. Marc geogràfic

L'àrea d'estudi del present treball es centra als voltants de la ciutat de Manresa, concretament entre les coordenades 396745, 4627000 i la 406550, 4627100 en el sistema de referència ETRS89 tal com es pot observar a la Il·lustració 1.



Il·lustració 1 Situació del àrea d'estudi

Aquestes coordenades comprenen en la seva totalitat els municipis de Manresa i Sant Joan de Vilatorrada, així com sectors dels municipis de Sant Fruitós de Bages, el Pont de Vilomara i Sant Salvador de Guardiola.

La zona d'estudi es troba a l'interior del Pla de Bages, amb una altitud aproximada de 300 m.

El punt d'interès de la zona, a on es centra la creació del model geològic i la proposta de la línia de metro és el municipi de Manresa, capital de la comarca del Bages. El terme té una extensió aproximada de 41 km². Al municipi es pot accedir per carretera per les carreteres C-55, C-16, C-25 o C-37, per l'autovia A-2 o per l'autopista AP-7 i amb tren per les línies R4 i R12 de Renfe i R5 i R50 dels FGC. L'orografia està marcada per la presència de cinc turons.

Per l'àrea d'estudi hi transcorren dos rius principals, el Cardener i el Llobregat, que conflueixen pocs quilòmetres per sota.

3.2. Marc geològic

El Pla de Bages es troba dins de la Conca geològica de l'Ebre a la part oriental d'aquesta, concretament a la Depressió Central Catalana. Malgrat formar part d'aquesta conca, ni l'àrea d'estudi ni cap punt de la Catalunya central estan drenats pel riu amb el que comparteixen nom.

La Conca geològica de l'Ebre es caracteritza per ser una de les conques sedimentaries més grans de la Península Ibèrica amb una extensió aproximada de 100.000 km² estenent-se per les comunitats autònomes de Catalunya, Aragó, Navarra i la Rioja.

La Conca geològica de l'Ebre forma part amb els pirineus de la conca de avantpaís dels Pirineus, caracteritzada principalment per la evolució tectònica dels encavalcaments, produïts pels esforços compressius als que es va veure sotmesa la conca, va fer que la part del Pirineus actuals es posés per sobre de la Conca geològica de l'Ebre, creant una depressió. Aquesta es va omplir dels sediments provinents de la zona que va quedar elevada després del encavalcament del terreny. Aquests esforços compressius van fer que part de l'oceà Atlàntic quedés "atrapat" sobre la conca (Oms, López-Blanco i Vilaplana 2016).

Amb el pas del temps els sediments provinents de la part dels pirineus van anar cobrint per la zona nord-oest el mar que s'havia generat a la conca, creant un front deltaic. Aquest front deltaic es situava a la zona est de Manresa, tal com es pot observar a la il·lustració 2.

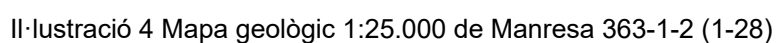
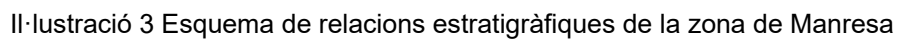


Il·lustració 2 Mapa geològic de la comarca de Bages. [dibuix Oriol Oms] de la web 'El medi Natural del Bages.

Els dos sediments del front deltaic pertanyen al període geològic del Paleogen (d'ara en endavant anomenat terciari).

Degut als sediments dipositats a sobre del mar interior diferenciarem dos tipus de formacions terciàries: el terciari marí, que es va consolidar sota del mar en absència d'oxigen, formant estrats de margues de colors entre gris, verd i blau i gresos grisos, alternant-se entre ells en gruixos d'estrat de més d'un metre i ben consolidats a causa de la pressió de l'aigua juntament a la pressió dels propis sediments que es dipositaven per sobre, i el terciari continental, format pels sediments que van quedar per sobre del nivell del mar, amb margues i lutites de color vermell a causa de l'oxidació del ferro amb el contacte de l'aire, gresos vermells i conglomerats, també ben consolidats, però menys a causa de l'absència de la pressió de l'aigua.

És per això que el terciari continental es troba per sobre del terciari marí tal com es pot observar a la il·lustració 3 extreta del mapa geològic 1:25.000 de Manresa 363-1-2 (1-28).



Pàgina 6

corresponen a EBgm2, consolidats al Bartonià, d'origen marí com a conseqüència de les fàcies de barra de la desembocadura i front deltaic. Per sobre, a la part nord-oest, es troba el EBlg, també del Bartonià, corresponents al ventall al·luvial d'origen continental. A sobre d'aquesta formació paleògena es troba el EPlg, consolidat al Priabonià com a conseqüència dels sediments de la plana al·luvial i pertanyents a la Formació Artés.

Per sobre de tots aquests materials d'origen terciari, consolidats com a massís rocós, es troben estesos per la major part de la superfície de Manresa sediments geològicament moderns poc consolidats corresponents al període geològic Cenozoic (d'ara en endavant quaternari). Aquests sediments, degut a que no han estat sotmesos encara a grans pressions, formen sòls de fins a la vintena de metres en estrats alternats d'argiles, llims, sorres i graves. Principalment es troben materials del Qac, menys a les proximitats dels rius on es troben els Qt₀, Qt₁, Qt₂ i Qt₃, i el Qt₅, per sobre dels turons del Puig Berenguer i del Castell.

A la zona est de Manresa es troben, per sota del quaternari, materials TEC; això és degut a la falla que s'observa a la il·lustració 4. El material de la dreta de la falla va fer baixar els materials TEM fent que es dipositessin uns estrats de TEC. També a la il·lustració 4 es poden observar els afloraments a la zona de Manresa.

A part d'aquesta falla no es troben gaires accidents tectònics destacats. El terreny es troba diaclasat formant una quadrícula amb una inclinació del estrats en direcció al nord-oest (Revilla Sala 2010).

4. MODELITZACIÓ GEOLÒGICA 3D

Per a la correcta modelització geològica 3D de la zona d'estudi s'han descarregat tots els sondejors, cales i penetròmetres, disponibles al Geoíndex del ICGC («Geoíndex - Sondejors. Institut Cartogràfic i Geològic de Catalunya»).

En total s'han analitzat 374 sondejors, distribuïts de la següent manera:

- 226 sondejors
- 82 cales
- 66 penetròmetres

La ubicació i nom d'aquests sondejors es pot trobar a l'annex *TAULA "COLLAR"*.

La primera part en la modelització geològica de la zona d'estudi és la d'analitzar i preparar cada un dels sondejors per a la creació de la base de dades en un format compatible amb el software *Vulcan*. Aquesta base de dades es compon de 4 fulles de càlcul separades amb tota la informació necessària. Les taules generades són la "Collar", la "Survey", la "Geol" i la "Assay".

Per a la correcta lectura de les taules s'ha de canviar la configuració del sistema informàtic per a utilitzar el punt com a símbol decimal i la coma per a la separació de milers, sense aquest canvi *Vulcan* mal interpreta les dades donant resultats erronis a la generació de la base de dades.

4.1. Taula "Collar"

Aquesta taula té com a finalitat situar la boca de cada sondeig a l'espai i determinar-ne la profunditat total. Aquesta taula ha de contenir valors únics al nom del sondeig, el que vol dir que no poden haver-hi dos sondejors amb el mateix nom. Les columnes que formen la taula "collar" són les següents:

- DHID: Nom del sondeig. Aquesta columna serà la clau de la base de dades, la resta de taules relacionaran les seves dades a partir d'aquesta denominació de sondeig.
- EAST: Coordenada X del sondeig en projecció ETRS89 zona 31N.
- NORTH: Coordenada Y del sondeig en projecció ETRS89 zona 31N.
- ELEV: Coordenada Z del sondeig respecte al nivell del mar.
- TD: Profunditat total del sondeig.

La taula "Collar" es pot consultar a l'annex 1.

4.2. Taula “Survey”

La taula “Survey” és l’encarregada de la inclinació i la orientació dels sondejos. Les columnes que la formen són:

- DHID: El camp clau que relaciona la taula “Survey” amb la taula “Collar”.
- DEPTH: Profunditat de cada final de tram amb inclinació o orientació diferent.
- AZIM: Orientació del sondeig.
- DIP: Inclinació del sondeig.

Com que al present treball tots els sondejos són de poca profunditat, no s’ha trobat cap tipus d’inclinació ni orientació en cap d’ells, pel que a la columna “azim” es posa un 90 a tot que correspon a 90° i -90 a la columna “dip” corresponent a -90°. Amb aquestes dades s’indica a Vulcan que tots els sondejos són verticals. Al no haver-hi inclinacions, la columna “depth” correspon amb el TD dels sondejos.

La taula “Survey” es pot consultar a l’annex 2.

4.3. Taula “Geol”

La taula “Geol” és la que conte tota la informació geològica dels sondejos a la base de dades, és el cos principal d’aquesta i la que s’interpolerà per a poder generar el model estratigràfic de la zona d’estudi. Per a omplir la taula s’ha d’analitzar tots els estrats geogràfics del sondeig i determinar-ne la procedència.

Les columnes que formen aquesta taula són:

- DHID: El camp clau que relaciona la taula “Geol” amb la taula “Collar”.
- FROM: La profunditat d’inici de l’horitzó a afegir al model.
- TO: La profunditat final del horitzó que es vol afegir al model.
- THICK: La potència de capa d’aquest horitzó.
- SEAM: El nom de l’horitzó.
- LITHO: La litologia que compona l’horitzó.

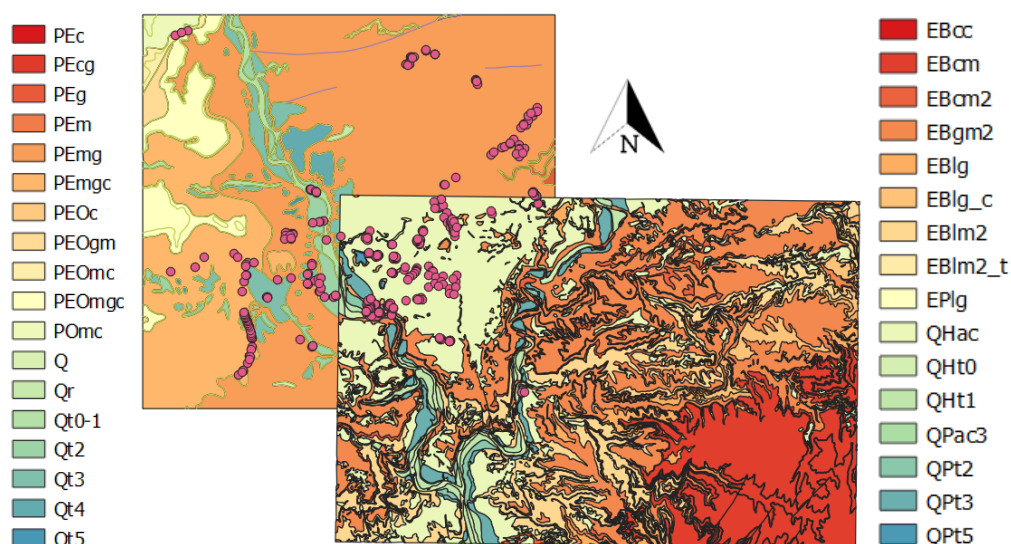
Abans de començar a omplir la taula “Geol” s’ha de definir quins són els horitzons que es volen estudiar i codificar-los per a utilitzar sempre les mateixes dades. En aquest treball s’han generat els horitzons ANT, com a horitzó de rebló antròpic; VEG, com a terres vegetals i de conreu; Qt1, Qt2 i Qt3 com a depòsits quaternaris; TEM, com a massís rocós terciari d’origen marí i finalment TEC per a el massís rocós d’origen continental.

A la Taula 1 es pot veure la codificació que s’ha emprat per a indicar la litologia de cada tram d’horitzó.

LITHO	LITOLOGIA
AN	Rebló antròpic
VE	Terra vegetal i de conreu
CL	Argil·la
MU	Llim
SD	Sorra
GR	Grava
MG	Marga
LT	Lutita
GS	Gres
CG	Conglomerat

Taula 1 Codificació de les litologies a la taula "Geol"

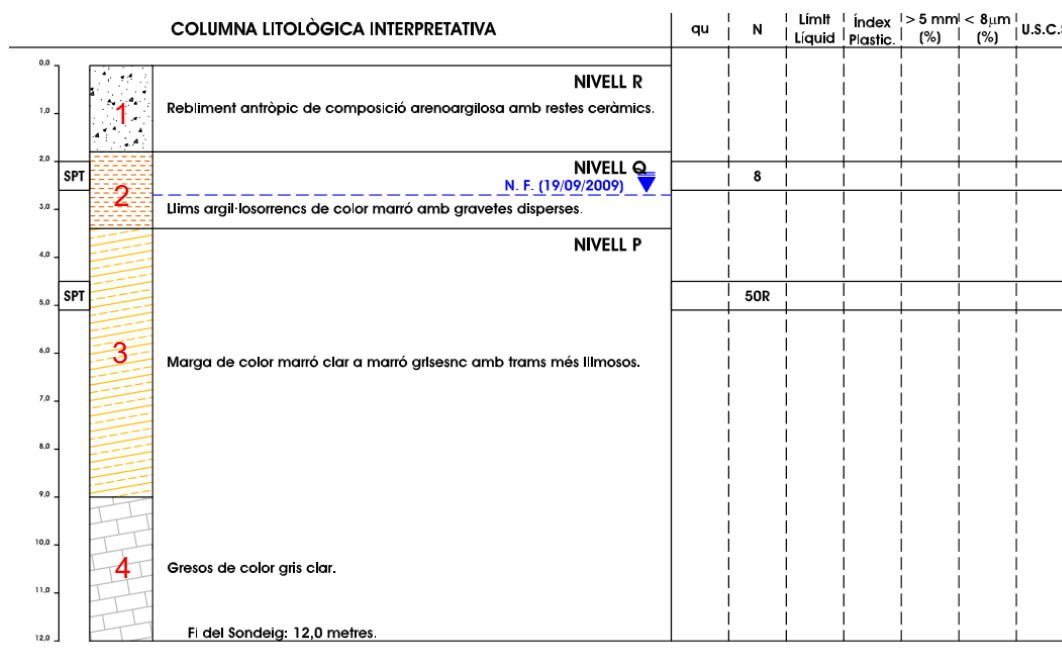
Per a poder analitzar cada un dels sondejos que s'utilitzen per a la modelització s'utilitza el suport del software lliure QGIS. Des de la web del ICGC («Cartografia geològica. Institut Cartogràfic i Geològic de Catalunya») es descarrega el mapa vectorial en format shape a escala 1:25000 corresponent a Manresa 363-1-2 (71-28). Donat que Catalunya no està cartografiada geològicament en la seva totalitat alguns dels sondejos cauen fora de la fulla. Per a solucionar el problema s'utilitza també el mapa geològic comarcal a escala 1:50000. Amb la taula "Collar" es posen tots els sondejos sobre la cartografia geològica tal com s'observa a la il·lustració 5.



Il·lustració 5 Disposició dels sondejos a la cartografia geològica

Fent ús de les eines de les que disposa QGIS, es relacionen els mapes espacialment amb els sondejos per a traspassar la informació dels afloraments dels diferents horitzons a cada un dels sondejos. Aquesta informació és de molta utilitat ja que permet determinar a quin quaternari comença el sondeig i permet relacionar sondejos propers per analitzar si les dades que contenen són fiables i tenen cohesió.

A la il·lustració 6 s'observa el sondeig GN_3778_S-2 i com s'omple la part de la taula "Geol" corresponent a aquest sondeig.



1	GN_3778 S-2	0	1.9	1.9	ANT	AN
2	GN_3778 S-2	1.9	3.3	1.4	Qac	MU
3	GN_3778 S-2	3.3	9	5.7	TEC	MG
4	GN_3778 S-2	9	12	3	TEC	GS

Il·lustració 6 Anàlisi del sondeig GN 3778 S-2

La taula “Geol” es pot consultar a l’annex 3.

4.4. Taula “Assay”

L'última taula creada per a la generació de la base de dades és la taula "Assay", aquesta conté la informació geotècnica dels sondejos. Aquesta taula és la que dona les propietats geotècniques a cada bloc del model de blocs. S'hi poden afegir tots els assajos que es vulguin, tant assajos in-situ com assajos de laboratori. Està formada per les columnes:

- DHID: El camp clau que relaciona la taula "Assay" amb la taula "Collar".
- FROM: La profunditat d'inici de l'assaig a afegir al model.
- TO: La profunditat final de l'assaig que es vol afegir al model.
- THICK: La potència de capa d'aquest assaig.
- SPT: Assaig de Penetració Standard.
- DPSH: Proba de penetració dinàmica superpesada
- BORROS: Proba de penetració dinàmica Borros
- RQD: *Rock Quality Designation*

4.4.1. SPT

El primer assaig escollit per a la modelització ha sigut l'assaig SPT (*Standard Penetration Test*) o Assaig de Penetració Standard.

El SPT és una prova de penetració dinàmica in-situ que consisteix en col·locar una llança normalitzada cilíndrica i buida de 63.5 Kg (140 lbf), que es deixa caure a 76 cm (30 in.) del fons del sondeig, i es van comptant els cops necessaris per a avançar 15 cm (0.5 ft). Els primers 15 cm es deprecien ja que es considera que han estat per a assentar el sòl. El valor del SPT el dona la suma dels cops necessaris per a avançar els següents dos segments de 15 cm, els últims 15 cm no es tenen en compte, però s'efectuen per a omplir del tot la llança i extreure la mostra alterada. Si en algun tram s'arriba als 50 cops el resultat deixa de ser la suma dels 30 cm del mig per a convertir-se en rebuig (R) (ASTM 2008).

Els resultats obtinguts s'interpreten tal com s'observa a la taula 2.

SPT	CONSOLIDACIÓ	QU (KG/CM2)	DESCIPCIÓ	ÀNGLE DE FRICCIÓ
<2	No consolidat	<0.25	Molt tou	0
2-4	No consolidat	0.25-0.5	Tou	0-2
4-8	No consolidat	0.5-1.0	Mitg	2-4
8-15	No consolidat	1.0-2.0	Compacte	4-6
15-30	Sobreconsolidat	2.0-4.0	Molt compacte	6-12
>30	Sobreconsolidat	>4.0	Dur	>14

Taula 2 Interpretació dels resultats obtinguts al assaig SPT

4.4.2. DPSH

La prova de penetració dinàmica superpesada DPSH (*Dynamic probing super heavy*) es realitza amb els penetròmetres. És un tipus de prova de penetració dinàmica que, a diferència del SPT, té un registre continu. Es col·loca una llança normalitzada de 63.5 Kg i es deixa caure 75 cm. Es van anotant els cops que calen per a avançar 20 cm.

L'assaig acaba quan calen més de 100 cops per avançar aquests 20 cm, moment en el qual es considera rebuig (R) (Certificación., Certificación. i Geotecnia. 1994).

4.4.3. Borros

L'assaig de borrós es realitza d'una manera similar al DPSH amb la diferència que l'alçada a la que es deixa caure la llança és de 50 cm. L'assaig de Borros no està normalitzat a España (Society i Geology 2001).

4.4.4. Correlació entre assajos dinàmics

Per a poder emprar els tres assajos dinàmics utilitzats a la taula "Assay" s'han de correlacionar entre ells per a obtenir un únic valor. Donat que el terreny quaternari a l'àrea d'estudi és principalment argilós, s'utilitza la correlació proposada per Dapena i Lacasa (Dapena i Lacasa).

$$N_{SPT} = 25 \log(N_{DPSH}) - 2$$

$$N_{SPT} = 13 \log(N_B) - 1.13$$

Amb els resultats obtinguts de la correlació es crea una columna nova que s'anomena SPT Correlació. Als rebutjos i les files de la taula "Assay" que no compten cap dels tres assajos dinàmics se'ls assigna un valor de -99.

4.4.5. RQD

L'últim assaig de la taula "Assay" és l'índex RQD (*Rock Quality Designation*). Aquest assaig a diferència dels tres anteriors no mesura la qualitat del sòl, sinó del massís rocós, per tant només s'emptra sobre el TEC i el TEM.

L'índex RQD es determina mesurant el percentatge de recuperació de testimoni a l'excavació del sondeig en testimonis més llargs de 10 cm de longitud en un interval de 1.5 m. Es calcula de la següent manera:

$$RQD = \frac{\text{Suma de testimonis majors a 10 cm}}{\text{Longitud total del sondeig}} * 100$$

El seu valor s'expressa en percentatge. A la taula 3 es veu la interpretació que es fa a partir del valor del RQD.

RQD	QUALITAT DEL MASSÍS ROCÓS
<25%	Molt pobre
25-50%	Pobre
50-75%	Regular
75-90%	Bona
90-100%	Molt bona

Taula 3 Interpretació de l'índex RQD

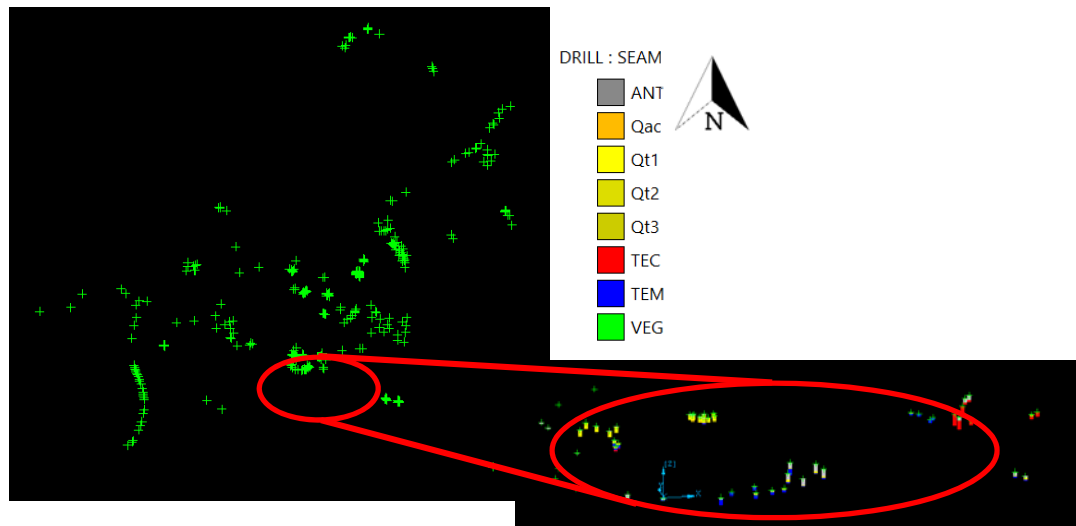
La taula "Assay" es pot consultar a l'annex 4.

4.5. Modelització amb *Vulcan*

Un cop es tenen generades les taules necessàries per a la creació de la base de dades s'importen a *Vulcan*. Abans, però, s'ha de delimitar l'àrea d'estudi al programa, introduint les coordenades que creant el cub virtual a on *Vulcan* farà tots els càlculs.

A la finestra d'importació de la base de dades es seleccionen les quatre taules, s'indica que la "Header Table" és la taula "Collar", i es marca la casella de "Prompt for Drillhole Synonyms". Aquesta última casella fa que s'obri un altre finestra on es pot comprovar totes les columnes de la base de dades i posar-les al seu lloc si no se s'han assignat automàticament. Al "Desurvey Style" es tria la opció de "Tangent" per assegurar que el sondeig passa per tangencialment pel punt indicat a la profunditat indicada a la taula "survey". Al tractar-se de sondejos sense cap tipus d'inclinació és la millor opció en aquest cas. Per últim s'ha d'indicar quin és el assaig principal de la taula "assay", *Vulcan* llegirà tots els assajos que s'hagin introduït a la base de dades, pel que es pot triar qualsevol que es vulgui. En el present treball es selecciona el SPT correlacionat com a principal. Un cop s'accepti la base de dades queda importada i creada.

Es crea una llegenda i es carreguen els sondejos per a comprovar que no hi hagi cap error aparent tal com es pot observar a la Il·lustració 7.

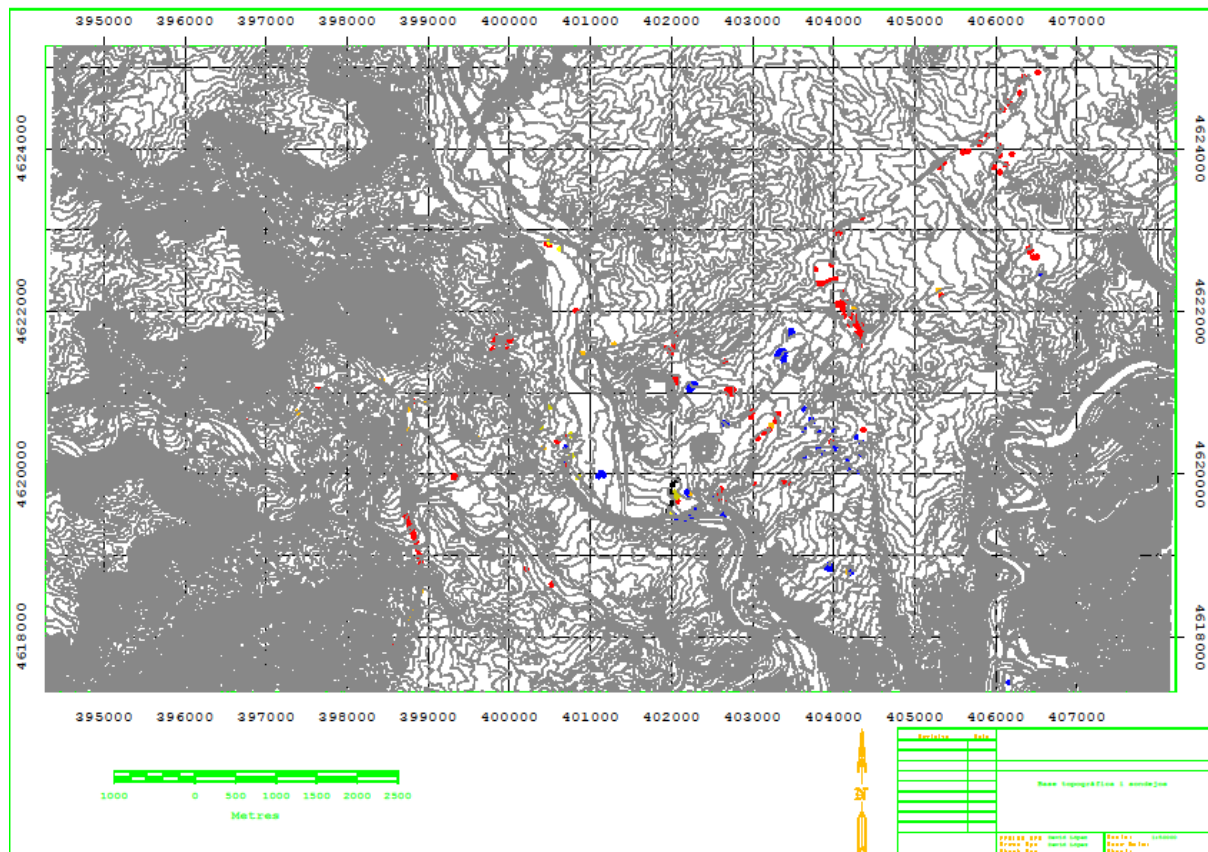


Il·lustració 7 Representació de sondejors i vista en detall inclinada

El següent pas per a la modelització és el de crear una superfície de la topografia del àrea d'estudi. La cartografia topogràfica 1:5000 es pot descarregar a la web del ICGC («Base topogràfica 1:5.000. Institut Cartogràfic i Geològic de Catalunya»). Els fulls emprats per a la superfície topogràfica han estat els 24 fulls que es poden veure a la taula 4 i la seva representació a la il·lustració 8.

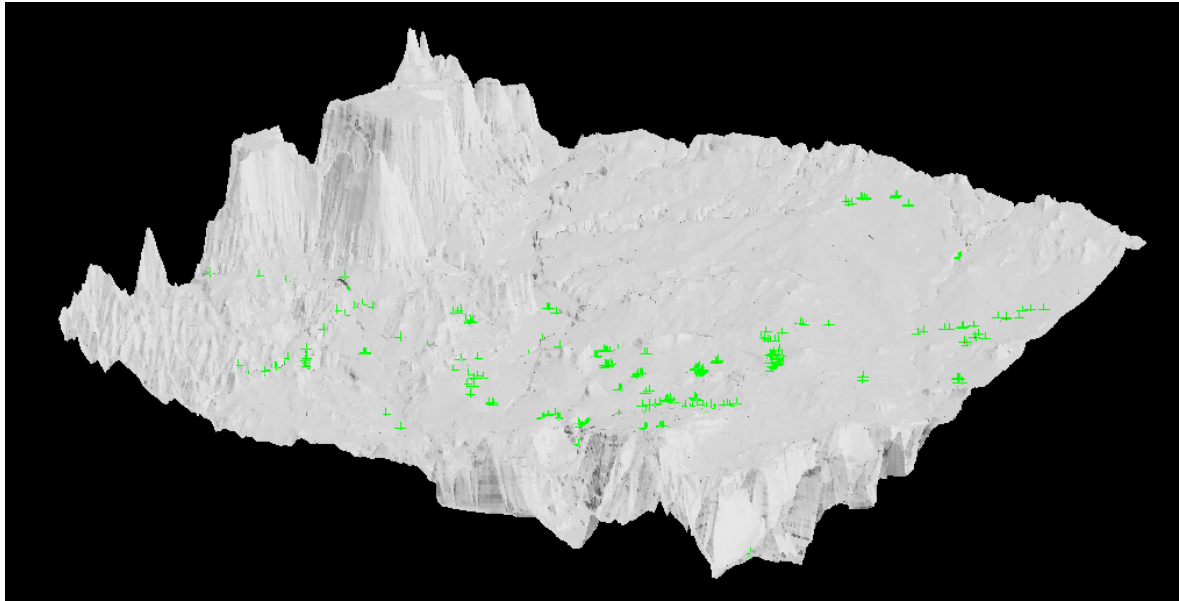
279-106	280-106	281-106	282-106
279-107	280-107	281-107	282-107
279-108	280-108	281-108	282-108
279-109	280-109	281-109	282-109
279-110	280-110	281-110	282-110
279-111	280-111	281-111	282-111

Taula 4 Fulls de la Base topogràfica 1:5000 utilitzats a la modelització



Il·lustració 8 Base topogràfica 1:5000 i sondejors

A partir de les fulles de la base topogràfica es fa una triangulació per aconseguir la superfície de la topografia, aquesta s'ha de triangular en la vista en planta i com a condicions es marca que eviti la formació de triangulacions planes sempre que sigui possible. Com que els fulls de la base topogràfica tenen més extensió que la dels sondejos es crea un polígon per a limitar la topografia a l'extensió d'aquests. A la il·lustració 9 es pot observar la superfície generada amb una exageració vertical de 7 per a que aquesta es pugui apreciar correctament.



Il·lustració 9 Superfície topogràfica

El següent pas a la modelització és el de validar que la base de dades de sondejors està ben feta i ben situada, que la profunditat de totes les taules és la mateixa i que la boca dels sondejors comença sobre la superfície de la topografia. En alguns casos no ha estat així, possiblement perquè la base de dades del ICGC no està del tot actualitzada. Les coordenades d'altitud dels sondejors es modifiquen per a que comencin a partir de la topografia.

A continuació, per a poder prosseguir amb la creació del model estratigràfic, s'han d'interpol·lar els horitzons dels sondejors entre ells amb l'eina de *Vulcan* "Interpolate Drillhole Data (FixDHD)". El primer intent en la interpolació va fallar donant el error de la Il·lustració 10. En aquest error es pot observar com la fila corresponent a ANT i la columna corresponent a TEC estan plenes de 0. *Vulcan* al procés d'interpolació de les dades dels sondejors el que fa es relacionar tots i cada uns dels horitzons que apareixen a la base de dades amb l'horitzó que tenen per sobre i amb l'horitzó que tenen per sota, per tant el ANT al estar a la superfície i el TEC a sota de tot no aconseguixen ser relacionats amb cap horitzó per sobre i per sota respectivament, fent que no es pugui realitzar el model estratigràfic.

Per a poder solucionar aquest problema es va tornar a generar la taula "Geol", però aquest cop s'han unificat els dos terciaris creant un únic horitzó anomenat TER. Això és degut a que l'extensió de l'àrea és massa gran per a la quantitat de sondejors i la profunditat d'aquests, i resulta pràcticament impossible que *Vulcan* pugui interpol·lar els dos massissos terciaris sense que hi hagi interferències entre ells. A causa de la poca informació que es té sobre l'horitzó vegetal aquest s'unifica i es considera horitzó antròpic.

Numbers of data points per surface pair thickness:

	ANTR	ANTF	QT2R	QT2F	QT3R	QT3F	QT1R	QT1F	QACR	QACF	TEMR	TEMF	TECR	TECF
ANTR:	3	0	0	0	0	0	0	0	3	3	0	0	3	0
ANTF:		7	4	21	14	13	10	103	89	64	2	116	0	0
QT2R:			292	0	0	0	0	0	0	0	3	1	2	0
QT2F:				2	2	0	0	5	5	4	1	6	0	0
QT3R:					280	0	0	10	5	7	2	7	0	0
QT3F:						0	0	25	17	8	3	21	0	0
QT1R:							302	0	0	8	0	2	0	0
QT1F:								2	2	10	0	2	0	0
QACR:									200	27	0	81	0	0
QACF:										42	0	114	0	0
TEMR:											168	4	0	0
TEMF:												4	0	0
TECR:													0	0
TECF:														0

Il·lustració 10 Error FixDHD

Un cop es fan aquests canvis a la taula es creen dos horitzons falsos anomenats "ROOF" i "FLOOR" amb un espessor de 1 mm. L'horitzó "ROOF" es col·loca per sobre de tots els sondejos que continguin ANT, i l'horitzó "FLOOR" de tots els que continguin TER.

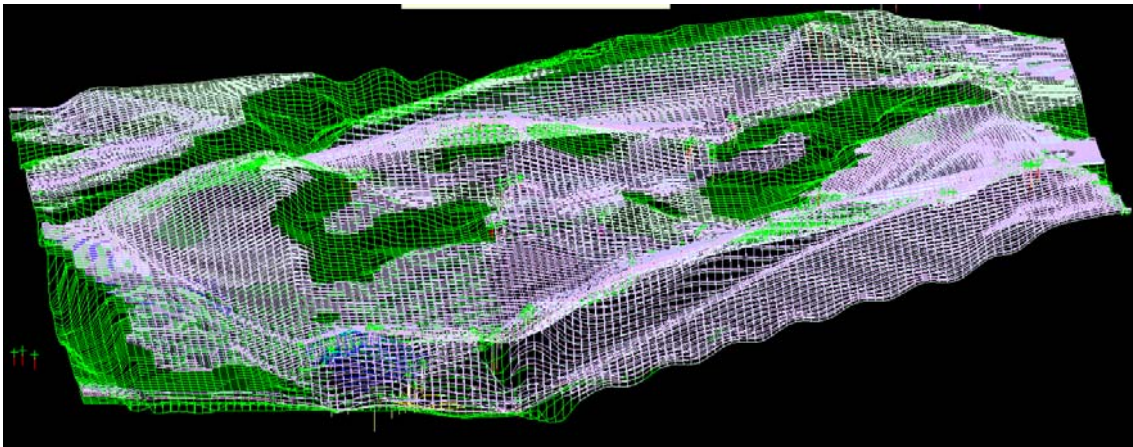
Es pot consultar la taula "Geol" modificada a l'annex 5.

Aquest horitzons ficticis s'han d'eliminar de la llista d'horitzons al *Vulcan* per a que no siguin generats en la estratificació.

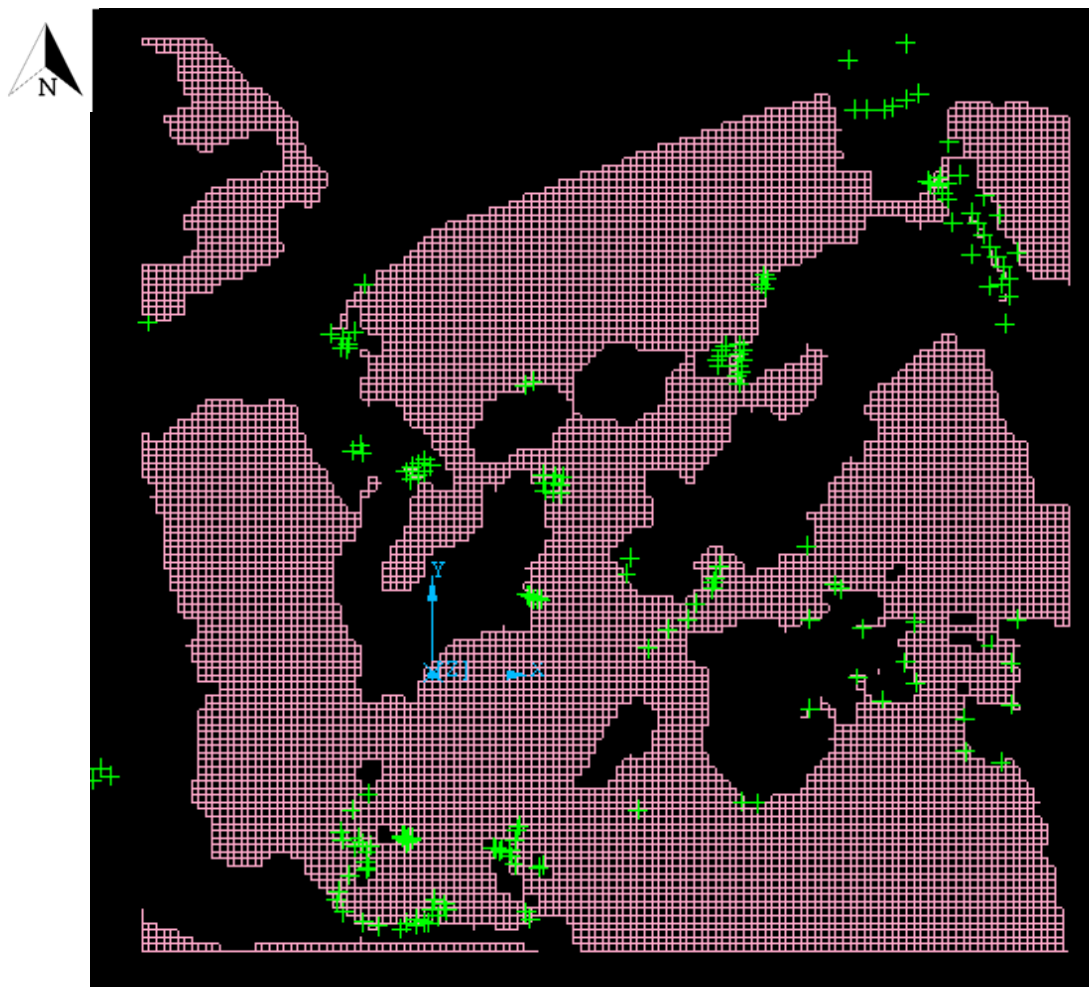
Al mapa geològic es pot observar que els quaternaris es troben ben localitzats i no s'estenen per tota l'àrea d'estudi, per tant es generen els contorns dels horitzons quaternaris i es força a que aquests no surtin d'aquest. A part se'ls posa una condició de "Pinch out" per a que només apareguin allà on hi hagi informació d'algun sondeig, per evitar que intentin interpolar-se entre dos blocs de quaternari diferents.

La interpolació en les dades dels sondejos ens permet poder modelitzar l'estratigrafia i crear les malles que marcaran el límit superior i inferior de cada un dels horitzons. La eina per a la generació de les malles és la de "Model Stratigraphy". Com que l'àrea d'estudi principal és el municipi de Manresa, que és on es vol fer la línia de metro, les malles només es crearan sobre l'extensió de Manresa i no sobre tot el model. Per evitar que una malla sobrepassi la superfície topogràfica es fa un "Cropping" amb la triangulació de la topografia i s'emmarca allà a on les dues malles d'un mateix horitzó es toquen, es a dir, on l'horitzó no té espessor. El mètode de modelització que s'utilitza és el de "Floors to roofs" ja que dona preferència a la part inferior dels horitzons. Aquest és el mètode que interessa en el present treball ja que ens permet veure a on està la base de quaternari, que és la que s'ha de evitar durant el traçat de la línia del metro degut a la poca consolidació del sòl. Per últim l'algoritme de modelització és el de triangulació, que és l'indicat per a modelitzar superfícies estructurals i poder veure el gruix de cada horitzó. Les malles

generades es poden veure de la il·lustració 10 a la 16 així com uns talls d'aquestes a la il·lustració 17.



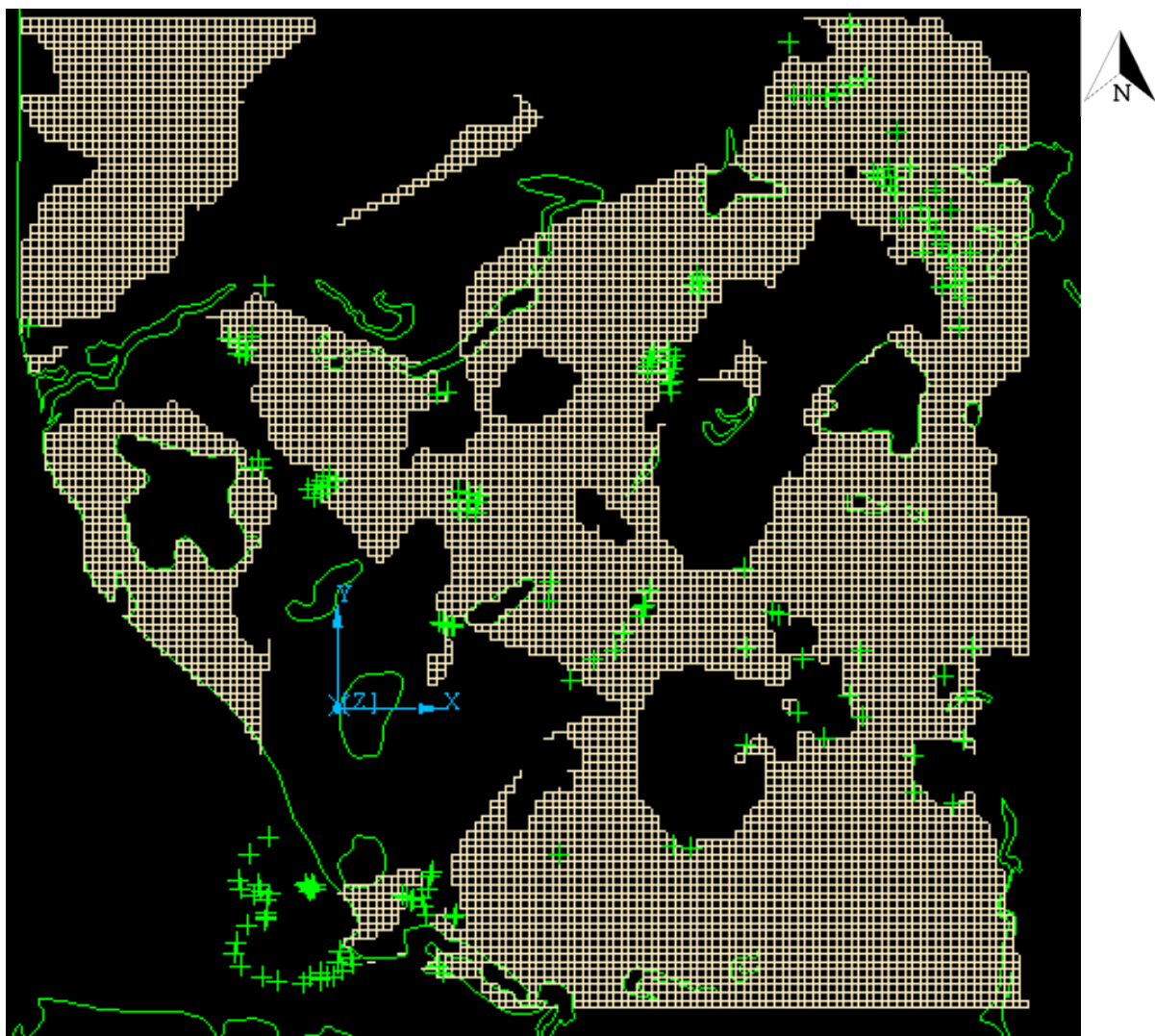
Il·lustració 11 Vista en perspectiva de les malles



Il·lustració 12 Vista en planta de la malla ANT

A la il·lustració 12 es pot observar com gracies al “Pinch out” a les zones on no apareix informació de ANT al sondeig no es modelitza l'horitzó. Per tot el demés si que el cobreix ja el model és a sobre del municipi de Manresa i pràcticament tot l'aflorament que s'hi troba és d'origen antròpic, com a la majoria de municipis.

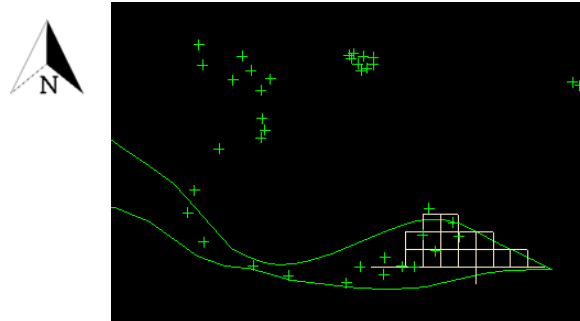
La il·lustració 13 mostra com el Qac s'estén per pràcticament tota la superfície de Manresa tal com indica el Mapa geològic 1:25000 de la il·lustració 4, i que gràcies al “pinch out” i a l'emascaració aquest només apareix als indrets on hi ha informació disponible de l'horitzó respectant el contorn delimitant.



Il·lustració 13 Vista en planta de la malla Qac

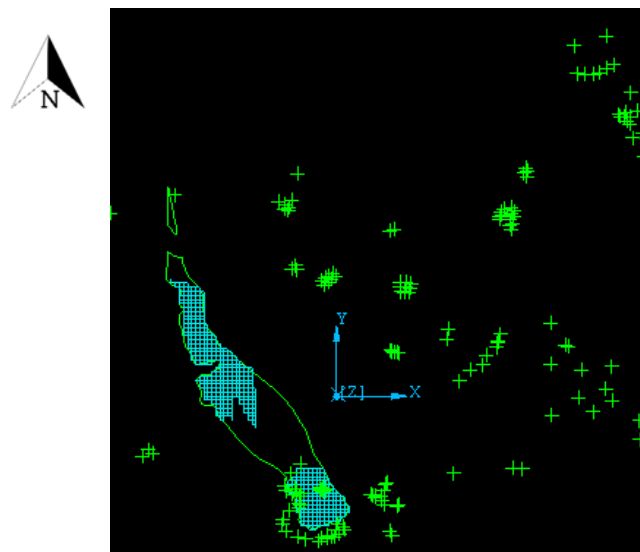
El Qt1 no queda pràcticament representat al model a causa de la poca informació de la que es disposa als sondejos, tal com es pot observar a la il·lustració 14 aquest horitzó es troba modelitzat únicament a un petit sector molt concret del model general pel que es pot concloure que el Qt1 no es pot modelitzar fidelment amb les dades públiques del ICGC.

Pel que fa al Qt2 no es disposa de cap sondeig amb dades de l'horitzó a cap dels sondejors al àrea de Manresa, per lo tant no es pot modelitzar i no queda representat al model.



Il·lustració 14 Vista en planta de la malla Qt1

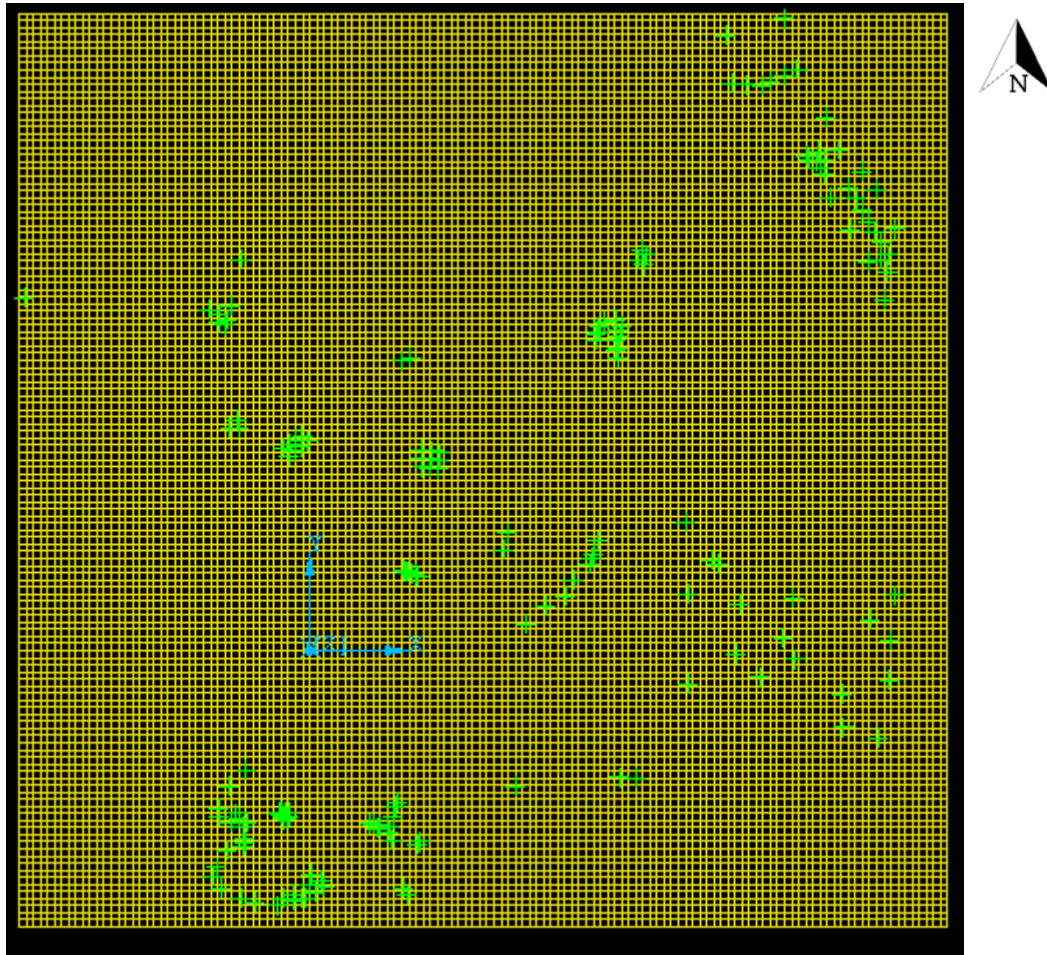
La il·lustració 15 mostra com el Qt3 queda bastant ben delimitat en la seva totalitat a l'interior del contorn delimitador, però que al no trobar-se informació entre les dues malles que s'observen queda un espai buit sense informació estratigràfica. A part es veu un altre contorn més petit al nord de la malla que ha quedat sense modelitzar-se al no disposar tampoc de informació. Aquest fet fa que el Qt3 tampoc sigui representatiu a la modelització de la zona de Manresa.



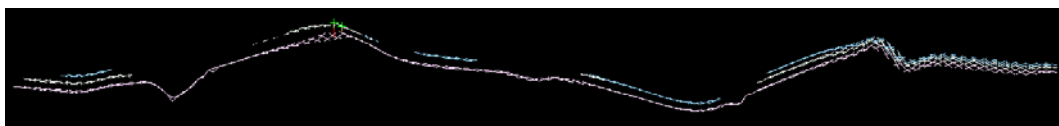
Il·lustració 15 Vista en planta de la malla Qt3

L'últim quaternari que se sap que aflora a l'àrea d'estudi gràcies al Mapa geològic 1:25000 de la il·lustració 4 és el Qt5. Aquest horitzó no té informació a cap dels sondejors que s'utilitzen per a la realització del present treball, per tant no queda modelitzat. Al Mapa geològic es pot veure que a la zona de Manresa aquest horitzó només apareix a la part alta de dos turons, així que posteriorment, quan es creen els sòlids a partir de les malles, el Qt5 es modelitza registrant el contorn delimitador a la superfície topogràfica del model, s'aplica

una equidistància a aquest contorn i es triangula per a fer una superfície que correspondrà amb la base de l'horitzó. Aquesta equidistància es fa per a assegurar que la nova superfície tall a tota la superfície de la topografia. Amb la generació del dos sòlids del Qt5 es pot concloure que quedaran ben representats al model encara que no es disposi de cap tipus d'informació de l'horitzó als sondejos.



Il·lustració 16 Vista en planta de la malla TER



Il·lustració 17 Secció nord-oest, sud-oest de la disposició del terra de cada horitzó

A la vista en planta de la malla TER de la il·lustració 16 s'observa que aquest horitzó s'estén per tota la àrea de Manresa, tal com s'ha explicat a l'apartat del marc geològic.

Per a completar el model geològic s'han de solidificar aquestes malles, per a que *Vulcan* pugui crear sòlids es necessari triangular les malles dels sostres i de les bases de

cada horitzó per a crear una superfície. A partir de la superfície sostre i la base es triangula el sòlid per a donar-li volum.

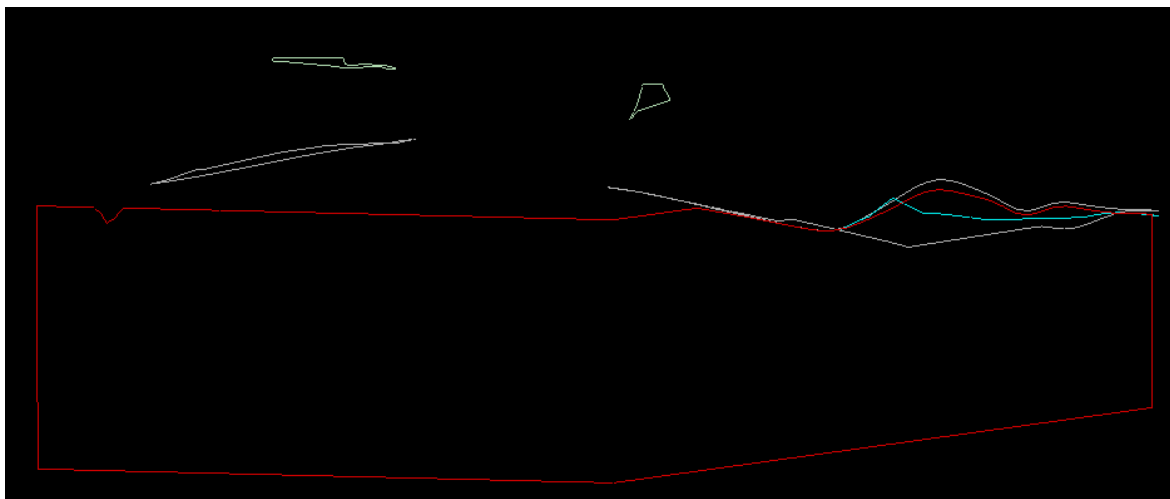
Com que la base del TER no es pot saber a partir de les dades dels sondejos disponibles es genera un sòlid regular amb la extensió en planta del TER i que comenci a la superfície del sostre del horitzó, al punt més alt. A aquest sòlid se li ha donat una profunditat de 100 m al present treball la que la línia de metro no passarà a tanta profunditat. Finalment es retalla aquest sòlid amb la superfície del sostre TER.

Es generen els dos sòlids corresponents al Qt5 tal com s'ha explicat anteriorment.

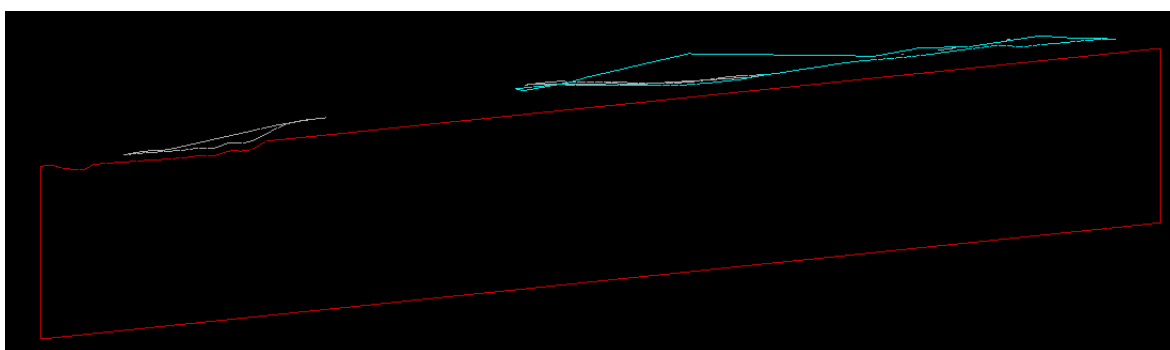
A la il·lustració 18 es veu el plànol geològic generat a escala 1:25000 a partir de la modelització geològica realitzada amb *Vulcan*. També s'hi observa el traçat dels tres talls que s'han realitzat per a comprovar i estudiar la representativitat del model.

Els talls representats a les il·lustracions 19, 20 i 21 corresponen amb els talls 1, 2 i 3 respectivament. Aquests tenen una exageració vertical de 7 per a facilitar l'anàlisi dels resultats obtinguts. Al tall núm. 1 es pot veure com els sòlids del Qt5 no tenen cap tipus de contacte entre ells i apareixen flotant sobre el massís rocós del TER. Això es deu a que no hi ha cap tipus de informació de cap sondeig per a cap horitzó tal com mostra el mapa geològic generat amb *Vulcan*. Al mapa geològic de la il·lustració 4 s'observa com just per sota d'aquest horitzó hauria de trobar-se el TER, i caps als costats d'aquest començar un estrat quaternari, Qac en aquest cas. Al no haver-hi dades disponibles el software estratifica els horitzons a partir de la interpolació feta amb sondejos molt llunyans, fent que a aquesta zona la modelització no sigui fidel a la realitat ja que es parteix de la base de que els sòlids del Qt5 si que son representatius ja que s'han generat de manera gràfica sobre la superfície topogràfica a partir de la base topogràfica 1:5000 i dels contorns cartografiats a escala 1:25000 per ICGC. Cap a la banda sud-est del tall es pot observar com els sòlids si que tenen contacte entre ells ja que arriben a un punt on hi ha un núvol de sondejos a les seves proximitats que han permès una modelització estratigràfica més fidel a la realitat amb la interpolació dels sondejos. El tall núm. 2 tampoc passa per una zona de sondejos fins que arriba al extrem nord-est pel que tenim una gran extensió sense dades i amb errors a la fidelitat de la interpolació. Al arribar al extrem proper al núvol de sondejos s'observa que els sòlids generats tampoc tenen contacte entre ells. A la il·lustració 22 es veu una perspectiva del núvol de sondejos d'aquest extrem, on s'observa que aquests només contenen informació del horitzó Qac, pel que es pot afirmar que a aquesta zona el sostre del Qac si que serà fidel a la realitat, però no la seva base ni la resta de sondejos ja que *Vulcan* no es capaç de interpolar cap tipus d'informació i crear un model estratigràfic correcte. El tercer tall que s'observa es fa sobre un núvol dens de punts per a comprovar l'efectivitat de la interpolació i de la modelització estratigràfica a on si que es disposa de més dades. En aquest tall els sòlids si que tenen contacte entre ells representant d'una forma correcta la geologia real del terreny.

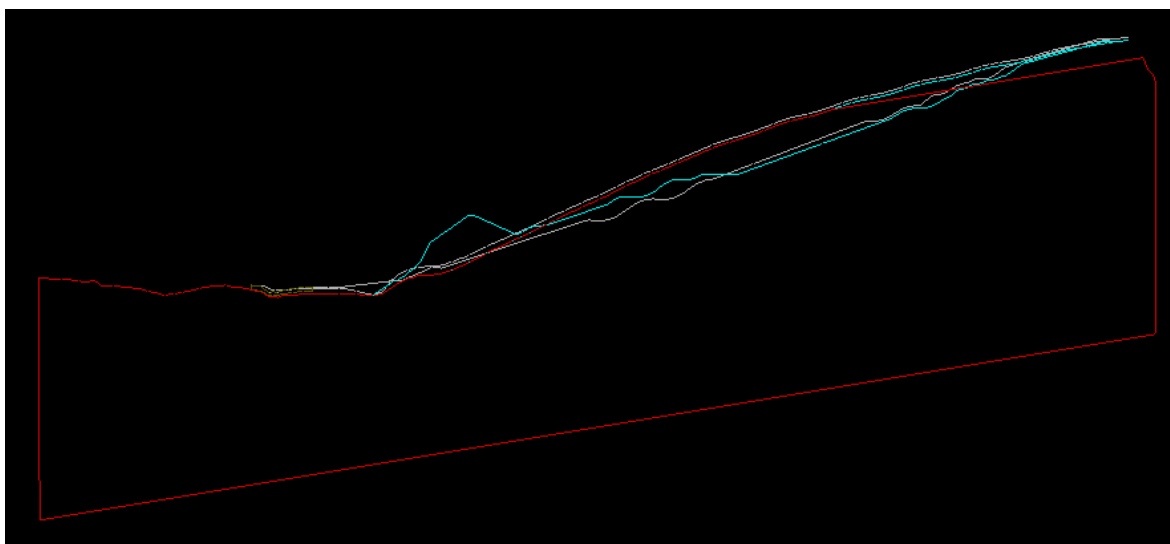




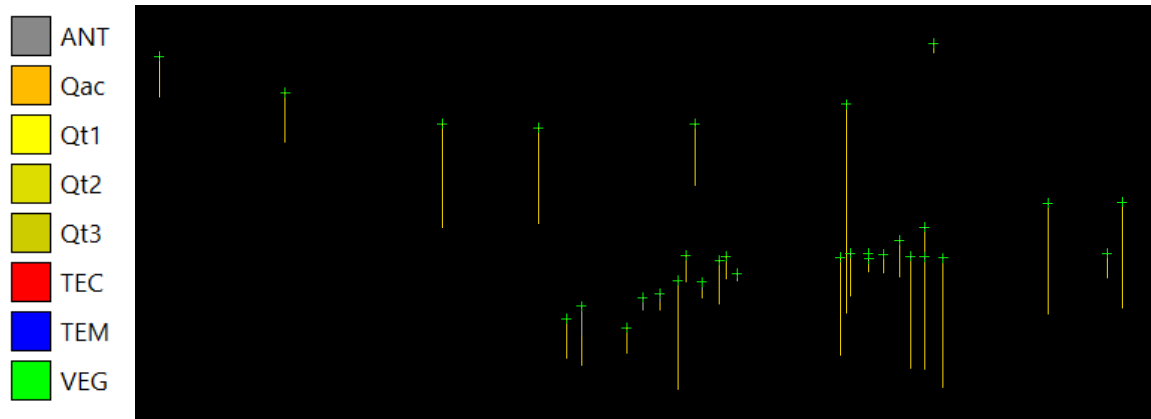
Il·lustració 19 Tall núm. 1 del model geològic



Il·lustració 20 Tall núm. 2 del model geològic



Il·lustració 21 Tall núm. 3 del model geològic



Il·lustració 22 Núvol de sondejors del sector nord-est del tall núm. 2

Un cop analitzats els talls i el model en general dintre del Vulcan es pot assegurar que no es possible la modelització geològica a partir de les dades públiques disponibles a la web del ICGC. Per a poder emprar el mètode utilitzat al present treball, a part de la informació que es disposa, cal un treball de camp previ per a ampliar la base de dades amb sondejors més representatius. La conclusió final es fa a l'apartat de les conclusions.

A causa del mal model geològic obtingut no es continua amb el mètode inicial del càlcul del model de blocs, ja que la informació que s'obtingria seria totalment errònia. Amb un bon model el següent pas seria el de generar aquest model de blocs i interpolat les dades geotècniques de la taula "assay" a cada un dels blocs. Amb aquestes dades i un sostre TER ben modelitzat s'hauria de dissenyar el traçat del túnel del metro intentant que el sostre d'aquest sempre estigués per sota del sostre del TER 1.5 m seguint la normativa NAP 2-3-1.0 de ADIF que s'explicarà més endavant o, si les condicions geotècniques ho permetessin i el sostre del TER quedés en algun punt a molta profunditat, podent continuar l'excavació per l'horitzó quaternari, amb valors de SPT alts.

A l'annex 8 es pot consultar el model 3D dels sondejors, superfície i sòlids en format PDF 3D.

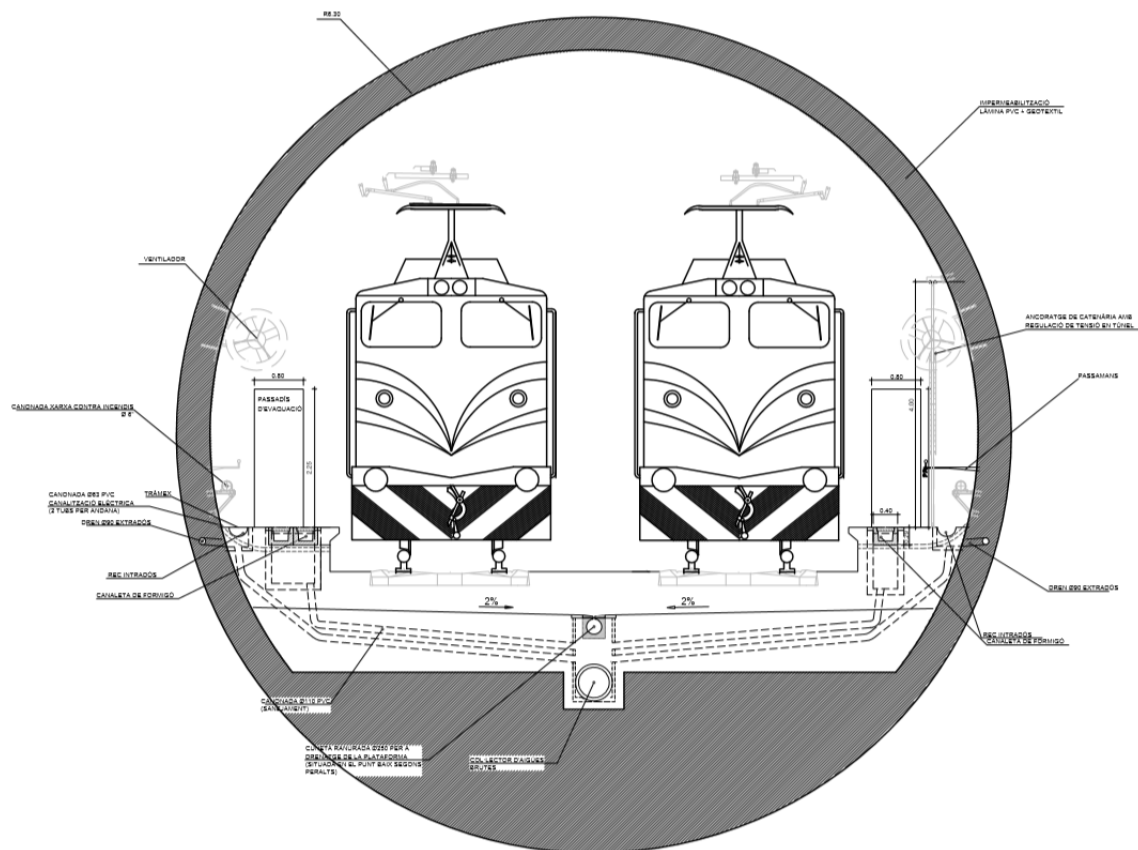
5. PROPOSTA DE SECCIONS DEL TÚNEL

Per a continuar amb el present treball i poder fer un estudi sobre la construcció de una línia de metro a Manresa s'ha optat per a utilitzar valors mitjos i extrems obtinguts als sondejos utilitzats per a la generació del model estratigràfic. Amb aquests valors mitjos i extrems es podrà definir, de forma generalista un criteri general no només per a una línia de metro en concret, si no per a qualsevol possible línia. Les dades geotècniques del sondeig s'extrauran de treballs previs realitzats i consultats.

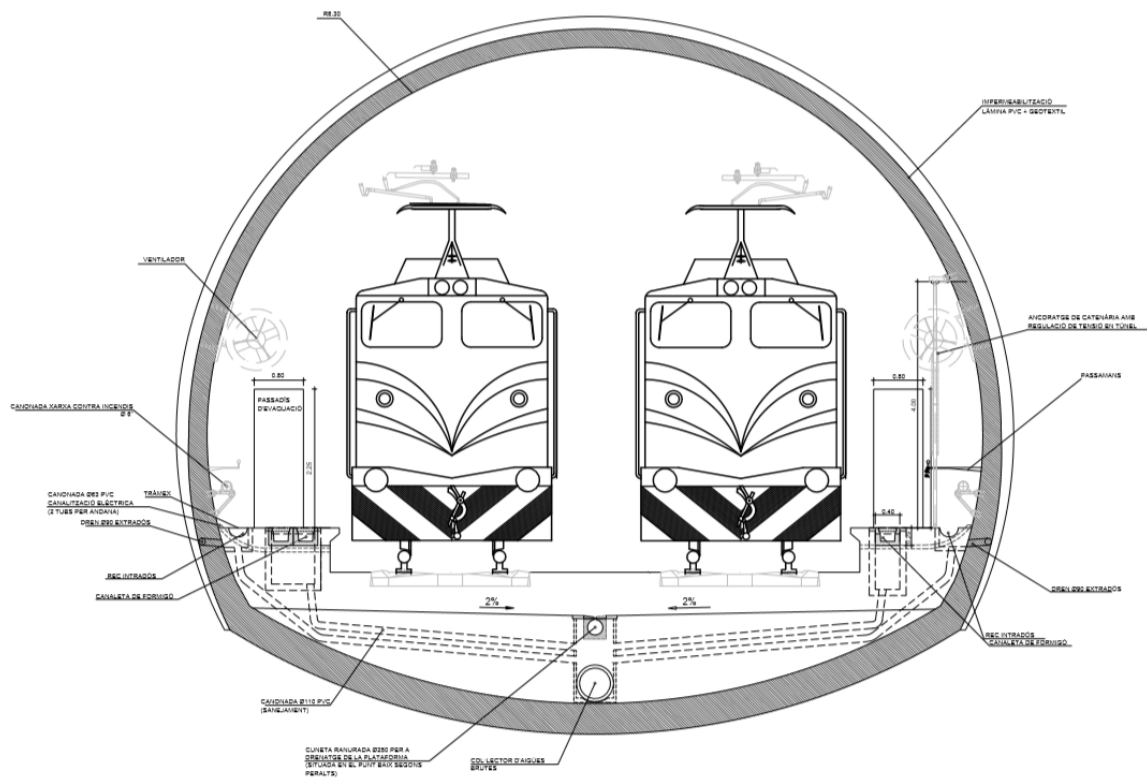
El proposen dos tipus de secció per al túnel, una circular excavada amb tuneladora i una amb forma de ferradura amb mètodes d'extracció convencionals complint la normativa vigent. El massís a travessar per les dues secció diferents es diferenciarà entre TEM, TEC i una zona de falla. A cada un dels massissos s'estudiaran tres profunditats, una amb la màxima potencia de quaternari, una amb la mínima i un altre amb un valor mig.

El disseny de les dues seccions del túnel s'ha fet tenint en compte dos vies, una d'anada i una de tornada i les diferents exigències de la normativa vigent actual per a construcció de túnels ferroviaris al llarg de traçat de la línia s'ha de disposar d'un àrea d'evacuació a ambdós cantons de la línia per a túnels de dos vies amb els corresponents passamans, drenatges, ventiladors i canonades de xarxa hidràulica contra incendis (Norma 2018). La amplada de via que s'ha escollit és la Standard, de 1,435 m. La separació entre els eixos centrals dels dos vagons de metro és de 4,70 m.

5.1. Secció circular per a tuneladora

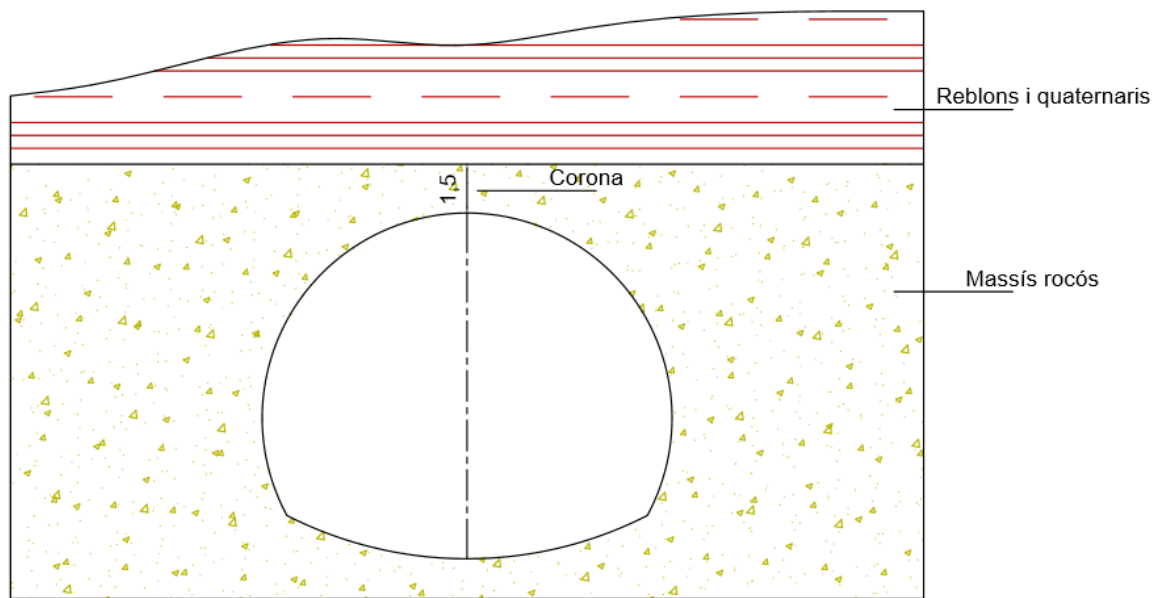


5.2. Secció per mètodes convencionals



6. MODELITZACIÓ GEOTÈCNICA

A la normativa NAP 2-3-1.0+M1 de AIF Plataforma Túneles es recomana que l'alçada de la corona del túnel en massissos rocosos ha de ser de mínim 1,5 m al com s'observa a la il·lustració 23



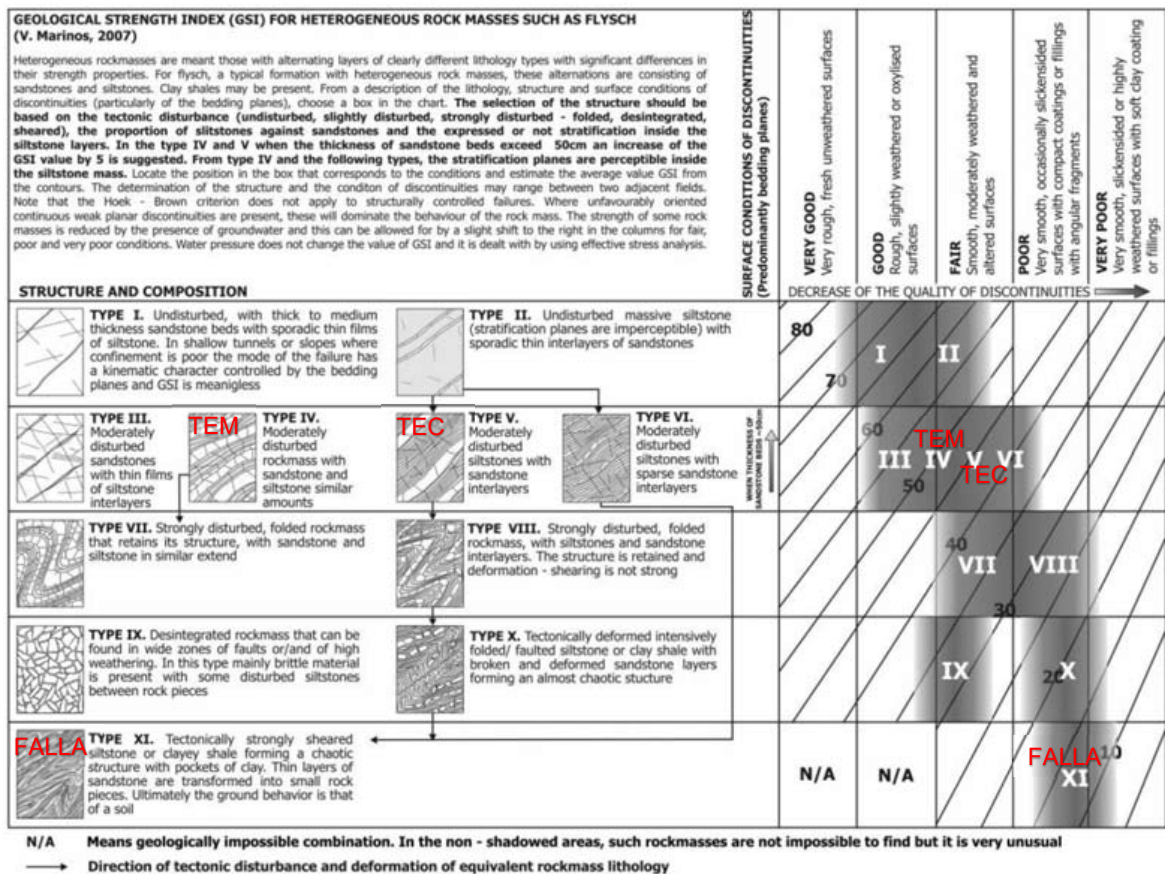
Il·lustració 23 Representació de l'amplada de la corona en túnels ferroviaris

Els sondejos disponibles amb els que s'ha modelitzat la geologia de Manresa mostren que el massís rocós corresponent al TER en alguns punts aflora a la superfície com a profunditat mínima, i com a profunditat màxima es troben a 19 m per sota del sòl quaternari, per tant per a la modelització, càlcul d'esforços, revestiments, etc. es tindran en compte tres profunditats diferents a la part superior de la secció del túnel; una de 20,5 m, corresponent al punt més profund de 19 m més 1,5 m que demana com a mínim la normativa; un altre profunditat de 1,5 m per a on el TER es trobi a la superfície, a on només es deixarà l'amplada mínima de la corona; i un punt entremig a 11 m.

6.1. Propietats del massís rocós amb *RocData*

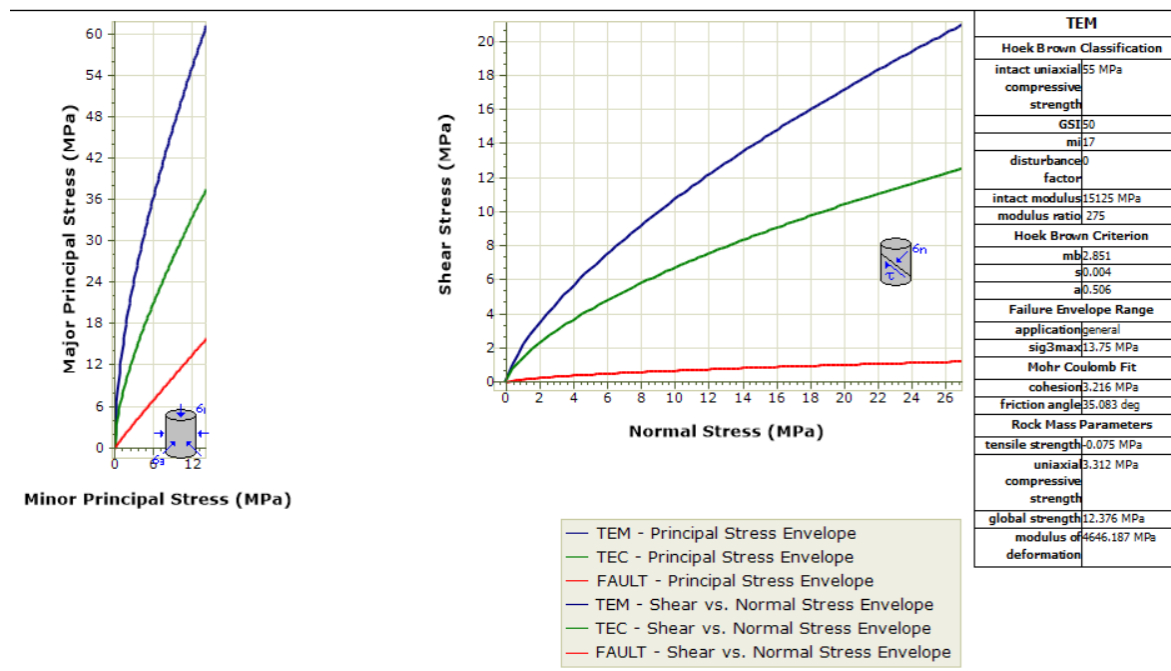
Per a determinar les propietats del massís rocós com ara la força compressiva uniaxial, el mòdul de deformació a partir de la evolvent de ruptura de Hoek-Brown es necessiten una sèrie de dades de partida que s'haurien d'extreure de sondejos representatius a la zona de Manresa i el seu posterior anàlisi de mostres al laboratori, al no disposar-se de aquestes dades s'han extret de la literatura consultada per a la realització del present treball.

El primer massís que s'analitza és el corresponent al TEM. El valor mig dels assajos a compressió simple o uniaxial als gresos de Manresa, unitat predominant al TEM, és de 55 MPa (Cobo Molina 2009). Amb l'ajuda de la taula publicada (Marinos 2017) de la il·lustració 24 determinem que el TEM correspon a una estructura i composició tipus IV, massís rocós moderadament pertorbat amb quantitats similars de gres i calcàries pel que el GSI pren un valor de 50. Per al valor del paràmetre de roca intacta (m_i) a la llista es trien els gresos, obtenint un valor de 17. El factor de pertorbació (D) pren un valor de 0 ja que la construcció del túnel es farà d'una manera controlada generant la mínima pertorbació al massís rocós que el contindrà. Per últim per a calcular el mòdul de roca intacta (E_i) s'utilitza la formula proposada per *RocData* $E_i = MR \cdot \text{sigci}$, sent el valor de MR tabulat i sigci el valor de l'assaig a compressió simple. El MR dels gresos és de 275 pel que s'obté un valor E_i de 15125 MPa.



Il·lustració 24 GSI per a roques heterogènies

A la il·lustració 25 es poden veure els resultats dels càlculs realitzats a *RocData* per a el massís TEM.



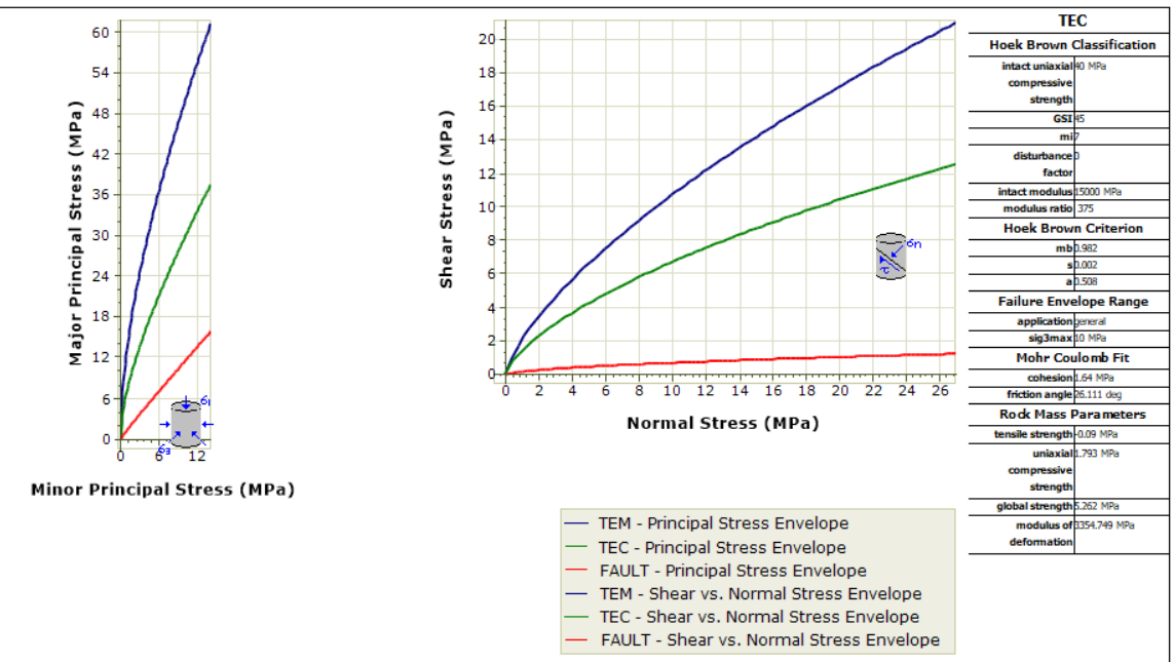
Il·lustració 25 Càlculs a partir de la evolvent de ruptura Hoek-Brown amb *RocData* per a TEM

Pel que fa al massís TEC no es disposa de dades per als assajos de compressió simple. Com que aquest massís rocós no va estar sotmès a les pressions de l'aigua considerarem un valor més baix que al TEM. El valor escollit és de 40 MPa que és el corresponent generalment a les argil·lites que són les que formen majoritàriament el TEC. Pel valor del GSI es tria un valor de 45 segons la taula de la il·lustració 24, la estructura i composició del TEC és de tipus V, argil·lites moderadament pertorbades amb capes de gres intercalades. El valor de roca intacta (mi) de les argil·lites és de 7 i igual que pel TEM el factor de pertorbació (D) pren un valor de 0. Les taules de *RocData* proposen un valor de MR de 375 que després del càlcul dona un mòdul de roca intacta (Ei) de 15000 MPa.

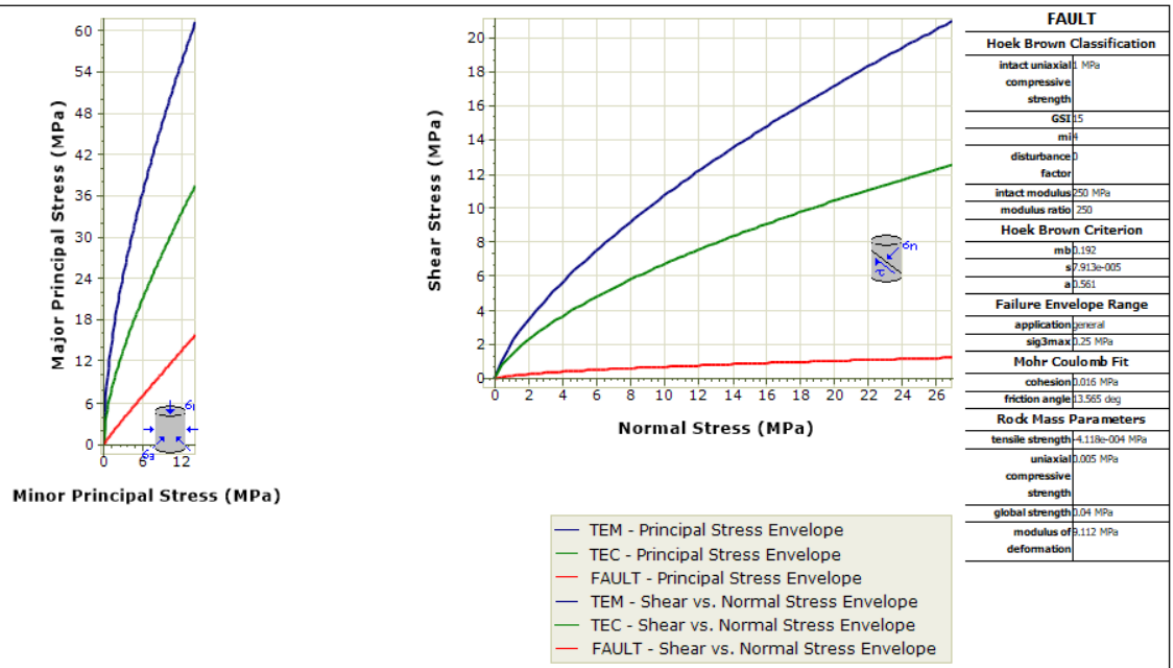
A la il·lustració 26 es poden veure els resultats dels càlculs realitzats a *RocData* per a el massís TEC.

L'últim massís a estudiar és el corresponent a la falla que es troba a la zona de Manresa. Tampoc es disposa d'assajos en aquesta zona, però amb les dades proposades per *RocData* es pot arribar a introduir tota la informació necessària per a la evolvent de ruptura. A les falles la roca queda molt alterada pel que la resistència a la compressió simple serà de 1 MPa, la estructura i composició als terrenys fallats és de tipus XI, argil·lites fortament cisallades tectònicament que formen una estructura caòtica amb porcions d'argila. Les capes fines de gres es transformen en petites peces de roca. El comportament final del massís és el d'un sòl. Per això l'índex GSI pren un valor de 15 tal com es pot observar a la il·lustració 24. Per al valor de roca intacta (mi) seleccionem el de l'argila, 4 i un factor de pertorbació (D) de 0. El MR de l'argila és de 250 donant un mòdul de roca intacta de 250 MPa.

A la il·lustració 27 es poden veure els resultats dels càlculs realitzats a *RocData* per a la zona fallada.



Il·lustració 26 Càlculs a partir de la evolvent de ruptura Hoek-Brown amb *RocData* per a TEC



Il·lustració 27 Càlculs a partir de la evolvent de ruptura Hoek-Brown amb *RocData* per a la falla

6.2. Càlcul de les tensions elàstiques i els desplaçaments amb Examine2D

Per a calcular les tensions elàstiques i els desplaçaments que patiran les dues seccions proposades per a la construcció del túnel a les tres profunditats i als tres massissos diferents es fa servir el software *Examine2D*. A partir d'aquestes tensions i desplaçaments es calcula el "Strength Factor". Si el "Strength Factor" és menor de 1 significa que el túnel col·lapsarà sota les condicions de pressió del massís i caldrà posar revestiments a les parets per a evitar el seu esfondrament.

La primera secció a analitzar és la secció circular excavada amb tuneladora. Com que l'estudi es fa a tres profunditats diferents s'indica al software que la força de camp és gravitacional. Al ser a poca profunditat el ratio de la compressió horitzontal és de 0,5 tant en el pla lateral com en el pla alçat, "Horizontal Stress Ratio" i Out of "Plane Stress Ratio" respectivament. Amb aquest valor se li indica a *Examine2D* que les pressions principals a les quals estarà sotmesa el túnel són les tensions verticals generades pel propi pes del material que queda per sobre. Per al pes específic del material de sobrecàrrega es posa un valor estàndard per a massissos rocosos de $0,026 \text{ MN/m}^3$ (Wyllie i Mah 2017).

Per a les propietats elàstiques del massís rocós s'utilitzen les dades obtingudes del software *RocData*. El valor E_m és el mòdul de deformació. A la taula 5 es veuen els diferents mòduls de deformació per a cada un dels massissos estudiats per a la secció del túnel.

MASSÍS	MÒDUL DE DEFORMACIÓ [MPa]
TEM	4646.187
TEC	3554.749
FAULT	9.112

Taula 5 Mòduls de deformació pels diferents massissos

Els paràmetres per la evolvent de ruptura són els mateixos que s'han introduït a *RocData* per a cada tipus de massís.

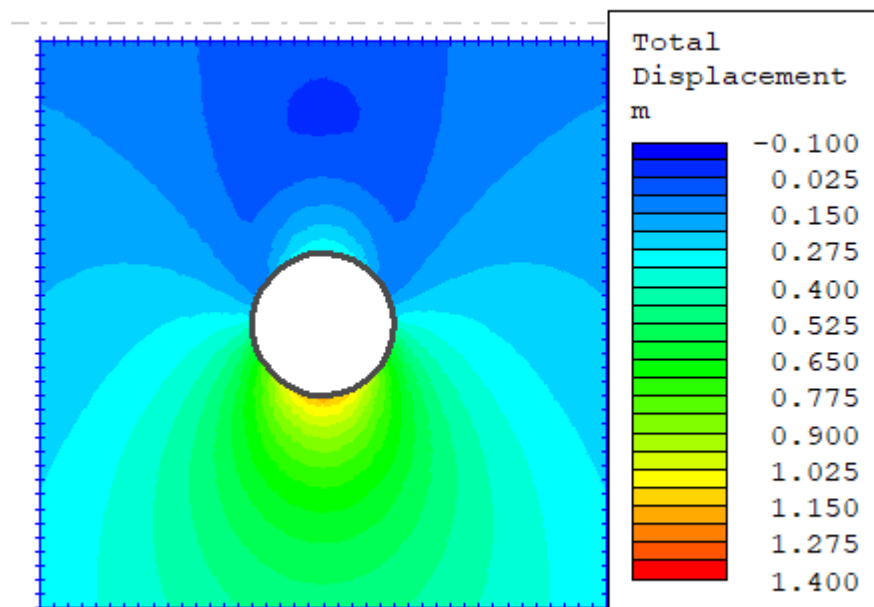
Amb aquestes dades de partida es simulen les tensions sofertes a les diferents seccions del túnel per a cada una de les profunditats. Els resultats obtinguts amb *Examine2D* es poden consultar a l'annex 6.

Per a la secció cilíndrica amb tuneladora s'observa que al massís TEM, el de més bona qualitat dels tres, les parets del túnel poden arribar a aguantar sense cap tipus de sosteniment, però que al contorn del túnel els valors del "Strength Factor" son molt propers a 1 a les tres profunditats simulades.

El segon massís estudiat és el TEC, un massís rocós menys consolidat que el TEM i de pitjor qualitat. Amb la simulació s'obté que en cap de les tres profunditats el túnel

col·lapsarà encara que no s'hi afegeixi un sosteniment, encara que s'arriben a valors límits al igual que en el TEM al contorn de la secció. La simulació a més profunditat en el TEC mostra com els valor límits s'estenen més que en el TEC.

Al terreny fallat, en canvi, al fer la simulació per a la tuneladora s'observa que el terreny no es capaç d'aguantar els esforços al que està sotmès donant uns valors de "Strength Factor" inferiors a 1. El túnel, sense revestiment, col·lapsa en el seu traçat per l'interior de la falla. Aquest resultat és degut a que tal com s'ha exposat abans en el present treball el comportament d'un massís fallat és més similar al d'un sòl que al d'una massa rocosa. A la il·lustració 28 es pot veure com els desplaçaments del terreny a causa d'aquest col·lapse són fins a l'ordre del metre.



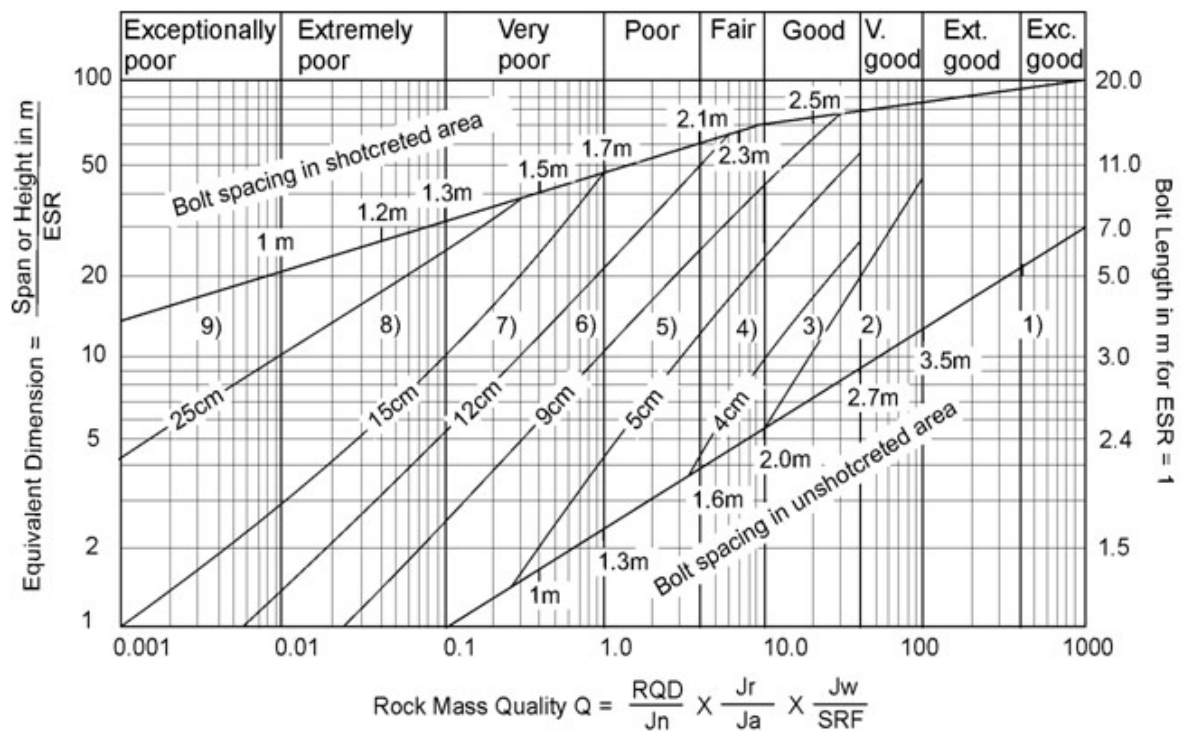
Il·lustració 28 Desplaçaments de la secció cilíndrica per la falla

El càlcul dels revestiments per a la secció cilíndrica proposada per a tuneladora s'estudien posteriorment amb el software especialitzat per a aquest tipus de seccions *RocSupport*.

Amb la simulació dels diferents massissos a diferents profunditats amb la secció excavada per mètodes convencionals s'obtenen un valors molt similar als de la secció amb tuneladora. Tant al TEM com al TEM, que son de bona qualitat el túnel no precisa de sosteniments per a evitar el col·lapse, encara que al seu contorn s'obtenen valors límits propers al 1 al "Strength Factor" i al igual que amb la tuneladora, el túnel col·lapsa al travessar el massís fallat.

Per a la proposta de sosteniment es fa us del mètode proposat al Q-System (Grimstad i Barton 1993) amb els valors de l'índex Q de Barton trobats en la literatura consultada (Revilla Sala 2010).

El Q-System presenta la una taula per a calcular gràficament els sosteniments tal com es pot observar a la il·lustració 29.



REINFORCEMENT CATEGORIES

- | | |
|---|--|
| 1) Unsupported | 6) Fiber reinforced shotcrete and bolting, 9 - 12cm, Sfr+B |
| 2) Spot bolting, sb | 7) Fiber reinforced shotcrete and bolting, 12 - 15cm, Sfr+B |
| 3) Systematic bolting, B | 8) Fiber reinforced shotcrete > 15cm, reinforced ribs of shotcrete and bolting, Sfr, RRS+B |
| 4) Systematic bolting (and unreinforced shotcrete, 4-10cm, B(+S)) | 9) Cast concrete lining, CCA |
| 5) Fiber reinforced shotcrete and bolting, 5-9cm, Sfr+B | |

Il·lustració 29 Q-System

Aquest sistema relaciona la Q de Barton amb una dimensió equivalent obtinguda dividint la altura de la secció del túnel amb un paràmetre tabulat ESR. Per a túnels ferroviaris el ESR pren un valor de 1.

Amb el Q-System calculen els sosteniments per al túnel amb mètodes d'extracció convencionals per a la secció proposada obtenint els resultats de la taula 6.

MASSÍS	ALÇADA DEL TÚNEL	ED	Q DE BARTON	CATEGORIA DE SOSTENIMENT
TEM	10.63	10.63	9.35	4
TEC	10.63	10.63	8	4
FAULT	10.63	10.63	0.05	8

Il·lustració 30 Resultats per al càlcul de sosteniment pel Q-System

Amb aquest mètode s'obté al que als dos massissos de millor qualitat, el TEM i el TEC, la categoria de sosteniment és un 4 que correspon a un embolonat sistemàtic mitjançant perns de 3 m de longitud i 4 cm de diàmetre espaiats 2.5 m entre ells amb una capa de formigó projectat de 7 cm, per als bolons, seguint la normativa NAP 2-3-1.0 s'utilitzaran bolons de fibra de vidre per a que puguin ser tallats per la maquinaria emprada a l'excavació. Per al terra els bolons s'injectaran amb una beurada de formigó i per a les parets i el sostre amb resina. Com que a la simulació per *Examine2D* s'havia arribat a la conclusió de que en principi el túnel no col·lapsa pels esforços als que està sotmès amb aquest revestiment als massissos terciaris assegurem i reforcem la estabilitat. A la falla s'obté una categoria de sosteniment del tipus 8, corresponent a formigó projectat de 15 cm amb una malla fibrosa d'acer tal com demana la normativa actual. Es disposarà de bolons de 15 cm de diàmetre i 3 m de longitud de fibra de vidre cada 1,2 m injectats en la seva totalitat, tant al terra, a les parets com al sostre amb una beurada de formigó ja que el terreny a la falla té el comportament de un sòl tal com s'ha explicat anteriorment i així ho demana la normativa en aquest tipus de terrenys.

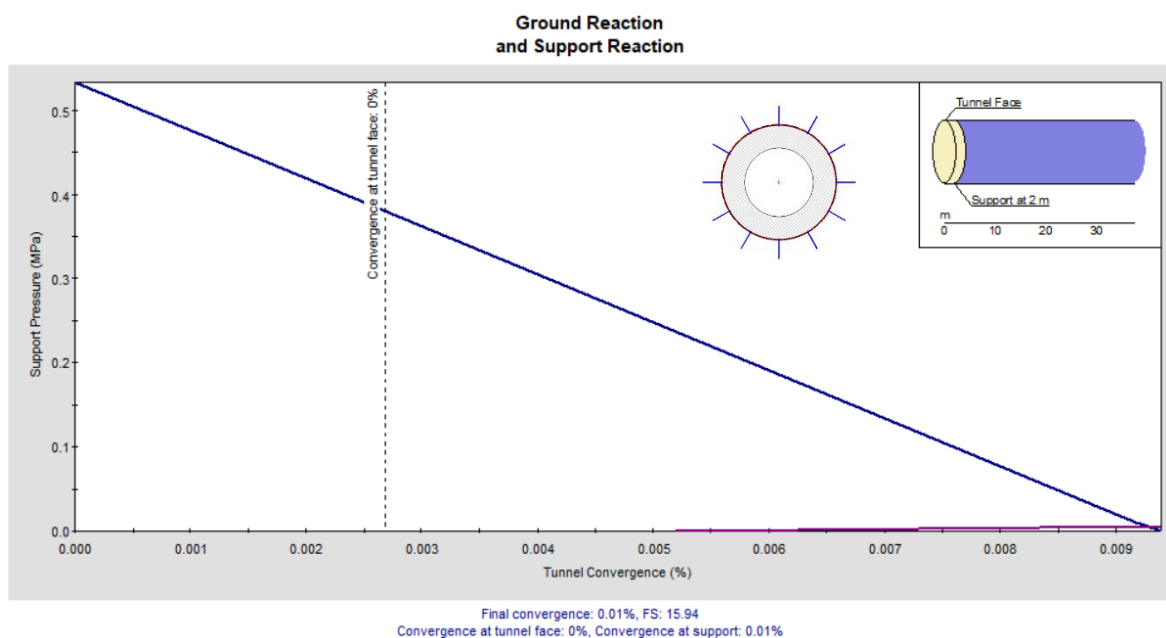
6.3. Càlcul del revestiment de la secció circular amb *RocSupport*

Gràcies al suport d'una eina com el software *RocSupport* es pot calcular els revestiments necessaris per a els sosteniments de les parets del túnel mitjançant les gràfiques de comportament elasto-plàstiques tant del massís com del sosteniment.

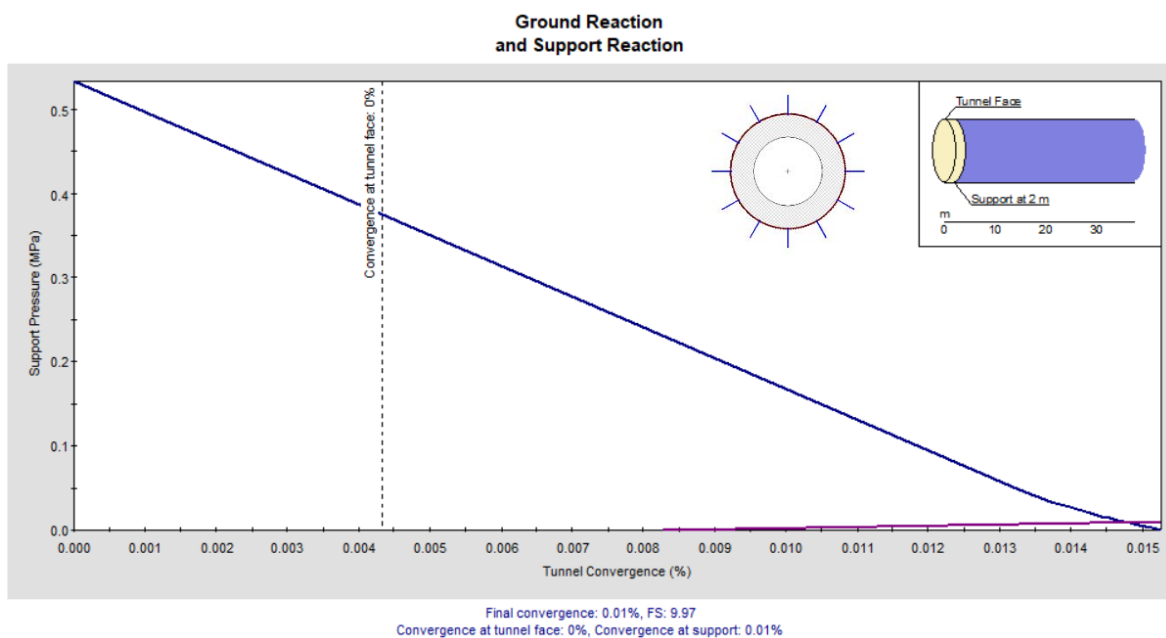
El càlcul es realitza sobre les seccions de més profunditats ja que són les més favorables a col·lapsar degut a la pressió que hi exerceix el pes del material que tenen per sobre. Per als paràmetres del túnel s'introdueix el radi de disseny, 6,3 metres en el present treball amb uns esforços in situ de 0,533 MPa resultants de multiplicar la profunditat de 20,5 m per el pes específic de la roca de 0,026 MN/m³. Per a les propietats elàstiques del massís es fan servir les obtingudes amb el software *RocData* per a cada un d'ells. Per acabar s'utilitza el mètode de GSI per a les propietats físiques del massís a partir de la evolvent de ruptura amb les mateixes dades utilitzades al apartat de *RocData*.

Tant a les il·lustracions 31 com 32, les gràfiques elasto-plàstiques del TEM i el TEC respectivament, es pot observar com el terreny té un comportament elàstic en tota la gràfica fins que arriba a l'estat de repòs després d'alliberar totes les tensions. Això confirma els estudis de *Examine2D* de que el túnel no col·lapsa al no arribar al seu límit plàstic. En el

TEM, però, arribant al punt de repòs la gràfica comença la corba cap al punt plàstic, això significa que a diàmetres de secció de túnel més grans hi hauria col·lapse, havent de reforçar el revestiment.



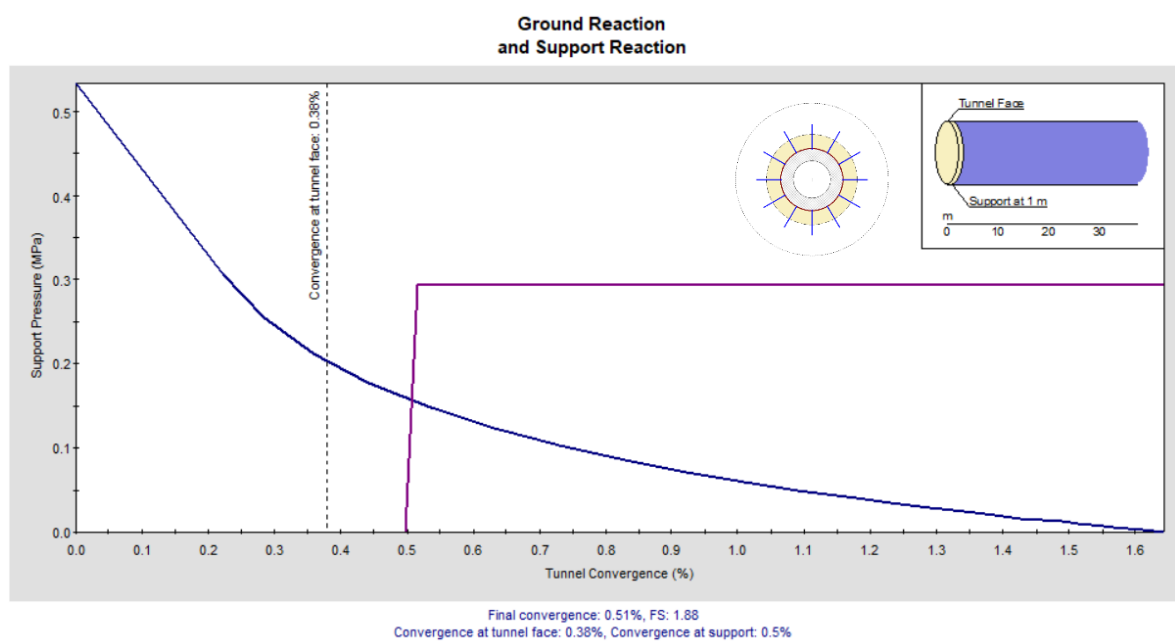
Il·lustració 31 Gràfica elasto-plàstica per TEM



Il·lustració 32 Gràfica elasto-plàstica per TEC

Seguint la normativa NAP 3-2-1.0 en matèria de túnels ferroviaris tant al tram del túnel que travessa el massís TEC, com al que ho fa pel TEM s'embolonen amb bolons de fibra de vidre de 4mm de diàmetre, amb una longitud de 3 m, injectats amb una beurada

de resina en tot el diàmetre amb un espaiat de 3 m. També s'hi col·locarà una capa de formigó projectat de 5 cm. El revestiment es començarà als 2 m del front de l'exploració en els dos tipus de massís. A les gràfiques de les il·lustracions 31 i 32 tenim graficat el comportament elasto-plàstic d'aquesta subjecció de color violeta. A les gràfiques també obtenim que la convergència total del túnel a l'interior del massís TEM i TEC és de 0.01%, amb un factor de seguretat en el cas el túnel del massís TEM de 15,94 i de 9,97 en el TEC. En cap dels dos casos hi ha cap tipus de convergència al front de l'excavació.



Il·lustració 33 Gràfica elasto-plàstica per a la falla

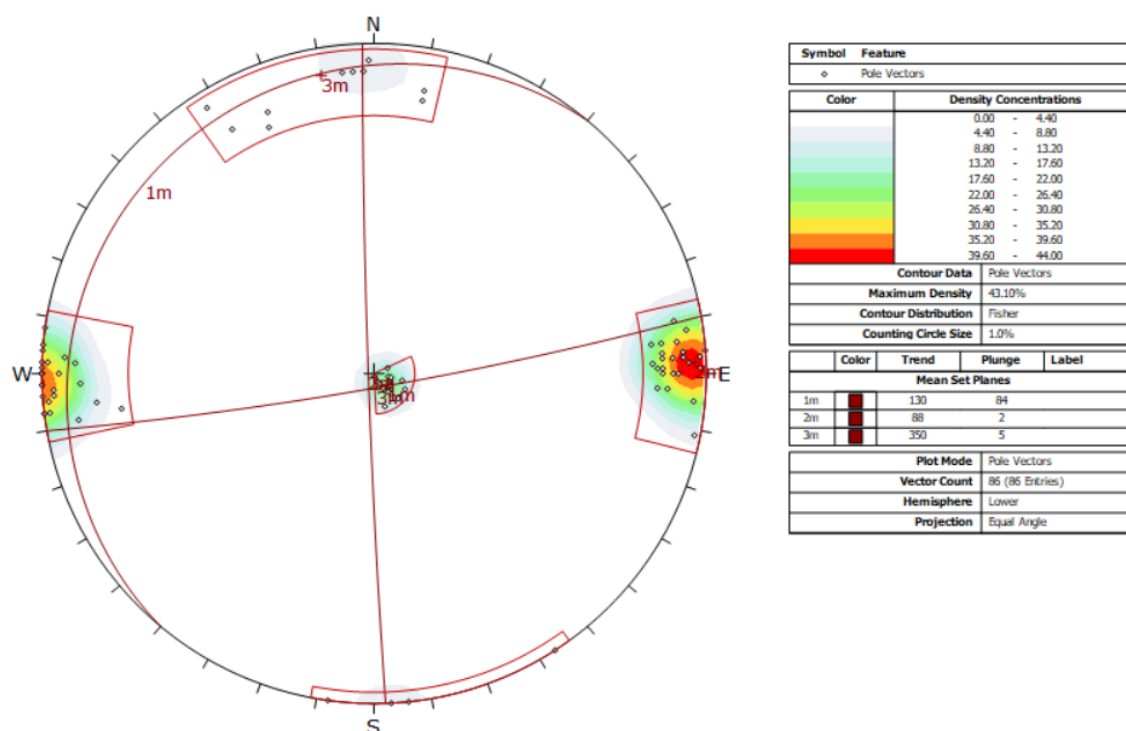
A la il·lustració 33 es pot observar com al front de l'excavació el massís fallat ja es troba a la corba de transició entre el comportament elàstic i el comportament plàstic, és per això que en aquesta zona cal començar el revestiment a 1 metre del front per a contenir la relaxació i evitar el col·lapse convergent. El revestiment proposat per a aquest tram és de bolons de fibra de vidre de 15 cm de diàmetre i 3 m injectats en la seva totalitat amb beurada de formigó amb una separació de 1,2 m entre ells. El formigó projectat té un espessor de 5 cm i es comença a projectar a una distància de 1 metre des del front de l'exploració.

Amb la gràfica elasto-plàstica del revestiment proposat es pot veure com la convergència final del túnel és de 0.5% al trobar-se amb el revestiment, moment a on no es produirà més convergència. El revestiment podrà aguantar la pressió que exerceix el massís amb un factor de seguretat de 1,88. S'ha de tenir molta cura amb el front de l'excavació ja que el massís està constantment en estat convergent a prop del límit plàstic.

6.4. Estudi de desprendiments per cunyes amb *Dips*

Per a simular les caigudes i desprendiments de blocs a la part no reforçada del túnel, sobre tot per als mètodes d'excavació convencionals es fa us de software *Dips*.

A l'annex 7 es veuen els cabussaments i les direccions de les principals famílies de discontinuïtats que es troben a Manresa (Rabaneda Espinalt 2010). S'introdueixen aquestes dades al software per a que calculi els plans que formen les discontinuïtats, el resultat es pot veure a la il·lustració 34.



Il·lustració 34 Plans de les discontinuïtats

Al gràfic s'observa que a Manresa les principals famílies de discontinuïtats corresponen a plans verticals en sentit nord-sud, uns plans est-oest i una altres horitzontals. Les primeres dos famílies de discontinuïtats s'expliquen per la diàclasi que es troba pel territori de Manresa i rodalies, i els plans horitzontals corresponen a la estratigrafia sedimentaria de la zona.

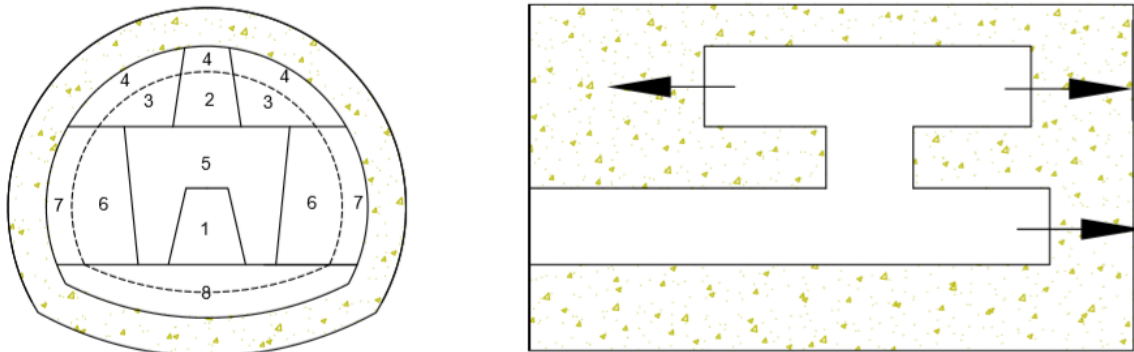
Com que les tres famílies de discontinuïtats són pràcticament perpendiculars entre elles no s'espera la generació de cap tipus de cunya en tot el traçat del túnel ferroviari en cap orientació que prengui aquest pel que es pot afirmar que no hi hauran desprendiments d'aquest tipus.

7. NOU MÈTRODE AUSTRIAC I MÈTODE BELGA

Segons la normativa actual en matèria de construcció de túnels per a obres ferroviàries als massissos rocosos es recomana la tècnica de construcció de túnels coneguda com a Nou Mètode Austríac, a les seccions de túnel amb roques toves, sòls, etc. es deuen considerar altres mètodes de construcció com ara el mètode Belga. És per això que la secció final escollida pel traçat de la línia de metro a Manresa és la corresponent a la construcció per mètodes convencionals. Els trams que passin pels massissos TEM i TEC s'utilitzarà el nou mètode austríac ja que la qualitat de la massa rocosa és bona. Com que el comportament al massís fallat és similar al de un sòl es procedirà amb el mètode Belga per al traçat de la línia.

7.1. Nou mètode Austríac

És el mètode principal que s'utilitzarà per a la construcció del túnel ferroviari a Manresa tal com demana la normativa NAP 3-2-1.0 en massissos rocosos. Aquest mètode comença amb una galeria d'avanç a la base que segueix el traçat de l'eix del túnel. Aquesta galeria s'utilitzarà com a via d'evacuació i extracció de material. A la il·lustració 35 aquesta via correspon al numero 1.



Il·lustració 35 Seqüència d'excavació del Nou Mètode Austríac

Un cop s'ha avançat prou longitud es comença la excavació de una galeria ascendent fins que s'arriba a la secció 2. Arribats a aquest punt es comença el que es coneix com a avançament, s'avança aquesta galeria longitudinalment utilitzant el pou que s'ha creat per l'ascens com a pou d'evacuació de les terres resultants de l'excavació. Un cop s'ha avançat prou es comença l'excavació del numero 3 i 4 per ordre. Al acabar la extracció del número 4 es projecta la capa de formigó de 7 cm i es col·loquen els bolons per a sostenir el sostre. Un cop acabada la fase d'avançament comença la de destrossa. La primera secció que s'extreu d'aquesta fase es la que correspon al número 5. Es segueix per la 6 i la 7 per a seguidament projectar el formigó i col·locar els bolons. Un cop es tenen

les parets del túnel revestides i subjectes s'extreu la secció 8 es projecta amb formigó i s'hi enclaven els bolons.

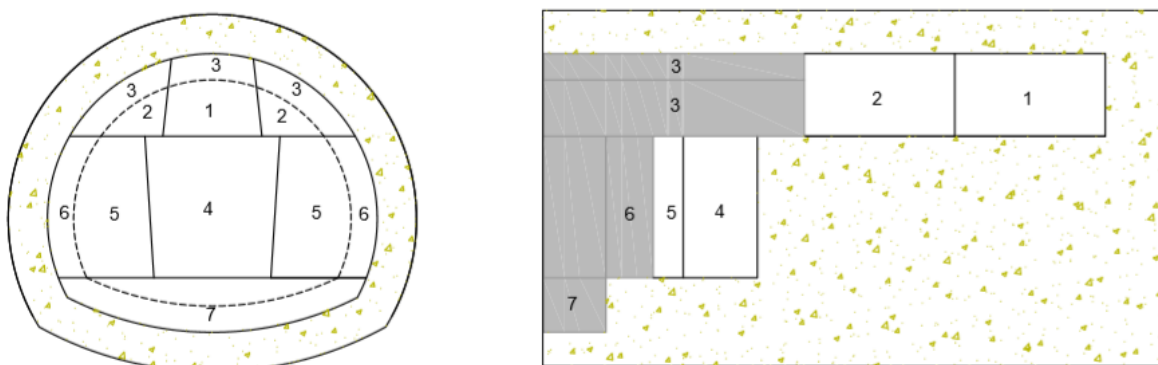
Aquest mètode té com avantatge que es pot anal extraient la galeria corresponent a la secció número 1, anar fent pous verticals per a poder dur a terme diversos fronts d'exploració simultàniament seguint l'esquema d'extracció proposat (Soto Saavedra 2004).

L'esquema de perforació es fa seguint aquest ordre per a aprofitar la capacitat autoportant del terreny i aprofitant la col·laboració que fan els pilars de roca no extreta en la resistència i sosteniment del conjunt. Aquest fenomen es pot explicar sobre l'esquema d'extracció, un cop s'extreu la primera fase de destrossa, la número 5, els sostre del túnel queda subjectat per les parets que corresponen al número 6. És per això que aquest mètode només es pot emprar en massissos rocosos de bona qualitat, ja que si no fos així el terreny col·lapsaria sobre la galeria número 1 o durant la fase d'avançament ja que la roca no suportaria les càrregues generades durant l'excavació.

Amb aquest mètode es permet una petita deformació en les parets del túnels mentre s'extreu cada secció produïda per la convergència de la roca, però al ser de bona qualitat i estar autosubjectada pel propi massís permet que el revestiment acabi subjectant tot el contorn del túnel fins a arribar al estat d'equilibri. Per a assegurar l'efectivitat del mètode s'ha de monitoritzar el comportament mecànic del massís després de cada fase per a continuar amb el mètode, o passar al mètode Belga que s'explica a continuació.

7.2. Mètode Belga

El mètode Belga s'utilitzarà per a excavar la secció del túnel al terreny fallat ja que és un mètode idoni per a sòls o roques toves segons la normativa d'aplicació. L'esquema d'extracció es pot veure a la il·lustració 36.



Il·lustració 36 Seqüència d'excavació del mètode Belga

Aquest mètode consisteix en una fase de avançament i un altre de destrossa al igual que al Nou Mètode Austríac, la diferència d'aquest mètode és que es comença

avançant per la galeria de la secció número 1 i s'apuntala el sostre amb bigues verticals i horitzontals per a subjectar el sostre, seguidament es continua amb l'extracció de la secció 2 la qual també s'apuntala. S'acaba la fase d'avançament amb la fase número 3 sobre la qual es projecta el formigó i s'embolona. Un cop el terreny està ben subjecte s'inicia la fase de destrossa, s'excava la secció número 4, 5 i 6 de només un dels cantons del túnel per a projectar formigó i embolonar la paret del túnel. Es repeteix la seqüència a l'altre banda de la secció per acabar extraient la base del túnel subjectant-la amb el formigó i els bolons. Tots els bolons en aquest mètode han d'estar injectats amb formigó per assegurar la correcta subjecció del terreny.

És un mètode d'extracció més lent que el Nou Mètode Austríac ja que no permet tenir més d'un front obert i s'ha d'anar apuntalant el sostre a mesura que s'avança, pel que resulta més car de dur a terme, però com té l'avantatge de que les bigues subjecten el terreny fent que aquest sigui un dels mètodes més segurs per a poder avançar en terrenys fallats.

8. CONCLUSIONS

Malgrat la quantitat de sondejos públics dels que es disposa a la web del ICGC no és possible fer una modelització fidel de l'àrea de Manresa ni de les seves proximitat amb les dades que apareixen en ells. El sondejos publicats no son representatius de la zona ja que corresponen a trams viaris o a projectes de construcció pel que no son una mostra representativa dels horitzons geològics que es troben al subsòl de Manresa. La poca representativitat es deu a que hi ha grans extensions de terreny a on no es troben sondejos i altres zones amb un gran núvol de sondejos, però poc representatius per les seves dimensions ja que en molts dels casos només s'aprofundeix pocs metres per a fer l'estudi dels fonaments dels habitatges. En molts casos el sondeig es para quan s'arriba al sostre terciari, sense poder saber-se si aquest sostre pertany al terciari marí o al continental.

Per a poder crear un model fidel s'hauria de fer un extens treball de camp consistent en la creació d'una malla de sondejos de profunditats suficient per a traspasar l'horitzó terciari i poder determinar-ne així la seva procedència. A part s'hauria d'augmentar la malla de sondejos a les zones característiques com el Qt1, Qt2, Qt3 i Qt5, així com als voltants de la falla per a poder modelitzar l'encavalcament que pateix el TEM amb el TEC a la zona est.

Amb aquests nous sondejos només caldria introduir-los al model generat en el present treball i regenerar-lo seguint el mètode emprat amb els arxius d'especificacions creats durant el transcurs de la modelització.

De la part del massís terciari es pot afirmar que tant el TEC com el TEM presenten unes bones propietats per a ser excavats i fer un túnel dins de la normativa vigent el prou gran com per a que hi puguin circular dos vagons en sentit contrari seguint el Nou Mètode Austríac. La única part del terreny que no presenta unes bones condicions és la que passa per sota de la falla, zona per la qual caldria utilitzar el mètode Belga. Cal destacar que a la zona de la falla no hi han edificacions pel que passar una línia de metro per la zona no te sentit, encara que aquest tipus d'excavació també és pot aplicar a qualsevol túnel viari.

Per a les simulacions fetes amb els softwares de *Rocscience* caldrien fer més assajos de laboratori per a poder determinar més paràmetres a l massís TEC. Una vegada més, aquests assajos es farien amb les mostres extretes de la malla representativa de sondejos.

9. BIBLIOGRAFIA

ASTM., 2008. ASTM-D1586-11: Standard test method for standard penetration test (SPT) and split-barrel sampling of soils. A: *ASTM International*. ISSN <null>. DOI 10.1520/D1586-11.2.

Base topogràfica 1:5.000. Institut Cartogràfic i Geològic de Catalunya. A: [en línia]. [Consulta: 19 maig 2019]. Disponible a: <http://www.icgc.cat/Descarregues/Cartografia-vectorial/Base-topografica-1-5.000>.

Cartografia geològica. Institut Cartogràfic i Geològic de Catalunya. A: [en línia]. [Consulta: 19 maig 2019]. Disponible a: <http://www.icgc.cat/Descarregues/Cartografia-geologica>.

Certificación., A.E. de N. y, Certificación., A.E. de N. y i Geotecnia., A. 103., 1994. UNE 103-801-94 : geotecnia : prueba de penetración dinámica superpesada. A: *Geotecnia ensayos de campo y de laboratorio*. p. 353-358. ISSN 848143132X.

Cobo Molina, A., 2009. *Caracterització dels Gresos de Manresa com a roca ornamental i constructiva* [en línia]. EPSEM. Disponible a: <http://hdl.handle.net/2099.1/7179>.

Dapena, E. i Lacasa, J.G.A.(2000).“Relación entre los resultados de los ensayos de penetración dinámica Borros DPSH y el SPT en un suelo arcilloso”. A: *Actas del Simp. sobre geotecnia de las infraestructuras lineales. Soc. Española de Mec. del Suelo e Ing. Geotécnica*.

Geoíndex - Sondejors. Institut Cartogràfic i Geològic de Catalunya. A: [en línia]. [Consulta: 23 maig 2019]. Disponible a: <http://www.icgc.cat/ca/Administracio-i-empresa/Eines/Visualitzadors-Geoindex/Geoindex-Sondejos>.

Grimstad, E. i Barton, N., 1993. Updating the Q-system for NMT. A: *Proc. Int. Symp. on Sprayed Concrete, Fagernes, Norway 1993*.

Marinos, V., 2017. NEW PROPOSED GSI CLASSIFICATION CHARTS FOR WEAK OR COMPLEX ROCK MASSES. A: *Bulletin of the Geological Society of Greece*. Vol. 43, p. 1248. DOI 10.12681/bgsg.11301.

Norma, N.A. V., 2018. *NAP 2-3-1.0/ Norma ADIF plataforma Túneles*. ADIF [http://www.seguridadferroviaria.es/recursos_aesf/89564F66-5BCE-43A9](http://www.seguridadferroviaria.es/recursos_aesf/89564F66-5BCE-43A9....)

Oms, O., López-Blanco, M. i Vilaplana, J.M., 2016. Introducción a la geología de la Cataluña Central. A: *Excursiones geológicas por la Cataluña Central - XIX Simposio sobre Enseñanza de la Geología*. 1. Manresa: Monografies tècniques, p. 196.

Rabaneda Espinalt, A., 2010. *Caiguda de blocs als penya-segats del Llobregat al seu pas per Manresa* [en línia]. EPSEM. Disponible a: <http://hdl.handle.net/2099.1/9536>.

Revilla Sala, A., 2010. *Caracterització geotècnica dels materials travessats pel túnel de l'Eix Transversal Ferroviari a l'est de Manresa* [en línia]. EPSEM. Disponible a: <http://hdl.handle.net/2099.1/9537>.

Society, S.G. i Geology, E., 2001. System of notations for geotechnical investigations. A: . p. 1-61.

Soto Saavedra, P.R., 2004. Construcción de túneles. A: *Valdivia: Universidad Austral de Chile. Facultad deficiencias de la Ingeniería Escuela de Construcción Civil. Modalidad tesis de grado.*

Wyllie, D.C. i Mah, C.W., 2017. *Rock slope engineering: Civil and mining, 4th edition.* ISBN 9781482265125. DOI 10.1201/9781315274980.

10. ANNEXOS

10.1. TAULA “COLLAR”

	DHID	EAST	NORTH	ELEV	TD
1	AO_024_08 CM-ETFII-11	400211,12	4618829,94	230,8	2,4
2	AR_013_04 S-1	403565,33	4626532,8	322,592	9
3	AR_013_04 S-2	403555,72	4626545,13	323,094	8
4	AR_013_04 S-3	403565,45	4626562,32	323,591	9
5	AR_041_00 S-3	402069,04	4619686,83	221,5	10
6	AR_041_00 S-2	402073,06	4619670,73	221,5	7,85
7	AR_041_00 S-1	402067,47	4619659,55	221,5	8
8	AR_076_02 S-1	403472,91	4621762,07	265,901	11
9	AR_076_02 S-2	403461,31	4621731,77	265	14,8
10	AR_076_02 S-4	403485,16	4621746,92	265,587	11,5
11	AR_076_02 S-3	403477,75	4621711,79	265	12
12	AR_146_02 S-1	403382,71	4621517,02	260,525	10
13	AR_146_02 S-3	403383,5	4621482,09	260	9,6
14	AR_146_02 S-2	403400,43	4621497,18	260	8
15	AR_146_02 S-4	403395,67	4621459,34	259,149	7,8
16	AR_146_02 S-8	403387,2	4621379,44	255,903	9
17	AR_146_02 S-6	403390,64	4621417,8	257,707	7,9
18	AR_146_02 S-5	403380,33	4621444,26	258,826	9
19	AR_146_02 S-7	403378,21	4621406,95	257,29	9
20	AR_153_02 S-1	403310,87	4621444,48	260,75	11
21	AR_153_02 S-5	403308,39	4621465,05	262	12
22	AR_153_02 S-2	403323,64	4621476,39	261,5	12
23	AR_153_02 S-4	403320,8	4621494,12	262,5	11
24	AR_153_02 S-3	403336,05	4621511,85	262,168	12
25	GN_1113 S-1	402682,42	4620614,39	251	10
26	GN_1113 S-2	402659,77	4620619,69	250	6
27	GN_1113 S-3	402634,16	4620632,81	249	5
28	GN_1113 S-4	402674,38	4620619,9	251	6
29	GN_1113 S-5	402642,42	4620631,96	249,959	6
30	GN_1113 S-6	402644,74	4620625,83	249,609	6
31	GN_1116 S-7	404212,87	4618792,42	325	9
32	GN_1116 S-6	404217,9	4618812,27	325	7,4
33	GN_1116 S-1	404195,67	4618786,34	325	8,5
34	GN_1116 S-2	404191,97	4618803,27	325	13,7
35	GN_1116 S-3	404197,26	4618823,11	325	11,3
36	GN_1116 S-4	404181,91	4618826,82	325	10
37	GN_1116 S-5	404174,24	4618792,16	325	9
38	GN_1119 S-2	403837,96	4622347,46	287,29	20
39	GN_1119 S-3	403895,91	4622346,26	285,819	20
40	GN_1119 S-4	403926,86	4622355,79	285,623	20,1

41	GN_1119 S-5	403973,69	4622380	285,805	20,15
42	GN_1119 S-6	404018,94	4622403,02	286,749	20,05
43	GN_1119 S-7	403973,7	4622580,42	289,501	20,1
44	GN_1119 S-8	403771,69	4622520,49	289,438	20
45	GN_1119 S-1	403791,53	4622348,25	289	20,15
46	GN_1124 S-1	402228,46	4619764,29	228	9,5
47	GN_1124 S-2	402228,46	4619774,59	228,59	8,3
48	GN_1124 S-3	402218,71	4619759,14	227,785	7,2
49	GN_1124 S-4	402211,12	4619755,62	227,566	8,5
50	GN_1124 S-5	402207,06	4619765,1	227,978	8,5
51	GN_1124 S-6	402214,92	4619775,4	228,532	9
52	GN_1124 S-7	402197,58	4619772,96	227,995	8,7
53	GN_1124 S-8	402199,74	4619780,28	228,26	9,3
54	GN_1124 S-9	402194,05	4619777,84	228,007	8,9
55	GN_1668 S-1	402513,68	4619739,07	228,035	5
56	GN_1668 S-2	402524,46	4619734,69	226,2	5,5
57	GN_1668 S-4	402544,8	4619732,05	222,404	5
58	GN_1668 S-3	402539,11	4619723,61	222,996	5,25
59	GN_1716_004 S-2	402986,02	4620703,37	248,37	12
60	GN_1716_004 S-1	402998,47	4620763,79	250,041	12
61	GN_1717_005 S-1	403025,32	4619872,53	252,9	12,3
62	GN_2129 S-4	402296,04	4621089,55	260	6
63	GN_2129 S-3	402274,2	4621108,34	261	6
64	GN_2129 S-5	402268,25	4621069,05	260	9
65	GN_2129 S-6	402248,71	4621053,91	259,116	5
66	GN_2129 S-7	402225,52	4621038,77	258,415	9
67	GN_2129 S-8	402207,5	4621066,94	260	5
68	GN_2129 S-1	402230,69	4621081,51	260	5
69	GN_2129 S-2	402252,73	4621094,73	260	6
70	GN_2301 P-4	406451,36	4622693,6	260	2,2
71	GN_2301 P-3	406468,39	4622695,74	260	1,4
72	GN_2301 P-1	406501,64	4622660,75	260	0,8
73	GN_2301 P-2	406493,33	4622672,68	260	1,8
74	GN_2301 S-2	406508,61	4622668,92	260,161	7,4
75	GN_2301 S-1	406463,42	4622668,12	260	7,5
76	GN_2311 P-1	406152,03	4617442,07	207,919	2,4
77	GN_2311 S-1	406164,73	4617438,9	209,13	6
78	GN_2311 P-2	406177,96	4617427,52	209,61	4,2
79	GN_2457 P-2	406547,72	4622453,98	255	5,8
80	GN_2457 S-2	406547,2	4622468,13	255	4,5
81	GN_2519 S-4	403798,13	4626443,69	319,57	3
82	GN_2519 S-3	403805,99	4626441,95	318,65	4,6
83	GN_2519 S-1	403803,1	4626435,58	318,878	6,4
84	GN_2519 S-2	403798,32	4626436,16	319,084	5,3
85	GN_2520 P-2	403014,86	4626170,17	319,53	1,6
86	GN_2520 C-3	403028,09	4626181,28	318,93	1

87	GN_2520 C-1	403104,82	4626205,36	315,246	2,3
88	GN_2520 P-1	403117,52	4626185,25	314,87	2,8
89	GN_2520 C-2	403082,33	4626150,33	315,73	4,75
90	GN_2540 S-1	405326,15	4622194,38	256,136	11
91	GN_2540 S-2	405297,33	4622258,67	260,415	15
92	GN_2543 S-2	406425,47	4622775,8	259,89	9
93	GN_2543 S-1	406431,28	4622743,06	260	12
94	GN_2543 S-5	406409,7	4622768,92	259,99	11
95	GN_2543 S-4	406410,64	4622755,28	260	11
96	GN_2543 S-3	406410,05	4622739,5	260	12
97	GN_2544 P-1	406234,05	4624560,02	270	9,4
98	GN_2544 P-2	406394,07	4624811,18	275	6,6
99	GN_2544 P-3	406447,93	4624895,69	275,814	7,4
100	GN_2544 P-4	406534	4625030,89	280	0,4
101	GN_2544 C-1	406296,78	4624681,5	270	3,8
102	GN_2544 C-2	406519,9	4624934,21	277,707	1
103	GN_2544 C-7	406277,71	4624800,42	274,62	4,5
104	GN_2545 C-6	405590,09	4623960,47	267,182	2,2
105	GN_2545 C-7	405662,49	4623973,17	267,781	1,2
106	GN_2545 C-5bis	405800,95	4624059,55	269,36	0,6
107	GN_2545 C-5	405809,84	4624072,25	270	0,6
108	GN_2545 C-4	405902,57	4624164,97	270	4,2
109	GN_2545 C-9	406038,48	4624035,41	265	3,6
110	GN_2545 C-1	406199,8	4623936,33	267,105	4,3
111	GN_2545 C-8	406043,56	4623938,88	265,046	0,4
112	GN_2545 C-8bis	406051,18	4623922,36	265,353	3,2
113	GN_2545 C-3	406049,91	4623710,24	262,306	4,3
114	GN_2545 S-1	405974,97	4623780,1	261,547	8,2
115	GN_2545 C-2	406128,66	4623804,23	264,87	4,2
116	GN_3124 S-63-5	398562,11	4617901,95	334,774	35
117	GN_3124 S-64-2	398680,11	4617993,95	310	15
118	GN_3124 S-64-5	398868,11	4618385,95	310	15
119	GN_3124 S-64.7	398911,12	4618641,95	316,23	25
120	GN_3124 S-64-92	398912,12	4618851,95	287,629	21,6
121	GN_3124 S-64-95	398909,12	4618887,95	276,72	23
122	GN_3124 S-64-99	398905,12	4618922,95	273,46	18
123	GN_3124 S-65-02	398898,12	4618958,95	269,637	15
124	GN_3124 S-65-07	398892,12	4619001,95	264,243	15
125	GN_3124 S-65-140	398876,12	4619069,95	260,604	15
126	GN_3124 S-65-24	398848,12	4619167,95	240	15
127	GN_3124 S-65-31	398826,12	4619231,95	241,788	15
128	GN_3124 S-65-35	398809,12	4619272,95	243,314	15
129	GN_3124 S-65-40	398791,12	4619315,95	245,03	15
130	GN_3124 S-65-44	398775,12	4619355,95	250,6	15
131	GN_3124 S-65-48	398761,12	4619388,95	252,31	15
132	GN_3124 S-65-51	398749,12	4619421,95	252,979	15

133	GN_3124 S-65-55	398735,12	4619453,95	253,743	15
134	GN_3124 S-65-58	398723,12	4619486,95	256,5	15
135	GN_3124 S-65-62	398712,12	4619521,95	259,48	15
136	GN_3124 S-65-655	398702,12	4619553,95	275	15
137	GN_3124 S-66-5	398704,13	4620378,95	305,627	20
138	GN_3124 S-67-1	398810,13	4620893,95	290	15
139	GN_3124 P-64-2	398671,11	4618012,95	310	2
140	GN_3124 P-64-55	398852,11	4618392,95	310	2
141	GN_3124 P-66-74	398778,13	4620546,95	284,512	1,2
142	GN_3124 P-67-05	398759,13	4620841,95	290	4,4
143	GN_3124 C-63-98	398658,11	4617966,95	311,33	0,7
144	GN_3124 C-64-26	398793,11	4618211,95	310	0,5
145	GN_3124 C-64-38	398838,11	4618314,95	310	0,8
146	GN_3124 C-64-5	398852,11	4618392,95	310	2,5
147	GN_3124 C-64-64	398900,11	4618562,95	305	3
148	GN_3124 C-66-36	398657,13	4620121,95	281,326	1,5
149	GN_3124 C-66-74	398747,13	4620547,95	287,266	3,6
150	GN_3124 C-67	398742,13	4620797,95	289,122	2,6
151	GN_3124 C-67-3	398973,13	4620882,95	291,866	1,4
152	GN_3133 CD-127-2	396745,88	4620661,37	304,598	2,16
153	GN_3133 CD-128-0	397388,36	4620764,4	314,561	1,26
154	GN_3133 CD-129-2	398433,17	4621143,88	320	0,55
155	GN_3133 CD-130-6	399595,51	4620439,72	274,581	0,68
156	GN_3133 SE-128-3	397635,13	4621036,96	295	9,5
157	GN_3133 SE-129-3	398527,13	4621048,96	305	13,4
158	GN_3133 SE-131-0	399962,13	4620477,94	265	10
159	GN_3134 S-2	404029,16	4622970,92	288,8	12,75
160	GN_3134 S-3	404075,16	4622972,92	287,859	10,2
161	GN_3134 S-4	404348,16	4623152,91	284,101	10
162	GN_3134 S-5	405300,16	4623774,91	259,5	15,15
163	GN_3134 S-6	405359,16	4623827,91	263	20
164	GN_3134 S-7	406093,17	4624485,9	274,793	20
165	GN_3134 S-8	406161,17	4624580,9	270	20,4
166	GN_3134 C-1	400898,14	4621483,94	217,118	4
167	GN_3134 C-2	401296,14	4621594,94	240	4,3
168	GN_3134 C-3	402061,14	4621728,93	249,099	4
169	GN_3134 C-6	405805,17	4624077,9	270	2,5
170	GN_3134 C-7	406174,17	4624552,9	270	3
171	GN_3134 C-8	406348,17	4624881,9	275	3,5
172	GN_3142 S-1	397197,77	4627075,89	316,643	30
173	GN_3142 S-3	396861,75	4626952,2	347,268	20,5
174	GN_3142 S-2	397032,41	4627017,68	348,198	20
175	GN_3663 S-1	400820,78	4622014,45	216	7,8
176	GN_3664 S-1	400462,59	4622836,61	221,03	8
177	GN_3664 S-2	400493,81	4622823,65	221,5	8
178	GN_3665 P-3	399995,43	4621665,39	249,97	1,8

179	GN_3665 P-2	399963,42	4621661,95	250	0,4
180	GN_3665 P-1	399945,95	4621633,64	251,8	5,4
181	GN_3665 S-2	399979,03	4621638,66	249,73	8
182	GN_3665 S-1	400014,48	4621647,13	248,47	8
183	GN_3666 S-1	400491,39	4622849,88	220,29	8
184	GN_3666 P-2	400503,76	4622833,94	220,9	8,6
185	GN_3666 P-1	400480,14	4622855,97	220,1	9
186	GN_3687 DPSH-4	406114,92	4617426,25	205,863	3,2
187	GN_3687 DPSH-3	406107,38	4617426,91	205,424	3,4
188	GN_3687 DPSH-2	406110,42	4617446,62	205,492	4,8
189	GN_3687 DPSH-1	406117,7	4617445,83	205,92	4,4
190	GN_3735 P-2	400621,56	4622794,32	220,59	8,4
191	GN_3735 P-1	400633,41	4622741,77	220,4	4,8
192	GN_3735 S-1	400627,21	4622768,18	220,76	9,3
193	GN_3736 DPSH-2	400726,63	4621971,89	220	4,4
194	GN_3736 DPSH-1	400716,93	4621976,2	220,177	5,4
195	GN_3737 P-1	400544,71	4621945,85	228,435	3
196	GN_3769 S-5R	403316,79	4620735,54	245	8,2
197	GN_3769 C-2	403301,72	4620688,07	245	0,7
198	GN_3769 S-4R	403296,45	4620678,27	244,767	8
199	GN_3769 C-1	403290,42	4620652,65	244,147	8,2
200	GN_3769 C-3	403232,4	4620597,64	241,538	3,1
201	GN_3769 S-3R	403205,27	4620542,63	240	7,4
202	GN_3769 S-2R	403132,93	4620507,97	239,86	8
203	GN_3769 S-1R	403062,09	4620442,41	240	8
204	GN_3770 S-6	402602,33	4619801,85	225,765	9
205	GN_3770 S-5	402610,62	4619814,66	226,317	10,2
206	GN_3770 S-4	402592,54	4619679,39	228,39	7,2
207	GN_3770 S-3	402579,35	4619706,52	225,71	18
208	GN_3770 S-1	402576,33	4619730,64	224,81	18
209	GN_3770 S-2	402593,29	4619763,79	225,163	18
210	GN_3771 S-5	402027,29	4619741,95	220,799	10
211	GN_3771 S-4	402068,36	4619727,26	223,13	10
212	GN_3771 S-3	402081,17	4619743,84	223,65	10
213	GN_3771 S-2	402053,29	4619755,89	222,655	10
214	GN_3771 S-1	402040,85	4619775,86	223,15	10
215	GN_3772 S-2	402631,65	4619510,5	204,304	9
216	GN_3772 S-3	402643,71	4619488,64	201,73	8
217	GN_3772 S-1	403633,63	4620230,06	275,14	8
218	GN_3773 PT-3	402324,91	4619523,68	213,379	12,4
219	GN_3773 PT-4	402326,61	4619542,33	216,101	13,2
220	GN_3773 PT-5	402311,91	4619537,62	215,013	12,2
221	GN_3773 PT-2	402295,52	4619547,61	214,9	7,8
222	GN_3773 PT-1	402323,4	4619561,93	219,388	7,4
223	GN_3773 S-4	402299,29	4619520,29	213,382	15,5
224	GN_3773 S-5	402317,75	4619497,69	209,178	12,43

225	GN_3773 S-3	402351,66	4619518,03	216,71	15,15
226	GN_3773 S-2	402342,81	4619538,38	218,86	15
227	GN_3773 S-1	402308,33	4619558,72	217,289	19
228	GN_3774 S-1	401100,97	4619973,79	213,401	6,15
229	GN_3774 P-1	401100,6	4619982,27	213,509	2,4
230	GN_3774 S-3	401164,84	4619992,44	211,84	7
231	GN_3774 S-2	401129,99	4620017,31	213,114	7
232	GN_3775 S-3	402053,71	4621133	267,957	3
233	GN_3775 S-1	402019,8	4621137,52	269,756	7,2
234	GN_3775 S-2	402045,61	4621162,01	268,26	2,4
235	GN_3776 S-6	403953,49	4618834,58	312,202	2,5
236	GN_3776 S-5	403919,58	4618855,87	311,38	6
237	GN_3776 S-4	403939,92	4618853,42	311,505	4,5
238	GN_3776 S-3	403956,88	4618865,1	311,27	3
239	GN_3776 S-2	403955,18	4618850,03	311,546	3
240	GN_3776 P-1	403942	4618867,36	311,32	1,6
241	GN_3776 S-1	403929,56	4618878,48	310,85	2,5
242	GN_3777 C-2	400704,1	4620126	231,479	2,2
243	GN_3777 SR-1	400720,68	4620107,92	229,271	6
244	GN_3777 C-3	400765,9	4620220,95	224,09	3,6
245	GN_3777 C-7	400592,58	4620403,31	232,26	1,9
246	GN_3777 C-9	400764,39	4620484,7	225,099	1,2
247	GN_3777 C-8	400683,01	4620465,1	227,518	0,5
248	GN_3777 SR-2	400699,58	4620329,46	231,2	6
249	GN_3777 C-4	400417,75	4620320,42	240,18	3,2
250	GN_3777 P-3	400393,64	4620333,99	241,878	2,4
251	GN_3777 P-2	400413,23	4620594,72	243,495	1
252	GN_3777 C-5	400389,12	4620590,2	244,211	1,5
253	GN_3777 P-1	400506,68	4620858,46	235,768	3,2
254	GN_3777 C-6	400505,17	4620826,81	237,448	4
255	GN_3777 C-1	400844,26	4619967,75	225	3,1
256	GN_3778 S-7	402697,86	4620997,42	256,27	12
257	GN_3778 S-8	402723,86	4620993,65	257,57	12
258	GN_3778 S-9	402752,87	4620989,89	259,34	11
259	GN_3778 S-6	402757,77	4621020,78	260,12	12
260	GN_3778 S-5	402728,38	4621027,56	259,063	11,7
261	GN_3778 S-4	402693,34	4621029,83	257,03	12
262	GN_3778 S-2	402732,14	4621053,56	260	12
263	GN_3778 S-3	402761,91	4621047,16	260	12
264	GN_3778 S-1	402694,84	4621055,45	258,46	11
265	GN_3779 S-1	399325,01	4619980,6	262,27	4,5
266	GN_3779 S-2	399317,19	4619964,96	261,84	5
267	GN_3779 S-4	399338,29	4619972,21	261,84	4,5
268	GN_3779 S-3	399330,47	4619956,95	261,21	4,2
269	GN_3780 S-2	404085,55	4622079,52	277,747	12
270	GN_3780 S-1	404118,52	4622082,91	278,93	12

271	GN_3780 S-3	404061,25	4622083,85	277,34	15
272	GN_3781 S-3	402022,8	4621563,51	252,708	3,5
273	GN_3781 S-1	401999,44	4621501,53	255,78	5
274	GN_3781 S-2	401942,74	4621554,09	255	4,2
275	GN_3782 P-2	400529,74	4618666,7	224,63	6,6
276	GN_3782 P-1	400548,77	4618670,46	225,26	6,6
277	GN_3782 S-1	400524,09	4618647,1	223,373	8,75
278	GN_3783 P-8	401983,16	4619514,5	208,687	2
279	GN_3783 C-8	401985,42	4619510,35	208,015	1
280	GN_3783 P-6	401969,22	4619587,59	215,09	5
281	GN_3783 C-6	401971,86	4619584,2	214,298	1,2
282	GN_3783 P-7	401958,3	4619552,93	210	7,2
283	GN_3783 C-7	401962,44	4619552,55	210,13	1,2
284	GN_3783 P-5	402003,89	4619644,11	218,118	3,4
285	GN_3783 C-5	402008,41	4619642,98	218,346	1,4
286	GN_3783 P-4	401980,91	4619766,56	220	2,8
287	GN_3783 C-4	401983,92	4619763,17	220	1,2
288	GN_3783 P-3	401976,38	4619797,46	220,35	2,4
289	GN_3783 C-3	401978,27	4619792,56	220,59	1,2
290	GN_3783 P-2	402012,18	4619872,81	222,367	5,8
291	GN_3783 C-2	402015,95	4619870,93	221,92	1,2
292	GN_3783 P-1	402074,35	4619931,59	224,71	3
293	GN_3783 C-1	402076,99	4619928,58	224,71	1,2
294	GN_3784 S-4	402245,03	4619488,12	205,645	6,4
295	GN_3784 S-2	402269,14	4619475,69	204,832	8,05
296	GN_3784 S-1	402286,85	4619474,18	204,1	6,7
297	GN_3784 S-5	402209,61	4619474,18	205,26	6
298	GN_3784 S-6	402190,02	4619451,95	201,71	12
299	GN_3784 S-3	402243,52	4619464,01	203,084	8
300	GN_3785 S-8	402057,01	4619476,82	203,058	7,3
301	GN_3785 S-7	402107,12	4619462,12	202,28	5
302	GN_3786 P-6	404327,29	4621589,47	280	6
303	GN_3786 S-5	404119,31	4622031,81	278,609	12
304	GN_3786 S-4	404103,49	4622052,91	277,965	12
305	GN_3786 S-2	404163,77	4622115,45	280,51	12
306	GN_3786 S-3	404094,45	4622108,67	278,489	12
307	GN_3786 P-1	404123,08	4622229,99	281,02	12
308	GN_3786 P-2	404050,74	4622095,11	276,723	6
309	GN_3786 P-3	404136,64	4621948,92	276,441	6
310	GN_3786 P-4	404208,23	4621834,38	280	6
311	GN_3786 P-5	404272,28	4621721,34	280,06	6
312	GN_3786 S-8	404203,71	4621982,83	280	12
313	GN_3786 S-9	404227,07	4621944,39	280	12
314	GN_3786 S-10	404249,68	4621905,21	280	12
315	GN_3786 S-11	404272,28	4621864,52	280	12
316	GN_3786 S-13	404292,63	4621829,1	280	12

317	GN_3786 S-14	404315,23	4621789,16	280	12
318	GN_3786 S-15	404340,1	4621747,72	280	12
319	GN_3786 P-7	404310,71	4621728,88	280	6
320	GN_3786 S-1	404338,59	4621688,94	280	12
321	GN_3786 S-6	404250,43	4622041,6	282,337	5,3
322	GN_3786 S-7	404300,92	4621975,29	280	12
323	GN_3786 S-12	404365,72	4621838,9	282,599	12
324	GN_4285 S-2	402006,9	4621517,59	255	2,5
325	GN_4285 S-3	401978,45	4621506,68	255,062	3
326	GN_4285 S-1	401981,29	4621539,4	255	4,8
327	GN_4567 S-10	403155,45	4626374,43	319,4	9
328	GN_4567 S-8	403162,07	4626360,16	318,88	11
329	GN_4567 S-9	403177,66	4626366,49	318,76	9,5
330	GN_4973 S-1	404895,04	4625760	287,5	8
331	GN_4973 S-2	404910,03	4625717	288,299	6
332	GN_4973 S-3	404922,95	4625659	291,783	8
333	GN_4973 P-1	404895,3	4625747	287,2	1,8
334	GN_4973 P-2	404906,41	4625741	288	2,6
335	GN_4973 C-1	404911,84	4625716	288,45	0,9
336	GN_5048 S-1	403200,27	4626383,73	318,97	9
337	GN_5048 S-2	403232,57	4626365,64	318,231	8
338	GN_5048 S-3	403184,26	4626352,72	318,051	10
339	GN_5152 S-1	402628,17	4621374,44	278,897	6,1
340	GN_5152 P-1	402640,28	4621381,16	278,877	5,6
341	GN_5152 S-2	402656,26	4621383,11	278,491	7
342	GN_5996 P-5	403325,3	4619928,81	264,41	2,6
343	GN_5996 P-1	403404,47	4619951,14	265,261	3
344	GN_5996 P-6	403424,94	4619957,13	265,517	3,2
345	GN_5996 S-4	403452,43	4619897,39	271,34	3
346	GN_5996 S-3	403394,34	4619901,53	266,724	4
347	GN_5996 P-2	403334,6	4619898,43	264,96	1,6
348	GN_6152 P-3	402675,11	4619683,92	236,52	3,8
349	GN_6152 S-2	402679,57	4619667,29	237,97	7
350	GN_6152 S-1	402689,52	4619675,86	239,51	8
351	GT_035_09 C-1	403626,14	4620803,92	252,575	1,2
352	GT_035_09 C-2	403721,14	4620666,92	260	4,6
353	GT_035_09 C-2b	403740,14	4620654,91	260	3,4
354	GT_035_09 C-3	403634,14	4620545,92	250,783	4,8
355	GT_035_09 C-4	403817,14	4620513,91	257,1	1,4
356	GT_035_09 C-5	404006,14	4620535,91	264,2	4,4
357	GT_035_09 C-7	404367,14	4620546,91	276	1,9
358	GT_035_09 C-8	403802,14	4620338,91	261,534	1,7
359	GT_035_09 C-9	403970,14	4620393,91	271	2,1
360	GT_035_09 C-10	404276,14	4620455,91	276,943	0,6
361	GT_035_09 C-11	404346,14	4620386,91	280,273	1,6
362	GT_035_09 C-12	404012,14	4620319,91	267,253	4,5

363	GT_035_09 C-13	403889,13	4620254,91	271,5	1,5
364	GT_035_09 C-14	404179,14	4620196,91	280,776	1,4
365	GT_035_09 C-15	404344,13	4620245,91	290,2	0,8
366	GT_035_09 C-16	404182,13	4620079,91	290	1,4
367	GT_035_09 C-17	404308,13	4620038,91	293,228	2
368	GT_055_09 C-1	399829,14	4621690,95	263,734	5,6
369	GT_055_09 C-1b	399821,14	4621689,95	263,2	1,2
370	GT_055_09 C-2	399812,14	4621613,95	263	0,7
371	GT_055_09 C-3	399936,14	4621612,95	253	1,5
372	GT_055_09 C-4	399791,14	4621524,95	266,435	0,7
373	GT_055_09 C-5	399968,14	4621525,94	251,015	3,6
374	GT_055_09 C-5b	399963,02	4621533,14	252,3	2,2

10.2. TAULA “SURVEY”

	DHID	DEPTH	AZIM	DIP
1	AO_024_08 CM-ETFI-11	2,4	90	-90
2	AR_013_04 S-1	9	90	-90
3	AR_013_04 S-2	10	90	-90
4	AR_013_04 S-3	9	90	-90
5	AR_041_00 S-3	10	90	-90
6	AR_041_00 S-2	7,85	90	-90
7	AR_041_00 S-1	8	90	-90
8	AR_076_02 S-1	11	90	-90
9	AR_076_02 S-2	14,8	90	-90
10	AR_076_02 S-4	11,55	90	-90
11	AR_076_02 S-3	12	90	-90
12	AR_146_02 S-1	10	90	-90
13	AR_146_02 S-3	9,6	90	-90
14	AR_146_02 S-2	8	90	-90
15	AR_146_02 S-4	7,8	90	-90
16	AR_146_02 S-8	9	90	-90
17	AR_146_02 S-6	7,8	90	-90
18	AR_146_02 S-5	9	90	-90
19	AR_146_02 S-7	9	90	-90
20	AR_153_02 S-1	11	90	-90
21	AR_153_02 S-5	12	90	-90
22	AR_153_02 S-2	12	90	-90
23	AR_153_02 S-4	11	90	-90
24	AR_153_02 S-3	12	90	-90
25	GN_1113 S-1	10	90	-90
26	GN_1113 S-2	6	90	-90
27	GN_1113 S-3	5	90	-90
28	GN_1113 S-4	6	90	-90
29	GN_1113 S-5	6	90	-90
30	GN_1113 S-6	6	90	-90
31	GN_1116 S-7	9	90	-90
32	GN_1116 S-6	7,4	90	-90
33	GN_1116 S-1	8,5	90	-90
34	GN_1116 S-2	13,7	90	-90
35	GN_1116 S-3	11,3	90	-90
36	GN_1116 S-4	10	90	-90
37	GN_1116 S-5	9	90	-90
38	GN_1119 S-2	20	90	-90
39	GN_1119 S-3	20	90	-90
40	GN_1119 S-4	20,1	90	-90
41	GN_1119 S-5	20,15	90	-90
42	GN_1119 S-6	20,05	90	-90
43	GN_1119 S-7	20,1	90	-90

44	GN_1119 S-8	20	90	-90
45	GN_1119 S-1	20,15	90	-90
46	GN_1124 S-1	9,5	90	-90
47	GN_1124 S-2	8,3	90	-90
48	GN_1124 S-3	7,2	90	-90
49	GN_1124 S-4	8,5	90	-90
50	GN_1124 S-5	8,5	90	-90
51	GN_1124 S-6	9	90	-90
52	GN_1124 S-7	8,7	90	-90
53	GN_1124 S-8	9,3	90	-90
54	GN_1124 S-9	8,9	90	-90
55	GN_1668 S-1	5	90	-90
56	GN_1668 S-2	5,5	90	-90
57	GN_1668 S-4	5	90	-90
58	GN_1668 S-3	5,25	90	-90
59	GN_1716_004 S-2	9	90	-90
60	GN_1716_004 S-1	12	90	-90
61	GN_1717_005 S-1	12,3	90	-90
62	GN_2129 S-4	6	90	-90
63	GN_2129 S-3	6	90	-90
64	GN_2129 S-5	9	90	-90
65	GN_2129 S-6	5	90	-90
66	GN_2129 S-7	9	90	-90
67	GN_2129 S-8	5	90	-90
68	GN_2129 S-1	5	90	-90
69	GN_2129 S-2	6	90	-90
70	GN_2301 P-4	2,2	90	-90
71	GN_2301 P-3	1,4	90	-90
72	GN_2301 P-1	0,8	90	-90
73	GN_2301 P-2	1,8	90	-90
74	GN_2301 S-2	7,4	90	-90
75	GN_2301 S-1	7,5	90	-90
76	GN_2311 P-1	2,4	90	-90
77	GN_2311 S-1	6	90	-90
78	GN_2311 P-2	4,2	90	-90
79	GN_2457 P-2	5,8	90	-90
80	GN_2457 S-2	4,5	90	-90
81	GN_2519 S-4	3	90	-90
82	GN_2519 S-3	4,6	90	-90
83	GN_2519 S-1	5,4	90	-90
84	GN_2519 S-2	5,3	90	-90
85	GN_2520 P-2	1,6	90	-90
86	GN_2520 C-3	1	90	-90
87	GN_2520 C-1	2,3	90	-90
88	GN_2520 P-1	2,8	90	-90
89	GN_2520 C-2	4,75	90	-90

90	GN_2540 S-1	11	90	-90
91	GN_2540 S-2	15	90	-90
92	GN_2543 S-2	9	90	-90
93	GN_2543 S-1	12	90	-90
94	GN_2543 S-5	11	90	-90
95	GN_2543 S-4	11	90	-90
96	GN_2543 S-3	12	90	-90
97	GN_2544 P-1	9,4	90	-90
98	GN_2544 P-2	6,6	90	-90
99	GN_2544 P-3	7,4	90	-90
100	GN_2544 P-4	0,4	90	-90
101	GN_2544 C-1	3,8	90	-90
102	GN_2544 C-2	1	90	-90
103	GN_2544 C-7	4,5	90	-90
104	GN_2545 C-6	2	90	-90
105	GN_2545 C-7	1,5	90	-90
106	GN_2545 C-5bis	0,5	90	-90
107	GN_2545 C-5	0,5	90	-90
108	GN_2545 C-4	4	90	-90
109	GN_2545 C-9	3,5	90	-90
110	GN_2545 C-1	4	90	-90
111	GN_2545 C-8	0,2	90	-90
112	GN_2545 C-8bis	3	90	-90
113	GN_2545 C-3	4	90	-90
114	GN_2545 S-1	8,3	90	-90
115	GN_2545 C-2	4	90	-90
116	GN_3124 S-63-5	35	90	-90
117	GN_3124 S-64-2	15	90	-90
118	GN_3124 S-64-5	15	90	-90
119	GN_3124 S-64.7	25	90	-90
120	GN_3124 S-64-92	21,4	90	-90
121	GN_3124 S-64-95	23	90	-90
122	GN_3124 S-64-99	18	90	-90
123	GN_3124 S-65-02	15	90	-90
124	GN_3124 S-65-07	15	90	-90
125	GN_3124 S-65-140	15	90	-90
126	GN_3124 S-65-24	15	90	-90
127	GN_3124 S-65-31	15	90	-90
128	GN_3124 S-65-35	15	90	-90
129	GN_3124 S-65-40	15	90	-90
130	GN_3124 S-65-44	15	90	-90
131	GN_3124 S-65-48	15	90	-90
132	GN_3124 S-65-51	15	90	-90
133	GN_3124 S-65-55	15	90	-90
134	GN_3124 S-65-58	15	90	-90
135	GN_3124 S-65-62	15	90	-90

136	GN_3124 S-65-655	15	90	-90
137	GN_3124 S-66-5	20	90	-90
138	GN_3124 S-67-1	15	90	-90
139	GN_3124 P-64-2	2	90	-90
140	GN_3124 P-64-55	2	90	-90
141	GN_3124 P-66-74	1,2	90	-90
142	GN_3124 P-67-05	4,4	90	-90
143	GN_3124 C-63-98	0,6	90	-90
144	GN_3124 C-64-26	0,5	90	-90
145	GN_3124 C-64-38	0,8	90	-90
146	GN_3124 C-64-5	2,5	90	-90
147	GN_3124 C-64-64	3	90	-90
148	GN_3124 C-66-36	1,5	90	-90
149	GN_3124 C-66-74	3,6	90	-90
150	GN_3124 C-67	2,6	90	-90
151	GN_3124 C-67-3	1,4	90	-90
152	GN_3133 CD-127-2	2,16	90	-90
153	GN_3133 CD-128-0	1,3	90	-90
154	GN_3133 CD-129-2	0,55	90	-90
155	GN_3133 CD-130-6	0,8	90	-90
156	GN_3133 SE-128-3	9,5	90	-90
157	GN_3133 SE-129-3	13,4	90	-90
158	GN_3133 SE-131-0	10	90	-90
159	GN_3134 S-2	12,75	90	-90
160	GN_3134 S-3	10	90	-90
161	GN_3134 S-4	10	90	-90
162	GN_3134 S-5	15	90	-90
163	GN_3134 S-6	20	90	-90
164	GN_3134 S-7	20	90	-90
165	GN_3134 S-8	20	90	-90
166	GN_3134 C-1	4	90	-90
167	GN_3134 C-2	4,3	90	-90
168	GN_3134 C-3	4	90	-90
169	GN_3134 C-6	1,5	90	-90
170	GN_3134 C-7	3	90	-90
171	GN_3134 C-8	3,5	90	-90
172	GN_3142 S-1	30	90	-90
173	GN_3142 S-3	20,5	90	-90
174	GN_3142 S-2	20	90	-90
175	GN_3663 S-1	7,8	90	-90
176	GN_3664 S-1	8	90	-90
177	GN_3664 S-2	8	90	-90
178	GN_3665 P-3	1,8	90	-90
179	GN_3665 P-2	0,4	90	-90
180	GN_3665 P-1	5,4	90	-90
181	GN_3665 S-2	8	90	-90

182	GN_3665 S-1	8	90	-90
183	GN_3666 S-1	8	90	-90
184	GN_3666 P-2	8,6	90	-90
185	GN_3666 P-1	9	90	-90
186	GN_3687 DPSH-4	3,2	90	-90
187	GN_3687 DPSH-3	3,4	90	-90
188	GN_3687 DPSH-2	4,8	90	-90
189	GN_3687 DPSH-1	4,4	90	-90
190	GN_3735 P-2	8,4	90	-90
191	GN_3735 P-1	4,8	90	-90
192	GN_3735 S-1	9,2	90	-90
193	GN_3736 DPSH-2	4,4	90	-90
194	GN_3736 DPSH-1	5,4	90	-90
195	GN_3737 P-1	3	90	-90
196	GN_3769 S-5R	8,2	90	-90
197	GN_3769 C-2	0,7	90	-90
198	GN_3769 S-4R	8	90	-90
199	GN_3769 C-1	8,2	90	-90
200	GN_3769 C-3	3,1	90	-90
201	GN_3769 S-3R	7,4	90	-90
202	GN_3769 S-2R	8	90	-90
203	GN_3769 S-1R	8	90	-90
204	GN_3770 S-6	9	90	-90
205	GN_3770 S-5	10,2	90	-90
206	GN_3770 S-4	7,2	90	-90
207	GN_3770 S-3	18	90	-90
208	GN_3770 S-1	18	90	-90
209	GN_3770 S-2	18	90	-90
210	GN_3771 S-5	10	90	-90
211	GN_3771 S-4	10	90	-90
212	GN_3771 S-3	10	90	-90
213	GN_3771 S-2	10	90	-90
214	GN_3771 S-1	10	90	-90
215	GN_3772 S-2	9	90	-90
216	GN_3772 S-3	8	90	-90
217	GN_3772 S-1	8	90	-90
218	GN_3773 PT-3	12,4	90	-90
219	GN_3773 PT-4	13,2	90	-90
220	GN_3773 PT-5	12,2	90	-90
221	GN_3773 PT-2	7,8	90	-90
222	GN_3773 PT-1	7,4	90	-90
223	GN_3773 S-4	15,5	90	-90
224	GN_3773 S-5	12,43	90	-90
225	GN_3773 S-3	15,15	90	-90
226	GN_3773 S-2	15	90	-90
227	GN_3773 S-1	10	90	-90

228	GN_3774 S-1	6,15	90	-90
229	GN_3774 P-1	2,4	90	-90
230	GN_3774 S-3	7	90	-90
231	GN_3774 S-2	7	90	-90
232	GN_3775 S-3	3	90	-90
233	GN_3775 S-1	7,2	90	-90
234	GN_3775 S-2	2,4	90	-90
235	GN_3776 S-6	6	90	-90
236	GN_3776 S-5	6	90	-90
237	GN_3776 S-4	4,5	90	-90
238	GN_3776 S-3	3	90	-90
239	GN_3776 S-2	3	90	-90
240	GN_3776 P-1	1,6	90	-90
241	GN_3776 S-1	2,5	90	-90
242	GN_3777 C-2	2,2	90	-90
243	GN_3777 SR-1	6	90	-90
244	GN_3777 C-3	3,6	90	-90
245	GN_3777 C-7	1,9	90	-90
246	GN_3777 C-9	1,2	90	-90
247	GN_3777 C-8	0,5	90	-90
248	GN_3777 SR-2	6	90	-90
249	GN_3777 C-4	3,2	90	-90
250	GN_3777 P-3	2,4	90	-90
251	GN_3777 P-2	1	90	-90
252	GN_3777 C-5	1,5	90	-90
253	GN_3777 P-1	3,2	90	-90
254	GN_3777 C-6	4	90	-90
255	GN_3777 C-1	3,2	90	-90
256	GN_3778 S-7	12	90	-90
257	GN_3778 S-8	12	90	-90
258	GN_3778 S-9	11	90	-90
259	GN_3778 S-6	12	90	-90
260	GN_3778 S-5	11,7	90	-90
261	GN_3778 S-4	12	90	-90
262	GN_3778 S-2	12	90	-90
263	GN_3778 S-3	12	90	-90
264	GN_3778 S-1	11	90	-90
265	GN_3779 S-1	4,5	90	-90
266	GN_3779 S-2	5	90	-90
267	GN_3779 S-4	4,5	90	-90
268	GN_3779 S-3	4,2	90	-90
269	GN_3780 S-2	12	90	-90
270	GN_3780 S-1	12	90	-90
271	GN_3780 S-3	15	90	-90
272	GN_3781 S-3	6	90	-90
273	GN_3781 S-1	6	90	-90

274	GN_3781 S-2	6	90	-90
275	GN_3782 P-2	6,6	90	-90
276	GN_3782 P-1	6,6	90	-90
277	GN_3782 S-1	8,75	90	-90
278	GN_3783 P-8	2	90	-90
279	GN_3783 C-8	1	90	-90
280	GN_3783 P-6	5	90	-90
281	GN_3783 C-6	1,2	90	-90
282	GN_3783 P-7	7,2	90	-90
283	GN_3783 C-7	1,2	90	-90
284	GN_3783 P-5	3,4	90	-90
285	GN_3783 C-5	1,4	90	-90
286	GN_3783 P-4	2,8	90	-90
287	GN_3783 C-4	1,2	90	-90
288	GN_3783 P-3	2,4	90	-90
289	GN_3783 C-3	1,2	90	-90
290	GN_3783 P-2	5,8	90	-90
291	GN_3783 C-2	1,2	90	-90
292	GN_3783 P-1	3	90	-90
293	GN_3783 C-1	1,2	90	-90
294	GN_3784 S-4	6,4	90	-90
295	GN_3784 S-2	8,05	90	-90
296	GN_3784 S-1	6,7	90	-90
297	GN_3784 S-5	6	90	-90
298	GN_3784 S-6	12	90	-90
299	GN_3784 S-3	8	90	-90
300	GN_3785 S-8	7	90	-90
301	GN_3785 S-7	5	90	-90
302	GN_3786 P-6	2,2	90	-90
303	GN_3786 S-5	12	90	-90
304	GN_3786 S-4	12	90	-90
305	GN_3786 S-2	12	90	-90
306	GN_3786 S-3	12	90	-90
307	GN_3786 P-1	7,6	90	-90
308	GN_3786 P-2	2	90	-90
309	GN_3786 P-3	1,2	90	-90
310	GN_3786 P-4	1,2	90	-90
311	GN_3786 P-5	1,2	90	-90
312	GN_3786 S-8	12	90	-90
313	GN_3786 S-9	12	90	-90
314	GN_3786 S-10	12	90	-90
315	GN_3786 S-11	12	90	-90
316	GN_3786 S-13	12	90	-90
317	GN_3786 S-14	12	90	-90
318	GN_3786 S-15	12	90	-90
319	GN_3786 P-7	4,6	90	-90

320	GN_3786 S-1	12	90	-90
321	GN_3786 S-6	12	90	-90
322	GN_3786 S-7	12	90	-90
323	GN_3786 S-12	12	90	-90
324	GN_4285 S-2	2,5	90	-90
325	GN_4285 S-3	3	90	-90
326	GN_4285 S-1	4,8	90	-90
327	GN_4567 S-10	9	90	-90
328	GN_4567 S-8	11	90	-90
329	GN_4567 S-9	9,5	90	-90
330	GN_4973 S-1	8	90	-90
331	GN_4973 S-2	6	90	-90
332	GN_4973 S-3	8	90	-90
333	GN_4973 P-1	1,8	90	-90
334	GN_4973 P-2	2,6	90	-90
335	GN_4973 C-1	0,9	90	-90
336	GN_5048 S-1	9	90	-90
337	GN_5048 S-2	8	90	-90
338	GN_5048 S-3	10	90	-90
339	GN_5152 S-1	6,1	90	-90
340	GN_5152 P-1	5,6	90	-90
341	GN_5152 S-2	7	90	-90
342	GN_5996 P-5	2,6	90	-90
343	GN_5996 P-1	3	90	-90
344	GN_5996 P-6	3,2	90	-90
345	GN_5996 S-4	3	90	-90
346	GN_5996 S-3	4	90	-90
347	GN_5996 P-2	1,6	90	-90
348	GN_6152 P-3	3,8	90	-90
349	GN_6152 S-2	7	90	-90
350	GN_6152 S-1	8	90	-90
351	GT_035_09 C-1	1	90	-90
352	GT_035_09 C-2	2,4	90	-90
353	GT_035_09 C-2b	3,1	90	-90
354	GT_035_09 C-3	4,6	90	-90
355	GT_035_09 C-4	1,2	90	-90
356	GT_035_09 C-5	4,2	90	-90
357	GT_035_09 C-7	1,7	90	-90
358	GT_035_09 C-8	1,5	90	-90
359	GT_035_09 C-9	1,9	90	-90
360	GT_035_09 C-10	0,25	90	-90
361	GT_035_09 C-11	1,3	90	-90
362	GT_035_09 C-12	4,2	90	-90
363	GT_035_09 C-13	1,3	90	-90
364	GT_035_09 C-14	1,2	90	-90
365	GT_035_09 C-15	0,6	90	-90

366	GT_035_09 C-16	1,2	90	-90
367	GT_035_09 C-17	1,8	90	-90
368	GT_055_09 C-1	0,6	90	-90
369	GT_055_09 C-1b	1,3	90	-90
370	GT_055_09 C-2	0,7	90	-90
371	GT_055_09 C-3	1,5	90	-90
372	GT_055_09 C-4	0,7	90	-90
373	GT_055_09 C-5	3,3	90	-90
374	GT_055_09 C-5b	2,2	90	-90

10.3. TAULA "GEOL"

DHID	FROM	TO	THICK	SEAM	LITHO
AO_024_08 CM-ETFII-11	0	0.1	0.1	VEG	VE
AO_024_08 CM-ETFII-11	0.1	2.1	2	TEC	LT
AO_024_08 CM-ETFII-11	2.1	2.4	0.3	TEC	GS
AR_013_04 S-1	0	1.2	1.2	ANT	AN
AR_013_04 S-1	1.2	1.8	0.6	TEC	MG
AR_013_04 S-1	1.8	9	7.2	TEC	MG
AR_013_04 S-2	0	1.2	1.2	ANT	AN
AR_013_04 S-2	1.2	2.1	0.9	TEC	MG
AR_013_04 S-2	2.1	8	5.9	TEC	MG
AR_013_04 S-3	0	2.6	2.6	ANT	AN
AR_013_04 S-3	2.6	3.7	1.1	TEC	MG
AR_013_04 S-3	3.7	9	5.3	TEC	MG
AR_041_00 S-3	0	1	1	ANT	AN
AR_041_00 S-3	1	1.8	0.8	Qt3	GR
AR_041_00 S-3	1.8	5.32	3.52	Qt3	GR
AR_041_00 S-3	5.32	6.3	0.98	TEM	MG
AR_041_00 S-3	6.3	8.8	2.5	TEM	MG
AR_041_00 S-3	8.8	9.34	0.54	TEM	GS
AR_041_00 S-3	9.34	10	0.66	TEC	GS
AR_041_00 S-2	0	0.35	0.35	Qt3	MU
AR_041_00 S-2	0.35	1.5	1.15	Qt3	GR
AR_041_00 S-2	1.5	2.35	0.85	Qt3	GR
AR_041_00 S-2	2.35	4.2	1.85	TEM	MG
AR_041_00 S-2	4.2	4.8	0.6	TEM	GS
AR_041_00 S-2	4.8	6.28	1.48	TEM	GS
AR_041_00 S-2	6.28	7.85	1.57	TEC	GS
AR_041_00 S-1	0.23	1.71	1.48	Qt3	MU
AR_041_00 S-1	1.71	3.13	1.42	Qt3	GR
AR_041_00 S-1	3.13	3.7	0.57	TEM	MG
AR_041_00 S-1	3.7	4.87	1.17	TEM	MG
AR_041_00 S-1	4.87	5.4	0.53	TEM	MG
AR_041_00 S-1	5.4	6	0.6	TEM	MG
AR_041_00 S-1	6	6.54	0.54	TEM	GS
AR_041_00 S-1	6.54	8	1.46	TEC	GS
AR_076_02 S-1	0	1	1	ANT	AN
AR_076_02 S-1	1	2.2	1.2	Qac	CL
AR_076_02 S-1	2.2	7	4.8	TEM	MG
AR_076_02 S-1	7	11	4	TEM	GS
AR_076_02 S-2	0	1.7	1.7	ANT	AN
AR_076_02 S-2	1.7	6	4.3	Qac	CL
AR_076_02 S-2	6	7.3	1.3	TEM	GS
AR_076_02 S-2	7.3	7.5	0.2	TEM	GS
AR_076_02 S-2	7.5	8.9	1.4	TEM	MG

AR_076_02 S-2	8.9	9.2	0.3	TEM	GS
AR_076_02 S-2	9.2	10	0.8	TEM	MG
AR_076_02 S-2	10	14.8	4.8	TEM	GS
AR_076_02 S-4	0	2.4	2.4	Qac	CL
AR_076_02 S-4	2.4	6.5	4.1	TEM	MG
AR_076_02 S-4	6.5	11.5	5	TEM	GS
AR_076_02 S-3	0	2.1	2.1	TEM	MG
AR_076_02 S-3	2.1	7.1	5	TEM	MG
AR_076_02 S-3	7.1	12	4.9	TEM	GS
AR_146_02 S-1	0	1.1	1.1	ANT	AN
AR_146_02 S-1	1.1	3.4	2.3	TEM	GS
AR_146_02 S-1	3.4	10	6.6	TEM	GS
AR_146_02 S-3	0	0.6	0.6	ANT	AN
AR_146_02 S-3	0.6	4.1	3.5	TEM	GS
AR_146_02 S-3	4.1	9.6	5.5	TEM	GS
AR_146_02 S-2	0	0.6	0.6	ANT	AN
AR_146_02 S-2	0.6	3.4	2.8	TEM	GS
AR_146_02 S-2	3.4	8	4.6	TEM	GS
AR_146_02 S-4	0	0.2	0.2	ANT	AN
AR_146_02 S-4	0.2	2.6	2.4	TEM	GS
AR_146_02 S-4	2.6	7.8	5.2	TEM	GS
AR_146_02 S-8	0	1.1	1.1	ANT	AN
AR_146_02 S-8	1.1	3	1.9	TEM	GS
AR_146_02 S-8	3	9	6	TEM	GS
AR_146_02 S-6	0	0.4	0.4	ANT	AN
AR_146_02 S-6	0.4	1.5	1.1	TEM	GS
AR_146_02 S-6	1.5	7.9	6.4	TEM	GS
AR_146_02 S-5	0	1.4	1.4	ANT	AN
AR_146_02 S-5	1.4	2.6	1.2	TEM	GS
AR_146_02 S-5	2.6	9	6.4	TEM	GS
AR_146_02 S-7	0	1.1	1.1	ANT	AN
AR_146_02 S-7	1.1	4.1	3	TEM	GS
AR_146_02 S-7	4.1	9	4.9	TEM	GS
AR_153_02 S-1	0	2.9	2.9	Qac	CL
AR_153_02 S-1	2.9	5.2	2.3	TEM	MG
AR_153_02 S-1	5.2	11	5.8	TEM	GS
AR_153_02 S-5	0	2.2	2.2	Qac	CL
AR_153_02 S-5	2.2	7	4.8	TEM	MG
AR_153_02 S-5	7	12	5	TEM	GS
AR_153_02 S-2	0	0.9	0.9	Qac	CL
AR_153_02 S-2	0.9	2.1	1.2	Qac	GR
AR_153_02 S-2	2.1	5.9	3.8	TEM	MG
AR_153_02 S-2	5.9	12	6.1	TEM	GS
AR_153_02 S-4	0	2.2	2.2	Qac	CL
AR_153_02 S-4	2.2	5.5	3.3	TEM	MG
AR_153_02 S-4	5.5	11	5.5	TEM	GS

AR_153_02 S-3	0	2.2	2.2	Qac	CL
AR_153_02 S-3	2.2	6.1	3.9	TEM	MG
AR_153_02 S-3	6.1	12	5.9	TEM	GS
GN_1113 S-1	0	4.5	4.5	ANT	AN
GN_1113 S-1	4.5	10	5.5	TEM	MG
GN_1113 S-2	0	1.2	1.2	ANT	AN
GN_1113 S-2	1.2	2.5	1.3	Qac	MG
GN_1113 S-2	2.5	6	3.5	TEM	MG
GN_1113 S-3	0	0.7	0.7	ANT	AN
GN_1113 S-3	0.7	5	4.3	TEM	MG
GN_1113 S-4	0	1.8	1.8	ANT	AN
GN_1113 S-4	1.8	6	4.2	TEM	MG
GN_1113 S-5	0	0.6	0.6	ANT	AN
GN_1113 S-5	0.6	0.8	0.2	Qac	CL
GN_1113 S-5	0.8	6	5.2	TEM	MG
GN_1113 S-6	0	0.8	0.8	ANT	AN
GN_1113 S-6	0.8	6	5.2	TEM	MG
GN_1116 S-7	0	3.1	3.1	Qac	MU
GN_1116 S-7	3.1	6.2	3.1	TEM	MG
GN_1116 S-7	6.2	9	2.8	TEM	GS
GN_1116 S-6	0	1.5	1.5	Qac	MU
GN_1116 S-6	1.5	6.2	4.7	TEM	MG
GN_1116 S-6	6.2	7.4	1.2	TEM	GS
GN_1116 S-1	0	0.4	0.4	VEG	VE
GN_1116 S-1	0.4	5.95	5.55	Qac	MU
GN_1116 S-1	5.95	8.5	2.55	TEC	GS
GN_1116 S-2	0	0.4	0.4	VEG	VE
GN_1116 S-2	0.4	7.2	6.8	Qac	MU
GN_1116 S-2	7.2	8.3	1.1	TEC	MG
GN_1116 S-2	8.3	8.75	0.45	TEC	GS
GN_1116 S-2	8.75	13.7	4.95	TEC	MG
GN_1116 S-3	0	0.5	0.5	VEG	VE
GN_1116 S-3	0.5	7.2	6.7	Qac	MU
GN_1116 S-3	7.2	8.6	1.4	Qac	CL
GN_1116 S-3	8.6	11.3	2.7	TEC	GS
GN_1116 S-4	0	0.4	0.4	VEG	VE
GN_1116 S-4	0.4	6.85	6.45	Qac	MU
GN_1116 S-4	6.85	10	3.15	Qac	CL
GN_1116 S-5	0	6.3	6.3	Qac	MU
GN_1116 S-5	6.3	6.9	0.6	TEM	GS
GN_1116 S-5	6.9	9	2.1	Qac	CL
GN_1119 S-2	0	2.4	2.4	Qac	CL
GN_1119 S-2	2.4	20	17.6	TEC	MG
GN_1119 S-3	0	5	5	Qac	CL
GN_1119 S-3	5	20	15	TEC	MG
GN_1119 S-4	0	4.6	4.6	Qac	CL

GN_1119 S-4	4.6	8.2	3.6	TEC	MG
GN_1119 S-4	8.2	12	3.8	TEC	GS
GN_1119 S-4	12	16.4	4.4	TEC	MG
GN_1119 S-4	16.4	18.4	2	TEC	GS
GN_1119 S-4	18.4	20.1	1.7	TEC	MG
GN_1119 S-5	0	3	3	Qac	CL
GN_1119 S-5	3	5	2	TEC	GS
GN_1119 S-5	5	11.9	6.9	TEC	MG
GN_1119 S-5	11.9	12.4	0.5	TEC	GS
GN_1119 S-5	12.4	13.28	0.88	TEC	MG
GN_1119 S-5	13.28	15.1	1.82	TEC	GS
GN_1119 S-5	15.1	20.15	5.05	TEC	MG
GN_1119 S-6	0	10	10	Qac	CL
GN_1119 S-6	10	14	4	TEC	CG
GN_1119 S-6	14	20.05	6.05	TEC	GS
GN_1119 S-7	0	0.5	0.5	Qac	CL
GN_1119 S-7	0.5	20.1	19.6	TEC	MG
GN_1119 S-8	0	20	20	TEC	MG
GN_1119 S-1	0	2	2	Qac	CL
GN_1119 S-1	2	10	8	TEC	MG
GN_1119 S-1	10	12	2	TEC	GS
GN_1119 S-1	12	20.15	8.15	TEC	MG
GN_1124 S-1	0	0.9	0.9	ANT	AN
GN_1124 S-1	0.9	6.1	5.2	Qt3	MU
GN_1124 S-1	6.1	7.2	1.1	Qt3	CL
GN_1124 S-1	7.2	9.1	1.9	Qt3	GR
GN_1124 S-1	9.1	9.5	0.4	TEM	MG
GN_1124 S-2	0	0.6	0.6	ANT	AN
GN_1124 S-2	0.6	6	5.4	Qt3	MU
GN_1124 S-2	6	6.6	0.6	Qt3	CL
GN_1124 S-2	6.6	7.1	0.5	TEM	CG
GN_1124 S-2	7.1	8.3	1.2	TEM	MG
GN_1124 S-3	0	0.6	0.6	ANT	AN
GN_1124 S-3	0.6	5.6	5	Qt3	MU
GN_1124 S-3	5.6	6.8	1.2	Qt3	CL
GN_1124 S-3	6.8	7.2	0.4	Qac	SD
GN_1124 S-4	0	0.3	0.3	ANT	AN
GN_1124 S-4	0.3	5.5	5.2	Qt3	MU
GN_1124 S-4	5.5	7	1.5	Qac	SD
GN_1124 S-4	7	8.5	1.5	TEM	MG
GN_1124 S-5	0	1.1	1.1	ANT	AN
GN_1124 S-5	1.1	6.4	5.3	Qt3	MU
GN_1124 S-5	6.4	7.1	0.7	Qac	CL
GN_1124 S-5	7.1	8.5	1.4	Qac	SD
GN_1124 S-6	0	2.1	2.1	ANT	AN
GN_1124 S-6	2.1	6.5	4.4	Qt3	MU

GN_1124 S-6	6.5	7.5	1	Qac	CL
GN_1124 S-6	7.5	9	1.5	Qac	MG
GN_1124 S-7	0	1.5	1.5	ANT	AN
GN_1124 S-7	1.5	6.1	4.6	Qt3	MU
GN_1124 S-7	6.1	7	0.9	Qac	CL
GN_1124 S-7	7	7.6	0.6	Qac	SD
GN_1124 S-7	7.6	8.7	1.1	Qac	MG
GN_1124 S-8	0	1	1	ANT	AN
GN_1124 S-8	1	6	5	Qt3	MU
GN_1124 S-8	6	7	1	Qac	CL
GN_1124 S-8	7	7.9	0.9	Qac	SD
GN_1124 S-8	7.9	9.3	1.4	Qac	MG
GN_1124 S-9	0	0.5	0.5	ANT	AN
GN_1124 S-9	0.5	7.4	6.9	Qt3	MU
GN_1124 S-9	7.4	8.5	1.1	Qt3	GR
GN_1124 S-9	8.5	8.9	0.4	TEM	MG
GN_1668 S-1	0	2	2	Qac	MU
GN_1668 S-1	2	5	3	TEM	GS
GN_1668 S-2	0	1	1	Qac	MU
GN_1668 S-2	1	5.5	4.5	TEM	GS
GN_1668 S-4	0	0.5	0.5	Qac	MU
GN_1668 S-4	0.5	5	4.5	TEM	GS
GN_1668 S-3	0	0.4	0.4	Qac	MU
GN_1668 S-3	0.4	5.25	4.85	TEM	GS
GN_1716_004 S-2	0	0.3	0.3	ANT	AN
GN_1716_004 S-2	0.3	5	4.7	Qac	LT
GN_1716_004 S-2	5	6	1	TEC	MG
GN_1716_004 S-2	6	6.12	0.12	TEC	GS
GN_1716_004 S-2	6.12	7.1	0.98	TEC	LT
GN_1716_004 S-2	7.1	7.2	0.1	TEC	GS
GN_1716_004 S-2	7.2	7.65	0.45	TEC	LT
GN_1716_004 S-2	7.65	8.4	0.75	TEC	GS
GN_1716_004 S-2	8.4	12	3.6	TEC	LT
GN_1716_004 S-1	0	1.8	1.8	Qac	MU
GN_1716_004 S-1	1.8	2.4	0.6	TEC	LT
GN_1716_004 S-1	2.4	3.05	0.65	TEC	GS
GN_1716_004 S-1	3.05	4.2	1.15	TEC	CG
GN_1716_004 S-1	4.2	7.4	3.2	TEC	LT
GN_1716_004 S-1	7.4	7.5	0.1	TEC	GS
GN_1716_004 S-1	7.5	7.7	0.2	TEC	LT
GN_1716_004 S-1	7.7	7.9	0.2	TEC	MG
GN_1716_004 S-1	7.9	8.4	0.5	TEC	LT
GN_1716_004 S-1	8.4	8.5	0.1	TEC	MG
GN_1716_004 S-1	8.5	9.15	0.65	TEC	LT
GN_1716_004 S-1	9.15	9.6	0.45	TEC	GS
GN_1716_004 S-1	9.6	10.3	0.7	TEC	LT

GN_1716_004 S-1	10.3	10.45	0.15	TEC	GS
GN_1716_004 S-1	10.45	10.7	0.25	TEC	LT
GN_1716_004 S-1	10.7	11	0.3	TEC	GS
GN_1716_004 S-1	11	11.4	0.4	TEC	LT
GN_1716_004 S-1	11.4	11.65	0.25	TEC	MG
GN_1716_004 S-1	11.65	12	0.35	TEC	LT
GN_1717_005 S-1	0	4.5	4.5	ANT	AN
GN_1717_005 S-1	4.5	5.5	1	Qac	SD
GN_1717_005 S-1	5.5	8.25	2.75	Qac	GR
GN_1717_005 S-1	8.25	9.3	1.05	TEC	MG
GN_1717_005 S-1	9.3	12.3	3	TEC	GS
GN_2129 S-4	0	3.4	3.4	Qac	CL
GN_2129 S-4	3.4	4	0.6	TEM	MG
GN_2129 S-4	4	6	2	TEM	GS
GN_2129 S-3	0	2.3	2.3	Qac	CL
GN_2129 S-3	2.3	3.4	1.1	TEM	MG
GN_2129 S-3	3.4	6	2.6	TEM	GS
GN_2129 S-5	0	0.9	0.9	TEM	MG
GN_2129 S-5	0.9	9	8.1	TEM	MG
GN_2129 S-6	0	1.1	1.1	TEM	MG
GN_2129 S-6	1.1	5	3.9	TEM	MG
GN_2129 S-7	0	1.2	1.2	TEM	MG
GN_2129 S-7	1.2	9	7.8	TEM	MG
GN_2129 S-8	0	0.5	0.5	TEM	MG
GN_2129 S-8	0.5	5	4.5	TEM	MG
GN_2129 S-1	0	0.4	0.4	ANT	AN
GN_2129 S-1	0.4	1	0.6	TEM	MG
GN_2129 S-1	1	5	4	TEM	MG
GN_2129 S-2	0	0.5	0.5	ANT	AN
GN_2129 S-2	0.5	0.9	0.4	TEM	MG
GN_2129 S-2	0.9	6	5.1	TEM	MG
GN_2301 S-2	0	0.2	0.2	ANT	AN
GN_2301 S-2	0.2	1.2	1	Qac	CL
GN_2301 S-2	1.2	2	0.8	TEC	LT
GN_2301 S-2	2	7.4	5.4	TEC	ST
GN_2301 S-1	0	0.2	0.2	ANT	AN
GN_2301 S-1	0.2	0.6	0.4	TEC	LT
GN_2301 S-1	0.6	7.5	6.9	TEC	ST
GN_2311 S-1	0	0.15	0.15	ANT	AN
GN_2311 S-1	0.15	2	1.85	Qt3	MU
GN_2311 S-1	2	4	2	Qac	GR
GN_2311 S-1	4	6	2	TEM	GS
GN_2457 S-2	0	0.3	0.3	Qac	SD
GN_2457 S-2	0.3	4	3.7	Qac	LT
GN_2457 S-2	4	4.5	0.5	TEM	GS
GN_2519 S-4	0	0.3	0.3	ANT	AN

GN_2519 S-4	0.3	1.5	1.2	Qac	MU
GN_2519 S-4	1.5	3	1.5	TEC	LT
GN_2519 S-3	0.1	0.4	0.3	ANT	AN
GN_2519 S-3	0.4	1.9	1.5	Qac	MU
GN_2519 S-3	1.9	4.6	2.7	TEC	LT
GN_2519 S-1	0.4	1	0.6	ANT	AN
GN_2519 S-1	1	1	0	Qac	MU
GN_2519 S-1	1.9	6.4	4.5	TEC	LT
GN_2519 S-2	0.8	1.4	0.6	ANT	AN
GN_2519 S-2	1.4	2.9	1.5	Qac	MU
GN_2519 S-2	2.9	5.3	2.4	TEC	LT
GN_2520 C-3	0	0.4	0.4	TEC	MG
GN_2520 C-3	0.4	0.8	0.4	TEC	MG
GN_2520 C-3	0.8	1	0.2	TEC	GS
GN_2520 C-1	0	0.2	0.2	TEC	MG
GN_2520 C-1	0.2	2	1.8	TEC	MG
GN_2520 C-1	2	2.3	0.3	TEC	LT
GN_2520 C-2	0	0.35	0.35	TEC	MG
GN_2520 C-2	0.35	1.1	0.75	TEC	MG
GN_2520 C-2	1.1	3	1.9	TEC	MG
GN_2520 C-2	3	4.4	1.4	TEC	MG
GN_2520 C-2	4.4	4.55	0.15	TEC	GS
GN_2520 C-2	4.55	4.75	0.2	TEC	LT
GN_2540 S-1	0	1.5	1.5	Qac	GR
GN_2540 S-1	1.5	2.5	1	Qac	CL
GN_2540 S-1	2.5	3.8	1.3	Qac	MU
GN_2540 S-1	3.8	4.25	0.45	Qac	GR
GN_2540 S-1	4.25	4.55	0.3	Qac	CL
GN_2540 S-1	4.55	5.8	1.25	Qac	CL
GN_2540 S-1	5.8	11	5.2	TEC	GS
GN_2540 S-2	0	0.65	0.65	Qac	GR
GN_2540 S-2	0.65	1	0.35	Qac	GR
GN_2540 S-2	1	5	4	Qac	MU
GN_2540 S-2	5	15	10	Qac	CL
GN_2543 S-2	0	0.2	0.2	ANT	AN
GN_2543 S-2	0.2	0.5	0.3	Qac	MU
GN_2543 S-2	0.5	9	8.5	TEC	LT
GN_2543 S-1	0	1	1	Qac	MU
GN_2543 S-1	1	12	11	TEC	LT
GN_2543 S-5	0	1	1	Qac	MU
GN_2543 S-5	1	11	10	TEC	LT
GN_2543 S-4	0	1	1	Qac	MU
GN_2543 S-4	1	11	10	TEC	LT
GN_2543 S-3	0	0.3	0.3	ANT	AN
GN_2543 S-3	0.3	12	11.7	TEC	LT
GN_2544 C-1	0	3.8	3.8	TEC	MG

GN_2544 C-2	0	0.3	0.3	TEC	MG
GN_2544 C-2	0.3	0.6	0.3	TEC	GS
GN_2544 C-2	0.6	1	0.4	TEC	GS
GN_2544 C-7	0	4.5	4.5	TEC	MG
GN_2545 C-6	0	0.2	0.2	ANT	AN
GN_2545 C-6	0.2	2.2	2	TEC	MG
GN_2545 C-7	0	0.2	0.2	ANT	AN
GN_2545 C-7	0.2	1.2	1	TEC	MG
GN_2545 C-5BIS	0	0.2	0.2	ANT	AN
GN_2545 C-5BIS	0.2	0.6	0.4	TEC	MG
GN_2545 C-5	0	0.2	0.2	ANT	AN
GN_2545 C-5	0.2	0.6	0.4	TEC	MG
GN_2545 C-4	0	0.3	0.3	ANT	AN
GN_2545 C-4	0.3	4.2	3.9	TEC	MG
GN_2545 C-9	0	0.4	0.4	ANT	AN
GN_2545 C-9	0.4	3.6	3.2	TEC	MG
GN_2545 C-1	0	0.1	0.1	ANT	AN
GN_2545 C-1	0.1	4.3	4.2	TEC	MG
GN_2545 C-8	0	0.1	0.1	ANT	AN
GN_2545 C-8	0.1	0.4	0.3	TEC	MG
GN_2545 C-8BIS	0	0.4	0.4	ANT	AN
GN_2545 C-8BIS	0.4	3.2	2.8	TEC	MG
GN_2545 C-3	0	2	2	ANT	AN
GN_2545 C-3	2	4.3	2.3	TEC	MG
GN_2545 S-1	0	0.1	0.1	ANT	AN
GN_2545 S-1	0.1	8.2	8.1	TEC	MG
GN_2545 C-2	0	0.4	0.4	ANT	AN
GN_2545 C-2	0.4	4.2	3.8	TEC	MG
GN_3124 S-63-5	0	1.4	1.4	TEC	GS
GN_3124 S-63-5	1.4	1.8	0.4	TEC	MG
GN_3124 S-63-5	1.8	2.4	0.6	TEC	GS
GN_3124 S-63-5	2.4	2.8	0.4	TEC	MG
GN_3124 S-63-5	2.8	5	2.2	TEC	CG
GN_3124 S-63-5	5	6.2	1.2	TEC	MG
GN_3124 S-63-5	6.2	7.5	1.3	TEC	CG
GN_3124 S-63-5	7.5	7.7	0.2	TEC	MG
GN_3124 S-63-5	7.7	8.5	0.8	TEC	GS
GN_3124 S-63-5	8.5	8.7	0.2	TEC	CG
GN_3124 S-63-5	8.7	10	1.3	TEC	GS
GN_3124 S-63-5	10	10.8	0.8	TEC	CG
GN_3124 S-63-5	10.8	12.3	1.5	TEC	MG
GN_3124 S-63-5	12.3	13.6	1.3	TEC	CG
GN_3124 S-63-5	13.6	13.7	0.1	TEC	MG
GN_3124 S-63-5	13.7	14	0.3	TEC	CG
GN_3124 S-63-5	14	14.2	0.2	TEC	MG
GN_3124 S-63-5	14.2	14.5	0.3	TEC	GS

GN_3124 S-63-5	14.5	14.6	0.1	TEC	GS
GN_3124 S-63-5	14.6	15	0.4	TEC	CG
GN_3124 S-63-5	15	18.8	3.8	TEC	MG
GN_3124 S-63-5	18.8	19.1	0.3	TEC	GS
GN_3124 S-63-5	19.1	20	0.9	TEC	MG
GN_3124 S-63-5	20	20.8	0.8	TEC	GS
GN_3124 S-63-5	20.8	21.4	0.6	TEC	MG
GN_3124 S-63-5	21.4	22.2	0.8	TEC	CG
GN_3124 S-63-5	22.2	25.8	3.6	TEC	MG
GN_3124 S-63-5	25.8	26.2	0.4	TEC	GS
GN_3124 S-63-5	26.2	26.4	0.2	TEC	MG
GN_3124 S-63-5	26.4	28.6	2.2	TEC	GS
GN_3124 S-63-5	28.6	30	1.4	TEC	MG
GN_3124 S-63-5	30	30.6	0.6	TEC	GS
GN_3124 S-63-5	30.6	34.5	3.9	TEC	MG
GN_3124 S-63-5	34.5	35	0.5	TEC	GS
GN_3124 S-64-2	0	0.8	0.8	Qac	SD
GN_3124 S-64-2	0.8	2.1	1.3	Qac	MU
GN_3124 S-64-2	2.1	2.3	0.2	Qac	SD
GN_3124 S-64-2	2.3	4.3	2	TEC	GS
GN_3124 S-64-2	4.3	4.8	0.5	TEC	MG
GN_3124 S-64-2	4.8	5.7	0.9	TEC	GS
GN_3124 S-64-2	5.7	7	1.3	TEC	MG
GN_3124 S-64-2	7	8.2	1.2	TEC	GS
GN_3124 S-64-2	8.2	8.3	0.1	TEC	CG
GN_3124 S-64-2	8.3	8.6	0.3	TEC	GS
GN_3124 S-64-2	8.6	9.3	0.7	TEC	CG
GN_3124 S-64-2	9.3	10.3	1	TEC	GS
GN_3124 S-64-2	10.3	10.4	0.1	TEC	MG
GN_3124 S-64-2	10.4	10.5	0.1	TEC	GS
GN_3124 S-64-2	10.5	11	0.5	TEC	MG
GN_3124 S-64-2	11	11.4	0.4	TEC	GS
GN_3124 S-64-2	11.4	12.6	1.2	TEC	MG
GN_3124 S-64-2	12.6	12.7	0.1	TEC	GS
GN_3124 S-64-2	12.7	15	2.3	TEC	MG
GN_3124 S-64-5	0	0.5	0.5	Qac	SD
GN_3124 S-64-5	0.5	1.4	0.9	Qac	CL
GN_3124 S-64-5	1.4	1.9	0.5	Qac	SD
GN_3124 S-64-5	1.9	5.4	3.5	Qac	CL
GN_3124 S-64-5	5.4	6	0.6	TEC	CG
GN_3124 S-64-5	6	6.1	0.1	TEC	MG
GN_3124 S-64-5	6.1	6.5	0.4	TEC	GS
GN_3124 S-64-5	6.5	6.7	0.2	TEC	MG
GN_3124 S-64-5	6.7	7	0.3	TEC	GS
GN_3124 S-64-5	7	7.5	0.5	TEC	MG
GN_3124 S-64-5	7.5	7.9	0.4	TEC	GS

GN_3124 S-64-5	7.9	8	0.1	TEC	CG
GN_3124 S-64-5	8	8.6	0.6	TEC	MG
GN_3124 S-64-5	8.6	9	0.4	TEC	GS
GN_3124 S-64-5	9	9.4	0.4	TEC	MG
GN_3124 S-64-5	9.4	10.1	0.7	TEC	CG
GN_3124 S-64-5	10.1	10.8	0.7	TEC	MG
GN_3124 S-64-5	10.8	11	0.2	TEC	GS
GN_3124 S-64-5	11	15	4	TEC	MG
GN_3124 S-64.7	0	0.8	0.8	VEG	VE
GN_3124 S-64.7	0.8	1.4	0.6	Qac	CL
GN_3124 S-64.7	1.4	2.6	1.2	TEC	GS
GN_3124 S-64.7	2.6	3.3	0.7	TEC	MG
GN_3124 S-64.7	3.3	3.4	0.1	TEC	GS
GN_3124 S-64.7	3.4	3.8	0.4	TEC	MG
GN_3124 S-64.7	3.8	7.3	3.5	TEC	GS
GN_3124 S-64.7	7.3	7.6	0.3	TEC	MG
GN_3124 S-64.7	7.6	7.8	0.2	TEC	GS
GN_3124 S-64.7	7.8	8.6	0.8	TEC	MG
GN_3124 S-64.7	8.6	10.8	2.2	TEC	GS
GN_3124 S-64.7	10.8	11.3	0.5	TEC	MG
GN_3124 S-64.7	11.3	11.4	0.1	TEC	GS
GN_3124 S-64.7	11.4	12	0.6	TEC	CG
GN_3124 S-64.7	12	13.1	1.1	TEC	MG
GN_3124 S-64.7	13.1	16	2.9	TEC	CG
GN_3124 S-64.7	16	18.1	2.1	TEC	MG
GN_3124 S-64.7	18.1	18.3	0.2	TEC	CG
GN_3124 S-64.7	18.3	21.4	3.1	TEC	GS
GN_3124 S-64.7	21.4	21.7	0.3	TEC	CG
GN_3124 S-64.7	21.7	24	2.3	TEC	GS
GN_3124 S-64.7	24	24.2	0.2	TEC	MG
GN_3124 S-64.7	24.2	25	0.8	TEC	GS
GN_3124 S-64-92	0	0.8	0.8	Qt3	SD
GN_3124 S-64-92	0.8	1.3	0.5	Qt3	CL
GN_3124 S-64-92	1.3	1.4	0.1	Qt3	GR
GN_3124 S-64-92	1.4	2.9	1.5	Qt3	CL
GN_3124 S-64-92	2.9	3.3	0.4	Qt3	SD
GN_3124 S-64-92	3.3	3.6	0.3	Qt3	CL
GN_3124 S-64-92	3.6	5.9	2.3	Qac	CL
GN_3124 S-64-92	5.9	6.1	0.2	Qac	GR
GN_3124 S-64-92	6.1	12.8	6.7	Qac	CL
GN_3124 S-64-92	12.8	13	0.2	Qac	GR
GN_3124 S-64-92	13	21.6	8.6	TEC	MG
GN_3124 S-64-95	0	6.2	6.2	Qt3	SD
GN_3124 S-64-95	6.2	6.6	0.4	Qt3	CL
GN_3124 S-64-95	6.6	8	1.4	Qt3	SD
GN_3124 S-64-95	8	8.3	0.3	Qt3	CL

GN_3124 S-64-95	8.3	8.7	0.4	Qt3	SD
GN_3124 S-64-95	8.7	11.3	2.6	Qt3	CL
GN_3124 S-64-95	11.3	12	0.7	Qt3	GR
GN_3124 S-64-95	12	16	4	Qt3	CL
GN_3124 S-64-95	16	16.1	0.1	Qt3	SD
GN_3124 S-64-95	16.1	17	0.9	Qt3	CL
GN_3124 S-64-95	17	17.2	0.2	Qac	SD
GN_3124 S-64-95	17.2	18	0.8	Qac	GR
GN_3124 S-64-95	18	18.2	0.2	Qac	SD
GN_3124 S-64-95	18.2	19	0.8	Qac	GR
GN_3124 S-64-95	19	19.7	0.7	TEC	CG
GN_3124 S-64-95	19.7	19.8	0.1	TEC	MG
GN_3124 S-64-95	19.8	20.9	1.1	TEC	GS
GN_3124 S-64-95	20.9	22	1.1	TEC	MG
GN_3124 S-64-95	22	22.3	0.3	TEC	GS
GN_3124 S-64-95	22.3	22.9	0.6	TEC	MG
GN_3124 S-64-95	22.9	23	0.1	TEC	GS
GN_3124 S-64-99	0	1.9	1.9	Qt3	SD
GN_3124 S-64-99	1.9	3.6	1.7	Qt3	CL
GN_3124 S-64-99	3.6	3.9	0.3	Qt3	SD
GN_3124 S-64-99	3.9	5	1.1	Qt3	CL
GN_3124 S-64-99	5	6.5	1.5	Qt3	MU
GN_3124 S-64-99	6.5	7.7	1.2	Qt3	SD
GN_3124 S-64-99	7.7	7.8	0.1	Qt3	CL
GN_3124 S-64-99	7.8	8.3	0.5	Qt3	SD
GN_3124 S-64-99	8.3	8.5	0.2	Qac	CL
GN_3124 S-64-99	8.5	9	0.5	Qac	GR
GN_3124 S-64-99	9	9.8	0.8	Qac	SD
GN_3124 S-64-99	9.8	11.1	1.3	Qac	GR
GN_3124 S-64-99	11.1	11.4	0.3	Qac	SD
GN_3124 S-64-99	11.4	14.8	3.4	Qac	GR
GN_3124 S-64-99	14.8	15.2	0.4	Qac	GS
GN_3124 S-64-99	15.2	16.4	1.2	TEC	MG
GN_3124 S-64-99	16.4	18	1.6	TEC	GS
GN_3124 S-65-02	0	0.8	0.8	Qt3	SD
GN_3124 S-65-02	0.8	1.6	0.8	Qt3	MU
GN_3124 S-65-02	1.6	1.8	0.2	Qt3	SD
GN_3124 S-65-02	1.8	2.3	0.5	Qt3	MU
GN_3124 S-65-02	2.3	2.9	0.6	Qt3	SD
GN_3124 S-65-02	2.9	4.3	1.4	Qt3	CL
GN_3124 S-65-02	4.3	5.2	0.9	Qt3	SD
GN_3124 S-65-02	5.2	7.1	1.9	Qac	GR
GN_3124 S-65-02	7.1	9.6	2.5	Qac	CL
GN_3124 S-65-02	9.6	10.6	1	TEC	MG
GN_3124 S-65-02	10.6	12.2	1.6	TEC	GS
GN_3124 S-65-02	12.2	12.3	0.1	TEC	MG

GN_3124 S-65-02	12.3	12.8	0.5	TEC	GS
GN_3124 S-65-02	12.8	13.1	0.3	TEC	MG
GN_3124 S-65-02	13.1	13.3	0.2	TEC	GS
GN_3124 S-65-02	13.3	13.7	0.4	TEC	MG
GN_3124 S-65-02	13.7	14.4	0.7	TEC	GS
GN_3124 S-65-02	14.4	15	0.6	TEC	MG
GN_3124 S-65-07	0	3	3	Qt3	SD
GN_3124 S-65-07	3	3.5	0.5	Qt3	CL
GN_3124 S-65-07	3.5	4.3	0.8	TEC	CG
GN_3124 S-65-07	4.3	4.7	0.4	TEC	GS
GN_3124 S-65-07	4.7	6	1.3	Qt3	SD
GN_3124 S-65-07	6	6.8	0.8	Qt3	MU
GN_3124 S-65-07	6.8	8.8	2	Qt3	SD
GN_3124 S-65-07	8.8	12.6	3.8	TEC	MG
GN_3124 S-65-07	12.6	12.7	0.1	TEC	GS
GN_3124 S-65-07	12.7	13.6	0.9	TEC	MG
GN_3124 S-65-07	13.6	13.7	0.1	TEC	GS
GN_3124 S-65-07	13.7	14	0.3	TEC	MG
GN_3124 S-65-07	14	14.1	0.1	TEC	GS
GN_3124 S-65-07	14.1	15	0.9	TEC	MG
GN_3124 S-65-140	0	1.8	1.8	Qt3	SD
GN_3124 S-65-140	1.8	2.4	0.6	TEC	GS
GN_3124 S-65-140	2.4	3	0.6	Qt3	CL
GN_3124 S-65-140	3	4.2	1.2	Qt3	SD
GN_3124 S-65-140	4.2	4.7	0.5	TEC	MG
GN_3124 S-65-140	4.7	4.8	0.1	TEC	GS
GN_3124 S-65-140	4.8	7	2.2	TEC	MG
GN_3124 S-65-140	7	8	1	TEC	GS
GN_3124 S-65-140	8	14.1	6.1	TEC	MG
GN_3124 S-65-140	14.1	15	0.9	TEC	GS
GN_3124 S-65-24	0	0.2	0.2	Qt2	VE
GN_3124 S-65-24	0.2	3	2.8	Qt2	SD
GN_3124 S-65-24	3	3.6	0.6	Qt3	SD
GN_3124 S-65-24	3.6	4.2	0.6	Qac	GR
GN_3124 S-65-24	4.2	4.6	0.4	Qac	CL
GN_3124 S-65-24	4.6	5.1	0.5	Qac	SD
GN_3124 S-65-24	5.1	10.3	5.2	TEC	MG
GN_3124 S-65-24	10.3	11	0.7	TEC	GS
GN_3124 S-65-24	11	12.5	1.5	TEC	MG
GN_3124 S-65-24	12.5	15	2.5	TEC	GS
GN_3124 S-65-31	0	1	1	Qt2	SD
GN_3124 S-65-31	1	1.2	0.2	Qt3	GR
GN_3124 S-65-31	1.2	1.7	0.5	Qac	CL
GN_3124 S-65-31	1.7	3.4	1.7	TEC	MG
GN_3124 S-65-31	3.4	3.6	0.2	TEC	GS
GN_3124 S-65-31	3.6	4.3	0.7	TEC	MG

GN_3124 S-65-31	4.3	4.5	0.2	TEC	GS
GN_3124 S-65-31	4.5	5.5	1	TEC	MG
GN_3124 S-65-31	5.5	6	0.5	TEC	GS
GN_3124 S-65-31	6	6.6	0.6	TEC	MG
GN_3124 S-65-31	6.6	9.9	3.3	TEC	GS
GN_3124 S-65-31	9.9	10.2	0.3	TEC	MG
GN_3124 S-65-31	10.2	11	0.8	TEC	GS
GN_3124 S-65-31	11	11.3	0.3	TEC	MG
GN_3124 S-65-31	11.3	12	0.7	TEC	GS
GN_3124 S-65-31	12	13.2	1.2	TEC	MG
GN_3124 S-65-31	13.2	13.3	0.1	TEC	GS
GN_3124 S-65-31	13.3	13.8	0.5	TEC	MG
GN_3124 S-65-31	13.8	14	0.2	TEC	GS
GN_3124 S-65-31	14	14.2	0.2	TEC	MG
GN_3124 S-65-31	14.2	15	0.8	TEC	GS
GN_3124 S-65-35	0	0.8	0.8	VEG	VE
GN_3124 S-65-35	0.8	2.4	1.6	Qt3	SD
GN_3124 S-65-35	2.4	3	0.6	Qac	CL
GN_3124 S-65-35	3	3.2	0.2	TEC	GS
GN_3124 S-65-35	3.2	3.8	0.6	TEC	MG
GN_3124 S-65-35	3.8	4	0.2	TEC	GS
GN_3124 S-65-35	4	5.5	1.5	TEC	MG
GN_3124 S-65-35	5.5	6.6	1.1	TEC	GS
GN_3124 S-65-35	6.6	7.2	0.6	TEC	MG
GN_3124 S-65-35	7.2	7.4	0.2	TEC	GS
GN_3124 S-65-35	7.4	9.5	2.1	TEC	MG
GN_3124 S-65-35	9.5	10.9	1.4	TEC	GS
GN_3124 S-65-35	10.9	11.4	0.5	TEC	MG
GN_3124 S-65-35	11.4	13.3	1.9	TEC	GS
GN_3124 S-65-35	13.3	13.8	0.5	TEC	MG
GN_3124 S-65-35	13.8	14.8	1	TEC	GS
GN_3124 S-65-35	14.8	15	0.2	TEC	MG
GN_3124 S-65-40	0	0.2	0.2	Qt3	VE
GN_3124 S-65-40	0.2	1.2	1	Qt3	SD
GN_3124 S-65-40	1.2	2.2	1	Qt3	MU
GN_3124 S-65-40	2.2	2.8	0.6	Qt3	SD
GN_3124 S-65-40	2.8	4.2	1.4	Qac	SD
GN_3124 S-65-40	4.2	5.8	1.6	TEC	MG
GN_3124 S-65-40	5.8	6.4	0.6	TEC	GS
GN_3124 S-65-40	6.4	7.4	1	TEC	MG
GN_3124 S-65-40	7.4	7.6	0.2	TEC	GS
GN_3124 S-65-40	7.6	8.1	0.5	TEC	MG
GN_3124 S-65-40	8.1	8.2	0.1	TEC	GS
GN_3124 S-65-40	8.2	8.5	0.3	TEC	MG
GN_3124 S-65-40	8.5	9.8	1.3	TEC	GS
GN_3124 S-65-40	9.8	10.3	0.5	TEC	MG

GN_3124 S-65-40	10.3	10.5	0.2	TEC	GS
GN_3124 S-65-40	10.5	11.5	1	TEC	MG
GN_3124 S-65-40	11.5	11.8	0.3	TEC	GS
GN_3124 S-65-40	11.8	12.4	0.6	TEC	MG
GN_3124 S-65-40	12.4	12.5	0.1	TEC	GS
GN_3124 S-65-40	12.5	14.8	2.3	TEC	MG
GN_3124 S-65-40	14.8	15	0.2	TEC	GS
GN_3124 S-65-44	0	0.4	0.4	Qt3	SD
GN_3124 S-65-44	0.4	2.4	2	Qt3	GR
GN_3124 S-65-44	2.4	6	3.6	Qac	CL
GN_3124 S-65-44	6	6.8	0.8	TEC	MG
GN_3124 S-65-44	6.8	7	0.2	TEC	GS
GN_3124 S-65-44	7	8.8	1.8	TEC	MG
GN_3124 S-65-44	8.8	10.2	1.4	TEC	GS
GN_3124 S-65-44	10.2	10.5	0.3	TEC	CG
GN_3124 S-65-44	10.5	11	0.5	TEC	GS
GN_3124 S-65-44	11	11.4	0.4	TEC	CG
GN_3124 S-65-44	11.4	12	0.6	TEC	MG
GN_3124 S-65-44	12	12.8	0.8	TEC	GS
GN_3124 S-65-44	12.8	15	2.2	TEC	MG
GN_3124 S-65-48	0	0.9	0.9	Qt3	MU
GN_3124 S-65-48	0.9	2.2	1.3	Qt3	SD
GN_3124 S-65-48	2.2	3.2	1	Qt3	GR
GN_3124 S-65-48	3.2	4.2	1	TEC	MG
GN_3124 S-65-48	4.2	4.8	0.6	TEC	GS
GN_3124 S-65-48	4.8	5.5	0.7	TEC	MG
GN_3124 S-65-48	5.5	6.2	0.7	TEC	GS
GN_3124 S-65-48	6.2	9.6	3.4	TEC	MG
GN_3124 S-65-48	9.6	10.5	0.9	TEC	GS
GN_3124 S-65-48	10.5	10.9	0.4	TEC	MG
GN_3124 S-65-48	10.9	14.2	3.3	TEC	GS
GN_3124 S-65-48	14.2	14.3	0.1	TEC	MG
GN_3124 S-65-48	14.3	15	0.7	TEC	GS
GN_3124 S-65-51	0	1	1	Qt3	MU
GN_3124 S-65-51	1	2.2	1.2	Qt3	SD
GN_3124 S-65-51	2.2	3	0.8	Qt3	GR
GN_3124 S-65-51	3	3.6	0.6	Qac	CL
GN_3124 S-65-51	3.6	4.8	1.2	TEC	GS
GN_3124 S-65-51	4.8	6	1.2	TEC	CG
GN_3124 S-65-51	6	6.6	0.6	TEC	GS
GN_3124 S-65-51	6.6	7.1	0.5	TEC	MG
GN_3124 S-65-51	7.1	7.4	0.3	TEC	GS
GN_3124 S-65-51	7.4	8	0.6	TEC	MG
GN_3124 S-65-51	8	8.4	0.4	TEC	GS
GN_3124 S-65-51	8.4	9.6	1.2	TEC	MG
GN_3124 S-65-51	9.6	10.4	0.8	TEC	GS

GN_3124 S-65-51	10.4	11.3	0.9	TEC	MG
GN_3124 S-65-51	11.3	12.3	1	TEC	GS
GN_3124 S-65-51	12.3	12.5	0.2	TEC	MG
GN_3124 S-65-51	12.5	14.5	2	TEC	GS
GN_3124 S-65-51	14.5	15	0.5	TEC	CG
GN_3124 S-65-55	0	1.6	1.6	Qt3	SD
GN_3124 S-65-55	1.6	2.3	0.7	Qt3	CL
GN_3124 S-65-55	2.3	2.5	0.2	Qt3	SD
GN_3124 S-65-55	2.5	3.6	1.1	Qt3	GR
GN_3124 S-65-55	3.6	4.4	0.8	Qt3	SD
GN_3124 S-65-55	4.4	4.6	0.2	Qac	CL
GN_3124 S-65-55	4.6	4.8	0.2	Qac	GS
GN_3124 S-65-55	4.8	6.2	1.4	TEC	MG
GN_3124 S-65-55	6.2	6.8	0.6	TEC	GS
GN_3124 S-65-55	6.8	6.9	0.1	TEC	CG
GN_3124 S-65-55	6.9	7.4	0.5	TEC	GS
GN_3124 S-65-55	7.4	9.1	1.7	TEC	CG
GN_3124 S-65-55	9.1	9.7	0.6	TEC	MG
GN_3124 S-65-55	9.7	10.6	0.9	TEC	GS
GN_3124 S-65-55	10.6	11.1	0.5	TEC	MG
GN_3124 S-65-55	11.1	11.8	0.7	TEC	GS
GN_3124 S-65-55	11.8	12	0.2	TEC	MG
GN_3124 S-65-55	12	12.8	0.8	TEC	GS
GN_3124 S-65-55	12.8	15	2.2	TEC	MG
GN_3124 S-65-58	0	1.8	1.8	Qt3	SD
GN_3124 S-65-58	1.8	2	0.2	Qt3	GR
GN_3124 S-65-58	2	2.3	0.3	Qt3	CL
GN_3124 S-65-58	2.3	2.7	0.4	Qt3	SD
GN_3124 S-65-58	2.7	3.3	0.6	Qt3	CL
GN_3124 S-65-58	3.3	4.2	0.9	Qac	CL
GN_3124 S-65-58	4.2	4.9	0.7	TEC	GS
GN_3124 S-65-58	4.9	5.4	0.5	TEC	MG
GN_3124 S-65-58	5.4	5.9	0.5	TEC	GS
GN_3124 S-65-58	5.9	6.2	0.3	TEC	MG
GN_3124 S-65-58	6.2	9.5	3.3	TEC	GS
GN_3124 S-65-58	9.5	9.9	0.4	TEC	MG
GN_3124 S-65-58	9.9	10.4	0.5	TEC	MG
GN_3124 S-65-58	10.4	10.5	0.1	TEC	GS
GN_3124 S-65-58	10.5	12.7	2.2	TEC	MG
GN_3124 S-65-58	12.7	13.2	0.5	TEC	GS
GN_3124 S-65-58	13.2	13.8	0.6	TEC	MG
GN_3124 S-65-58	13.8	14.8	1	TEC	GS
GN_3124 S-65-58	14.8	14.9	0.1	TEC	CG
GN_3124 S-65-58	14.9	15	0.1	TEC	GS
GN_3124 S-65-62	0	1.8	1.8	Qt3	MU
GN_3124 S-65-62	1.8	2.1	0.3	Qac	GS

GN_3124 S-65-62	2.1	2.4	0.3	TEC	MG
GN_3124 S-65-62	2.4	2.7	0.3	TEC	GS
GN_3124 S-65-62	2.7	3	0.3	TEC	MG
GN_3124 S-65-62	3	5.3	2.3	TEC	GS
GN_3124 S-65-62	5.3	5.7	0.4	TEC	CG
GN_3124 S-65-62	5.7	5.9	0.2	TEC	GS
GN_3124 S-65-62	5.9	6.4	0.5	TEC	CG
GN_3124 S-65-62	6.4	6.6	0.2	TEC	GS
GN_3124 S-65-62	6.6	7.8	1.2	TEC	MG
GN_3124 S-65-62	7.8	12.6	4.8	TEC	GS
GN_3124 S-65-62	12.6	13.7	1.1	TEC	MG
GN_3124 S-65-62	13.7	14.3	0.6	TEC	GS
GN_3124 S-65-62	14.3	14.7	0.4	TEC	MG
GN_3124 S-65-62	14.7	15	0.3	TEC	GS
GN_3124 S-65-655	0	0.2	0.2	Qt3	SD
GN_3124 S-65-655	0.2	0.6	0.4	Qt3	MU
GN_3124 S-65-655	0.6	0.8	0.2	Qt3	GR
GN_3124 S-65-655	0.8	2.4	1.6	Qt3	SD
GN_3124 S-65-655	2.4	2.8	0.4	Qt3	MU
GN_3124 S-65-655	2.8	3.6	0.8	Qac	CL
GN_3124 S-65-655	3.6	6.6	3	TEC	MG
GN_3124 S-65-655	6.6	11.4	4.8	TEC	GS
GN_3124 S-65-655	11.4	12.6	1.2	TEC	CG
GN_3124 S-65-655	12.6	15	2.4	TEC	GS
GN_3124 S-66-5	0	1.8	1.8	Qac	CL
GN_3124 S-66-5	1.8	2.4	0.6	TEC	MG
GN_3124 S-66-5	2.4	2.7	0.3	TEC	GS
GN_3124 S-66-5	2.7	6.3	3.6	TEC	MG
GN_3124 S-66-5	6.3	8	1.7	TEC	GS
GN_3124 S-66-5	8	12.3	4.3	TEC	MG
GN_3124 S-66-5	12.3	13	0.7	TEC	GS
GN_3124 S-66-5	13	20	7	TEC	MG
GN_3124 S-67-1	0	0.8	0.8	Qt3	SD
GN_3124 S-67-1	0.8	2.6	1.8	Qt3	CL
GN_3124 S-67-1	2.6	3	0.4	Qac	SD
GN_3124 S-67-1	3	5.5	2.5	Qac	CL
GN_3124 S-67-1	5.5	6.2	0.7	Qac	GR
GN_3124 S-67-1	6.2	8.2	2	Qac	CL
GN_3124 S-67-1	8.2	15	6.8	TEC	MG
GN_3124 C-63-98	0	0.6	0.6	Qac	CL
GN_3124 C-63-98	0.6	0.7	0.1	Qac	GS
GN_3124 C-64-26	0	0.5	0.5	Qac	GR
GN_3124 C-64-38	0	0.8	0.8	Qac	LT
GN_3124 C-64-5	0	1.8	1.8	Qac	CL
GN_3124 C-64-5	1.8	2.5	0.7	Qac	LT
GN_3124 C-64-64	0	0.2	0.2	Qac	VE

GN_3124 C-64-64	0.2	1	0.8	Qac	CL
GN_3124 C-64-64	1	3	2	Qac	CL
GN_3124 C-66-36	0	1.2	1.2	Qac	SD
GN_3124 C-66-36	1.2	1.5	0.3	TEC	MG
GN_3124 C-66-74	0	3.4	3.4	Qt3	SD
GN_3124 C-66-74	3.4	3.6	0.2	Qac	CL
GN_3124 C-67	0	0.5	0.5	Qt3	VE
GN_3124 C-67	0.5	1.8	1.3	Qt3	SD
GN_3124 C-67	1.8	2.6	0.8	Qac	CL
GN_3124 C-67-3	0	1.2	1.2	Qt3	SD
GN_3124 C-67-3	1.2	1.4	0.2	Qac	GS
GN_3133 CD-127-2	0	0.3	0.3	Qac	VE
GN_3133 CD-127-2	0.3	0.7	0.4	Qac	CL
GN_3133 CD-127-2	0.7	0.8	0.1	Qac	GS
GN_3133 CD-127-2	0.8	2.1	1.3	TEC	MG
GN_3133 CD-127-2	2.1	2.16	0.06	TEC	GS
GN_3133 CD-128-0	0	0.25	0.25	ANT	AN
GN_3133 CD-128-0	0.25	1.2	0.95	Qac	CL
GN_3133 CD-128-0	1.2	1.26	0.06	Qac	GS
GN_3133 CD-129-2	0	0.25	0.25	Qac	VE
GN_3133 CD-129-2	0.25	0.5	0.25	Qac	CL
GN_3133 CD-129-2	0.5	0.55	0.05	Qac	GS
GN_3133 CD-130-6	0	0.2	0.2	ANT	AN
GN_3133 CD-130-6	0.2	0.6	0.4	Qac	CL
GN_3133 CD-130-6	0.6	0.68	0.08	Qac	GS
GN_3133 SE-128-3	0	0.4	0.4	ANT	AN
GN_3133 SE-128-3	0.4	0.6	0.2	Qac	CL
GN_3133 SE-128-3	0.6	1	0.4	Qac	GR
GN_3133 SE-128-3	1	4	3	Qac	CL
GN_3133 SE-128-3	4	8.1	4.1	TEC	MG
GN_3133 SE-128-3	8.1	9.5	1.4	TEC	GS
GN_3133 SE-129-3	0	0.3	0.3	ANT	AN
GN_3133 SE-129-3	0.3	2.4	2.1	Qac	CL
GN_3133 SE-129-3	2.4	4.8	2.4	TEC	MG
GN_3133 SE-129-3	4.8	6.3	1.5	TEC	GS
GN_3133 SE-129-3	6.3	7	0.7	TEC	MG
GN_3133 SE-129-3	7	10	3	TEC	GS
GN_3133 SE-129-3	10	12.7	2.7	TEC	MG
GN_3133 SE-129-3	12.7	13.4	0.7	TEC	GS
GN_3133 SE-131-0	0	0.1	0.1	ANT	AN
GN_3133 SE-131-0	0.1	2.6	2.5	Qt3	CL
GN_3133 SE-131-0	2.6	3	0.4	TEC	CG
GN_3133 SE-131-0	3	3.6	0.6	TEC	GS
GN_3133 SE-131-0	3.6	4.3	0.7	TEC	CG
GN_3133 SE-131-0	4.3	5.1	0.8	TEC	GS
GN_3133 SE-131-0	5.1	8.7	3.6	TEC	CG

GN_3133 SE-131-0	8.7	9.8	1.1	TEC	GS
GN_3133 SE-131-0	9.8	10	0.2	TEC	MG
GN_3134 S-2	0	1.6	1.6	ANT	AN
GN_3134 S-2	1.6	3.8	2.2	TEC	MG
GN_3134 S-2	3.8	5.4	1.6	TEC	LT
GN_3134 S-2	5.4	5.7	0.3	TEC	GS
GN_3134 S-2	5.7	6.2	0.5	TEC	MG
GN_3134 S-2	6.2	9.6	3.4	TEC	GS
GN_3134 S-2	9.6	9.9	0.3	TEC	MG
GN_3134 S-2	9.9	10.16	0.26	TEC	GS
GN_3134 S-2	10.16	10.2	0.04	TEC	MG
GN_3134 S-2	10.2	10.8	0.6	TEC	GS
GN_3134 S-2	10.8	12.75	1.95	TEC	LT
GN_3134 S-3	0	2	2	ANT	AN
GN_3134 S-3	2	3.2	1.2	TEC	MG
GN_3134 S-3	3.2	3.5	0.3	TEC	GS
GN_3134 S-3	3.5	6.5	3	TEC	MG
GN_3134 S-3	6.5	7.8	1.3	TEC	GS
GN_3134 S-3	7.8	8.2	0.4	TEC	MG
GN_3134 S-3	8.2	8.5	0.3	TEC	GS
GN_3134 S-3	8.5	10.2	1.7	TEC	MG
GN_3134 S-4	0	0.4	0.4	Qac	MU
GN_3134 S-4	0.4	1.3	0.9	TEC	MG
GN_3134 S-4	1.3	2.4	1.1	TEC	LT
GN_3134 S-4	2.4	5.4	3	TEC	GS
GN_3134 S-4	5.4	10	4.6	TEC	LT
GN_3134 S-5	0	2	2	ANT	AN
GN_3134 S-5	2	5.3	3.3	Qac	GR
GN_3134 S-5	5.3	15.15	9.85	TEC	MG
GN_3134 S-6	0	4	4	ANT	AN
GN_3134 S-6	4	4.9	0.9	Qac	MU
GN_3134 S-6	4.9	6.3	1.4	Qac	GR
GN_3134 S-6	6.3	9.4	3.1	TEC	MG
GN_3134 S-6	9.4	10.2	0.8	TEC	GS
GN_3134 S-6	10.2	12.8	2.6	TEC	MG
GN_3134 S-6	12.8	14.9	2.1	TEC	GS
GN_3134 S-6	14.9	17.4	2.5	TEC	MG
GN_3134 S-6	17.4	19.2	1.8	TEC	GS
GN_3134 S-6	19.2	20	0.8	TEC	MG
GN_3134 S-7	0	0.2	0.2	Qac	GR
GN_3134 S-7	0.2	1.2	1	Qac	SD
GN_3134 S-7	1.2	3	1.8	TEC	MG
GN_3134 S-7	3	6.3	3.3	TEC	GS
GN_3134 S-7	6.3	11.2	4.9	TEC	LT
GN_3134 S-7	11.2	11.7	0.5	TEC	GS
GN_3134 S-7	11.7	12	0.3	TEC	LT

GN_3134 S-7	12	13.3	1.3	TEC	MG
GN_3134 S-7	13.3	20	6.7	TEC	LT
GN_3134 S-8	0	1.8	1.8	ANT	AN
GN_3134 S-8	1.8	5.3	3.5	TEC	MG
GN_3134 S-8	5.3	7.8	2.5	TEC	LT
GN_3134 S-8	7.8	9	1.2	TEC	GS
GN_3134 S-8	9	10.2	1.2	TEC	MG
GN_3134 S-8	10.2	12	1.8	TEC	LT
GN_3134 S-8	12	13.8	1.8	TEC	MG
GN_3134 S-8	13.8	20.4	6.6	TEC	LT
GN_3134 C-1	0	0.2	0.2	ANT	AN
GN_3134 C-1	0.2	1.7	1.5	Qac	CL
GN_3134 C-1	1.7	4	2.3	Qac	GR
GN_3134 C-2	0	0.3	0.3	ANT	AN
GN_3134 C-2	0.3	1.8	1.5	Qac	MU
GN_3134 C-2	1.8	4.3	2.5	Qac	CL
GN_3134 C-3	0	0.3	0.3	ANT	AN
GN_3134 C-3	0.3	4	3.7	TEC	MG
GN_3134 C-6	0	0.2	0.2	VEG	VE
GN_3134 C-6	0.2	1.6	1.4	TEC	MG
GN_3134 C-6	1.6	2.5	0.9	TEC	LT
GN_3134 C-7	0	0.3	0.3	VEG	VE
GN_3134 C-7	0.3	2.1	1.8	TEC	MG
GN_3134 C-7	2.1	3	0.9	TEC	GS
GN_3134 C-8	0	0.2	0.2	ANT	AN
GN_3134 C-8	0.2	3.5	3.3	TEC	MG
GN_3663 S-1	0	0.2	0.2	Qt2	SD
GN_3663 S-1	0.2	0.7	0.5	Qt2	MU
GN_3663 S-1	0.7	1	0.3	Qt2	SD
GN_3663 S-1	1	1.7	0.7	Qt2	GR
GN_3663 S-1	1.7	2.5	0.8	Qac	GR
GN_3663 S-1	2.5	3.3	0.8	Qac	CL
GN_3663 S-1	3.3	3.7	0.4	TEC	GS
GN_3663 S-1	3.7	3.82	0.12	TEC	MG
GN_3663 S-1	3.82	3.9	0.08	TEC	GS
GN_3663 S-1	3.9	4.06	0.16	TEC	MG
GN_3663 S-1	4.06	4.25	0.19	TEC	GS
GN_3663 S-1	4.25	4.33	0.08	TEC	MG
GN_3663 S-1	4.33	4.43	0.1	TEC	GS
GN_3663 S-1	4.43	4.61	0.18	TEC	MG
GN_3663 S-1	4.61	5	0.39	TEC	GS
GN_3663 S-1	5	5.05	0.05	TEC	MG
GN_3663 S-1	5.05	6.29	1.24	TEC	GS
GN_3663 S-1	6.29	6.73	0.44	TEC	CG
GN_3663 S-1	6.73	7.12	0.39	TEC	GS
GN_3663 S-1	7.12	7.37	0.25	TEC	MG

GN_3663 S-1	7.37	7.8	0.43	TEC	GS
GN_3664 S-1	0	4.7	4.7	ANT	AN
GN_3664 S-1	4.7	7.4	2.7	Qt1	GR
GN_3664 S-1	7.4	8	0.6	TEC	LT
GN_3664 S-2	0	4.8	4.8	ANT	AN
GN_3664 S-2	4.8	7.3	2.5	Qt1	GR
GN_3664 S-2	7.3	8	0.7	TEC	LT
GN_3665 S-2	0	3.6	3.6	ANT	AN
GN_3665 S-2	3.6	8	4.4	TEC	LT
GN_3665 S-1	0	2.2	2.2	ANT	AN
GN_3665 S-1	2.2	8	5.8	TEC	LT
GN_3666 S-1	0	4.9	4.9	ANT	AN
GN_3666 S-1	4.9	8	3.1	Qt1	GR
GN_3735 S-1	0	0.2	0.2	ANT	AN
GN_3735 S-1	0.2	5.3	5.1	Qt1	MU
GN_3735 S-1	5.3	7	1.7	Qt1	GR
GN_3735 S-1	7	8.6	1.6	Qt1	SD
GN_3735 S-1	8.6	9.3	0.7	Qt1	GR
GN_3769 S-5R	0	1.2	1.2	ANT	AN
GN_3769 S-5R	1.2	2.4	1.2	Qac	VE
GN_3769 S-5R	2.4	5.2	2.8	Qac	MU
GN_3769 S-5R	5.2	7.4	2.2	TEC	GS
GN_3769 S-5R	7.4	7.6	0.2	TEC	MG
GN_3769 S-5R	7.6	7.7	0.1	TEC	GS
GN_3769 S-5R	7.7	8.2	0.5	TEC	MG
GN_3769 C-2	0	0.7	0.7	ANT	AN
GN_3769 S-4R	0	1.4	1.4	ANT	AN
GN_3769 S-4R	1.4	5.2	3.8	Qac	MU
GN_3769 S-4R	5.2	6.6	1.4	TEC	GS
GN_3769 S-4R	6.6	8	1.4	TEC	MG
GN_3769 C-1	0	1.2	0.6	ANT	AN
GN_3769 C-1	1.2	2.3	1.1	VEG	VE
GN_3769 C-1	2.3	5.3	3	Qac	MU
GN_3769 C-1	5.3	7.3	2	TEC	GS
GN_3769 C-1	7.3	7.6	0.3	TEC	MG
GN_3769 C-1	7.6	7.8	0.2	TEC	GS
GN_3769 C-1	7.8	8.2	0.4	TEC	MG
GN_3769 C-3	0	0.2	0.2	VEG	VE
GN_3769 C-3	0.2	1.7	1.5	ANT	AN
GN_3769 C-3	1.7	3.1	1.4	Qac	MU
GN_3769 S-3R	0	1.2	1.2	ANT	AN
GN_3769 S-3R	1.2	6.6	5.4	Qac	MU
GN_3769 S-3R	6.6	7.1	0.5	Qac	SD
GN_3769 S-3R	7.1	7.4	0.3	TEC	GS
GN_3769 S-2R	0	1.8	1.8	ANT	AN
GN_3769 S-2R	1.8	5.6	3.8	Qac	CL

GN_3769 S-2R	5.8	7	1.2	Qac	SD
GN_3769 S-2R	7	7.8	0.8	Qac	CL
GN_3769 S-2R	7.8	8	0.2	TEC	GS
GN_3769 S-1R	0	3	3	ANT	AN
GN_3769 S-1R	3	4	1	VEG	VE
GN_3769 S-1R	4	7.1	3.1	TEC	GS
GN_3769 S-1R	7.1	8	0.9	TEC	MG
GN_3770 S-6	0	6.3	6.3	ANT	AN
GN_3770 S-6	6.3	9	2.7	TEC	CG
GN_3770 S-5	0	7.3	7.3	ANT	AN
GN_3770 S-5	7.3	10.2	2.9	TEC	CG
GN_3770 S-4	0	1.5	1.5	ANT	AN
GN_3770 S-4	1.5	5.5	4	TEC	GS
GN_3770 S-4	5.5	6.5	1	TEC	CG
GN_3770 S-4	6.5	7.2	0.7	TEC	MG
GN_3770 S-3	0	5	5	ANT	AN
GN_3770 S-3	5	6.2	1.2	TEC	CG
GN_3770 S-3	6.2	10	3.8	TEC	GS
GN_3770 S-3	10	10.1	0.1	TEC	MG
GN_3770 S-3	10.1	10.6	0.5	TEC	GS
GN_3770 S-3	10.6	16.6	6	TEC	MG
GN_3770 S-3	16.6	18	1.4	TEC	GS
GN_3770 S-1	0	4	4	TEC	GS
GN_3770 S-1	4	7.7	3.7	TEC	CG
GN_3770 S-1	7.7	10.5	2.8	TEC	GS
GN_3770 S-1	10.5	11.3	0.8	TEC	CG
GN_3770 S-1	11.3	18	6.7	TEC	GS
GN_3770 S-2	0	1.7	1.7	ANT	AN
GN_3770 S-2	1.7	6.6	4.9	TEC	GS
GN_3770 S-2	6.6	10.9	4.3	TEC	CG
GN_3770 S-2	10.9	16.6	5.7	TEC	GS
GN_3770 S-2	16.6	18	1.4	TEC	MG
GN_3771 S-5	0	1	1	ANT	AN
GN_3771 S-5	1	2.6	1.6	Qt3	GR
GN_3771 S-5	2.6	10	7.4	Qt3	CL
GN_3771 S-4	0	0.5	0.5	ANT	AN
GN_3771 S-4	0.5	1.8	1.3	Qt3	CL
GN_3771 S-4	1.8	3.5	1.7	Qt3	GR
GN_3771 S-4	3.5	10	6.5	Qt3	CL
GN_3771 S-3	0	1	1	ANT	AN
GN_3771 S-3	1	2.2	1.2	Qt3	CL
GN_3771 S-3	2.2	4.6	2.4	Qt3	GR
GN_3771 S-3	4.6	10	5.4	Qt3	CL
GN_3771 S-2	0	1.6	1.6	ANT	AN
GN_3771 S-2	1.6	3	1.4	Qt3	CL
GN_3771 S-2	3	3.8	0.8	Qt3	GR

GN_3771 S-2	3.8	10	6.2	Qt3	CL
GN_3771 S-1	0	0.4	0.4	ANT	AN
GN_3771 S-1	0.4	3.4	3	Qt3	CL
GN_3771 S-1	3.4	4.3	0.9	Qt3	GR
GN_3771 S-1	4.3	10	5.7	Qt3	CL
GN_3772 S-2	0	6	6	ANT	AN
GN_3772 S-2	6	7	1	Qac	GR
GN_3772 S-2	7	9	2	TEM	MG
GN_3772 S-3	0	2.3	2.3	ANT	AN
GN_3772 S-3	2.3	5.7	3.4	Qac	SD
GN_3772 S-3	5.7	8	2.3	TEM	MG
GN_3772 S-1	0	1.6	1.6	ANT	AN
GN_3772 S-1	1.6	2.4	0.8	Qac	SD
GN_3772 S-1	2.4	2.7	0.3	TEM	GS
GN_3772 S-1	2.7	8	5.3	TEM	MG
GN_3773 S-4	0	10.09	10.09	ANT	AN
GN_3773 S-4	10.09	10.69	0.6	Qt1	MU
GN_3773 S-4	10.69	13.97	3.28	Qt1	SD
GN_3773 S-4	13.97	15.5	1.53	TEM	GS
GN_3773 S-5	0	11	11	ANT	AN
GN_3773 S-5	11	12	1	Qt1	MU
GN_3773 S-5	12	12.43	0.43	TEM	GS
GN_3773 S-3	0	11.28	11.28	ANT	AN
GN_3773 S-3	11.28	13.48	2.2	Qt1	MU
GN_3773 S-3	13.48	15.15	1.67	TEM	GS
GN_3773 S-2	0	10.84	10.84	ANT	AN
GN_3773 S-2	10.84	13.52	2.68	Qt1	SD
GN_3773 S-2	13.52	15	1.48	TEM	GS
GN_3773 S-1	0	9.05	9.05	ANT	AN
GN_3773 S-1	9.05	9.39	0.34	Qt1	SD
GN_3773 S-1	9.39	19	9.61	TEM	GS
GN_3774 S-1	0	0.6	0.6	Qt2	SD
GN_3774 S-1	0.6	1.8	1.2	Qac	SD
GN_3774 S-1	1.8	2.4	0.6	Qac	CL
GN_3774 S-1	2.4	6.15	3.75	TEM	MG
GN_3774 S-3	0	1	1	Qt1	SD
GN_3774 S-3	1	2.5	1.5	Qac	SD
GN_3774 S-3	2.5	7	4.5	TEM	MG
GN_3774 S-2	0	0.9	0.9	Qt1	SD
GN_3774 S-2	0.9	2.4	1.5	Qac	SD
GN_3774 S-2	2.4	7	4.6	TEM	MG
GN_3775 S-3	0	0.3	0.3	Qac	MU
GN_3775 S-3	0.3	2.1	1.8	TEC	GS
GN_3775 S-3	2.1	3	0.9	TEC	MG
GN_3775 S-1	0	0.4	0.4	Qac	MU
GN_3775 S-1	0.4	2.8	2.4	TEC	GS

GN_3775 S-1	2.8	7.2	4.4	TEC	MG
GN_3775 S-2	0	0.3	0.3	Qac	MU
GN_3775 S-2	0.3	1.29	0.99	TEC	GS
GN_3775 S-2	1.29	2.4	1.11	TEC	MG
GN_3776 S-6	0	0.5	0.5	ANT	AN
GN_3776 S-6	0.5	1.3	0.8	Qac	MU
GN_3776 S-6	1.3	2.5	1.2	TEM	GS
GN_3776 S-5	0	1	1	ANT	AN
GN_3776 S-5	1	2	1	Qac	MU
GN_3776 S-5	2	3.1	1.1	Qac	CL
GN_3776 S-5	3.1	4	0.9	TEM	CG
GN_3776 S-5	4	5	1	TEM	GS
GN_3776 S-5	5	6	1	TEM	MG
GN_3776 S-4	0	0.5	0.5	ANT	AN
GN_3776 S-4	0.5	1	0.5	Qac	MU
GN_3776 S-4	1	2.5	1.5	Qac	CL
GN_3776 S-4	2.5	3.7	1.2	TEM	GS
GN_3776 S-4	3.7	4.2	0.5	TEM	CG
GN_3776 S-4	4.2	4.5	0.3	TEM	GS
GN_3776 S-3	0	0.4	0.4	ANT	AN
GN_3776 S-3	0.4	1.2	0.8	Qac	MU
GN_3776 S-3	1.2	1.6	0.4	TEM	GS
GN_3776 S-3	1.6	1.7	0.1	TEM	CG
GN_3776 S-3	1.7	2.2	0.5	TEM	GS
GN_3776 S-3	2.2	3	0.8	TEM	MG
GN_3776 S-2	0	0.75	0.75	ANT	AN
GN_3776 S-2	0.75	1.5	0.75	TEM	GS
GN_3776 S-2	1.5	1.7	0.2	TEM	CG
GN_3776 S-2	1.7	1.8	0.1	TEM	GS
GN_3776 S-2	1.8	2	0.2	TEM	MG
GN_3776 S-2	2	2.45	0.45	TEM	GS
GN_3776 S-2	2.45	3	0.55	TEM	MG
GN_3776 S-1	0	1.5	1.5	ANT	AN
GN_3776 S-1	1.5	2.5	1	TEM	GS
GN_3777 C-2	0	0.3	0.3	VEG	VE
GN_3777 C-2	0.3	1.2	0.9	Qt2	MU
GN_3777 C-2	1.2	2	0.8	Qt2	CL
GN_3777 C-2	2	2.2	0.2	TEM	LT
GN_3777 SR-1	0	0.2	0.2	VEG	VE
GN_3777 SR-1	0.2	0.6	0.4	Qt2	MU
GN_3777 SR-1	0.6	1	0.4	Qt2	SD
GN_3777 SR-1	1	1.9	0.9	Qt2	GR
GN_3777 SR-1	1.9	5.3	3.4	TEM	MG
GN_3777 SR-1	5.3	6	0.7	TEC	LT
GN_3777 C-3	0	0.4	0.4	VEG	VE
GN_3777 C-3	0.4	3.6	3.2	Qt2	MU

GN_3777 C-7	0	0.4	0.4	VEG	VE
GN_3777 C-7	0.4	1	0.6	Qt2	GR
GN_3777 C-7	1	1.7	0.7	Qt2	CL
GN_3777 C-7	1.7	1.9	0.2	TEC	LT
GN_3777 C-9	0	0.7	0.7	ANT	AN
GN_3777 C-9	0.7	1.2	0.5	Qt2	SD
GN_3777 C-8	0	0.2	0.2	VEG	VE
GN_3777 C-8	0.2	0.5	0.3	TEC	GS
GN_3777 SR-2	0	0.2	0.2	VEG	VE
GN_3777 SR-2	0.2	1.5	1.3	Qt2	MU
GN_3777 SR-2	1.5	3.8	2.3	Qt2	CL
GN_3777 SR-2	3.8	5.3	1.5	TEM	MG
GN_3777 SR-2	5.3	6	0.7	TEM	GS
GN_3777 C-4	0	0.3	0.3	VEG	VE
GN_3777 C-4	0.3	1.2	0.9	ANT	AN
GN_3777 C-4	1.2	3.2	2	Qac	MU
GN_3777 C-5	0	0.1	0.1	VEG	VE
GN_3777 C-5	0.1	0.9	0.8	ANT	AN
GN_3777 C-5	0.9	1.5	0.6	Qt3	CL
GN_3777 C-6	0	0.4	0.4	ANT	AN
GN_3777 C-6	0.4	2.5	2.1	Qt3	MU
GN_3777 C-6	2.5	3.2	0.7	Qt3	SD
GN_3777 C-6	3.2	4	0.8	Qt3	GR
GN_3777 C-1	0	0.2	0.2	VEG	VE
GN_3777 C-1	0.2	0.6	0.4	Qt2	CL
GN_3777 C-1	0.6	2.1	1.5	Qt2	MU
GN_3777 C-1	2.1	3.1	1	Qt2	GR
GN_3778 S-7	0	1	1	ANT	AN
GN_3778 S-7	1	5	4	Qac	MU
GN_3778 S-7	5	6.4	1.4	TEC	MG
GN_3778 S-7	6.4	12	5.6	TEC	GS
GN_3778 S-8	0	0.9	0.9	ANT	AN
GN_3778 S-8	0.9	4.4	3.5	Qac	MU
GN_3778 S-8	4.4	5.6	1.2	TEC	MG
GN_3778 S-8	5.6	12	6.4	TEC	GS
GN_3778 S-9	0	1.9	1.9	ANT	AN
GN_3778 S-9	1.9	4	2.1	Qac	MU
GN_3778 S-9	4	6	2	TEC	MG
GN_3778 S-9	6	11	5	TEC	GS
GN_3778 S-6	0	2	2	ANT	AN
GN_3778 S-6	2	2.4	0.4	Qac	MU
GN_3778 S-6	2.4	7.2	4.8	TEC	MG
GN_3778 S-6	7.2	12	4.8	TEC	GS
GN_3778 S-5	0	1.8	1.8	ANT	AN
GN_3778 S-5	1.8	4.5	2.7	Qac	MU
GN_3778 S-5	4.5	7.5	3	TEC	MG

GN_3778 S-5	7.5	11.7	4.2	TEC	GS
GN_3778 S-4	0	1.6	1.6	ANT	AN
GN_3778 S-4	1.6	3.2	1.6	Qac	MU
GN_3778 S-4	3.2	6.8	3.6	TEC	MG
GN_3778 S-4	6.8	12	5.2	TEC	GS
GN_3778 S-2	0	1.9	1.9	ANT	AN
GN_3778 S-2	1.9	3.3	1.4	Qac	MU
GN_3778 S-2	3.3	9	5.7	TEC	MG
GN_3778 S-2	9	12	3	TEC	GS
GN_3778 S-3	0	1.6	1.6	ANT	AN
GN_3778 S-3	1.6	4	2.4	Qac	MU
GN_3778 S-3	4	5.8	1.8	TEC	MG
GN_3778 S-3	5.8	12	6.2	TEC	GS
GN_3778 S-1	0	2.2	2.2	ANT	AN
GN_3778 S-1	2.2	3.2	1	TEC	MG
GN_3778 S-1	3.2	3.6	0.4	TEC	GS
GN_3778 S-1	3.6	7	3.4	TEC	MG
GN_3778 S-1	7	11	4	TEC	GS
GN_3779 S-1	0	0.6	0.6	VEG	VE
GN_3779 S-1	0.6	4.5	3.9	TEC	LT
GN_3779 S-2	0	0.4	0.4	ANT	AN
GN_3779 S-2	0.4	2	1.6	Qt3	MU
GN_3779 S-2	2	5	3	TEC	LT
GN_3779 S-4	0	0.5	0.5	VEG	VE
GN_3779 S-4	0.5	4.5	4	TEC	LT
GN_3779 S-3	0	0.9	0.9	VEG	VE
GN_3779 S-3	0.9	4.2	3.3	TEC	LT
GN_3780 S-2	0	0.6	0.6	ANT	AN
GN_3780 S-2	0.6	12	11.4	TEC	LT
GN_3780 S-1	0	0.4	0.4	ANT	AN
GN_3780 S-1	0.4	12	11.6	TEC	LT
GN_3780 S-3	0	1.4	1.4	ANT	AN
GN_3780 S-3	1.4	2.85	1.45	Qac	CL
GN_3780 S-3	2.85	15	12.15	TEC	LT
GN_3781 S-3	0	0.2	0.2	VEG	VE
GN_3781 S-3	0.2	2.3	2.1	Qac	MU
GN_3781 S-3	2.3	3.5	1.2	TEC	LT
GN_3781 S-1	0	0.2	0.2	VEG	VE
GN_3781 S-1	0.2	0.8	0.6	Qac	MU
GN_3781 S-1	0.8	5	4.2	TEC	LT
GN_3781 S-2	0	0.2	0.2	VEG	VE
GN_3781 S-2	0.2	1.6	1.4	Qac	MU
GN_3781 S-2	1.6	4.2	2.6	TEC	LT
GN_3782 S-1	0	2.7	2.7	Qt2	MU
GN_3782 S-1	2.7	6.3	3.6	Qac	SD
GN_3782 S-1	6.3	8.75	2.45	TEC	MG

GN_3783 C-8	0	0.8	0.8	ANT	AN
GN_3783 C-8	0.8	1	0.2	Qt1	GR
GN_3783 C-6	0	1.2	1.2	ANT	AN
GN_3783 C-7	0	1.2	1.2	ANT	AN
GN_3783 C-5	0	1.4	1.4	ANT	AN
GN_3783 C-4	0	1.2	1.2	ANT	AN
GN_3783 C-3	0	1.2	1.2	ANT	AN
GN_3783 C-2	0	1.2	1.2	ANT	AN
GN_3783 C-1	0	1.2	1.2	ANT	AN
GN_3784 S-4	0	1.58	1.58	ANT	AN
GN_3784 S-4	1.58	6.4	4.82	TEM	GS
GN_3784 S-2	0	1.8	1.8	ANT	AN
GN_3784 S-2	1.8	2.65	0.85	Qt1	SD
GN_3784 S-2	2.65	8.05	5	TEM	GS
GN_3784 S-1	0	1.1	1.1	ANT	AN
GN_3784 S-1	1.1	2.6	1.5	Qt1	SD
GN_3784 S-1	2.6	3	0.4	TEM	MG
GN_3784 S-1	3	6.7	6	TEM	GS
GN_3784 S-5	0	1.2	1.2	ANT	AN
GN_3784 S-5	1.2	3.3	2.1	TEM	MG
GN_3784 S-5	3.3	6	2.7	TEM	GS
GN_3784 S-6	0	3.65	7	ANT	AN
GN_3784 S-6	3.65	12	8.35	TEM	GS
GN_3784 S-3	0	1.2	1.2	ANT	AN
GN_3784 S-3	1.2	3.3	2.1	Qt1	SD
GN_3784 S-3	3.3	8	8	TEM	GS
GN_3785 S-8	0	5.4	5.4	ANT	AN
GN_3785 S-8	5.4	7.3	1.9	TEM	GS
GN_3785 S-7	0	4	4	ANT	AN
GN_3785 S-7	4	5	9	TEM	GS
GN_3786 P-6	0	2.1	2.1	Qac	CL
GN_3786 P-6	2.1	6	3.9	TEC	LT
GN_3786 S-5	0	5.2	5.2	Qac	MU
GN_3786 S-5	5.2	12	10	TEC	GS
GN_3786 S-4	0	0.4	0.4	VEG	VE
GN_3786 S-4	0.4	0.8	0.4	Qac	MU
GN_3786 S-4	0.8	3	2.2	TEC	GS
GN_3786 S-4	3	12	11	TEC	LT
GN_3786 S-2	0	1.8	1.8	Qac	MU
GN_3786 S-2	1.8	5	3.2	TEC	GS
GN_3786 S-2	5	10.5	5.5	TEC	LT
GN_3786 S-2	10.5	12	12	TEC	GS
GN_3786 S-3	0	0.4	0.4	VEG	VE
GN_3786 S-3	0.4	0.8	0.4	Qac	MU
GN_3786 S-3	0.8	3	2.2	TEC	GS
GN_3786 S-3	3	12	9	TEC	LT

GN_3786 P-1	0	0.2	0.2	VEG	VE
GN_3786 P-1	0.2	6.2	6	Qac	MU
GN_3786 P-1	6.2	12	5.8	TEC	GS
GN_3786 P-2	0	1.9	14	Qac	CL
GN_3786 P-2	1.9	6	4.1	TEC	LT
GN_3786 P-3	0	1.25	1.25	Qac	CL
GN_3786 P-3	1.25	6	4.75	TEC	LT
GN_3786 P-4	0	1.3	15	Qac	CL
GN_3786 P-4	1.3	6	4.7	TEC	LT
GN_3786 P-5	0	1.1	1.1	Qac	CL
GN_3786 P-5	1.1	6	4.9	TEC	LT
GN_3786 S-8	0	0.2	0.2	VEG	VE
GN_3786 S-8	0.2	2.1	1.9	Qac	MU
GN_3786 S-8	2.1	12	9.9	TEC	LT
GN_3786 S-9	0	0.2	0.2	VEG	VE
GN_3786 S-9	0.2	0.9	17	Qac	MU
GN_3786 S-9	0.9	12	11.1	TEC	LT
GN_3786 S-10	0	0.2	0.2	VEG	VE
GN_3786 S-10	0.2	0.9	0.7	Qac	MU
GN_3786 S-10	0.9	12	18	TEC	LT
GN_3786 S-11	0	4.2	4.2	TEC	LT
GN_3786 S-11	4.2	6.8	2.6	TEC	GS
GN_3786 S-11	6.8	12	5.2	TEC	LT
GN_3786 S-13	0	0.2	19	VEG	VE
GN_3786 S-13	0.2	1.3	1.1	Qac	CL
GN_3786 S-13	1.3	1.5	0.2	Qac	LT
GN_3786 S-13	1.5	4.5	3	Qac	MU
GN_3786 S-13	4.5	5.4	20	Qac	CL
GN_3786 S-13	5.4	12	6.6	TEC	LT
GN_3786 S-14	0	0.2	0.2	VEG	VE
GN_3786 S-14	0.2	1.3	1.1	Qac	CL
GN_3786 S-14	1.3	1.5	21	Qac	LT
GN_3786 S-14	1.5	4.5	3	Qac	MU
GN_3786 S-14	4.5	5.4	0.9	Qac	CL
GN_3786 S-14	5.4	12	6.6	TEC	LT
GN_3786 S-15	0	0.2	0.2	VEG	VE
GN_3786 S-15	0.2	6.2	6	Qac	MU
GN_3786 S-15	6.2	12	5.8	TEC	GS
GN_3786 P-7	0	4.7	4.7	Qac	CL
GN_3786 P-7	4.7	6	1.3	TEC	LT
GN_3786 S-1	0	0.2	0.2	VEG	VE
GN_3786 S-1	0.2	12	11.8	TEC	LT
GN_3786 S-6	0	0.2	0.2	VEG	VE
GN_3786 S-6	0.2	4.5	4.3	Qac	MU
GN_3786 S-6	4.5	5.3	0.8	Qac	GR
GN_3786 S-7	0	0.2	0.2	VEG	VE

GN_3786 S-7	0.2	1.2	1	Qac	MU
GN_3786 S-7	1.2	1.8	0.6	TEC	GS
GN_3786 S-7	1.8	8.6	6.8	TEC	LT
GN_3786 S-7	8.6	12	3.4	TEC	GS
GN_3786 S-12	0	0.2	0.2	VEG	VE
GN_3786 S-12	0.2	5.1	4.9	Qac	MU
GN_3786 S-12	5.1	12	6.9	TEC	LT
GN_4285 S-2	0	0.7	0.7	Qac	CL
GN_4285 S-2	0.7	2.5	1.8	TEC	MG
GN_4285 S-3	0	0.3	0.3	Qac	CL
GN_4285 S-3	0.3	3	2.7	TEC	MG
GN_4285 S-1	0	0.3	0.3	Qac	CL
GN_4285 S-1	0.3	4.8	4.5	TEC	MG
GN_4567 S-10	0	1.6	1.6	ANT	AN
GN_4567 S-10	1.6	2.8	1.2	Qac	CL
GN_4567 S-10	2.8	9	6.2	TEC	MG
GN_4567 S-8	0	2.8	2.8	ANT	AN
GN_4567 S-8	2.8	5.2	2.4	Qac	MU
GN_4567 S-8	5.2	11	5.8	TEC	MG
GN_4567 S-9	0	2	2	ANT	AN
GN_4567 S-9	2	9.5	7.5	TEC	MG
GN_4973 S-1	0	0.2	0.2	VEG	VE
GN_4973 S-1	0.2	1.2	1	Qac	MU
GN_4973 S-1	1.2	1.5	0.3	Qac	SD
GN_4973 S-1	1.5	2.05	0.55	Qac	MU
GN_4973 S-1	2.05	3.8	1.75	TEC	GS
GN_4973 S-1	3.8	4.2	0.4	TEC	MG
GN_4973 S-1	4.2	5.2	1	TEC	GS
GN_4973 S-1	5.2	5.8	0.6	TEC	MG
GN_4973 S-1	5.8	8	2.2	TEC	GS
GN_4973 S-2	0	0.8	0.8	ANT	AN
GN_4973 S-2	0.8	2.75	1.95	Qac	MU
GN_4973 S-2	2.75	3.1	0.35	Qac	GR
GN_4973 S-2	3.1	4.6	1.5	Qac	MU
GN_4973 S-2	4.6	6	1.4	TEC	MG
GN_4973 S-3	0	0.5	0.5	VEG	VE
GN_4973 S-3	0.5	5.5	5	Qac	MU
GN_4973 S-3	5.5	6.5	1	TEC	MG
GN_4973 S-3	6.5	8	1.5	TEC	GS
GN_4973 C-1	0	0.25	0.25	VEG	VE
GN_4973 C-1	0.25	0.9	0.65	Qac	MU
GN_5048 S-1	0	2.1	2.1	ANT	AN
GN_5048 S-1	2.1	5.1	3	Qac	CL
GN_5048 S-1	5.1	9	3.9	TEC	LT
GN_5048 S-2	0	0.2	0.2	VEG	VE
GN_5048 S-2	0.2	1.5	1.3	ANT	AN

GN_5048 S-2	1.5	3.4	1.9	Qac	CL
GN_5048 S-2	3.4	5.8	2.4	TEC	LT
GN_5048 S-2	5.8	6.4	0.6	TEC	GS
GN_5048 S-2	6.4	8	1.6	TEC	LT
GN_5048 S-3	0	4	4	ANT	AN
GN_5048 S-3	4	6	2	Qac	CL
GN_5048 S-3	6	9.7	3.7	TEC	LT
GN_5048 S-3	9.7	10	0.3	TEC	GS
GN_5152 S-1	0	2.7	2.7	ANT	AN
GN_5152 S-1	2.7	4.2	1.5	Qac	MU
GN_5152 S-1	4.2	4.7	0.5	TEC	MG
GN_5152 S-1	4.7	4.8	0.1	TEC	GS
GN_5152 S-1	4.8	6.1	1.3	TEC	MG
GN_5152 S-2	0	3.2	3.2	ANT	AN
GN_5152 S-2	3.2	7	3.8	TEC	MG
GN_5996 S-4	0	0.3	0.3	VEG	VE
GN_5996 S-4	0.3	0.8	0.5	Qac	MU
GN_5996 S-4	0.8	3	2.2	TEC	GS
GN_5996 S-3	0	0.6	0.6	VEG	VE
GN_5996 S-3	0.6	1.3	0.7	Qac	MU
GN_5996 S-3	1.3	4	2.7	TEC	GS
GN_6152 S-2	0	0.5	0.5	VEG	VE
GN_6152 S-2	0.5	2.4	1.9	Qac	MU
GN_6152 S-2	2.4	5	2.6	TEC	GS
GN_6152 S-2	5	5.5	0.5	TEC	CG
GN_6152 S-2	5.5	7	1.5	TEC	GS
GN_6152 S-1	0	0.4	0.4	VEG	VE
GN_6152 S-1	0.4	4.7	4.3	TEC	GS
GN_6152 S-1	4.7	5.2	0.5	TEC	CG
GN_6152 S-1	5.2	8	2.8	TEC	GS
GT_035_09 C-1	0	0.5	0.5	VEG	VE
GT_035_09 C-1	0.5	0.75	0.25	ANT	AN
GT_035_09 C-1	0.75	1	0.25	Qac	SD
GT_035_09 C-1	1	1.2	0.2	TEM	LT
GT_035_09 C-2	0	0.4	0.4	VEG	VE
GT_035_09 C-2	0.4	2.4	2	ANT	AN
GT_035_09 C-2	2.4	4.6	2.2	TEM	LT
GT_035_09 C-2B	0	0.5	0.5	VEG	VE
GT_035_09 C-2B	0.5	2.1	1.6	ANT	AN
GT_035_09 C-2B	2.1	3.4	1.3	TEM	LT
GT_035_09 C-3	0	0.9	0.9	ANT	AN
GT_035_09 C-3	0.9	2.4	1.5	Qac	CL
GT_035_09 C-3	2.4	4.6	2.2	Qac	SD
GT_035_09 C-3	4.6	4.8	0.2	TEM	LT
GT_035_09 C-4	0	0.5	0.5	VEG	VE
GT_035_09 C-4	0.5	1.2	0.7	Qac	CL

GT_035_09 C-4	1.2	1.4	0.2	TEM	LT
GT_035_09 C-5	0	1.1	1.1	ANT	AN
GT_035_09 C-5	1.1	3.2	2.1	Qac	CL
GT_035_09 C-5	3.2	4.1	0.9	Qac	SD
GT_035_09 C-5	4.1	4.4	0.3	TEM	LT
GT_035_09 C-7	0	0.3	0.3	VEG	VE
GT_035_09 C-7	0.3	0.4	0.1	Qac	CL
GT_035_09 C-7	0.4	0.5	0.1	Qac	SD
GT_035_09 C-7	0.5	1.7	1.2	Qac	CL
GT_035_09 C-7	1.7	1.9	0.2	TEC	LT
GT_035_09 C-8	0	1.5	1.5	ANT	AN
GT_035_09 C-8	1.5	1.7	0.2	TEM	GS
GT_035_09 C-9	0	0.8	0.8	VEG	VE
GT_035_09 C-9	0.8	1.1	0.3	Qac	SD
GT_035_09 C-9	1.1	1.6	0.5	Qac	CL
GT_035_09 C-9	1.6	2.1	0.5	TEC	LT
GT_035_09 C-10	0	0.3	0.3	VEG	VE
GT_035_09 C-10	0.3	0.6	0.3	TEM	LT
GT_035_09 C-11	0	0.6	0.6	VEG	VE
GT_035_09 C-11	0.6	1	0.4	Qac	SD
GT_035_09 C-11	1	1.6	0.6	TEM	LT
GT_035_09 C-12	0	0.6	0.6	VEG	VE
GT_035_09 C-12	0.6	4.2	3.6	Qac	CL
GT_035_09 C-12	4.2	4.5	0.3	TEM	LT
GT_035_09 C-13	0	0.75	0.75	VEG	VE
GT_035_09 C-13	0.75	1.25	0.5	Qac	MU
GT_035_09 C-13	1.25	1.5	0.25	TEM	LT
GT_035_09 C-14	0	0.6	0.6	VEG	VE
GT_035_09 C-14	0.6	1.2	0.6	Qac	SD
GT_035_09 C-14	1.2	1.4	0.2	TEM	GS
GT_035_09 C-15	0	0.25	0.25	VEG	VE
GT_035_09 C-15	0.25	0.6	0.35	Qac	CL
GT_035_09 C-15	0.6	0.8	0.2	TEM	LT
GT_035_09 C-16	0	0.5	0.5	VEG	VE
GT_035_09 C-16	0.5	1.1	0.6	Qac	CL
GT_035_09 C-16	1.1	1.4	0.3	TEM	LT
GT_035_09 C-17	0	0.4	0.4	VEG	VE
GT_035_09 C-17	0.4	1.1	0.7	Qac	SD
GT_035_09 C-17	1.1	1.7	0.6	Qac	MU
GT_035_09 C-17	1.7	2	0.3	TEM	LT
GT_055_09 C-1	0	0.2	0.2	VEG	VE
GT_055_09 C-1	0.2	0.4	0.2	Qac	CL
GT_055_09 C-1	0.4	5.6	5.2	TEC	GS
GT_055_09 C-1B	0	0.3	0.3	VEG	VE
GT_055_09 C-1B	0.3	1.1	0.8	Qac	CL
GT_055_09 C-1B	1.1	1.2	0.1	TEC	GS

GT_055_09 C-2	0	0.2	0.2	VEG	VE
GT_055_09 C-2	0.2	0.5	0.3	Qac	CL
GT_055_09 C-2	0.5	0.7	0.2	TEC	LT
GT_055_09 C-3	0	0.2	0.2	VEG	VE
GT_055_09 C-3	0.2	1.25	1.05	Qac	CL
GT_055_09 C-3	1.25	1.5	0.25	TEC	LT
GT_055_09 C-4	0	0.2	0.2	VEG	VE
GT_055_09 C-4	0.2	0.6	0.4	Qac	CL
GT_055_09 C-4	0.6	0.7	0.1	TEC	GS
GT_055_09 C-5	0	2.5	2.5	ANT	AN
GT_055_09 C-5	2.5	3.6	1.1	ANT	AN
GT_055_09 C-5B	0	0.2	0.2	VEG	VE
GT_055_09 C-5B	0.2	1.7	1.5	Qac	CL
GT_055_09 C-5B	1.7	2.2	0.5	TEC	LT

10.4. TAULA "ASSAY"

	DHID	FRO M	TO	THIC K	SP T	DPS H	BORRO S	RQ D	STP NUMERIC
1	AR_013_04 S-1	2	2.6	0.6	31				31
2	AR_013_04 S-1	3.4	4	0.6	R				-99
3	AR_013_04 S-1	5	5.6	0.6	R				-99
4	AR_013_04 S-1	6.5	7.1	0.6	R				-99
5	AR_013_04 S-1	8	8.6	0.6	R				-99
6	AR_013_04 S-2	2	2.6	0.6	R				-99
7	AR_013_04 S-2	3.4	4	0.6	R				-99
8	AR_013_04 S-2	5	5.6	0.6	R				-99
9	AR_013_04 S-2	6.5	7.1	0.6	R				-99
10	AR_013_04 S-3	2	2.6	0.6	5				5
11	AR_013_04 S-3	3.4	4	0.6	R				-99
12	AR_013_04 S-3	5	5.6	0.6	R				-99
13	AR_013_04 S-3	6.5	7.1	0.6	R				-99
14	AR_013_04 S-3	8	8.6	0.6	R				-99
15	AR_041_00 S-2	4.1	4.2	0.1	50 R				-99
16	AR_076_02 S-1	3.1	3.3	0.2	R				-99
17	AR_076_02 S-1	5.5	5.8	0.3	R				-99
18	AR_076_02 S-2	3.1	3.7	0.6	4				4
19	AR_076_02 S-2	6	6.1	0.1	R				-99
20	AR_076_02 S-2	8.5	8.7	0.2	R				-99
21	AR_076_02 S-4	1.8	2.4	0.6	7				7
22	AR_076_02 S-4	4.2	4.5	0.3	R				-99
23	AR_076_02 S-4	6.6	6.7	0.1	R				-99
24	AR_076_02 S-4	9.8	9.9	0.1	R				-99
25	AR_076_02 S-4	11.4	11.5	0.1	R				-99
26	AR_076_02 S-3	1.8	2.4	0.6	6				6
27	AR_076_02 S-3	4.2	4.8	0.6	R				-99
28	AR_076_02 S-3	7.2	7.4	0.2	R				-99
29	AR_076_02 S-3	10	10.1	0.1	R				-99
30	AR_146_02 S-1	2.3	2.9	0.6	47				47
31	AR_153_02 S-1	3	3.2	0.2	73 R				-99
32	AR_153_02 S-5	3.4	4	0.6	31				31
33	AR_153_02 S-2	2.9	3.1	0.2	R				-99
34	GN_1113 S-1	2	2.6	0.6	13				13
35	GN_1113 S-1	3.6	4.2	0.6	15				15
36	GN_1113 S-1	5.2	5.4	0.2	R				-99
37	GN_1113 S-1	7.2	7.4	0.2	R				-99
38	GN_1113 S-1	9.8	10	0.2	R				-99
39	GN_1113 S-2	1.7	2.3	0.6	26				26
40	GN_1113 S-2	3.9	4.1	0.2	R				-99

41	GN_1113 S-2	5.9	6	0.1	R	-99
42	GN_1113 S-3	1.2	1.4	0.2	R	-99
43	GN_1113 S-3	3.2	3.4	0.2	R	-99
44	GN_1113 S-3	4.8	5	0.2	R	-99
45	GN_1113 S-4	2.8	3	0.2	R	-99
46	GN_1113 S-4	4.4	4.6	0.2	R	-99
47	GN_1113 S-4	5.8	6	0.2	R	-99
48	GN_1113 S-5	0.6	0.8	0.2	R	-99
49	GN_1113 S-5	2.8	3	0.2	R	-99
50	GN_1113 S-5	5.8	6	0.2	R	-99
51	GN_1113 S-6	1.2	1.4	0.2	R	-99
52	GN_1113 S-6	3.1	3.3	0.2	R	-99
53	GN_1113 S-6	5.8	6	0.2	R	-99
54	GN_1668 S-1	0.25	0.85	0.6	1	1
55	GN_1668 S-1	1.55	2.15	0.6	7	7
56	GN_1668 S-1	3.5	3.8	0.3	R	-99
57	GN_1668 S-2	0.25	0.85	0.6	7	7
58	GN_1668 S-2	1.15	1.75	0.6	45	45
59	GN_1668 S-4	0.5	0.8	0.3	R	-99
60	GN_1668 S-4	2.3	2.6	0.3	R	-99
61	GN_1668 S-4	3.9	4.2	0.3	R	-99
62	GN_1668 S-3	0	0.6	0.6	3	3
63	GN_1668 S-3	0.85	1.45	0.6	52	52
64	GN_1668 S-3	3.6	3.9	0.3	R	-99
65	GN_1716_004 S-2	3	3.1	0.1	R	-99
66	GN_1716_004 S-2	4.5	4.6	0.1	R	-99
67	GN_1716_004 S-1	2	2.4	0.4	R	-99
68	GN_1717_005 S-1	7.8	7.93	0.13	R	-99
69	GN_1717_005 S-1	8.25	9.5	1.25		30 -99
70	GN_1717_005 S-1	9.5	9.7	0.2		50 -99
71	GN_1717_005 S-1	9.7	12.3	2.6		70 -99
72	GN_2129 S-4	4	4.2	0.2	R	-99
73	GN_2129 S-3	3	3.4	0.4	R	-99
74	GN_2129 S-3	4	4.2	0.2	R	-99
75	GN_2129 S-6	4	4.2	0.2	R	-99
76	GN_2129 S-8	3	3.2	0.2	R	-99
77	GN_2129 S-1	3	3.2	0.2	R	-99
78	GN_2129 S-2	3	3.2	0.2	R	-99
79	GN_2301 P-4	0	0.2	0.2	2	2
80	GN_2301 P-4	0.2	0.4	0.2	2	2

81	GN_2301 P-4	0.4	0.6	0.2	2	2
82	GN_2301 P-4	0.6	0.8	0.2	2	2
83	GN_2301 P-4	0.8	1	0.2	12	12
84	GN_2301 P-4	1	1.2	0.2	10	11
85	GN_2301 P-4	1.2	1.4	0.2	20	15
86	GN_2301 P-4	1.4	1.6	0.2	27	17
87	GN_2301 P-4	1.6	1.8	0.2	36	18
88	GN_2301 P-4	1.8	2	0.2	93	24
89	GN_2301 P-4	2	2.2	0.2	100	24
90	GN_2301 P-3	0	0.2	0.2	2	2
91	GN_2301 P-3	0.2	0.4	0.2	2	2
92	GN_2301 P-3	0.4	0.6	0.2	7	9
93	GN_2301 P-3	0.6	0.8	0.2	26	16
94	GN_2301 P-3	0.8	1	0.2	22	15
95	GN_2301 P-3	1	1.2	0.2	42	19
96	GN_2301 P-3	1.2	1.4	0.2	100	24
97	GN_2301 P-3	1.4	1.6	0.2	0	0
98	GN_2301 P-1	0	0.2	0.2	2	2
99	GN_2301 P-1	0.2	0.4	0.2	7	9
100	GN_2301 P-1	0.4	0.6	0.2	86	23
101	GN_2301 P-1	0.6	0.8	0.2	100	24
102	GN_2301 P-2	0	0.2	0.2	2	2
103	GN_2301 P-2	0.2	0.4	0.2	6	8
104	GN_2301 P-2	0.4	0.6	0.2	29	17
105	GN_2301 P-2	0.6	0.8	0.2	33	18
106	GN_2301 P-2	0.8	1	0.2	43	19
107	GN_2301 P-2	1	1.2	0.2	64	21
108	GN_2301 P-2	1.2	1.4	0.2	62	21
109	GN_2301 P-2	1.4	1.6	0.2	70	22
110	GN_2301 P-2	1.6	1.8	0.2	100	24
111	GN_2301 S-2	2.6	4.2	1.6	66	-99
112	GN_2301 S-2	4.2	5.6	1.4	66	-99
113	GN_2301 S-2	5.6	7.1	1.5	84	-99
114	GN_2301 S-1	1.8	3.2	1.4	66	-99
115	GN_2301 S-1	3.2	6.3	3.1	85	-99
116	GN_2301 S-1	6.3	7.5	1.2	82	-99
117	GN_2311 P-1	0	0.2	0.2	0	0
118	GN_2311 P-1	0.2	0.4	0.2	2	2
119	GN_2311 P-1	0.4	0.6	0.2	7	9
120	GN_2311 P-1	0.6	0.8	0.2	86	23
121	GN_2311 P-1	0.8	1	0.2	100	24
122	GN_2311 S-1	0.7	1.3	0.6	6	6
123	GN_2311 S-1	1.7	2.28	0.58	37	37
124	GN_2311 S-1	3	3.6	0.6	32	32
125	GN_2311 P-2	0.2	0.4	0.2	6	8
126	GN_2311 P-2	0.4	0.6	0.2	5	7

127	GN_2311 P-2	0.6	0.8	0.2	6	8
128	GN_2311 P-2	0.8	1	0.2	6	8
129	GN_2311 P-2	1	1.2	0.2	4	6
130	GN_2311 P-2	1.2	1.4	0.2	4	6
131	GN_2311 P-2	1.4	1.6	0.2	4	6
132	GN_2311 P-2	1.6	1.8	0.2	4	6
133	GN_2311 P-2	1.8	2	0.2	3	4
134	GN_2311 P-2	2	2.2	0.2	3	4
135	GN_2311 P-2	2.2	2.4	0.2	2	2
136	GN_2311 P-2	2.4	2.6	0.2	6	8
137	GN_2311 P-2	2.6	2.8	0.2	30	17
138	GN_2311 P-2	2.8	3	0.2	80	23
139	GN_2311 P-2	3	3.2	0.2	59	21
140	GN_2311 P-2	3.2	3.4	0.2	33	18
141	GN_2311 P-2	3.4	3.6	0.2	22	15
142	GN_2311 P-2	3.6	3.8	0.2	18	14
143	GN_2311 P-2	3.8	4	0.2	15	13
144	GN_2311 P-2	4	4.2	0.2	100	24
145	GN_2457 P-2	0	0.2	0.2	6	8
146	GN_2457 P-2	0.2	0.4	0.2	6	8
147	GN_2457 P-2	0.4	0.6	0.2	7	9
148	GN_2457 P-2	0.6	0.8	0.2	7	9
149	GN_2457 P-2	0.8	1	0.2	9	10
150	GN_2457 P-2	1	1.2	0.2	7	9
151	GN_2457 P-2	1.2	1.4	0.2	12	12
152	GN_2457 P-2	1.4	1.6	0.2	12	12
153	GN_2457 P-2	1.6	1.8	0.2	13	12
154	GN_2457 P-2	1.8	2	0.2	7	9
155	GN_2457 P-2	2	2.2	0.2	7	9
156	GN_2457 P-2	2.2	2.4	0.2	8	10
157	GN_2457 P-2	2.4	2.6	0.2	8	10
158	GN_2457 P-2	2.6	2.8	0.2	6	8
159	GN_2457 P-2	2.8	3	0.2	7	9
160	GN_2457 P-2	3	3.2	0.2	8	10
161	GN_2457 P-2	3.2	3.4	0.2	12	12
162	GN_2457 P-2	3.4	3.6	0.2	10	11
163	GN_2457 P-2	3.6	3.8	0.2	18	14
164	GN_2457 P-2	3.8	4	0.2	12	12
165	GN_2457 P-2	4	4.2	0.2	11	12
166	GN_2457 P-2	4.2	4.4	0.2	6	8
167	GN_2457 P-2	4.4	4.6	0.2	10	11
168	GN_2457 P-2	4.6	4.8	0.2	14	13
169	GN_2457 P-2	4.8	5	0.2	13	12
170	GN_2457 P-2	5	5.2	0.2	17	14
171	GN_2457 P-2	5.2	5.4	0.2	27	17
172	GN_2457 P-2	5.4	5.6	0.2	33	18

173	GN_2457 P-2	5.6	5.8	0.2	100	24
174	GN_2457 S-2	1.2	1.8	0.6	15	15
175	GN_2457 S-2	3	3.6	0.6	51	51
176	GN_2519 S-3	1.6	2.2	0.6	21	21
177	GN_2519 S-3	3.2	3.4	0.2	R	-99
178	GN_2519 S-1	1.9	2.5	0.6	27	27
179	GN_2519 S-1	3.5	3.7	0.2	R	-99
180	GN_2519 S-2	2.3	2.9	0.6	12	12
181	GN_2519 S-2	3.8	4	0.2	R	-99
182	GN_2520 P-2	0	0.2	0.2	0	0
183	GN_2520 P-2	0.2	0.4	0.2	8	10
184	GN_2520 P-2	0.4	0.6	0.2	12	12
185	GN_2520 P-2	0.6	0.8	0.2	20	15
186	GN_2520 P-2	0.8	1	0.2	28	17
187	GN_2520 P-2	1	1.2	0.2	37	18
188	GN_2520 P-2	1.2	1.4	0.2	53	20
189	GN_2520 P-2	1.4	1.6	0.2	58	21
190	GN_2520 P-2	1.6	1.8	0.2	100	24
191	GN_2520 P-1	0	0.2	0.2	0	0
192	GN_2520 P-1	0.2	0.4	0.2	6	8
193	GN_2520 P-1	0.4	0.6	0.2	7	9
194	GN_2520 P-1	0.6	0.8	0.2	8	10
195	GN_2520 P-1	0.8	1	0.2	10	11
196	GN_2520 P-1	1	1.2	0.2	11	12
197	GN_2520 P-1	1.2	1.4	0.2	10	11
198	GN_2520 P-1	1.4	1.6	0.2	10	11
199	GN_2520 P-1	1.6	1.8	0.2	12	12
200	GN_2520 P-1	1.8	2	0.2	17	14
201	GN_2520 P-1	2	2.2	0.2	14	13
202	GN_2520 P-1	2.2	2.4	0.2	17	14
203	GN_2520 P-1	2.4	2.6	0.2	28	17
204	GN_2520 P-1	2.6	2.8	0.2	61	21
205	GN_2520 P-1	2.8	3	0.2	100	24
206	GN_2540 S-1	1	1.6	0.6	10	10
207	GN_2540 S-1	3.6	3.85	0.25	R	-99
208	GN_2540 S-1	5.6	5.67	0.07	R	-99
209	GN_2540 S-1	7.5	7.65	0.15	R	-99
210	GN_2540 S-2	0.5	0.7	0.2	R	-99
211	GN_2540 S-2	1.5	2.1	0.6	19	19
212	GN_2540 S-2	3.6	4.1	0.5	63	63
213	GN_2540 S-2	6	6.2	0.2	R	-99
214	GN_2540 S-2	7.8	7.9	0.1	R	-99
215	GN_2540 S-2	9.9	10	0.1	R	-99
216	GN_2540 S-2	12.6	12.7	0.1	R	-99
217	GN_2540 S-2	14.9	15	0.1	R	-99
218	GN_2543 S-2	1.2	1.8	0.6	R	-99

219	GN_2543 S-2	3	3.2	0.2	R		-99
220	GN_2543 S-2	6	6.2	0.2	R		-99
221	GN_2543 S-2	8.8	9	0.2	R		-99
222	GN_2543 S-1	1.3	1.9	0.6	R		-99
223	GN_2543 S-1	3	3.2	0.2	R		-99
224	GN_2543 S-1	6	6.2	0.2	R		-99
225	GN_2543 S-1	9	9.2	0.2	R		-99
226	GN_2543 S-5	1	1.6	0.6	41		41
227	GN_2543 S-5	3	3.2	0.2	R		-99
228	GN_2543 S-5	6	6.2	0.2	R		-99
229	GN_2543 S-5	8.8	9	0.2	R		-99
230	GN_2543 S-4	1.3	1.8	0.5	R		-99
231	GN_2543 S-4	3	3.2	0.2	R		-99
232	GN_2543 S-4	6	6.2	0.2	R		-99
233	GN_2543 S-4	8.8	9	0.2	R		-99
234	GN_2543 S-3	1.2	1.8	0.6	35		35
235	GN_2543 S-3	3	3.2	0.2	R		-99
236	GN_2543 S-3	6	6.2	0.2	R		-99
237	GN_2543 S-3	9	9.2	0.2	R		-99
238	GN_2544 P-1	0	0.2	0.2		16	15
239	GN_2544 P-1	0.2	0.4	0.2		13	13
240	GN_2544 P-1	0.4	0.6	0.2		13	13
241	GN_2544 P-1	0.6	0.8	0.2		13	13
242	GN_2544 P-1	0.8	1	0.2		12	13
243	GN_2544 P-1	1	1.2	0.2		11	12
244	GN_2544 P-1	1.2	1.4	0.2		12	13
245	GN_2544 P-1	1.4	1.6	0.2		12	13
246	GN_2544 P-1	1.6	1.8	0.2		10	12
247	GN_2544 P-1	1.8	2	0.2		9	11
248	GN_2544 P-1	2	2.2	0.2		6	9
249	GN_2544 P-1	2.2	2.4	0.2		6	9
250	GN_2544 P-1	2.4	2.6	0.2		5	8
251	GN_2544 P-1	2.6	2.8	0.2		6	9
252	GN_2544 P-1	2.8	3	0.2		5	8
253	GN_2544 P-1	3	3.2	0.2		5	8
254	GN_2544 P-1	3.2	3.4	0.2		10	12
255	GN_2544 P-1	3.4	3.6	0.2		22	16
256	GN_2544 P-1	3.6	3.8	0.2		27	17
257	GN_2544 P-1	3.8	4	0.2		28	18
258	GN_2544 P-1	4	4.2	0.2		21	16
259	GN_2544 P-1	4.2	4.4	0.2		9	11
260	GN_2544 P-1	4.4	4.6	0.2		11	12
261	GN_2544 P-1	4.6	4.8	0.2		11	12
262	GN_2544 P-1	4.8	5	0.2		17	15
263	GN_2544 P-1	5	5.2	0.2		13	13
264	GN_2544 P-1	5.2	5.4	0.2		10	12

265	GN_2544 P-1	5.4	5.6	0.2	9	11
266	GN_2544 P-1	5.6	5.8	0.2	9	11
267	GN_2544 P-1	5.8	6	0.2	11	12
268	GN_2544 P-1	6	6.2	0.2	13	13
269	GN_2544 P-1	6.2	6.4	0.2	18	15
270	GN_2544 P-1	6.4	6.6	0.2	17	15
271	GN_2544 P-1	6.6	6.8	0.2	23	17
272	GN_2544 P-1	6.8	7	0.2	33	19
273	GN_2544 P-1	7	7.2	0.2	18	15
274	GN_2544 P-1	7.2	7.4	0.2	12	13
275	GN_2544 P-1	7.4	7.6	0.2	24	17
276	GN_2544 P-1	7.6	7.8	0.2	41	20
277	GN_2544 P-1	7.8	8	0.2	26	17
278	GN_2544 P-1	8	8.2	0.2	59	22
279	GN_2544 P-1	8.2	8.4	0.2	51	21
280	GN_2544 P-1	8.4	8.6	0.2	28	18
281	GN_2544 P-1	8.6	8.8	0.2	28	18
282	GN_2544 P-1	8.8	9	0.2	46	20
283	GN_2544 P-1	9	9.2	0.2	33	19
284	GN_2544 P-1	9.2	9.4	0.2	122	26
285	GN_2544 P-2	0	0.2	0.2	15	14
286	GN_2544 P-2	0.2	0.4	0.2	12	13
287	GN_2544 P-2	0.4	0.6	0.2	11	12
288	GN_2544 P-2	0.6	0.8	0.2	11	12
289	GN_2544 P-2	0.8	1	0.2	10	12
290	GN_2544 P-2	1	1.2	0.2	9	11
291	GN_2544 P-2	1.2	1.4	0.2	9	11
292	GN_2544 P-2	1.4	1.6	0.2	9	11
293	GN_2544 P-2	1.6	1.8	0.2	9	11
294	GN_2544 P-2	1.8	2	0.2	9	11
295	GN_2544 P-2	2	2.2	0.2	7	10
296	GN_2544 P-2	2.2	2.4	0.2	6	9
297	GN_2544 P-2	2.4	2.6	0.2	5	8
298	GN_2544 P-2	2.6	2.8	0.2	5	8
299	GN_2544 P-2	2.8	3	0.2	5	8
300	GN_2544 P-2	3	3.2	0.2	6	9
301	GN_2544 P-2	3.2	3.4	0.2	5	8
302	GN_2544 P-2	3.4	3.6	0.2	5	8
303	GN_2544 P-2	3.6	3.8	0.2	5	8
304	GN_2544 P-2	3.8	4	0.2	9	11
305	GN_2544 P-2	4	4.2	0.2	12	13
306	GN_2544 P-2	4.2	4.4	0.2	11	12
307	GN_2544 P-2	4.4	4.6	0.2	10	12
308	GN_2544 P-2	4.6	4.8	0.2	6	9
309	GN_2544 P-2	4.8	5	0.2	6	9
310	GN_2544 P-2	5	5.2	0.2	4	7

311	GN_2544 P-2	5.2	5.4	0.2	6	9
312	GN_2544 P-2	5.4	5.6	0.2	16	15
313	GN_2544 P-2	5.6	5.8	0.2	23	17
314	GN_2544 P-2	5.8	6	0.2	29	18
315	GN_2544 P-2	6	6.2	0.2	23	17
316	GN_2544 P-2	6.2	6.4	0.2	73	23
317	GN_2544 P-2	6.4	6.6	0.2	122	26
318	GN_2544 P-3	0	0.2	0.2	15	14
319	GN_2544 P-3	0.2	0.4	0.2	13	13
320	GN_2544 P-3	0.4	0.6	0.2	15	14
321	GN_2544 P-3	0.6	0.8	0.2	12	13
322	GN_2544 P-3	0.8	1	0.2	11	12
323	GN_2544 P-3	1	1.2	0.2	11	12
324	GN_2544 P-3	1.2	1.4	0.2	11	12
325	GN_2544 P-3	1.4	1.6	0.2	12	13
326	GN_2544 P-3	1.6	1.8	0.2	12	13
327	GN_2544 P-3	1.8	2	0.2	11	12
328	GN_2544 P-3	2	2.2	0.2	12	13
329	GN_2544 P-3	2.2	2.4	0.2	13	13
330	GN_2544 P-3	2.4	2.6	0.2	15	14
331	GN_2544 P-3	2.6	2.8	0.2	13	13
332	GN_2544 P-3	2.8	3	0.2	21	16
333	GN_2544 P-3	3	3.2	0.2	11	12
334	GN_2544 P-3	3.2	3.4	0.2	7	10
335	GN_2544 P-3	3.4	3.6	0.2	11	12
336	GN_2544 P-3	3.6	3.8	0.2	11	12
337	GN_2544 P-3	3.8	4	0.2	11	12
338	GN_2544 P-3	4	4.2	0.2	11	12
339	GN_2544 P-3	4.2	4.4	0.2	7	10
340	GN_2544 P-3	4.4	4.6	0.2	9	11
341	GN_2544 P-3	4.6	4.8	0.2	6	9
342	GN_2544 P-3	4.8	5	0.2	7	10
343	GN_2544 P-3	5	5.2	0.2	10	12
344	GN_2544 P-3	5.2	5.4	0.2	6	9
345	GN_2544 P-3	5.4	5.6	0.2	5	8
346	GN_2544 P-3	5.6	5.8	0.2	9	11
347	GN_2544 P-3	5.8	6	0.2	7	10
348	GN_2544 P-3	6	6.2	0.2	6	9
349	GN_2544 P-3	6.2	6.4	0.2	13	13
350	GN_2544 P-3	6.4	6.6	0.2	12	13
351	GN_2544 P-3	6.6	6.8	0.2	12	13
352	GN_2544 P-3	6.8	7	0.2	11	12
353	GN_2544 P-3	7	7.2	0.2	23	17
354	GN_2544 P-3	7.2	7.4	0.2	122	26
355	GN_2544 P-4	0	0.2	0.2	22	16
356	GN_2544 P-4	0.2	0.4	0.2	122	26

357	GN_2545 S-1	3.3	3.9	0.6	6	6
358	GN_2545 S-1	6	6.6	0.6	55	55
359	GN_2545 S-1	8	8.2	0.2	R	-99
360	GN_3124 S-63-5	1.5	3	1.5		25 -99
361	GN_3124 S-63-5	3	10.5	7.5		75 -99
362	GN_3124 S-63-5	10.5	16.5	6		100 -99
363	GN_3124 S-63-5	16.5	18	1.5		85 -99
364	GN_3124 S-63-5	18	19.5	1.5		50 -99
365	GN_3124 S-63-5	19.5	22.5	3		75 -99
366	GN_3124 S-63-5	22.5	31.5	9		100 -99
367	GN_3124 S-63-5	31.5	34.5	3		75 -99
368	GN_3124 S-63-5	34.5	35	0.5		50 -99
369	GN_3124 S-64-2	3	3.75	0.75		25 -99
370	GN_3124 S-64-2	3.75	10.7	7		75 -99
			5			
371	GN_3124 S-64-2	10.75	11.7	1		100 -99
			5			
372	GN_3124 S-64-2	11.75	14.5	2.25		75 -99
373	GN_3124 S-64-5	3	3.6	0.6	51 R	-99
374	GN_3124 S-64-5	4	5.5	1.5		75 -99
375	GN_3124 S-64-5	5.5	6	0.5		100 -99
376	GN_3124 S-64-5	6	7.5	1.5		75 -99
377	GN_3124 S-64-5	7.5	12	4.5		100 -99
378	GN_3124 S-64.7	2	4	2		50 -99
379	GN_3124 S-64.7	4	5.25	1.25		100 -99
380	GN_3124 S-64.7	5.25	6.25	1		75 -99
381	GN_3124 S-64.7	6.25	9.25	3		100 -99
382	GN_3124 S-64.7	9.25	11.5	2.25		75 -99
383	GN_3124 S-64.7	11.5	13	1.5		50 -99
384	GN_3124 S-64.7	13	18.5	5.5		75 -99
385	GN_3124 S-64.7	18.5	25	6.5		100 -99
386	GN_3124 S-64-92	2	2.6	0.6	17	17
387	GN_3124 S-64-92	4.2	4.8	0.6	7	7
388	GN_3124 S-64-92	7.2	7.8	0.6	7	7
389	GN_3124 S-64-95	4.2	4.8	0.6	28	28
390	GN_3124 S-64-95	7.2	7.8	0.6	23	23
391	GN_3124 S-64-95	13.2	13.8	0.6	22	22
392	GN_3124 S-64-95	16.2	16.8	0.6	R	-99
393	GN_3124 S-64-99	1.2	1.8	0.6	13	13
394	GN_3124 S-64-99	9	9.6	0.6	67	67
395	GN_3124 S-64-99	12	12.4	0.4	R	-99
396	GN_3124 S-64-99	15	16.5	1.5		75 -99
397	GN_3124 S-64-99	16.5	17	0.5		50 -99
398	GN_3124 S-64-99	17	18	1		75 -99
399	GN_3124 S-65-02	6	6.6	0.6	64	64
400	GN_3124 S-65-02	9	9.6	0.6	35	35

401	GN_3124 S-65-07	1.8	2.4	0.6	2		2
402	GN_3124 S-65-07	6	6.6	0.6	2		2
403	GN_3124 S-65-07	9	9.08	0.08	R		-99
404	GN_3124 S-65-140	1.2	1.8	0.6	15		15
405	GN_3124 S-65-140	3	3.6	0.6	45		45
406	GN_3124 S-65-140	4.25	6	1.75		50	-99
407	GN_3124 S-65-140	6	7.5	1.5		75	-99
408	GN_3124 S-65-140	7.5	9	1.5		50	-99
409	GN_3124 S-65-140	9	10.5	1.5		75	-99
410	GN_3124 S-65-140	12	15	3		75	-99
411	GN_3124 S-65-24	3	3.6	0.6	12		12
412	GN_3124 S-65-24	5.5	6	0.5		50	-99
413	GN_3124 S-65-24	6	7	1		25	-99
414	GN_3124 S-65-24	7	9	2		0	-99
415	GN_3124 S-65-24	9	15	6		75	-99
416	GN_3124 S-65-31	1.2	1.8	0.6	32		32
417	GN_3124 S-65-31	2	3.5	1.5		25	-99
418	GN_3124 S-65-31	3.5	4.75	1.25		75	-99
419	GN_3124 S-65-31	4.75	5.5	0.75		50	-99
420	GN_3124 S-65-31	5.5	7	1.5		75	-99
421	GN_3124 S-65-31	7	9.25	2.25		100	-99
422	GN_3124 S-65-31	9.25	12.25	3		75	-99
423	GN_3124 S-65-31	12.25	13.5	1.25		100	-99
424	GN_3124 S-65-31	13.5	15	1.5		75	-99
425	GN_3124 S-65-35	3	4.5	1.5		25	-99
426	GN_3124 S-65-35	4.5	6	1.5		75	-99
427	GN_3124 S-65-35	6	7.5	1.5		100	-99
428	GN_3124 S-65-35	7.5	7.75	0.25		0	-99
429	GN_3124 S-65-35	7.75	15	7.25		100	-99
430	GN_3124 S-65-40	1.2	1.8	0.6	16		16
431	GN_3124 S-65-40	3	3.6	0.6	22		22
432	GN_3124 S-65-40	5	6.5	1.5		25	-99
433	GN_3124 S-65-40	6.5	7	0.5		0	-99
434	GN_3124 S-65-40	7	8.75	1.75		75	-99
435	GN_3124 S-65-40	8.75	10.25	1.5		100	-99
436	GN_3124 S-65-40	10.25	15	4.75		75	-99
437	GN_3124 S-65-44	1.2	1.75	0.55	50		50
438	GN_3124 S-65-44	6	9	3		100	-99

439	GN_3124 S-65-44	9	12	3		75	-99
440	GN_3124 S-65-44	12	13.5	1.5		50	-99
441	GN_3124 S-65-44	13.5	15	1.5		25	-99
442	GN_3124 S-65-48	1.2	1.8	0.6	9		9
443	GN_3124 S-65-48	3	3.26	0.26	R		-99
444	GN_3124 S-65-48	3	8.25	5.25		50	-99
445	GN_3124 S-65-48	8.25	9.75	1.5		75	-99
446	GN_3124 S-65-48	9.75	11.2	1.5		25	-99
			5				
447	GN_3124 S-65-48	11.25	12.2	1		50	-99
			5				
448	GN_3124 S-65-48	12.25	13.2	1		75	-99
			5				
449	GN_3124 S-65-48	13.25	15	1.75		100	-99
450	GN_3124 S-65-51	1.2	1.8	0.6	18		18
451	GN_3124 S-65-51	3	3.4	0.4	R		-99
452	GN_3124 S-65-51	3.5	4.75	1.25		50	-99
453	GN_3124 S-65-51	4.75	9	4.25		75	-99
454	GN_3124 S-65-51	9	10.5	1.5		100	-99
455	GN_3124 S-65-51	10.5	12	1.5		25	-99
456	GN_3124 S-65-51	12	13.5	1.5		50	-99
457	GN_3124 S-65-51	13.5	15	1.5		75	-99
458	GN_3124 S-65-55	1.2	1.8	0.6	29		29
459	GN_3124 S-65-55	3	3.6	0.6	58		58
460	GN_3124 S-65-55	5	6.5	1.5		25	-99
461	GN_3124 S-65-55	6.5	7.75	1.25		100	-99
462	GN_3124 S-65-55	7.75	14.2	6.5		75	-99
			5				
463	GN_3124 S-65-55	14.25	15	0.75		50	-99
464	GN_3124 S-65-58	1.2	1.8	0.6	37		37
465	GN_3124 S-65-58	3	3.55	0.55	R		-99
466	GN_3124 S-65-58	4.25	7	2.75		75	-99
467	GN_3124 S-65-58	7	10	3		100	-99
468	GN_3124 S-65-58	10	13	3		75	-99
469	GN_3124 S-65-58	13	14.5	1.5		50	-99
470	GN_3124 S-65-58	14.5	15	0.5		25	-99
471	GN_3124 S-65-62	1.2	1.75	0.55	R		-99
472	GN_3124 S-65-62	2	5	3		75	-99
473	GN_3124 S-65-62	5	6.25	1.25		50	-99
474	GN_3124 S-65-62	6.25	9	2.75		75	-99
475	GN_3124 S-65-62	9	13.5	4.5		100	-99
476	GN_3124 S-65-62	13.5	15	1.5		75	-99
477	GN_3124 S-65-655	3	3.26	0.26	R		-99
478	GN_3124 S-65-655	3.5	8	4.5		50	-99

479	GN_3124 S-65-655	8	11	3		100	-99
480	GN_3124 S-65-655	11	15	4		75	-99
481	GN_3124 S-66-5	1.2	1.29	0.09	R		-99
482	GN_3124 S-66-5	1.75	3	1.25		50	-99
483	GN_3124 S-66-5	3	11	8		75	-99
484	GN_3124 S-66-5	11	12.5	1.5		100	-99
485	GN_3124 S-66-5	12.5	15.5	3		75	-99
486	GN_3124 S-66-5	15.5	20	4.5		100	-99
487	GN_3124 S-67-1	7.2	7.8	0.6	27		27
488	GN_3124 S-67-1	7.8	8.8	1		50	-99
489	GN_3124 S-67-1	8.8	12	3.2		25	-99
490	GN_3124 S-67-1	12	13.5	1.5		75	-99
491	GN_3124 S-67-1	13.5	15	1.5		100	-99
492	GN_3124 P-64-2	0	0.2	0.2	21		15
493	GN_3124 P-64-2	0.2	0.4	0.2	15		13
494	GN_3124 P-64-2	0.4	0.6	0.2	19		15
495	GN_3124 P-64-2	0.6	0.8	0.2	29		17
496	GN_3124 P-64-2	0.8	1	0.2	58		21
497	GN_3124 P-64-2	1	1.2	0.2	57		21
498	GN_3124 P-64-2	1.2	1.4	0.2	42		19
499	GN_3124 P-64-2	1.4	1.6	0.2	55		21
500	GN_3124 P-64-2	1.6	1.8	0.2	72		22
501	GN_3124 P-64-2	1.8	2	0.2	100		24
502	GN_3124 P-64-55	0	0.2	0.2	19		15
503	GN_3124 P-64-55	0.2	0.4	0.2	27		17
504	GN_3124 P-64-55	0.4	0.6	0.2	25		16
505	GN_3124 P-64-55	0.6	0.8	0.2	22		15
506	GN_3124 P-64-55	0.8	1	0.2	21		15
507	GN_3124 P-64-55	1	1.2	0.2	22		15
508	GN_3124 P-64-55	1.2	1.4	0.2	33		18
509	GN_3124 P-64-55	1.4	1.6	0.2	87		23
510	GN_3124 P-64-55	1.6	1.8	0.2	100		24
511	GN_3124 P-66-74	0	0.2	0.2	20		15
512	GN_3124 P-66-74	0.2	0.4	0.2	13		12
513	GN_3124 P-66-74	0.4	0.6	0.2	18		14
514	GN_3124 P-66-74	0.6	0.8	0.2	35		18
515	GN_3124 P-66-74	0.8	1	0.2	44		19
516	GN_3124 P-66-74	1	1.2	0.2	100		24
517	GN_3124 P-67-05	0	0.2	0.2	0		0
518	GN_3124 P-67-05	0.2	0.4	0.2	16		14
519	GN_3124 P-67-05	0.4	0.6	0.2	17		14
520	GN_3124 P-67-05	0.6	0.8	0.2	14		13
521	GN_3124 P-67-05	0.8	1	0.2	17		14
522	GN_3124 P-67-05	1	1.2	0.2	14		13

523	GN_3124 P-67-05	1.2	1.4	0.2	10	11
524	GN_3124 P-67-05	1.4	1.6	0.2	10	11
525	GN_3124 P-67-05	1.6	1.8	0.2	10	11
526	GN_3124 P-67-05	1.8	2	0.2	8	10
527	GN_3124 P-67-05	2	2.2	0.2	8	10
528	GN_3124 P-67-05	2.2	2.4	0.2	5	7
529	GN_3124 P-67-05	2.4	2.6	0.2	9	10
530	GN_3124 P-67-05	2.6	2.8	0.2	8	10
531	GN_3124 P-67-05	2.8	3	0.2	15	13
532	GN_3124 P-67-05	3	3.2	0.2	21	15
533	GN_3124 P-67-05	3.2	3.4	0.2	47	20
534	GN_3124 P-67-05	3.4	3.6	0.2	55	21
535	GN_3124 P-67-05	3.6	3.8	0.2	44	19
536	GN_3124 P-67-05	3.8	4	0.2	55	21
537	GN_3124 P-67-05	4	4.2	0.2	50	20
538	GN_3124 P-67-05	4.2	4.4	0.2	69	22
539	GN_3124 P-67-05	4.4	4.6	0.2	100	24
540	GN_3133 SE-128-3	2.4	2.76	0.36	R	-99
541	GN_3133 SE-128-3	6	6.14	0.14	R	-99
542	GN_3133 SE-128-3	8.1	8.8	0.7	10	-99
543	GN_3133 SE-128-3	8.8	9.5	0.7	85	-99
544	GN_3133 SE-129-3	2.4	3.5	1.1	85	-99
545	GN_3133 SE-129-3	3.5	4.8	1.3	10	-99
546	GN_3133 SE-129-3	4.8	6.3	1.5	78	-99
547	GN_3133 SE-129-3	6.3	7.6	1.3	60	-99
548	GN_3133 SE-129-3	7.6	8.6	1	45	-99
549	GN_3133 SE-129-3	8.6	10	1.4	40	-99
550	GN_3133 SE-129-3	10	12.7	2.7	70	-99
551	GN_3133 SE-129-3	12.7	13.4	0.7	75	-99
552	GN_3133 SE-131-0	2.1	2.6	0.5	R	-99
553	GN_3133 SE-131-0	2.7	3.9	1.2	9	-99
554	GN_3133 SE-131-0	3.9	5	1.1	100	-99

555	GN_3133 SE-131-0	5	6.5	1.5		36	-99
556	GN_3133 SE-131-0	6.5	7	0.5		80	-99
557	GN_3133 SE-131-0	7	8.6	1.6		6	-99
558	GN_3133 SE-131-0	8.6	10	1.4		2	-99
559	GN_3134 S-2	2	2.45	0.45	R		-99
560	GN_3134 S-2	4	10.7	6.75		50	-99
561	GN_3134 S-2	10.75	12.7	2		80	-99
562	GN_3134 S-3	3	3.55	0.55	R		-99
563	GN_3134 S-3	5	5.2	0.2	R		-99
564	GN_3134 S-3	9	10.2	1.2		50	-99
565	GN_3134 S-4	5.5	7.75	2.25		40	-99
566	GN_3134 S-4	7.75	10	2.25		80	-99
567	GN_3134 S-5	2	2.6	0.6	16		16
568	GN_3134 S-5	4.2	4.8	0.6	25		25
569	GN_3134 S-5	6.7	7.3	0.6	37		37
570	GN_3134 S-5	8.5	8.9	0.4	R		-99
571	GN_3134 S-5	10.3	10.9	0.6	61 R		-99
572	GN_3134 S-5	12.1	12.8	0.7	49		49
573	GN_3134 S-5	14.8	15.1	0.35	R		-99
574	GN_3134 S-6	2	2.6	0.6	46		46
575	GN_3134 S-6	4.2	4.8	0.6	26		26
576	GN_3134 S-6	6.8	7.4	0.6	R		-99
577	GN_3134 S-6	8.4	8.6	0.2	R		-99
578	GN_3134 S-6	11.4	11.9	0.5	R		-99
579	GN_3134 S-6	15.4	15.8	0.4	R		-99
580	GN_3134 S-6	17.25	19.2	1.95		30	-99
581	GN_3134 S-7	2	2.4	0.4	R		-99
582	GN_3134 S-7	6	6.41	0.41	R		-99
583	GN_3134 S-7	6.41	7.75	1.34		10	-99
584	GN_3134 S-7	9	13.5	4.5		10	-99
585	GN_3134 S-7	11.7	12.0	0.39	R		-99
586	GN_3134 S-7	13.5	15	1.5		80	-99
587	GN_3134 S-7	15	17	2		50	-99
588	GN_3134 S-7	17	18	1		80	-99
589	GN_3134 S-7	18	20	2		60	-99
590	GN_3134 S-8	2	2.45	0.45	R		-99
591	GN_3134 S-8	4.4	4.8	0.4	R		-99
592	GN_3134 S-8	7.2	7.4	0.2	R		-99

593	GN_3134 S-8	9.3	9.55	0.25	R		-99
594	GN_3134 S-8	12.65	12.7	0.1	R		-99
			5				
595	GN_3134 S-8	13.75	16.7	3		20	-99
			5				
596	GN_3134 S-8	16.75	18.5	1.75		30	-99
597	GN_3134 S-8	18.5	20.4	1.9		70	-99
598	GN_3142 S-1	4	5	1		30	-99
599	GN_3142 S-1	5	6	1		12	-99
600	GN_3142 S-1	6	7	1		38	-99
601	GN_3142 S-1	7	8	1		48	-99
602	GN_3142 S-1	8	9	1		50	-99
603	GN_3142 S-1	9	10	1		90	-99
604	GN_3142 S-1	10	11	1		90	-99
605	GN_3142 S-1	11	12	1		20	-99
606	GN_3142 S-1	12	13	1		88	-99
607	GN_3142 S-1	13	14	1		40	-99
608	GN_3142 S-1	14	15	1		40	-99
609	GN_3142 S-1	15	16	1		100	-99
610	GN_3142 S-1	16	17	1		20	-99
611	GN_3142 S-1	17	18	1		100	-99
612	GN_3142 S-1	18	19	1		100	-99
613	GN_3142 S-1	19	20	1		100	-99
614	GN_3142 S-1	20	21	1		100	-99
615	GN_3142 S-1	21	22	1		100	-99
616	GN_3142 S-1	22	23	1		80	-99
617	GN_3142 S-1	23	24	1		70	-99
618	GN_3142 S-1	24	25	1		100	-99
619	GN_3142 S-1	25	26	1		90	-99
620	GN_3142 S-1	26	27	1		70	-99
621	GN_3142 S-1	27	28	1		100	-99
622	GN_3142 S-1	28	29	1		75	-99
623	GN_3142 S-1	29	30	1		80	-99
624	GN_3142 S-1	30	31	1		60	-99
625	GN_3142 S-3	4	5	1		30	-99
626	GN_3142 S-3	5	6	1		20	-99
627	GN_3142 S-3	6	7	1		35	-99
628	GN_3142 S-3	7	8	1		75	-99
629	GN_3142 S-3	8	9	1		0	-99
630	GN_3142 S-3	9	10	1		70	-99
631	GN_3142 S-3	10	11	1		45	-99
632	GN_3142 S-3	11	12	1		100	-99
633	GN_3142 S-3	12	13	1		100	-99
634	GN_3142 S-3	13	14	1		40	-99
635	GN_3142 S-3	14	15	1		55	-99
636	GN_3142 S-3	15	16	1		45	-99

637	GN_3142 S-3	16	17	1		15	-99
638	GN_3142 S-3	17	18	1		80	-99
639	GN_3142 S-3	18	19	1		75	-99
640	GN_3142 S-3	19	20	1		70	-99
641	GN_3142 S-3	20	20.6	0.6		80	-99
642	GN_3142 S-2	1	2	1		75	-99
643	GN_3142 S-2	2	3	1		50	-99
644	GN_3142 S-2	3	4	1		70	-99
645	GN_3142 S-2	4	5	1		92	-99
646	GN_3142 S-2	5	6	1		85	-99
647	GN_3142 S-2	6	7	1		95	-99
648	GN_3142 S-2	7	8	1		90	-99
649	GN_3142 S-2	8	9	1		12	-99
650	GN_3142 S-2	9	10	1		100	-99
651	GN_3142 S-2	10	11	1		100	-99
652	GN_3142 S-2	11	12	1		100	-99
653	GN_3142 S-2	12	13	1		100	-99
654	GN_3142 S-2	13	14	1		75	-99
655	GN_3142 S-2	14	15	1		80	-99
656	GN_3142 S-2	15	16	1		100	-99
657	GN_3142 S-2	16	17	1		65	-99
658	GN_3142 S-2	17	18	1		100	-99
659	GN_3142 S-2	18	19	1		15	-99
660	GN_3142 S-2	19	20	1		20	-99
661	GN_3142 S-2	20	20.1	0.1		0	-99
662	GN_3663 S-1	1.65	2.25	0.6	10		10
663	GN_3663 S-1	3	3.03	0.03	R		-99
664	GN_3663 S-1	3.3	5.05	1.75		70	-99
665	GN_3663 S-1	5.05	6.73	6.73		60	-99
666	GN_3663 S-1	6.73	7.37	0.64		100	-99
667	GN_3663 S-1	7.37	7.8	0.43		65	-99
668	GN_3664 S-1	1	1.6	0.6	3		3
669	GN_3664 S-1	3.5	4.1	0.6	19		19
670	GN_3664 S-1	5.5	6.4	0.9	45		45
671	GN_3664 S-1	7.5	7.9	0.4	R		-99
672	GN_3664 S-2	2	2.6	0.6	6		6
673	GN_3664 S-2	4.5	5.1	0.6	18		18
674	GN_3664 S-2	7	7.6	0.6	52		52
675	GN_3665 P-3	0	0.2	0.2		7	10
676	GN_3665 P-3	0.2	0.4	0.2		23	17
677	GN_3665 P-3	0.4	0.6	0.2		24	17
678	GN_3665 P-3	0.6	0.8	0.2		23	17
679	GN_3665 P-3	0.8	1	0.2		23	17
680	GN_3665 P-3	1	1.2	0.2		33	19
681	GN_3665 P-3	1.2	1.4	0.2		50	21
682	GN_3665 P-3	1.4	1.6	0.2		62	22

683	GN_3665 P-3	1.6	1.8	0.2	100	25
684	GN_3665 P-2	0	0.2	0.2	76	23
685	GN_3665 P-2	0.2	0.4	0.2	100	25
686	GN_3665 P-1	0	0.2	0.2	0	0
687	GN_3665 P-1	0.2	0.4	0.2	3	5
688	GN_3665 P-1	0.4	0.6	0.2	8	11
689	GN_3665 P-1	0.6	0.8	0.2	11	12
690	GN_3665 P-1	0.8	1	0.2	7	10
691	GN_3665 P-1	1	1.2	0.2	9	11
692	GN_3665 P-1	1.2	1.4	0.2	9	11
693	GN_3665 P-1	1.4	1.6	0.2	8	11
694	GN_3665 P-1	1.6	1.8	0.2	8	11
695	GN_3665 P-1	1.8	2	0.2	6	9
696	GN_3665 P-1	2	2.2	0.2	4	7
697	GN_3665 P-1	2.2	2.4	0.2	3	5
698	GN_3665 P-1	2.4	2.6	0.2	3	5
699	GN_3665 P-1	2.6	2.8	0.2	2	3
700	GN_3665 P-1	2.8	3	0.2	3	5
701	GN_3665 P-1	3	3.2	0.2	7	10
702	GN_3665 P-1	3.2	3.4	0.2	15	14
703	GN_3665 P-1	3.4	3.6	0.2	17	15
704	GN_3665 P-1	3.6	3.8	0.2	10	12
705	GN_3665 P-1	3.8	4	0.2	5	8
706	GN_3665 P-1	4	4.2	0.2	5	8
707	GN_3665 P-1	4.2	4.4	0.2	5	8
708	GN_3665 P-1	4.4	4.6	0.2	4	7
709	GN_3665 P-1	4.6	4.8	0.2	5	8
710	GN_3665 P-1	4.8	5	0.2	30	18
711	GN_3665 P-1	5	5.2	0.2	80	24
712	GN_3665 P-1	5.2	5.4	0.2	100	25
713	GN_3665 S-2	1	1.6	0.6	10	10
714	GN_3665 S-2	3	3.6	0.6	1	1
715	GN_3665 S-2	5	5.3	0.3	R	-99
716	GN_3665 S-1	1	1.6	0.6	14	14
717	GN_3665 S-1	3	3.1	0.1	R	-99
718	GN_3665 S-1	5	5.04	0.04	R	-99
719	GN_3666 S-1	1	1.6	0.6	27	27
720	GN_3666 S-1	3	3.6	0.6	11	11
721	GN_3666 S-1	5	5.6	0.6	37	37
722	GN_3666 P-2	0	0.2	0.2	36	19
723	GN_3666 P-2	0.2	0.4	0.2	35	19
724	GN_3666 P-2	0.4	0.6	0.2	19	15
725	GN_3666 P-2	0.6	0.8	0.2	25	17
726	GN_3666 P-2	0.8	1	0.2	18	15
727	GN_3666 P-2	1	1.2	0.2	12	13
728	GN_3666 P-2	1.2	1.4	0.2	8	11

729	GN_3666 P-2	1.4	1.6	0.2	7	10
730	GN_3666 P-2	1.6	1.8	0.2	6	9
731	GN_3666 P-2	1.8	2	0.2	5	8
732	GN_3666 P-2	2	2.2	0.2	4	7
733	GN_3666 P-2	2.2	2.4	0.2	4	7
734	GN_3666 P-2	2.4	2.6	0.2	3	5
735	GN_3666 P-2	2.6	2.8	0.2	6	9
736	GN_3666 P-2	2.8	3	0.2	9	11
737	GN_3666 P-2	3	3.2	0.2	5	8
738	GN_3666 P-2	3.2	3.4	0.2	5	8
739	GN_3666 P-2	3.4	3.6	0.2	5	8
740	GN_3666 P-2	3.6	3.8	0.2	2	3
741	GN_3666 P-2	3.8	4	0.2	5	8
742	GN_3666 P-2	4	4.2	0.2	7	10
743	GN_3666 P-2	4.2	4.4	0.2	7	10
744	GN_3666 P-2	4.4	4.6	0.2	3	5
745	GN_3666 P-2	4.6	4.8	0.2	4	7
746	GN_3666 P-2	4.8	5	0.2	2	3
747	GN_3666 P-2	5	5.2	0.2	2	3
748	GN_3666 P-2	5.2	5.4	0.2	2	3
749	GN_3666 P-2	5.4	5.6	0.2	0	0
750	GN_3666 P-2	5.6	5.8	0.2	0	0
751	GN_3666 P-2	5.8	6	0.2	1	-1
752	GN_3666 P-2	6	6.2	0.2	12	13
753	GN_3666 P-2	6.2	6.4	0.2	22	16
754	GN_3666 P-2	6.4	6.6	0.2	19	15
755	GN_3666 P-2	6.6	6.8	0.2	60	22
756	GN_3666 P-2	6.8	7	0.2	41	20
757	GN_3666 P-2	7	7.2	0.2	29	18
758	GN_3666 P-2	7.2	7.4	0.2	31	18
759	GN_3666 P-2	7.4	7.6	0.2	24	17
760	GN_3666 P-2	7.6	7.8	0.2	26	17
761	GN_3666 P-2	7.8	8	0.2	22	16
762	GN_3666 P-2	8	8.2	0.2	17	15
763	GN_3666 P-2	8.2	8.4	0.2	16	15
764	GN_3666 P-2	8.4	8.6	0.2	100	25
765	GN_3666 P-1	0	0.2	0.2	12	13
766	GN_3666 P-1	0.2	0.4	0.2	6	9
767	GN_3666 P-1	0.4	0.6	0.2	4	7
768	GN_3666 P-1	0.6	0.8	0.2	100	25
769	GN_3666 P-1	0.8	1	0.2	100	25
770	GN_3666 P-1	1	1.2	0.2	11	12
771	GN_3666 P-1	1.2	1.4	0.2	12	13
772	GN_3666 P-1	1.4	1.6	0.2	14	14
773	GN_3666 P-1	1.6	1.8	0.2	12	13
774	GN_3666 P-1	1.8	2	0.2	10	12

775	GN_3666 P-1	2	2.2	0.2	14	14
776	GN_3666 P-1	2.2	2.4	0.2	8	11
777	GN_3666 P-1	2.4	2.6	0.2	13	13
778	GN_3666 P-1	2.6	2.8	0.2	12	13
779	GN_3666 P-1	2.8	3	0.2	11	12
780	GN_3666 P-1	3	3.2	0.2	12	13
781	GN_3666 P-1	3.2	3.4	0.2	11	12
782	GN_3666 P-1	3.4	3.6	0.2	12	13
783	GN_3666 P-1	3.6	3.8	0.2	12	13
784	GN_3666 P-1	3.8	4	0.2	20	16
785	GN_3666 P-1	4	4.2	0.2	52	21
786	GN_3666 P-1	4.2	4.4	0.2	22	16
787	GN_3666 P-1	4.4	4.6	0.2	10	12
788	GN_3666 P-1	4.6	4.8	0.2	27	17
789	GN_3666 P-1	4.8	5	0.2	50	21
790	GN_3666 P-1	5	5.2	0.2	55	21
791	GN_3666 P-1	5.2	5.4	0.2	45	20
792	GN_3666 P-1	5.4	5.6	0.2	50	21
793	GN_3666 P-1	5.6	5.8	0.2	40	20
794	GN_3666 P-1	5.8	6	0.2	50	21
795	GN_3666 P-1	6	6.2	0.2	67	23
796	GN_3666 P-1	6.2	6.4	0.2	54	21
797	GN_3666 P-1	6.4	6.6	0.2	27	17
798	GN_3666 P-1	6.6	6.8	0.2	20	16
799	GN_3666 P-1	6.8	7	0.2	26	17
800	GN_3666 P-1	7	7.2	0.2	52	21
801	GN_3666 P-1	7.2	7.4	0.2	45	20
802	GN_3666 P-1	7.4	7.6	0.2	16	15
803	GN_3666 P-1	7.6	7.8	0.2	22	16
804	GN_3666 P-1	7.8	8	0.2	78	23
805	GN_3666 P-1	8	8.2	0.2	28	18
806	GN_3666 P-1	8.2	8.4	0.2	58	22
807	GN_3666 P-1	8.4	8.6	0.2	33	19
808	GN_3666 P-1	8.6	8.8	0.2	34	19
809	GN_3666 P-1	8.8	9	0.2	100	25
810	GN_3687 DPSH-4	0	0.2	0.2	10	11
811	GN_3687 DPSH-4	0.2	0.4	0.2	9	10
812	GN_3687 DPSH-4	0.4	0.6	0.2	7	9
813	GN_3687 DPSH-4	0.6	0.8	0.2	6	8
814	GN_3687 DPSH-4	0.8	1	0.2	5	7
815	GN_3687 DPSH-4	1	1.2	0.2	8	10
816	GN_3687 DPSH-4	1.2	1.4	0.2	12	12
817	GN_3687 DPSH-4	1.4	1.6	0.2	16	14
818	GN_3687 DPSH-4	1.6	1.8	0.2	14	13
819	GN_3687 DPSH-4	1.8	2	0.2	16	14
820	GN_3687 DPSH-4	2	2.2	0.2	10	11

821	GN_3687 DPSH-4	2.2	2.4	0.2	14	13
822	GN_3687 DPSH-4	2.4	2.6	0.2	15	13
823	GN_3687 DPSH-4	2.6	2.8	0.2	18	14
824	GN_3687 DPSH-4	2.8	3	0.2	18	14
825	GN_3687 DPSH-3	0	0.2	0.2	7	9
826	GN_3687 DPSH-3	0.2	0.4	0.2	6	8
827	GN_3687 DPSH-3	0.4	0.6	0.2	4	6
828	GN_3687 DPSH-3	0.6	0.8	0.2	2	2
829	GN_3687 DPSH-3	0.8	1	0.2	3	4
830	GN_3687 DPSH-3	1	1.2	0.2	10	11
831	GN_3687 DPSH-3	1.2	1.4	0.2	12	12
832	GN_3687 DPSH-3	1.4	1.6	0.2	13	12
833	GN_3687 DPSH-3	1.6	1.8	0.2	11	12
834	GN_3687 DPSH-3	1.8	2	0.2	13	12
835	GN_3687 DPSH-3	2	2.2	0.2	14	13
836	GN_3687 DPSH-3	2.2	2.4	0.2	44	19
837	GN_3687 DPSH-3	2.4	2.6	0.2	45	19
838	GN_3687 DPSH-3	2.6	2.8	0.2	90	23
839	GN_3687 DPSH-3	2.8	3	0.2	90	23
840	GN_3687 DPSH-3	3	3.2	0.2	44	19
841	GN_3687 DPSH-2	0	0.2	0.2	6	8
842	GN_3687 DPSH-2	0.2	0.4	0.2	7	9
843	GN_3687 DPSH-2	0.4	0.6	0.2	6	8
844	GN_3687 DPSH-2	0.6	0.8	0.2	5	7
845	GN_3687 DPSH-2	0.8	1	0.2	4	6
846	GN_3687 DPSH-2	1	1.2	0.2	2	2
847	GN_3687 DPSH-2	1.2	1.4	0.2	6	8
848	GN_3687 DPSH-2	1.4	1.6	0.2	7	9
849	GN_3687 DPSH-2	1.6	1.8	0.2	6	8
850	GN_3687 DPSH-2	1.8	2	0.2	8	10
851	GN_3687 DPSH-2	2	2.2	0.2	10	11
852	GN_3687 DPSH-2	2.2	2.4	0.2	10	11
853	GN_3687 DPSH-2	2.4	2.6	0.2	9	10
854	GN_3687 DPSH-2	2.6	2.8	0.2	16	14
855	GN_3687 DPSH-2	2.8	3	0.2	13	12
856	GN_3687 DPSH-2	3	3.2	0.2	11	12
857	GN_3687 DPSH-2	3.2	3.4	0.2	16	14
858	GN_3687 DPSH-2	3.4	3.6	0.2	28	17
859	GN_3687 DPSH-2	3.6	3.8	0.2	20	15
860	GN_3687 DPSH-2	3.8	4	0.2	20	15
861	GN_3687 DPSH-2	4	4.2	0.2	46	20
862	GN_3687 DPSH-2	4.2	4.4	0.2	24	16
863	GN_3687 DPSH-2	4.4	4.6	0.2	31	17
864	GN_3687 DPSH-1	0	0.2	0.2	10	11
865	GN_3687 DPSH-1	0.2	0.4	0.2	10	11
866	GN_3687 DPSH-1	0.4	0.6	0.2	7	9

867	GN_3687 DPSH-1	0.6	0.8	0.2	5	7
868	GN_3687 DPSH-1	0.8	1	0.2	4	6
869	GN_3687 DPSH-1	1	1.2	0.2	4	6
870	GN_3687 DPSH-1	1.2	1.4	0.2	5	7
871	GN_3687 DPSH-1	1.4	1.6	0.2	4	6
872	GN_3687 DPSH-1	1.6	1.8	0.2	5	7
873	GN_3687 DPSH-1	1.8	2	0.2	5	7
874	GN_3687 DPSH-1	2	2.2	0.2	6	8
875	GN_3687 DPSH-1	2.2	2.4	0.2	28	17
876	GN_3687 DPSH-1	2.4	2.6	0.2	45	19
877	GN_3687 DPSH-1	2.6	2.8	0.2	25	16
878	GN_3687 DPSH-1	2.8	3	0.2	23	16
879	GN_3687 DPSH-1	3	3.2	0.2	42	19
880	GN_3687 DPSH-1	3.2	3.4	0.2	55	21
881	GN_3687 DPSH-1	3.4	3.6	0.2	48	20
882	GN_3687 DPSH-1	3.6	3.8	0.2	54	21
883	GN_3687 DPSH-1	3.8	4	0.2	55	21
884	GN_3687 DPSH-1	4	4.2	0.2	50	20
885	GN_3735 P-2	0	0.2	0.2	25	17
886	GN_3735 P-2	0.2	0.4	0.2	17	15
887	GN_3735 P-2	0.4	0.6	0.2	13	13
888	GN_3735 P-2	0.6	0.8	0.2	10	12
889	GN_3735 P-2	0.8	1	0.2	9	11
890	GN_3735 P-2	1	1.2	0.2	9	11
891	GN_3735 P-2	1.2	1.4	0.2	5	8
892	GN_3735 P-2	1.4	1.6	0.2	5	8
893	GN_3735 P-2	1.6	1.8	0.2	7	10
894	GN_3735 P-2	1.8	2	0.2	5	8
895	GN_3735 P-2	2	2.2	0.2	4	7
896	GN_3735 P-2	2.2	2.4	0.2	7	10
897	GN_3735 P-2	2.4	2.6	0.2	5	8
898	GN_3735 P-2	2.6	2.8	0.2	4	7
899	GN_3735 P-2	2.8	3	0.2	6	9
900	GN_3735 P-2	3	3.2	0.2	5	8
901	GN_3735 P-2	3.2	3.4	0.2	5	8
902	GN_3735 P-2	3.4	3.6	0.2	4	7
903	GN_3735 P-2	3.6	3.8	0.2	4	7
904	GN_3735 P-2	3.8	4	0.2	9	11
905	GN_3735 P-2	4	4.2	0.2	4	7
906	GN_3735 P-2	4.2	4.4	0.2	4	7
907	GN_3735 P-2	4.4	4.6	0.2	3	5
908	GN_3735 P-2	4.6	4.8	0.2	2	3
909	GN_3735 P-2	4.8	5	0.2	2	3
910	GN_3735 P-2	5	5.2	0.2	4	7
911	GN_3735 P-2	5.2	5.4	0.2	5	8
912	GN_3735 P-2	5.4	5.6	0.2	6	9

913	GN_3735 P-2	5.6	5.8	0.2	9	11
914	GN_3735 P-2	5.8	6	0.2	23	17
915	GN_3735 P-2	6	6.2	0.2	26	17
916	GN_3735 P-2	6.2	6.4	0.2	22	16
917	GN_3735 P-2	6.4	6.6	0.2	29	18
918	GN_3735 P-2	6.6	6.8	0.2	46	20
919	GN_3735 P-2	6.8	7	0.2	46	20
920	GN_3735 P-2	7	7.2	0.2	39	20
921	GN_3735 P-2	7.2	7.4	0.2	31	18
922	GN_3735 P-2	7.4	7.6	0.2	23	17
923	GN_3735 P-2	7.6	7.8	0.2	20	16
924	GN_3735 P-2	7.8	8	0.2	23	17
925	GN_3735 P-2	8	8.2	0.2	31	18
926	GN_3735 P-2	8.2	8.4	0.2	50	21
927	GN_3735 P-1	0	0.2	0.2	21	16
928	GN_3735 P-1	0.2	0.4	0.2	18	15
929	GN_3735 P-1	0.4	0.6	0.2	12	13
930	GN_3735 P-1	0.6	0.8	0.2	12	13
931	GN_3735 P-1	0.8	1	0.2	8	11
932	GN_3735 P-1	1	1.2	0.2	4	7
933	GN_3735 P-1	1.2	1.4	0.2	4	7
934	GN_3735 P-1	1.4	1.6	0.2	2	3
935	GN_3735 P-1	1.6	1.8	0.2	5	8
936	GN_3735 P-1	1.8	2	0.2	3	5
937	GN_3735 P-1	2	2.2	0.2	3	5
938	GN_3735 P-1	2.2	2.4	0.2	12	13
939	GN_3735 P-1	2.4	2.6	0.2	5	8
940	GN_3735 P-1	2.6	2.8	0.2	2	3
941	GN_3735 P-1	2.8	3	0.2	6	9
942	GN_3735 P-1	3	3.2	0.2	5	8
943	GN_3735 P-1	3.2	3.4	0.2	5	8
944	GN_3735 P-1	3.4	3.6	0.2	6	9
945	GN_3735 P-1	3.6	3.8	0.2	5	8
946	GN_3735 P-1	3.8	4	0.2	7	10
947	GN_3735 P-1	4	4.2	0.2	7	10
948	GN_3735 P-1	4.2	4.4	0.2	11	12
949	GN_3735 P-1	4.4	4.6	0.2	43	20
950	GN_3736 DPSH-2	0	0.2	0.2	17	14
951	GN_3736 DPSH-2	0.2	0.4	0.2	13	12
952	GN_3736 DPSH-2	0.4	0.6	0.2	10	11
953	GN_3736 DPSH-2	0.6	0.8	0.2	7	9
954	GN_3736 DPSH-2	0.8	1	0.2	10	11
955	GN_3736 DPSH-2	1	1.2	0.2	12	12
956	GN_3736 DPSH-2	1.2	1.4	0.2	14	13
957	GN_3736 DPSH-2	1.4	1.6	0.2	13	12
958	GN_3736 DPSH-2	1.6	1.8	0.2	15	13

959	GN_3736 DPSH-2	1.8	2	0.2	14	13
960	GN_3736 DPSH-2	2	2.2	0.2	11	12
961	GN_3736 DPSH-2	2.2	2.4	0.2	10	11
962	GN_3736 DPSH-2	2.4	2.6	0.2	11	12
963	GN_3736 DPSH-2	2.6	2.8	0.2	11	12
964	GN_3736 DPSH-2	2.8	3	0.2	8	10
965	GN_3736 DPSH-2	3	3.2	0.2	8	10
966	GN_3736 DPSH-2	3.2	3.4	0.2	10	11
967	GN_3736 DPSH-2	3.4	3.6	0.2	19	15
968	GN_3736 DPSH-2	3.6	3.8	0.2	20	15
969	GN_3736 DPSH-2	3.8	4	0.2	21	15
970	GN_3736 DPSH-2	4	4.2	0.2	23	16
971	GN_3736 DPSH-2	4.2	4.4	0.2	11	12
972	GN_3736 DPSH-1	0	0.2	0.2	13	12
973	GN_3736 DPSH-1	0.2	0.4	0.2	10	11
974	GN_3736 DPSH-1	0.4	0.6	0.2	10	11
975	GN_3736 DPSH-1	0.6	0.8	0.2	11	12
976	GN_3736 DPSH-1	0.8	1	0.2	11	12
977	GN_3736 DPSH-1	1	1.2	0.2	12	12
978	GN_3736 DPSH-1	1.2	1.4	0.2	12	12
979	GN_3736 DPSH-1	1.4	1.6	0.2	12	12
980	GN_3736 DPSH-1	1.6	1.8	0.2	10	11
981	GN_3736 DPSH-1	1.8	2	0.2	11	12
982	GN_3736 DPSH-1	2	2.2	0.2	10	11
983	GN_3736 DPSH-1	2.2	2.4	0.2	10	11
984	GN_3736 DPSH-1	2.4	2.6	0.2	9	10
985	GN_3736 DPSH-1	2.6	2.8	0.2	8	10
986	GN_3736 DPSH-1	2.8	3	0.2	11	12
987	GN_3736 DPSH-1	3	3.2	0.2	10	11
988	GN_3736 DPSH-1	3.2	3.4	0.2	15	13
989	GN_3736 DPSH-1	3.4	3.6	0.2	31	17
990	GN_3736 DPSH-1	3.6	3.8	0.2	14	13
991	GN_3736 DPSH-1	3.8	4	0.2	11	12
992	GN_3736 DPSH-1	4	4.2	0.2	18	14
993	GN_3736 DPSH-1	4.2	4.4	0.2	15	13
994	GN_3736 DPSH-1	4.4	4.6	0.2	13	12
995	GN_3736 DPSH-1	4.6	4.8	0.2	13	12
996	GN_3736 DPSH-1	4.8	5	0.2	24	16
997	GN_3736 DPSH-1	5	5.2	0.2	38	19
998	GN_3736 DPSH-1	5.2	5.4	0.2	100	24
999	GN_3737 P-1	0	0.2	0.2	11	12
1000	GN_3737 P-1	0.2	0.4	0.2	11	12
1001	GN_3737 P-1	0.4	0.6	0.2	29	18
1002	GN_3737 P-1	0.6	0.8	0.2	16	15

100 3	GN_3737 P-1	0.8	1	0.2		12	13
100 4	GN_3737 P-1	1	1.2	0.2		15	14
100 5	GN_3737 P-1	1.2	1.4	0.2		16	15
100 6	GN_3737 P-1	1.4	1.6	0.2		20	16
100 7	GN_3737 P-1	1.6	1.8	0.2		18	15
100 8	GN_3737 P-1	1.8	2	0.2		21	16
100 9	GN_3737 P-1	2	2.2	0.2		23	17
101 0	GN_3737 P-1	2.2	2.4	0.2		28	18
101 1	GN_3737 P-1	2.4	2.6	0.2		36	19
101 2	GN_3737 P-1	2.6	2.8	0.2		82	24
101 3	GN_3769 S-5R	3.6	4.2	0.6	2		2
101 4	GN_3769 S-4R	3.6	4.2	0.6	7		7
101 5	GN_3769 S-3R	3	3.6	0.6	4		4
101 6	GN_3769 S-3R	6.7	7.1	0.4	R		-99
101 7	GN_3769 S-2R	2.4	3	0.6	7		7
101 8	GN_3769 S-2R	6.7	7.3	0.6	22		22
101 9	GN_3770 S-6	3	3.6	0.6	3		3
102 0	GN_3770 S-6	5	5.6	0.6	8		8
102 1	GN_3770 S-6	6.3	9	2.7		100	-99
102 2	GN_3770 S-5	2	2.6	0.6	4		4
102 3	GN_3770 S-5	5	5.5	0.5	64		64
102 4	GN_3770 S-5	7.3	8	0.7		90	-99
102 5	GN_3770 S-5	8	10.2	2.2		100	-99
102 6	GN_3770 S-4	1.5	4.5	3		80	-99
102 7	GN_3770 S-4	4.5	5.5	1		100	-99

102 8	GN_3770 S-4	5.5	6.6	1.1		80	-99
102 9	GN_3770 S-3	5	5.06	0.06	R		-99
103 0	GN_3770 S-3	5	6.7	1.7		90	-99
103 1	GN_3770 S-3	6.7	9	2.3		100	-99
103 2	GN_3770 S-3	9	12	3		90	-99
103 3	GN_3770 S-3	12	15	3		80	-99
103 4	GN_3770 S-3	15	16.5	1.5		90	-99
103 5	GN_3770 S-3	16.5	18	1.5		100	-99
103 6	GN_3770 S-1	0	1.5	1.5		90	-99
103 7	GN_3770 S-1	1.5	13.5	12		100	-99
103 8	GN_3770 S-1	13.5	16.5	3		90	-99
103 9	GN_3770 S-1	16.5	18	1.5		100	-99
104 0	GN_3770 S-2	1.8	14	12.2		100	-99
104 1	GN_3770 S-2	14	16.5	2.5		90	-99
104 2	GN_3770 S-2	16.5	18	1.5		100	-99
104 3	GN_3771 S-5	1.4	2	0.6	44		44
104 4	GN_3771 S-5	4	4.1	0.1	R		-99
104 5	GN_3771 S-5	6	6.06	0.06	R		-99
104 6	GN_3771 S-5	9	9.04	0.04	R		-99
104 7	GN_3771 S-4	1.4	2	0.6	15		15
104 8	GN_3771 S-4	4	4.15	0.15	R		-99
104 9	GN_3771 S-4	6	6.03	0.03	R		-99
105 0	GN_3771 S-4	9	9.1	0.1	R		-99
105 1	GN_3771 S-3	1.4	2	0.6	12		12
105 2	GN_3771 S-3	4	4.6	0.6	56		56

105 3	GN_3771 S-3	6	6.15	0.15	R		-99
105 4	GN_3771 S-3	9	9.07	0.07	R		-99
105 5	GN_3771 S-2	1.4	2	0.6	18		18
105 6	GN_3771 S-2	4	4.09	0.09	R		-99
105 7	GN_3771 S-2	6	6.05	0.05	R		-99
105 8	GN_3771 S-2	9	9.1	0.1	R		-99
105 9	GN_3771 S-1	2	2.6	0.6	28		28
106 0	GN_3771 S-1	4	4.3	0.3	R		-99
106 1	GN_3771 S-1	6	6.1	0.1	R		-99
106 2	GN_3771 S-1	9	9.4	0.4	R		-99
106 3	GN_3772 S-2	1.2	1.8	0.6	7		7
106 4	GN_3772 S-2	2	2.6	0.6	12		12
106 5	GN_3772 S-2	3.6	4.2	0.6	16		16
106 6	GN_3772 S-2	6	6.6	0.6	16		16
106 7	GN_3772 S-3	2.1	2.7	0.6	3		3
106 8	GN_3772 S-3	3.5	4.1	0.6	5		5
106 9	GN_3772 S-1	1	1.6	0.6	9		9
107 0	GN_3772 S-1	2.2	2.4	0.2	R		-99
107 1	GN_3773 PT-3	0	0.2	0.2		5	8
107 2	GN_3773 PT-3	0.2	0.4	0.2		8	11
107 3	GN_3773 PT-3	0.4	0.6	0.2		8	11
107 4	GN_3773 PT-3	0.6	0.8	0.2		6	9
107 5	GN_3773 PT-3	0.8	1	0.2		6	9
107 6	GN_3773 PT-3	1	1.2	0.2		4	7
107 7	GN_3773 PT-3	1.2	1.4	0.2		4	7

107 8	GN_3773 PT-3	1.4	1.6	0.2	6	9
107 9	GN_3773 PT-3	1.6	1.8	0.2	4	7
108 0	GN_3773 PT-3	1.8	2	0.2	6	9
108 1	GN_3773 PT-3	2	2.2	0.2	12	13
108 2	GN_3773 PT-3	2.2	2.4	0.2	14	14
108 3	GN_3773 PT-3	2.4	2.6	0.2	13	13
108 4	GN_3773 PT-3	2.6	2.8	0.2	16	15
108 5	GN_3773 PT-3	2.8	3	0.2	16	15
108 6	GN_3773 PT-3	3	3.2	0.2	12	13
108 7	GN_3773 PT-3	3.2	3.4	0.2	13	13
108 8	GN_3773 PT-3	3.4	3.6	0.2	12	13
108 9	GN_3773 PT-3	3.6	3.8	0.2	10	12
109 0	GN_3773 PT-3	3.8	4	0.2	13	13
109 1	GN_3773 PT-3	4	4.2	0.2	16	15
109 2	GN_3773 PT-3	4.2	4.4	0.2	18	15
109 3	GN_3773 PT-3	4.4	4.6	0.2	23	17
109 4	GN_3773 PT-3	4.6	4.8	0.2	27	17
109 5	GN_3773 PT-3	4.8	5	0.2	19	15
109 6	GN_3773 PT-3	5	5.2	0.2	14	14
109 7	GN_3773 PT-3	5.2	5.4	0.2	13	13
109 8	GN_3773 PT-3	5.4	5.6	0.2	18	15
109 9	GN_3773 PT-3	5.6	5.8	0.2	18	15
110 0	GN_3773 PT-3	5.8	6	0.2	24	17
110 1	GN_3773 PT-3	6	6.2	0.2	20	16
110 2	GN_3773 PT-3	6.2	6.4	0.2	18	15

110 3	GN_3773 PT-3	6.4	6.6	0.2	17	15
110 4	GN_3773 PT-3	6.6	6.8	0.2	17	15
110 5	GN_3773 PT-3	6.8	7	0.2	16	15
110 6	GN_3773 PT-3	7	7.2	0.2	11	12
110 7	GN_3773 PT-3	7.2	7.4	0.2	14	14
110 8	GN_3773 PT-3	7.4	7.6	0.2	15	14
110 9	GN_3773 PT-3	7.6	7.8	0.2	16	15
111 0	GN_3773 PT-3	7.8	8	0.2	15	14
111 1	GN_3773 PT-3	8	8.2	0.2	11	12
111 2	GN_3773 PT-3	8.2	8.4	0.2	16	15
111 3	GN_3773 PT-3	8.4	8.6	0.2	24	17
111 4	GN_3773 PT-3	8.6	8.8	0.2	20	16
111 5	GN_3773 PT-3	8.8	9	0.2	17	15
111 6	GN_3773 PT-3	9	9.2	0.2	20	16
111 7	GN_3773 PT-3	9.2	9.4	0.2	22	16
111 8	GN_3773 PT-3	9.4	9.6	0.2	24	17
111 9	GN_3773 PT-3	9.6	9.8	0.2	26	17
112 0	GN_3773 PT-3	9.8	10	0.2	27	17
112 1	GN_3773 PT-3	10	10.2	0.2	29	18
112 2	GN_3773 PT-3	10.2	10.4	0.2	31	18
112 3	GN_3773 PT-3	10.4	10.6	0.2	28	18
112 4	GN_3773 PT-3	10.6	10.8	0.2	28	18
112 5	GN_3773 PT-3	10.8	11	0.2	26	17
112 6	GN_3773 PT-3	11	11.2	0.2	30	18
112 7	GN_3773 PT-3	11.2	11.4	0.2	33	19

112 8	GN_3773 PT-3	11.4	11.6	0.2	27	17
112 9	GN_3773 PT-3	11.6	11.8	0.2	26	17
113 0	GN_3773 PT-3	11.8	12	0.2	24	17
113 1	GN_3773 PT-3	12	12.2	0.2	39	20
113 2	GN_3773 PT-3	12.2	12.4	0.2	100	25
113 3	GN_3773 PT-4	0	0.2	0.2	4	7
113 4	GN_3773 PT-4	0.2	0.4	0.2	5	8
113 5	GN_3773 PT-4	0.4	0.6	0.2	5	8
113 6	GN_3773 PT-4	0.6	0.8	0.2	4	7
113 7	GN_3773 PT-4	0.8	1	0.2	4	7
113 8	GN_3773 PT-4	1	1.2	0.2	8	11
113 9	GN_3773 PT-4	1.2	1.4	0.2	4	7
114 0	GN_3773 PT-4	1.4	1.6	0.2	8	11
114 1	GN_3773 PT-4	1.6	1.8	0.2	8	11
114 2	GN_3773 PT-4	1.8	2	0.2	6	9
114 3	GN_3773 PT-4	2	2.2	0.2	8	11
114 4	GN_3773 PT-4	2.2	2.4	0.2	18	15
114 5	GN_3773 PT-4	2.4	2.6	0.2	15	14
114 6	GN_3773 PT-4	2.6	2.8	0.2	15	14
114 7	GN_3773 PT-4	2.8	3	0.2	12	13
114 8	GN_3773 PT-4	3	3.2	0.2	13	13
114 9	GN_3773 PT-4	3.2	3.4	0.2	14	14
115 0	GN_3773 PT-4	3.4	3.6	0.2	14	14
115 1	GN_3773 PT-4	3.6	3.8	0.2	19	15
115 2	GN_3773 PT-4	3.8	4	0.2	10	12

115 3	GN_3773 PT-4	4	4.2	0.2	13	13
115 4	GN_3773 PT-4	4.2	4.4	0.2	16	15
115 5	GN_3773 PT-4	4.4	4.6	0.2	16	15
115 6	GN_3773 PT-4	4.6	4.8	0.2	22	16
115 7	GN_3773 PT-4	4.8	5	0.2	25	17
115 8	GN_3773 PT-4	5	5.2	0.2	27	17
115 9	GN_3773 PT-4	5.2	5.4	0.2	15	14
116 0	GN_3773 PT-4	5.4	5.6	0.2	17	15
116 1	GN_3773 PT-4	5.6	5.8	0.2	19	15
116 2	GN_3773 PT-4	5.8	6	0.2	43	20
116 3	GN_3773 PT-4	6	6.2	0.2	32	18
116 4	GN_3773 PT-4	6.2	6.4	0.2	20	16
116 5	GN_3773 PT-4	6.4	6.6	0.2	25	17
116 6	GN_3773 PT-4	6.6	6.8	0.2	27	17
116 7	GN_3773 PT-4	6.8	7	0.2	21	16
116 8	GN_3773 PT-4	7	7.2	0.2	18	15
116 9	GN_3773 PT-4	7.2	7.4	0.2	19	15
117 0	GN_3773 PT-4	7.4	7.6	0.2	17	15
117 1	GN_3773 PT-4	7.6	7.8	0.2	22	16
117 2	GN_3773 PT-4	7.8	8	0.2	23	17
117 3	GN_3773 PT-4	8	8.2	0.2	15	14
117 4	GN_3773 PT-4	8.2	8.4	0.2	17	15
117 5	GN_3773 PT-4	8.4	8.6	0.2	25	17
117 6	GN_3773 PT-4	8.6	8.8	0.2	16	15
117 7	GN_3773 PT-4	8.8	9	0.2	24	17

117 8	GN_3773 PT-4	9	9.2	0.2	19	15
117 9	GN_3773 PT-4	9.2	9.4	0.2	26	17
118 0	GN_3773 PT-4	9.4	9.6	0.2	25	17
118 1	GN_3773 PT-4	9.6	9.8	0.2	30	18
118 2	GN_3773 PT-4	9.8	10	0.2	34	19
118 3	GN_3773 PT-4	10	10.2	0.2	36	19
118 4	GN_3773 PT-4	10.2	10.4	0.2	29	18
118 5	GN_3773 PT-4	10.4	10.6	0.2	29	18
118 6	GN_3773 PT-4	10.6	10.8	0.2	30	18
118 7	GN_3773 PT-4	10.8	11	0.2	22	16
118 8	GN_3773 PT-4	11	11.2	0.2	27	17
118 9	GN_3773 PT-4	11.2	11.4	0.2	40	20
119 0	GN_3773 PT-4	11.4	11.6	0.2	35	19
119 1	GN_3773 PT-4	11.6	11.8	0.2	37	19
119 2	GN_3773 PT-4	11.8	12	0.2	33	19
119 3	GN_3773 PT-4	12	12.2	0.2	45	20
119 4	GN_3773 PT-4	12.2	12.4	0.2	47	21
119 5	GN_3773 PT-4	12.4	12.6	0.2	38	19
119 6	GN_3773 PT-4	12.6	12.8	0.2	40	20
119 7	GN_3773 PT-4	12.8	13	0.2	44	20
119 8	GN_3773 PT-4	13	13.2	0.2	100	25
119 9	GN_3773 PT-5	0	0.2	0.2	8	11
120 0	GN_3773 PT-5	0.2	0.4	0.2	6	9
120 1	GN_3773 PT-5	0.4	0.6	0.2	6	9
120 2	GN_3773 PT-5	0.6	0.8	0.2	7	10

120 3	GN_3773 PT-5	0.8	1	0.2	3	5
120 4	GN_3773 PT-5	1	1.2	0.2	3	5
120 5	GN_3773 PT-5	1.2	1.4	0.2	4	7
120 6	GN_3773 PT-5	1.4	1.6	0.2	4	7
120 7	GN_3773 PT-5	1.6	1.8	0.2	5	8
120 8	GN_3773 PT-5	1.8	2	0.2	6	9
120 9	GN_3773 PT-5	2	2.2	0.2	8	11
121 0	GN_3773 PT-5	2.2	2.4	0.2	16	15
121 1	GN_3773 PT-5	2.4	2.6	0.2	15	14
121 2	GN_3773 PT-5	2.6	2.8	0.2	15	14
121 3	GN_3773 PT-5	2.8	3	0.2	17	15
121 4	GN_3773 PT-5	3	3.2	0.2	17	15
121 5	GN_3773 PT-5	3.2	3.4	0.2	19	15
121 6	GN_3773 PT-5	3.4	3.6	0.2	15	14
121 7	GN_3773 PT-5	3.6	3.8	0.2	15	14
121 8	GN_3773 PT-5	3.8	4	0.2	13	13
121 9	GN_3773 PT-5	4	4.2	0.2	14	14
122 0	GN_3773 PT-5	4.2	4.4	0.2	16	15
122 1	GN_3773 PT-5	4.4	4.6	0.2	18	15
122 2	GN_3773 PT-5	4.6	4.8	0.2	20	16
122 3	GN_3773 PT-5	4.8	5	0.2	20	16
122 4	GN_3773 PT-5	5	5.2	0.2	25	17
122 5	GN_3773 PT-5	5.2	5.4	0.2	19	15
122 6	GN_3773 PT-5	5.4	5.6	0.2	18	15
122 7	GN_3773 PT-5	5.6	5.8	0.2	15	14

122 8	GN_3773 PT-5	5.8	6	0.2	19	15
122 9	GN_3773 PT-5	6	6.2	0.2	22	16
123 0	GN_3773 PT-5	6.2	6.4	0.2	23	17
123 1	GN_3773 PT-5	6.4	6.6	0.2	14	14
123 2	GN_3773 PT-5	6.6	6.8	0.2	29	18
123 3	GN_3773 PT-5	6.8	7	0.2	35	19
123 4	GN_3773 PT-5	7	7.2	0.2	23	17
123 5	GN_3773 PT-5	7.2	7.4	0.2	18	15
123 6	GN_3773 PT-5	7.4	7.6	0.2	10	12
123 7	GN_3773 PT-5	7.6	7.8	0.2	19	15
123 8	GN_3773 PT-5	7.8	8	0.2	15	14
123 9	GN_3773 PT-5	8	8.2	0.2	26	17
124 0	GN_3773 PT-5	8.2	8.4	0.2	26	17
124 1	GN_3773 PT-5	8.4	8.6	0.2	22	16
124 2	GN_3773 PT-5	8.6	8.8	0.2	29	18
124 3	GN_3773 PT-5	8.8	9	0.2	30	18
124 4	GN_3773 PT-5	9	9.2	0.2	35	19
124 5	GN_3773 PT-5	9.2	9.4	0.2	34	19
124 6	GN_3773 PT-5	9.4	9.6	0.2	34	19
124 7	GN_3773 PT-5	9.6	9.8	0.2	27	17
124 8	GN_3773 PT-5	9.8	10	0.2	27	17
124 9	GN_3773 PT-5	10	10.2	0.2	30	18
125 0	GN_3773 PT-5	10.2	10.4	0.2	31	18
125 1	GN_3773 PT-5	10.4	10.6	0.2	26	17
125 2	GN_3773 PT-5	10.6	10.8	0.2	29	18

125 3	GN_3773 PT-5	10.8	11	0.2	24	17
125 4	GN_3773 PT-5	11	11.2	0.2	26	17
125 5	GN_3773 PT-5	11.2	11.4	0.2	33	19
125 6	GN_3773 PT-5	11.4	11.6	0.2	41	20
125 7	GN_3773 PT-5	11.6	11.8	0.2	38	19
125 8	GN_3773 PT-5	11.8	12	0.2	44	20
125 9	GN_3773 PT-5	12	12.2	0.2	100	25
126 0	GN_3773 PT-2	0	0.2	0.2	6	9
126 1	GN_3773 PT-2	0.2	0.4	0.2	7	10
126 2	GN_3773 PT-2	0.4	0.6	0.2	8	11
126 3	GN_3773 PT-2	0.6	0.8	0.2	6	9
126 4	GN_3773 PT-2	0.8	1	0.2	5	8
126 5	GN_3773 PT-2	1	1.2	0.2	5	8
126 6	GN_3773 PT-2	1.2	1.4	0.2	6	9
126 7	GN_3773 PT-2	1.4	1.6	0.2	7	10
126 8	GN_3773 PT-2	1.6	1.8	0.2	4	7
126 9	GN_3773 PT-2	1.8	2	0.2	5	8
127 0	GN_3773 PT-2	2	2.2	0.2	13	13
127 1	GN_3773 PT-2	2.2	2.4	0.2	11	12
127 2	GN_3773 PT-2	2.4	2.6	0.2	12	13
127 3	GN_3773 PT-2	2.6	2.8	0.2	17	15
127 4	GN_3773 PT-2	2.8	3	0.2	15	14
127 5	GN_3773 PT-2	3	3.2	0.2	12	13
127 6	GN_3773 PT-2	3.2	3.4	0.2	14	14
127 7	GN_3773 PT-2	3.4	3.6	0.2	13	13

127 8	GN_3773 PT-2	3.6	3.8	0.2	11	12
127 9	GN_3773 PT-2	3.8	4	0.2	14	14
128 0	GN_3773 PT-2	4	4.2	0.2	18	15
128 1	GN_3773 PT-2	4.2	4.4	0.2	19	15
128 2	GN_3773 PT-2	4.4	4.6	0.2	25	17
128 3	GN_3773 PT-2	4.6	4.8	0.2	26	17
128 4	GN_3773 PT-2	4.8	5	0.2	17	15
128 5	GN_3773 PT-2	5	5.2	0.2	15	14
128 6	GN_3773 PT-2	5.2	5.4	0.2	17	15
128 7	GN_3773 PT-2	5.4	5.6	0.2	18	15
128 8	GN_3773 PT-2	5.6	5.8	0.2	20	16
128 9	GN_3773 PT-2	5.8	6	0.2	25	17
129 0	GN_3773 PT-2	6	6.2	0.2	21	16
129 1	GN_3773 PT-2	6.2	6.4	0.2	23	17
129 2	GN_3773 PT-2	6.4	6.6	0.2	31	18
129 3	GN_3773 PT-2	6.6	6.8	0.2	34	19
129 4	GN_3773 PT-2	6.8	7	0.2	37	19
129 5	GN_3773 PT-2	7	7.2	0.2	40	20
129 6	GN_3773 PT-2	7.2	7.4	0.2	38	19
129 7	GN_3773 PT-2	7.4	7.6	0.2	13	13
129 8	GN_3773 PT-2	7.6	7.8	0.2	100	25
129 9	GN_3773 PT-1	0	0.2	0.2	3	5
130 0	GN_3773 PT-1	0.2	0.4	0.2	3	5
130 1	GN_3773 PT-1	0.4	0.6	0.2	4	7
130 2	GN_3773 PT-1	0.6	0.8	0.2	6	9

1303	GN_3773 PT-1	0.8	1	0.2	5	8
1304	GN_3773 PT-1	1	1.2	0.2	10	12
1305	GN_3773 PT-1	1.2	1.4	0.2	10	12
1306	GN_3773 PT-1	1.4	1.6	0.2	9	11
1307	GN_3773 PT-1	1.6	1.8	0.2	8	11
1308	GN_3773 PT-1	1.8	2	0.2	8	11
1309	GN_3773 PT-1	2	2.2	0.2	12	13
1310	GN_3773 PT-1	2.2	2.4	0.2	15	14
1311	GN_3773 PT-1	2.4	2.6	0.2	13	13
1312	GN_3773 PT-1	2.6	2.8	0.2	21	16
1313	GN_3773 PT-1	2.8	3	0.2	11	12
1314	GN_3773 PT-1	3	3.2	0.2	18	15
1315	GN_3773 PT-1	3.2	3.4	0.2	18	15
1316	GN_3773 PT-1	3.4	3.6	0.2	15	14
1317	GN_3773 PT-1	3.6	3.8	0.2	16	15
1318	GN_3773 PT-1	3.8	4	0.2	22	16
1319	GN_3773 PT-1	4	4.2	0.2	19	15
1320	GN_3773 PT-1	4.2	4.4	0.2	19	15
1321	GN_3773 PT-1	4.4	4.6	0.2	33	19
1322	GN_3773 PT-1	4.6	4.8	0.2	33	19
1323	GN_3773 PT-1	4.8	5	0.2	28	18
1324	GN_3773 PT-1	5	5.2	0.2	27	17
1325	GN_3773 PT-1	5.2	5.4	0.2	44	20
1326	GN_3773 PT-1	5.4	5.6	0.2	22	16
1327	GN_3773 PT-1	5.6	5.8	0.2	67	23

132 8	GN_3773 PT-1	5.8	6	0.2		50	21
132 9	GN_3773 PT-1	6	6.2	0.2		33	19
133 0	GN_3773 PT-1	6.2	6.4	0.2		27	17
133 1	GN_3773 PT-1	6.4	6.6	0.2		28	18
133 2	GN_3773 PT-1	6.6	6.8	0.2		41	20
133 3	GN_3773 PT-1	6.8	7	0.2		3	5
133 4	GN_3773 PT-1	7	7.2	0.2		12	13
133 5	GN_3773 PT-1	7.2	7.4	0.2		100	25
133 6	GN_3773 S-4	4.06	4.66	0.6	12		12
133 7	GN_3773 S-4	6.1	6.7	0.6	20		20
133 8	GN_3773 S-4	9.09	9.69	0.6	24		24
133 9	GN_3773 S-5	5.18	5.78	0.6	14		14
134 0	GN_3773 S-5	9.01	9.61	0.6	22		22
134 1	GN_3773 S-3	5	5.6	0.6	13		13
134 2	GN_3773 S-3	10.23	10.8 3	0.6	24		24
134 3	GN_3773 S-3	12.25	12.7 5	0.5	27		27
134 4	GN_3773 S-2	5	5.6	0.6	23		23
134 5	GN_3773 S-2	9.31	9.91	0.6	19		19
134 6	GN_3773 S-2	11.61	12.2 1	0.6	26		26
134 7	GN_3773 S-1	3	3.6	0.6	18		18
134 8	GN_3773 S-1	7.16	7.76	0.6	21		21
134 9	GN_3774 S-1	1.2	1.8	0.6	22		22
135 0	GN_3774 S-1	2.4	3	0.6		65	-99
135 1	GN_3774 S-1	3	6.15	3.15		100	-99
135 2	GN_3774 P-1	0	0.2	0.2	4		6

135 3	GN_3774 P-1	0.2	0.4	0.2	9	10
135 4	GN_3774 P-1	0.4	0.6	0.2	10	11
135 5	GN_3774 P-1	0.6	0.8	0.2	11	12
135 6	GN_3774 P-1	0.8	1	0.2	22	15
135 7	GN_3774 P-1	1	1.2	0.2	30	17
135 8	GN_3774 P-1	1.2	1.4	0.2	36	18
135 9	GN_3774 P-1	1.4	1.6	0.2	24	16
136 0	GN_3774 P-1	1.6	1.8	0.2	26	16
136 1	GN_3774 P-1	1.8	2	0.2	30	17
136 2	GN_3774 P-1	2	2.2	0.2	36	18
136 3	GN_3774 P-1	2.2	2.4	0.2	100	24
136 4	GN_3774 S-3	1.2	1.8	0.6	81 R	-99
136 5	GN_3774 S-3	2.5	4.2	1.7	50	-99
136 6	GN_3774 S-3	4.9	6	1.1	65	-99
136 7	GN_3774 S-3	6	7	1	100	-99
136 8	GN_3774 S-2	1.2	1.8	0.6	55 R	-99
136 9	GN_3774 S-2	2.4	5	2.6	80	-99
137 0	GN_3774 S-2	5	7	2	100	-99
137 1	GN_3775 S-3	1.21	1.58	0.37	R	-99
137 2	GN_3775 S-1	1	1.25	0.25	R	-99
137 3	GN_3775 S-2	1	1.29	0.29	R	-99
137 4	GN_3776 S-6	1.5	1.7	0.2	R	-99
137 5	GN_3776 S-5	3	3.2	0.2	R	-99
137 6	GN_3776 S-4	1.5	2.1	0.6	19	19
137 7	GN_3776 S-4	3	3.2	0.2	R	-99

137 8	GN_3776 S-3	5.4	6	0.6	17		17
137 9	GN_3776 S-2	0.6	0.8	0.2	R		-99
138 0	GN_3776 S-2	1.5	1.7	0.2	R		-99
138 1	GN_3776 P-1	0	0.2	0.2		2	2
138 2	GN_3776 P-1	0.2	0.4	0.2		6	8
138 3	GN_3776 P-1	0.4	0.6	0.2		6	8
138 4	GN_3776 P-1	0.6	0.8	0.2		8	10
138 5	GN_3776 P-1	0.8	1	0.2		7	9
138 6	GN_3776 P-1	1	1.2	0.2		7	9
138 7	GN_3776 P-1	1.2	1.4	0.2		5	7
138 8	GN_3776 P-1	1.4	1.6	0.2		5	7
138 9	GN_3776 S-1	0.5	1.1	0.6	8		8
139 0	GN_3776 S-1	2.3	2.5	0.2	R		-99
139 1	GN_3777 SR-1	1.5	2.1	0.6	21		21
139 2	GN_3777 SR-1	3.6	6	2.4		60	-99
139 3	GN_3777 SR-2	1.5	2.1	0.6	41		41
139 4	GN_3777 SR-2	5.3	6	0.7		35	-99
139 5	GN_3777 P-3	0	0.2	0.2		38	19
139 6	GN_3777 P-3	0.2	0.4	0.2		36	19
139 7	GN_3777 P-3	0.4	0.6	0.2		23	17
139 8	GN_3777 P-3	0.6	0.8	0.2		22	16
139 9	GN_3777 P-3	0.8	1	0.2		15	14
140 0	GN_3777 P-3	1	1.2	0.2		25	17
140 1	GN_3777 P-3	1.2	1.4	0.2		15	14
140 2	GN_3777 P-3	1.4	1.6	0.2		12	13

140 3	GN_3777 P-3	1.6	1.8	0.2	16	15
140 4	GN_3777 P-3	1.8	2	0.2	55	21
140 5	GN_3777 P-3	2	2.2	0.2	100	25
140 6	GN_3777 P-2	0	0.2	0.2	15	14
140 7	GN_3777 P-2	0.2	0.4	0.2	9	11
140 8	GN_3777 P-2	0.4	0.6	0.2	10	12
140 9	GN_3777 P-2	0.6	0.8	0.2	35	19
141 0	GN_3777 P-2	0.8	1	0.2	100	25
141 1	GN_3777 P-1	0	0.2	0.2	100	25
141 2	GN_3777 P-1	0.2	0.4	0.2	27	17
141 3	GN_3777 P-1	0.4	0.6	0.2	12	13
141 4	GN_3777 P-1	0.6	0.8	0.2	10	12
141 5	GN_3777 P-1	0.8	1	0.2	10	12
141 6	GN_3777 P-1	1	1.2	0.2	9	11
141 7	GN_3777 P-1	1.2	1.4	0.2	10	12
141 8	GN_3777 P-1	1.4	1.6	0.2	10	12
141 9	GN_3777 P-1	1.6	1.8	0.2	9	11
142 0	GN_3777 P-1	1.8	2	0.2	9	11
142 1	GN_3777 P-1	2	2.2	0.2	9	11
142 2	GN_3777 P-1	2.2	2.4	0.2	8	11
142 3	GN_3777 P-1	2.4	2.6	0.2	9	11
142 4	GN_3777 P-1	2.6	2.8	0.2	12	13
142 5	GN_3777 P-1	2.8	3	0.2	30	18
142 6	GN_3777 P-1	3	3.2	0.2	100	25
142 7	GN_3778 S-9	2	2.6	0.6	17	17

142 8	GN_3778 S-6	6	6.2	0.2	R	-99
142 9	GN_3778 S-5	4	4.6	0.6	17	17
143 0	GN_3778 S-4	4	4.6	0.6	40	40
143 1	GN_3778 S-2	2	2.6	0.6	8	8
143 2	GN_3778 S-2	4.5	4.7	0.2	R	-99
143 3	GN_3778 S-3	4	4.2	0.2	R	-99
143 4	GN_3778 S-3	6	6.2	0.2	R	-99
143 5	GN_3778 S-1	2	2.2	0.2	R	-99
143 6	GN_3779 S-1	1	1.2	0.2	R	-99
143 7	GN_3779 S-1	3	3.2	0.2	R	-99
143 8	GN_3779 S-2	1.5	2.1	0.6	13	13
143 9	GN_3779 S-2	3	3.2	0.2	R	-99
144 0	GN_3779 S-4	1	1.2	0.2	R	-99
144 1	GN_3779 S-3	1.5	1.7	0.2	R	-99
144 2	GN_3780 S-2	0.6	0.8	0.2	R	-99
144 3	GN_3780 S-2	3.2	3.4	0.2	R	-99
144 4	GN_3780 S-2	7.5	7.7	0.2	R	-99
144 5	GN_3780 S-2	11.8	12	0.2	R	-99
144 6	GN_3780 S-1	1.5	1.7	0.2	R	-99
144 7	GN_3780 S-1	4.2	4.4	0.2	R	-99
144 8	GN_3780 S-1	9	9.2	0.2	R	-99
144 9	GN_3780 S-1	11.8	12	0.2	R	-99
145 0	GN_3780 S-3	1.5	1.7	0.2	R	-99
145 1	GN_3780 S-3	2.9	3.1	0.2	R	-99
145 2	GN_3780 S-3	7	7.2	0.2	R	-99

145 3	GN_3780 S-3	9.7	9.9	0.2	R		-99
145 4	GN_3780 S-3	14.2	14.4	0.2	R		-99
145 5	GN_3781 S-3	2.7	2.9	0.2	R		-99
145 6	GN_3781 S-1	1.2	1.4	0.2	R		-99
145 7	GN_3781 S-1	2.5	2.7	0.2	R		-99
145 8	GN_3781 S-2	1.6	1.8	0.2	R		-99
145 9	GN_3781 S-2	3.5	3.7	0.2	R		-99
146 0	GN_3782 P-2	0	0.2	0.2		2	2
146 1	GN_3782 P-2	0.2	0.4	0.2		8	10
146 2	GN_3782 P-2	0.4	0.6	0.2		7	9
146 3	GN_3782 P-2	0.6	0.8	0.2		8	10
146 4	GN_3782 P-2	0.8	1	0.2		8	10
146 5	GN_3782 P-2	1	1.2	0.2		8	10
146 6	GN_3782 P-2	1.2	1.4	0.2		10	11
146 7	GN_3782 P-2	1.4	1.6	0.2		15	13
146 8	GN_3782 P-2	1.6	1.8	0.2		16	14
146 9	GN_3782 P-2	1.8	2	0.2		15	13
147 0	GN_3782 P-2	2	2.2	0.2		15	13
147 1	GN_3782 P-2	2.2	2.4	0.2		14	13
147 2	GN_3782 P-2	2.4	2.6	0.2		12	12
147 3	GN_3782 P-2	2.6	2.8	0.2		12	12
147 4	GN_3782 P-2	2.8	3	0.2		12	12
147 5	GN_3782 P-2	3	3.2	0.2		9	10
147 6	GN_3782 P-2	3.2	3.4	0.2		7	9
147 7	GN_3782 P-2	3.4	3.6	0.2		7	9

147 8	GN_3782 P-2	3.6	3.8	0.2	11	12
147 9	GN_3782 P-2	3.8	4	0.2	12	12
148 0	GN_3782 P-2	4	4.2	0.2	9	10
148 1	GN_3782 P-2	4.2	4.4	0.2	12	12
148 2	GN_3782 P-2	4.4	4.6	0.2	12	12
148 3	GN_3782 P-2	4.6	4.8	0.2	43	19
148 4	GN_3782 P-2	4.8	5	0.2	13	12
148 5	GN_3782 P-2	5	5.2	0.2	8	10
148 6	GN_3782 P-2	5.2	5.4	0.2	12	12
148 7	GN_3782 P-2	5.4	5.6	0.2	26	16
148 8	GN_3782 P-2	5.6	5.8	0.2	40	19
148 9	GN_3782 P-2	5.8	6	0.2	19	15
149 0	GN_3782 P-2	6	6.2	0.2	28	17
149 1	GN_3782 P-2	6.2	6.4	0.2	34	18
149 2	GN_3782 P-2	6.4	6.6	0.2	100	24
149 3	GN_3782 P-1	0	0.2	0.2	1	1
149 4	GN_3782 P-1	0.2	0.4	0.2	5	7
149 5	GN_3782 P-1	0.4	0.6	0.2	13	12
149 6	GN_3782 P-1	0.6	0.8	0.2	11	12
149 7	GN_3782 P-1	0.8	1	0.2	12	12
149 8	GN_3782 P-1	1	1.2	0.2	8	10
149 9	GN_3782 P-1	1.2	1.4	0.2	8	10
150 0	GN_3782 P-1	1.4	1.6	0.2	8	10
150 1	GN_3782 P-1	1.6	1.8	0.2	8	10
150 2	GN_3782 P-1	1.8	2	0.2	6	8

150 3	GN_3782 P-1	2	2.2	0.2	7	9
150 4	GN_3782 P-1	2.2	2.4	0.2	7	9
150 5	GN_3782 P-1	2.4	2.6	0.2	16	14
150 6	GN_3782 P-1	2.6	2.8	0.2	7	9
150 7	GN_3782 P-1	2.8	3	0.2	9	10
150 8	GN_3782 P-1	3	3.2	0.2	7	9
150 9	GN_3782 P-1	3.2	3.4	0.2	5	7
151 0	GN_3782 P-1	3.4	3.6	0.2	4	6
151 1	GN_3782 P-1	3.6	3.8	0.2	2	2
151 2	GN_3782 P-1	3.8	4	0.2	4	6
151 3	GN_3782 P-1	4	4.2	0.2	4	6
151 4	GN_3782 P-1	4.2	4.4	0.2	4	6
151 5	GN_3782 P-1	4.4	4.6	0.2	5	7
151 6	GN_3782 P-1	4.6	4.8	0.2	5	7
151 7	GN_3782 P-1	4.8	5	0.2	5	7
151 8	GN_3782 P-1	5	5.2	0.2	6	8
151 9	GN_3782 P-1	5.2	5.4	0.2	6	8
152 0	GN_3782 P-1	5.4	5.6	0.2	3	4
152 1	GN_3782 P-1	5.6	5.8	0.2	3	4
152 2	GN_3782 P-1	5.8	6	0.2	9	10
152 3	GN_3782 P-1	6	6.2	0.2	10	11
152 4	GN_3782 P-1	6.2	6.4	0.2	75	22
152 5	GN_3782 P-1	6.4	6.6	0.2	100	24
152 6	GN_3782 S-1	3	3.6	0.6	7	7
152 7	GN_3782 S-1	6	6.3	0.3	R	-99

152 8	GN_3782 S-1	6.3	7	0.7	20	-99
152 9	GN_3782 S-1	7	8.75	1.75	95	-99
153 0	GN_3783 P-8	1.2	1.4	0.2	10	11
153 1	GN_3783 P-8	1.4	1.6	0.2	27	17
153 2	GN_3783 P-8	1.6	1.8	0.2	58	21
153 3	GN_3783 P-8	1.8	2	0.2	61	21
153 4	GN_3783 P-8	2	2.2	0.2	100	24
153 5	GN_3783 P-6	1.4	1.6	0.2	8	10
153 6	GN_3783 P-6	1.6	1.8	0.2	5	7
153 7	GN_3783 P-6	1.8	2	0.2	6	8
153 8	GN_3783 P-6	2	2.2	0.2	7	9
153 9	GN_3783 P-6	2.2	2.4	0.2	5	7
154 0	GN_3783 P-6	2.4	2.6	0.2	4	6
154 1	GN_3783 P-6	2.6	2.8	0.2	6	8
154 2	GN_3783 P-6	2.8	3	0.2	5	7
154 3	GN_3783 P-6	3	3.2	0.2	4	6
154 4	GN_3783 P-6	3.2	3.4	0.2	3	4
154 5	GN_3783 P-6	3.4	3.6	0.2	4	6
154 6	GN_3783 P-6	3.6	3.8	0.2	3	4
154 7	GN_3783 P-6	3.8	4	0.2	4	6
154 8	GN_3783 P-6	4	4.2	0.2	6	8
154 9	GN_3783 P-6	4.2	4.4	0.2	4	6
155 0	GN_3783 P-6	4.4	4.6	0.2	4	6
155 1	GN_3783 P-6	4.6	4.8	0.2	1	1
155 2	GN_3783 P-6	4.8	5	0.2	31	17

155 3	GN_3783 P-6	5	5.2	0.2	100	24
155 4	GN_3783 P-7	1.4	1.6	0.2	7	9
155 5	GN_3783 P-7	1.6	1.8	0.2	6	8
155 6	GN_3783 P-7	1.8	2	0.2	16	14
155 7	GN_3783 P-7	2	2.2	0.2	15	13
155 8	GN_3783 P-7	2.2	2.4	0.2	12	12
155 9	GN_3783 P-7	2.4	2.6	0.2	8	10
156 0	GN_3783 P-7	2.6	2.8	0.2	5	7
156 1	GN_3783 P-7	2.8	3	0.2	8	10
156 2	GN_3783 P-7	3	3.2	0.2	5	7
156 3	GN_3783 P-7	3.2	3.4	0.2	4	6
156 4	GN_3783 P-7	3.4	3.6	0.2	4	6
156 5	GN_3783 P-7	3.6	3.8	0.2	4	6
156 6	GN_3783 P-7	3.8	4	0.2	4	6
156 7	GN_3783 P-7	4	4.2	0.2	3	4
156 8	GN_3783 P-7	4.2	4.4	0.2	3	4
156 9	GN_3783 P-7	4.4	4.6	0.2	3	4
157 0	GN_3783 P-7	4.6	4.8	0.2	3	4
157 1	GN_3783 P-7	4.8	5	0.2	3	4
157 2	GN_3783 P-7	5	5.2	0.2	4	6
157 3	GN_3783 P-7	5.2	5.4	0.2	7	9
157 4	GN_3783 P-7	5.4	5.6	0.2	7	9
157 5	GN_3783 P-7	5.6	5.8	0.2	6	8
157 6	GN_3783 P-7	5.8	6	0.2	4	6
157 7	GN_3783 P-7	6	6.2	0.2	4	6

157 8	GN_3783 P-7	6.2	6.4	0.2	2	2
157 9	GN_3783 P-7	6.4	6.6	0.2	4	6
158 0	GN_3783 P-7	6.6	6.8	0.2	6	8
158 1	GN_3783 P-7	6.8	7	0.2	9	10
158 2	GN_3783 P-7	7	7.2	0.2	7	9
158 3	GN_3783 P-7	7.2	7.4	0.2	100	24
158 4	GN_3783 P-5	1.6	1.8	0.2	1	1
158 5	GN_3783 P-5	1.8	2	0.2	3	4
158 6	GN_3783 P-5	2	2.2	0.2	2	2
158 7	GN_3783 P-5	2.2	2.4	0.2	1	1
158 8	GN_3783 P-5	2.4	2.6	0.2	1	1
158 9	GN_3783 P-5	2.6	2.8	0.2	3	4
159 0	GN_3783 P-5	2.8	3	0.2	6	8
159 1	GN_3783 P-5	3	3.2	0.2	19	15
159 2	GN_3783 P-5	3.2	3.4	0.2	57	21
159 3	GN_3783 P-5	3.4	3.6	0.2	100	24
159 4	GN_3783 P-4	1.4	1.6	0.2	6	8
159 5	GN_3783 P-4	1.6	1.8	0.2	7	9
159 6	GN_3783 P-4	1.8	2	0.2	11	12
159 7	GN_3783 P-4	2	2.2	0.2	15	13
159 8	GN_3783 P-4	2.2	2.4	0.2	17	14
159 9	GN_3783 P-4	2.4	2.6	0.2	34	18
160 0	GN_3783 P-4	2.6	2.8	0.2	41	19
160 1	GN_3783 P-4	2.8	3	0.2	100	24
160 2	GN_3783 P-3	1.4	1.6	0.2	19	15

160 3	GN_3783 P-3	1.6	1.8	0.2	36	18
160 4	GN_3783 P-3	1.8	2	0.2	31	17
160 5	GN_3783 P-3	2	2.2	0.2	28	17
160 6	GN_3783 P-3	2.2	2.4	0.2	29	17
160 7	GN_3783 P-3	2.4	2.6	0.2	100	24
160 8	GN_3783 P-2	1.4	1.6	0.2	6	8
160 9	GN_3783 P-2	1.6	1.8	0.2	4	6
161 0	GN_3783 P-2	1.8	2	0.2	2	2
161 1	GN_3783 P-2	2	2.2	0.2	1	1
161 2	GN_3783 P-2	2.2	2.4	0.2	2	2
161 3	GN_3783 P-2	2.4	2.6	0.2	2	2
161 4	GN_3783 P-2	2.6	2.8	0.2	2	2
161 5	GN_3783 P-2	2.8	3	0.2	3	4
161 6	GN_3783 P-2	3	3.2	0.2	1	1
161 7	GN_3783 P-2	3.2	3.4	0.2	0	0
161 8	GN_3783 P-2	3.4	3.6	0.2	0	0
161 9	GN_3783 P-2	3.6	3.8	0.2	0	0
162 0	GN_3783 P-2	3.8	4	0.2	0	0
162 1	GN_3783 P-2	4	4.2	0.2	3	4
162 2	GN_3783 P-2	4.2	4.4	0.2	3	4
162 3	GN_3783 P-2	4.4	4.6	0.2	4	6
162 4	GN_3783 P-2	4.6	4.8	0.2	8	10
162 5	GN_3783 P-2	4.8	5	0.2	11	12
162 6	GN_3783 P-2	5	5.2	0.2	10	11
162 7	GN_3783 P-2	5.2	5.4	0.2	19	15

162 8	GN_3783 P-2	5.4	5.6	0.2	26	16
162 9	GN_3783 P-2	5.6	5.8	0.2	84	23
163 0	GN_3783 P-2	5.8	6	0.2	100	24
163 1	GN_3783 P-1	1.4	1.6	0.2	4	6
163 2	GN_3783 P-1	1.6	1.8	0.2	6	8
163 3	GN_3783 P-1	1.8	2	0.2	1	1
163 4	GN_3783 P-1	2	2.2	0.2	3	4
163 5	GN_3783 P-1	2.2	2.4	0.2	8	10
163 6	GN_3783 P-1	2.4	2.6	0.2	15	13
163 7	GN_3783 P-1	2.6	2.8	0.2	18	14
163 8	GN_3783 P-1	2.8	3	0.2	57	21
163 9	GN_3783 P-1	3	3.2	0.2	100	24
164 0	GN_3784 S-4	1	1.6	0.6	19	19
164 1	GN_3784 S-4	1.58	6.4	4.82	100	-99
164 2	GN_3784 S-2	2.65	8.05	5.4	100	-99
164 3	GN_3784 S-1	1	1.6	0.6	2	2
164 4	GN_3784 S-1	3	6.7	3.7	100	-99
164 5	GN_3784 S-5	2	2.6	0.6	22	22
164 6	GN_3784 S-5	3.3	6	2.7	100	-99
164 7	GN_3784 S-6	1.5	2.1	0.6	9	9
164 8	GN_3784 S-6	3	3.6	0.6	15	15
164 9	GN_3784 S-6	3.65	6.6	2.95	90	-99
165 0	GN_3784 S-6	6.6	12	5.4	100	-99
165 1	GN_3784 S-3	3.3	8	4.7	100	-99
165 2	GN_3785 S-8	5.4	7.3	1.9	100	-99

165 3	GN_3785 S-7	4	5	1	100	-99
165 4	GN_3786 P-6	0	0.2	0.2	36	18
165 5	GN_3786 P-6	0.2	0.4	0.2	47	20
165 6	GN_3786 P-6	0.4	0.6	0.2	22	15
165 7	GN_3786 P-6	0.6	0.8	0.2	11	12
165 8	GN_3786 P-6	0.8	1	0.2	9	10
165 9	GN_3786 P-6	1	1.2	0.2	8	10
166 0	GN_3786 P-6	1.2	1.4	0.2	9	10
166 1	GN_3786 P-6	1.4	1.6	0.2	16	14
166 2	GN_3786 P-6	1.6	1.8	0.2	27	17
166 3	GN_3786 P-6	1.8	2	0.2	77	23
166 4	GN_3786 P-6	2	2.2	0.2	100	24
166 5	GN_3786 S-2	10.5	11.1	0.6 R		-99
166 6	GN_3786 S-4	1.5	2.1	0.6 R		-99
166 7	GN_3786 P-1	1.5	2.1	0.6 10		10
166 8	GN_3786 P-1	4.3	4.9	0.6 14		14
166 9	GN_3786 P-1	6	6.6	0.6 R		-99
167 0	GN_3786 P-2	0	0.2	0.2	10	11
167 1	GN_3786 P-2	0.2	0.4	0.2	9	10
167 2	GN_3786 P-2	0.4	0.6	0.2	7	9
167 3	GN_3786 P-2	0.6	0.8	0.2	7	9
167 4	GN_3786 P-2	0.8	1	0.2	9	10
167 5	GN_3786 P-2	1	1.2	0.2	27	17
167 6	GN_3786 P-2	1.2	1.4	0.2	16	14
167 7	GN_3786 P-2	1.4	1.6	0.2	16	14

167 8	GN_3786 P-2	1.6	1.8	0.2	89	23
167 9	GN_3786 P-2	1.8	2	0.2	100	24
168 0	GN_3786 P-3	0	0.2	0.2	32	18
168 1	GN_3786 P-3	0.2	0.4	0.2	41	19
168 2	GN_3786 P-3	0.4	0.6	0.2	57	21
168 3	GN_3786 P-3	0.6	0.8	0.2	54	21
168 4	GN_3786 P-3	0.8	1	0.2	66	22
168 5	GN_3786 P-3	1	1.2	0.2	100	24
168 6	GN_3786 P-4	0	0.2	0.2	8	10
168 7	GN_3786 P-4	0.2	0.4	0.2	6	8
168 8	GN_3786 P-4	0.4	0.6	0.2	14	13
168 9	GN_3786 P-4	0.6	0.8	0.2	26	16
169 0	GN_3786 P-4	0.8	1	0.2	40	19
169 1	GN_3786 P-4	1	1.2	0.2	100	24
169 2	GN_3786 P-5	0	0.2	0.2	6	8
169 3	GN_3786 P-5	0.2	0.4	0.2	9	10
169 4	GN_3786 P-5	0.4	0.6	0.2	9	10
169 5	GN_3786 P-5	0.6	0.8	0.2	14	13
169 6	GN_3786 P-5	0.8	1	0.2	81	23
169 7	GN_3786 P-5	1	1.2	0.2	100	24
169 8	GN_3786 S-9	1.5	2.1	0.6	R	-99
169 9	GN_3786 S-10	1.5	2.1	0.6	8	8
170 0	GN_3786 S-10	2.5	3.1	0.6	R	-99
170 1	GN_3786 S-13	1.5	2.1	0.6	6	6
170 2	GN_3786 S-13	4.8	5.4	0.6	47	47

170 3	GN_3786 S-15	1.5	2.1	0.6	10	10
170 4	GN_3786 S-15	4.3	4.9	0.6	14	14
170 5	GN_3786 S-15	6	6.6	0.6	R	-99
170 6	GN_3786 P-7	0	0.2	0.2	31	17
170 7	GN_3786 P-7	0.2	0.4	0.2	69	22
170 8	GN_3786 P-7	0.4	0.6	0.2	38	19
170 9	GN_3786 P-7	0.6	0.8	0.2	12	12
171 0	GN_3786 P-7	0.8	1	0.2	8	10
171 1	GN_3786 P-7	1	1.2	0.2	9	10
171 2	GN_3786 P-7	1.2	1.4	0.2	22	15
171 3	GN_3786 P-7	1.4	1.6	0.2	17	14
171 4	GN_3786 P-7	1.6	1.8	0.2	9	10
171 5	GN_3786 P-7	1.8	2	0.2	7	9
171 6	GN_3786 P-7	2	2.2	0.2	24	16
171 7	GN_3786 P-7	2.2	2.4	0.2	17	14
171 8	GN_3786 P-7	2.4	2.6	0.2	12	12
171 9	GN_3786 P-7	2.6	2.8	0.2	10	11
172 0	GN_3786 P-7	2.8	3	0.2	17	14
172 1	GN_3786 P-7	3	3.2	0.2	11	12
172 2	GN_3786 P-7	3.2	3.4	0.2	9	10
172 3	GN_3786 P-7	3.4	3.6	0.2	7	9
172 4	GN_3786 P-7	3.6	3.8	0.2	8	10
172 5	GN_3786 P-7	3.8	4	0.2	8	10
172 6	GN_3786 P-7	4	4.2	0.2	8	10
172 7	GN_3786 P-7	4.2	4.4	0.2	14	13

172 8	GN_3786 P-7	4.4	4.6	0.2	100	24
172 9	GN_3786 S-6	1.5	2.1	0.6	23	23
173 0	GN_3786 S-6	4	4.6	0.6	R	-99
173 1	GN_4285 S-2	1	2.5	1.5	75	-99
173 2	GN_4285 S-3	1	1.25	0.25	R	-99
173 3	GN_4285 S-3	2	3	1	100	-99
173 4	GN_4285 S-1	1.2	1.8	0.6	11	11
173 5	GN_4285 S-1	1.75	3.75	2	90	-99
173 6	GN_4285 S-1	3.75	4.25	0.5	50	-99
173 7	GN_4285 S-1	4.25	4.75	0.5	90	-99
173 8	GN_4567 S-10	2	2.6	0.6	10	10
173 9	GN_4567 S-10	3.2	3.8	0.6	68 R	-99
174 0	GN_4567 S-10	5	5.6	0.6	70 R	-99
174 1	GN_4567 S-10	6.2	6.4	0.2	R	-99
174 2	GN_4567 S-10	8	8.2	0.2	R	-99
174 3	GN_4567 S-8	2	2.6	0.6	7	7
174 4	GN_4567 S-8	3.2	3.8	0.6	1	1
174 5	GN_4567 S-8	5	5.2	0.2	R	-99
174 6	GN_4567 S-8	6.2	6.8	0.6	28	28
174 7	GN_4567 S-8	8	8.2	0.2	R	-99
174 8	GN_4567 S-8	9.2	9.4	0.2	R	-99
174 9	GN_4567 S-9	2	2.6	0.6	18	18
175 0	GN_4567 S-9	3.5	3.7	0.2	R	-99
175 1	GN_4567 S-9	5	5.2	0.2	R	-99
175 2	GN_4567 S-9	6.5	6.7	0.2	R	-99

175 3	GN_4567 S-9	8	8.2	0.2	R		-99
175 4	GN_4567 S-9	9.5	9.7	0.2	R		-99
175 5	GN_4973 S-1	1.8	2.2	0.4	R		-99
175 6	GN_4973 S-1	3	4.5	1.5		60	-99
175 7	GN_4973 S-1	4.5	6.25	1.75		50	-99
175 8	GN_4973 S-1	6.25	8	1.75		30	-99
175 9	GN_4973 S-2	1	1.6	0.6	10		10
176 0	GN_4973 S-2	3.5	4.1	0.6	6		6
176 1	GN_4973 S-2	4.5	6	1.5		50	-99
176 2	GN_4973 S-3	2	2.6	0.6	15		15
176 3	GN_4973 S-3	4	4.6	0.6	10		10
176 4	GN_4973 S-3	5.5	6.5	1		40	-99
176 5	GN_4973 P-1	0	0.2	0.2		17	15
176 6	GN_4973 P-1	0.2	0.4	0.2		13	13
176 7	GN_4973 P-1	0.4	0.6	0.2		11	12
176 8	GN_4973 P-1	0.6	0.8	0.2		15	14
176 9	GN_4973 P-1	0.8	1	0.2		45	20
177 0	GN_4973 P-1	1	1.2	0.2		80	24
177 1	GN_4973 P-1	1.2	1.4	0.2		40	20
177 2	GN_4973 P-1	1.4	1.6	0.2		100	25
177 3	GN_4973 P-2	0	0.2	0.2		9	11
177 4	GN_4973 P-2	0.2	0.4	0.2		9	11
177 5	GN_4973 P-2	0.4	0.6	0.2		12	13
177 6	GN_4973 P-2	0.6	0.8	0.2		12	13
177 7	GN_4973 P-2	0.8	1	0.2		8	11

177 8	GN_4973 P-2	1	1.2	0.2		7	10
177 9	GN_4973 P-2	1.2	1.4	0.2		5	8
178 0	GN_4973 P-2	1.4	1.6	0.2		6	9
178 1	GN_4973 P-2	1.6	1.8	0.2		10	12
178 2	GN_4973 P-2	1.8	2	0.2		10	12
178 3	GN_4973 P-2	2	2.2	0.2		13	13
178 4	GN_4973 P-2	2.2	2.4	0.2		12	13
178 5	GN_4973 P-2	2.4	2.6	0.2		100	25
178 6	GN_5048 S-1	1.5	2.1	0.6	17		17
178 7	GN_5048 S-1	3	3.6	0.6	8		8
178 8	GN_5048 S-1	4	4.6	0.6	13		13
178 9	GN_5048 S-1	6	6.2	0.2	R		-99
179 0	GN_5048 S-2	1.5	2.1	0.6	10		10
179 1	GN_5048 S-2	3	3.6	0.6	31		31
179 2	GN_5048 S-2	4	4.2	0.2	R		-99
179 3	GN_5048 S-2	6	6.2	0.2	R		-99
179 4	GN_5048 S-3	1.5	2.1	0.6	9		9
179 5	GN_5048 S-3	3	3.6	0.6	6		6
179 6	GN_5048 S-3	4.5	5.1	0.6	6		6
179 7	GN_5048 S-3	6	6.4	0.4	R		-99
179 8	GN_5048 S-3	8	8.4	0.4	R		-99
179 9	GN_5152 S-1	1.2	1.8	0.6	32		32
180 0	GN_5152 S-1	2.7	3.3	0.6	14		14
180 1	GN_5152 S-1	4.4	5	0.6	54 R		-99
180 2	GN_5152 S-1	6	6.1	0.1	R		-99

1803	GN_5152 P-1	0	0.2	0.2	7	9
1804	GN_5152 P-1	0.2	0.4	0.2	10	11
1805	GN_5152 P-1	0.4	0.6	0.2	8	10
1806	GN_5152 P-1	0.6	0.8	0.2	7	9
1807	GN_5152 P-1	0.8	1	0.2	8	10
1808	GN_5152 P-1	1	1.2	0.2	12	12
1809	GN_5152 P-1	1.2	1.4	0.2	10	11
1810	GN_5152 P-1	1.4	1.6	0.2	5	7
1811	GN_5152 P-1	1.6	1.8	0.2	5	7
1812	GN_5152 P-1	1.8	2	0.2	8	10
1813	GN_5152 P-1	2	2.2	0.2	9	10
1814	GN_5152 P-1	2.2	2.4	0.2	18	14
1815	GN_5152 P-1	2.4	2.6	0.2	16	14
1816	GN_5152 P-1	2.6	2.8	0.2	8	10
1817	GN_5152 P-1	2.8	3	0.2	9	10
1818	GN_5152 P-1	3	3.2	0.2	10	11
1819	GN_5152 P-1	3.2	3.4	0.2	10	11
1820	GN_5152 P-1	3.4	3.6	0.2	11	12
1821	GN_5152 P-1	3.6	3.8	0.2	9	10
1822	GN_5152 P-1	3.8	4	0.2	10	11
1823	GN_5152 P-1	4	4.2	0.2	12	12
1824	GN_5152 P-1	4.2	4.4	0.2	13	12
1825	GN_5152 P-1	4.4	4.6	0.2	28	17
1826	GN_5152 P-1	4.6	4.8	0.2	17	14
1827	GN_5152 P-1	4.8	5	0.2	21	15

182 8	GN_5152 P-1	5	5.2	0.2	34	18
182 9	GN_5152 P-1	5.2	5.4	0.2	55	21
183 0	GN_5152 P-1	5.4	5.6	0.2	100	24
183 1	GN_5152 S-2	1.5	2.1	0.6	18	18
183 2	GN_5152 S-2	2.8	3.3	0.5	24	24
183 3	GN_5152 S-2	4.1	4.15	0.05	R	-99
183 4	GN_5996 P-5	0	0.2	0.2	16	14
183 5	GN_5996 P-5	0.2	0.4	0.2	23	16
183 6	GN_5996 P-5	0.4	0.6	0.2	25	16
183 7	GN_5996 P-5	0.6	0.8	0.2	21	15
183 8	GN_5996 P-5	0.8	1	0.2	16	14
183 9	GN_5996 P-5	1	1.2	0.2	13	12
184 0	GN_5996 P-5	1.2	1.4	0.2	11	12
184 1	GN_5996 P-5	1.4	1.6	0.2	10	11
184 2	GN_5996 P-5	1.6	1.8	0.2	19	15
184 3	GN_5996 P-5	1.8	2	0.2	18	14
184 4	GN_5996 P-5	2	2.2	0.2	99	24
184 5	GN_5996 P-5	2.2	2.4	0.2	99	24
184 6	GN_5996 P-5	2.4	2.6	0.2	100	24
184 7	GN_5996 P-1	0	0.2	0.2	6	8
184 8	GN_5996 P-1	0.2	0.4	0.2	8	10
184 9	GN_5996 P-1	0.4	0.6	0.2	6	8
185 0	GN_5996 P-1	0.6	0.8	0.2	4	6
185 1	GN_5996 P-1	0.8	1	0.2	6	8
185 2	GN_5996 P-1	1	1.2	0.2	6	8

185 3	GN_5996 P-1	1.2	1.4	0.2	5	7
185 4	GN_5996 P-1	1.4	1.6	0.2	6	8
185 5	GN_5996 P-1	1.6	1.8	0.2	5	7
185 6	GN_5996 P-1	1.8	2	0.2	5	7
185 7	GN_5996 P-1	2	2.2	0.2	6	8
185 8	GN_5996 P-1	2.2	2.4	0.2	5	7
185 9	GN_5996 P-1	2.4	2.6	0.2	21	15
186 0	GN_5996 P-1	2.6	2.8	0.2	99	24
186 1	GN_5996 P-1	2.8	3	0.2	100	24
186 2	GN_5996 P-6	0	0.2	0.2	6	8
186 3	GN_5996 P-6	0.2	0.4	0.2	7	9
186 4	GN_5996 P-6	0.4	0.6	0.2	6	8
186 5	GN_5996 P-6	0.6	0.8	0.2	6	8
186 6	GN_5996 P-6	0.8	1	0.2	5	7
186 7	GN_5996 P-6	1	1.2	0.2	5	7
186 8	GN_5996 P-6	1.2	1.4	0.2	7	9
186 9	GN_5996 P-6	1.4	1.6	0.2	6	8
187 0	GN_5996 P-6	1.6	1.8	0.2	7	9
187 1	GN_5996 P-6	1.8	2	0.2	9	10
187 2	GN_5996 P-6	2	2.2	0.2	20	15
187 3	GN_5996 P-6	2.2	2.4	0.2	34	18
187 4	GN_5996 P-6	2.4	2.6	0.2	26	16
187 5	GN_5996 P-6	2.6	2.8	0.2	99	24
187 6	GN_5996 P-6	2.8	3	0.2	99	24
187 7	GN_5996 P-6	3	3.2	0.2	100	24

187 8	GN_5996 P-2	0	0.2	0.2	25	16
187 9	GN_5996 P-2	0.2	0.4	0.2	28	17
188 0	GN_5996 P-2	0.4	0.6	0.2	39	19
188 1	GN_5996 P-2	0.6	0.8	0.2	26	16
188 2	GN_5996 P-2	0.8	1	0.2	61	21
188 3	GN_5996 P-2	1	1.2	0.2	99	24
188 4	GN_5996 P-2	1.2	1.4	0.2	99	24
188 5	GN_5996 P-2	1.4	1.6	0.2	100	24
188 6	GN_6152 P-3	0	0.2	0.2	6	9
188 7	GN_6152 P-3	0.2	0.4	0.2	8	11
188 8	GN_6152 P-3	0.4	0.6	0.2	13	13
188 9	GN_6152 P-3	0.6	0.8	0.2	20	16
189 0	GN_6152 P-3	0.8	1	0.2	24	17
189 1	GN_6152 P-3	1	1.2	0.2	25	17
189 2	GN_6152 P-3	1.2	1.4	0.2	24	17
189 3	GN_6152 P-3	1.4	1.6	0.2	25	17
189 4	GN_6152 P-3	1.6	1.8	0.2	23	17
189 5	GN_6152 P-3	1.8	2	0.2	23	17
189 6	GN_6152 P-3	2	2.2	0.2	25	17
189 7	GN_6152 P-3	2.2	2.4	0.2	25	17
189 8	GN_6152 P-3	2.4	2.6	0.2	26	17
189 9	GN_6152 P-3	2.6	2.8	0.2	21	16
190 0	GN_6152 P-3	2.8	3	0.2	21	16
190 1	GN_6152 P-3	3	3.2	0.2	19	15
190 2	GN_6152 P-3	3.2	3.4	0.2	37	19

190 3	GN_6152 P-3	3.4	3.6	0.2		65	22
190 4	GN_6152 P-3	3.6	3.8	0.2		100	25
190 5	GN_6152 S-2	3	3.01	0.01	R		-99
190 6	GN_6152 S-2	4.5	4.54	0.04	R		-99
190 7	GN_6152 S-2	6.5	6.51	0.01	R		-99
190 8	GN_6152 S-2	2.5	3	0.5		85	-99
190 9	GN_6152 S-2	3	4	1		73	-99
191 0	GN_6152 S-2	4	7	3		100	-99
191 1	GN_6152 S-1	3	7	4		100	-99
191 2	GN_6152 S-1	7	8	1		80	-99

10.5. TAULA “GEOL” MODIFICADA

DHID	FROM	TO	THICK	SEAM	LITHO
AO_024_08 CM-ETFII-11	0	0.01	0.01	ROOF	RF
AO_024_08 CM-ETFII-11	0.01	0.1	0.09	ANT	AN
AO_024_08 CM-ETFII-11	0.1	2.1	2	TER	LT
AO_024_08 CM-ETFII-11	2.1	2.39	0.29	TER	GS
AO_024_08 CM-ETFII-11	2.39	2.4	0.01	FLOOR	FR
AR_013_04 S-1	0	0.01	0.01	ROOF	RF
AR_013_04 S-1	0.01	1.2	1.19	ANT	AN
AR_013_04 S-1	1.2	1.8	0.6	TER	MG
AR_013_04 S-1	1.8	8.99	7.19	TER	MG
AR_013_04 S-1	8.99	9	0.01	FLOOR	FR
AR_013_04 S-2	0	0.01	0.01	ROOF	RF
AR_013_04 S-2	0.01	1.2	1.19	ANT	AN
AR_013_04 S-2	1.2	2.1	0.9	TER	MG
AR_013_04 S-2	2.1	7.99	5.89	TER	MG
AR_013_04 S-2	7.99	8	0.01	FLOOR	FR
AR_013_04 S-3	0	0.01	0.01	ROOF	RF
AR_013_04 S-3	0.01	2.6	2.59	ANT	AN
AR_013_04 S-3	2.6	3.7	1.1	TER	MG
AR_013_04 S-3	3.7	8.99	5.29	TER	MG
AR_013_04 S-3	8.99	9	0.01	FLOOR	FR
AR_041_00 S-3	0	0.01	0.01	ROOF	RF
AR_041_00 S-3	0.01	1	0.99	ANT	AN
AR_041_00 S-3	1	1.8	0.8	Qt3	GR
AR_041_00 S-3	1.8	5.32	3.52	Qt3	GR
AR_041_00 S-3	5.32	6.3	0.98	TER	MG
AR_041_00 S-3	6.3	8.8	2.5	TER	MG
AR_041_00 S-3	8.8	9.34	0.54	TER	GS
AR_041_00 S-3	9.34	9.99	0.65	TER	GS
AR_041_00 S-3	9.99	10	0.01	FLOOR	FR
AR_041_00 S-2	0	0.01	0.01	ROOF	RF
AR_041_00 S-2	0.01	0.35	0.34	Qt3	MU
AR_041_00 S-2	0.35	1.5	1.15	Qt3	GR
AR_041_00 S-2	1.5	2.35	0.85	Qt3	GR
AR_041_00 S-2	2.35	4.2	1.85	TER	MG
AR_041_00 S-2	4.2	4.8	0.6	TER	GS
AR_041_00 S-2	4.8	6.28	1.48	TER	GS
AR_041_00 S-2	6.28	7.85	1.57	TER	GS
AR_041_00 S-1	0.23	1.71	1.48	Qt3	MU
AR_041_00 S-1	1.71	3.13	1.42	Qt3	GR
AR_041_00 S-1	3.13	3.7	0.57	TER	MG
AR_041_00 S-1	3.7	4.87	1.17	TER	MG
AR_041_00 S-1	4.87	5.4	0.53	TER	MG
AR_041_00 S-1	5.4	6	0.6	TER	MG

AR_041_00 S-1	6	6.54	0.54	TER	GS
AR_041_00 S-1	6.54	7.99	1.45	TER	GS
AR_041_00 S-1	7.99	8	0.01	FLOOR	FR
AR_076_02 S-1	0	0.01	0.01	ROOF	RF
AR_076_02 S-1	0.01	1	0.99	ANT	AN
AR_076_02 S-1	1	2.2	1.2	Qac	CL
AR_076_02 S-1	2.2	7	4.8	TER	MG
AR_076_02 S-1	7	10.99	3.99	TER	GS
AR_076_02 S-1	10.99	11	0.01	FLOOR	FR
AR_076_02 S-2	0	0.01	0.01	ROOF	RF
AR_076_02 S-2	0.01	1.7	1.69	ANT	AN
AR_076_02 S-2	1.7	6	4.3	Qac	CL
AR_076_02 S-2	6	7.3	1.3	TER	GS
AR_076_02 S-2	7.3	7.5	0.2	TER	GS
AR_076_02 S-2	7.5	8.9	1.4	TER	MG
AR_076_02 S-2	8.9	9.2	0.3	TER	GS
AR_076_02 S-2	9.2	10	0.8	TER	MG
AR_076_02 S-2	10	14.79	4.79	TER	GS
AR_076_02 S-2	14.79	14.8	0.01	FLOOR	FR
AR_076_02 S-4	0	0.01	0.01	ROOF	RF
AR_076_02 S-4	0.01	2.4	2.39	Qac	CL
AR_076_02 S-4	2.4	6.5	4.1	TER	MG
AR_076_02 S-4	6.5	11.49	4.99	TER	GS
AR_076_02 S-4	11.49	11.5	0.01	FLOOR	FR
AR_076_02 S-3	0	0.01	0.01	ROOF	RF
AR_076_02 S-3	0.01	2.1	2.09	TER	MG
AR_076_02 S-3	2.1	7.1	5	TER	MG
AR_076_02 S-3	7.1	11.99	4.89	TER	GS
AR_076_02 S-3	11.99	12	0.01	FLOOR	FR
AR_146_02 S-1	0	0.01	0.01	ROOF	RF
AR_146_02 S-1	0.01	1.1	1.09	ANT	AN
AR_146_02 S-1	1.1	3.4	2.3	TER	GS
AR_146_02 S-1	3.4	9.99	6.59	TER	GS
AR_146_02 S-1	9.99	10	0.01	FLOOR	FR
AR_146_02 S-3	0	0.01	0.01	ROOF	RF
AR_146_02 S-3	0.01	0.6	0.59	ANT	AN
AR_146_02 S-3	0.6	4.1	3.5	TER	GS
AR_146_02 S-3	4.1	9.59	5.49	TER	GS
AR_146_02 S-3	9.59	9.6	0.01	FLOOR	FR
AR_146_02 S-2	0	0.01	0.01	ROOF	RF
AR_146_02 S-2	0.01	0.6	0.59	ANT	AN
AR_146_02 S-2	0.6	3.4	2.8	TER	GS
AR_146_02 S-2	3.4	7.99	4.59	TER	GS
AR_146_02 S-2	7.99	8	0.01	FLOOR	FR
AR_146_02 S-4	0	0.01	0.01	ROOF	RF
AR_146_02 S-4	0.01	0.2	0.19	ANT	AN

AR_146_02 S-4	0.2	2.6	2.4	TER	GS
AR_146_02 S-4	2.6	7.79	5.19	TER	GS
AR_146_02 S-4	7.79	7.8	0.01	FLOOR	FR
AR_146_02 S-8	0	0.01	0.01	ROOF	RF
AR_146_02 S-8	0.01	1.1	1.09	ANT	AN
AR_146_02 S-8	1.1	3	1.9	TER	GS
AR_146_02 S-8	3	8.99	5.99	TER	GS
AR_146_02 S-8	8.99	9	0.01	FLOOR	FR
AR_146_02 S-6	0	0.01	0.01	ROOF	RF
AR_146_02 S-6	0.01	0.4	0.39	ANT	AN
AR_146_02 S-6	0.4	1.5	1.1	TER	GS
AR_146_02 S-6	1.5	7.89	6.39	TER	GS
AR_146_02 S-6	7.89	7.9	0.01	FLOOR	FR
AR_146_02 S-5	0	0.01	0.01	ROOF	RF
AR_146_02 S-5	0.01	1.4	1.39	ANT	AN
AR_146_02 S-5	1.4	2.6	1.2	TER	GS
AR_146_02 S-5	2.6	8.99	6.39	TER	GS
AR_146_02 S-5	8.99	9	0.01	FLOOR	FR
AR_146_02 S-7	0	0.01	0.01	ROOF	RF
AR_146_02 S-7	0.01	1.1	1.09	ANT	AN
AR_146_02 S-7	1.1	4.1	3	TER	GS
AR_146_02 S-7	4.1	8.99	4.89	TER	GS
AR_146_02 S-7	8.99	9	0.01	FLOOR	FR
AR_153_02 S-1	0	0.01	0.01	ROOF	RF
AR_153_02 S-1	0.01	2.9	2.89	Qac	CL
AR_153_02 S-1	2.9	5.2	2.3	TER	MG
AR_153_02 S-1	5.2	10.99	5.79	TER	GS
AR_153_02 S-1	10.99	11	0.01	FLOOR	FR
AR_153_02 S-5	0	0.01	0.01	ROOF	RF
AR_153_02 S-5	0.01	2.2	2.19	Qac	CL
AR_153_02 S-5	2.2	7	4.8	TER	MG
AR_153_02 S-5	7	11.99	4.99	TER	GS
AR_153_02 S-5	11.99	12	0.01	FLOOR	FR
AR_153_02 S-2	0	0.01	0.01	ROOF	RF
AR_153_02 S-2	0.01	0.9	0.89	Qac	CL
AR_153_02 S-2	0.9	2.1	1.2	Qac	GR
AR_153_02 S-2	2.1	5.9	3.8	TER	MG
AR_153_02 S-2	5.9	11.99	6.09	TER	GS
AR_153_02 S-2	11.99	12	0.01	FLOOR	FR
AR_153_02 S-4	0	0.01	0.01	ROOF	RF
AR_153_02 S-4	0.01	2.2	2.19	Qac	CL
AR_153_02 S-4	2.2	5.5	3.3	TER	MG
AR_153_02 S-4	5.5	10.99	5.49	TER	GS
AR_153_02 S-4	10.99	11	0.01	FLOOR	FR
AR_153_02 S-3	0	0.01	0.01	ROOF	RF
AR_153_02 S-3	0.01	2.2	2.19	Qac	CL

AR_153_02 S-3	2.2	6.1	3.9	TER	MG
AR_153_02 S-3	6.1	11.99	5.89	TER	GS
AR_153_02 S-3	11.99	12	0.01	FLOOR	FR
GN_1113 S-1	0	0.01	0.01	ROOF	RF
GN_1113 S-1	0.01	4.5	4.49	ANT	AN
GN_1113 S-1	4.5	9.99	5.49	TER	MG
GN_1113 S-1	9.99	10	0.01	FLOOR	FR
GN_1113 S-2	0	0.01	0.01	ROOF	RF
GN_1113 S-2	0.01	1.2	1.19	ANT	AN
GN_1113 S-2	1.2	2.5	1.3	Qac	MG
GN_1113 S-2	2.5	5.99	3.49	TER	MG
GN_1113 S-2	5.99	6	0.01	FLOOR	FR
GN_1113 S-3	0	0.01	0.01	ROOF	RF
GN_1113 S-3	0.01	0.7	0.69	ANT	AN
GN_1113 S-3	0.7	4.99	4.29	TER	MG
GN_1113 S-3	4.99	5	0.01	FLOOR	FR
GN_1113 S-4	0	0.01	0.01	ROOF	RF
GN_1113 S-4	0.01	1.8	1.79	ANT	AN
GN_1113 S-4	1.8	5.99	4.19	TER	MG
GN_1113 S-4	5.99	6	0.01	FLOOR	FR
GN_1113 S-5	0	0.01	0.01	ROOF	RF
GN_1113 S-5	0.01	0.6	0.59	ANT	AN
GN_1113 S-5	0.6	0.8	0.2	Qac	CL
GN_1113 S-5	0.8	5.99	5.19	TER	MG
GN_1113 S-5	5.99	6	0.01	FLOOR	FR
GN_1113 S-6	0	0.01	0.01	ROOF	RF
GN_1113 S-6	0.01	0.8	0.79	ANT	AN
GN_1113 S-6	0.8	5.99	5.19	TER	MG
GN_1113 S-6	5.99	6	0.01	FLOOR	FR
GN_1116 S-7	0	0.01	0.01	ROOF	RF
GN_1116 S-7	0.01	3.1	3.09	Qac	MU
GN_1116 S-7	3.1	6.2	3.1	TER	MG
GN_1116 S-7	6.2	8.99	2.79	TER	GS
GN_1116 S-7	8.99	9	0.01	FLOOR	FR
GN_1116 S-6	0	0.01	0.01	ROOF	RF
GN_1116 S-6	0.01	1.5	1.49	Qac	MU
GN_1116 S-6	1.5	6.2	4.7	TER	MG
GN_1116 S-6	6.2	7.39	1.19	TER	GS
GN_1116 S-6	7.39	7.4	0.01	FLOOR	FR
GN_1116 S-1	0	0.01	0.01	ROOF	RF
GN_1116 S-1	0.01	0.4	0.39	ANT	AN
GN_1116 S-1	0.4	5.95	5.55	Qac	MU
GN_1116 S-1	5.95	8.49	2.54	TER	GS
GN_1116 S-1	8.49	8.5	0.01	FLOOR	FR
GN_1116 S-2	0	0.01	0.01	ROOF	RF
GN_1116 S-2	0.01	0.4	0.39	ANT	AN

GN_1116 S-2	0.4	7.2	6.8	Qac	MU
GN_1116 S-2	7.2	8.3	1.1	TER	MG
GN_1116 S-2	8.3	8.75	0.45	TER	GS
GN_1116 S-2	8.75	13.69	4.94	TER	MG
GN_1116 S-2	13.69	13.7	0.01	FLOOR	FR
GN_1116 S-3	0	0.01	0.01	ROOF	RF
GN_1116 S-3	0.01	0.5	0.49	ANT	AN
GN_1116 S-3	0.5	7.2	6.7	Qac	MU
GN_1116 S-3	7.2	8.6	1.4	Qac	CL
GN_1116 S-3	8.6	11.29	2.69	TER	GS
GN_1116 S-3	11.29	11.3	0.01	FLOOR	FR
GN_1116 S-4	0	0.01	0.01	ROOF	RF
GN_1116 S-4	0.01	0.4	0.39	ANT	AN
GN_1116 S-4	0.4	6.85	6.45	Qac	MU
GN_1116 S-4	6.85	10	3.15	Qac	CL
GN_1116 S-5	0	0.01	0.01	ROOF	RF
GN_1116 S-5	0.01	6.3	6.29	Qac	MU
GN_1116 S-5	6.3	6.9	0.6	TER	GS
GN_1116 S-5	6.9	9	2.1	Qac	CL
GN_1119 S-2	0	0.01	0.01	ROOF	RF
GN_1119 S-2	0.01	2.4	2.39	Qac	CL
GN_1119 S-2	2.4	19.99	17.59	TER	MG
GN_1119 S-2	19.99	20	0.01	FLOOR	FR
GN_1119 S-3	0	0.01	0.01	ROOF	RF
GN_1119 S-3	0.01	5	4.99	Qac	CL
GN_1119 S-3	5	19.99	14.99	TER	MG
GN_1119 S-3	19.99	20	0.01	FLOOR	FR
GN_1119 S-4	0	0.01	0.01	ROOF	RF
GN_1119 S-4	0.01	4.6	4.59	Qac	CL
GN_1119 S-4	4.6	8.2	3.6	TER	MG
GN_1119 S-4	8.2	12	3.8	TER	GS
GN_1119 S-4	12	16.4	4.4	TER	MG
GN_1119 S-4	16.4	18.4	2	TER	GS
GN_1119 S-4	18.4	20.09	1.69	TER	MG
GN_1119 S-4	20.09	20.1	0.01	FLOOR	FR
GN_1119 S-5	0	0.01	0.01	ROOF	RF
GN_1119 S-5	0.01	3	2.99	Qac	CL
GN_1119 S-5	3	5	2	TER	GS
GN_1119 S-5	5	11.9	6.9	TER	MG
GN_1119 S-5	11.9	12.4	0.5	TER	GS
GN_1119 S-5	12.4	13.28	0.88	TER	MG
GN_1119 S-5	13.28	15.1	1.82	TER	GS
GN_1119 S-5	15.1	20.14	5.04	TER	MG
GN_1119 S-5	20.14	20.15	0.01	FLOOR	FR
GN_1119 S-6	0	0.01	0.01	ROOF	RF
GN_1119 S-6	0.01	10	9.99	Qac	CL

GN_1119 S-6	10	14	4	TER	CG
GN_1119 S-6	14	20.04	6.04	TER	GS
GN_1119 S-6	20.04	20.05	0.01	FLOOR	FR
GN_1119 S-7	0	0.01	0.01	ROOF	RF
GN_1119 S-7	0.01	0.5	0.49	Qac	CL
GN_1119 S-7	0.5	20.09	19.59	TER	MG
GN_1119 S-7	20.09	20.1	0.01	FLOOR	FR
GN_1119 S-8	0	0.01	0.01	ROOF	RF
GN_1119 S-8	0.01	19.99	19.98	TER	MG
GN_1119 S-8	19.99	20	0.01	FLOOR	FR
GN_1119 S-1	0	0.01	0.01	ROOF	RF
GN_1119 S-1	0.01	2	1.99	Qac	CL
GN_1119 S-1	2	10	8	TER	MG
GN_1119 S-1	10	12	2	TER	GS
GN_1119 S-1	12	20.14	8.14	TER	MG
GN_1119 S-1	20.14	20.15	0.01	FLOOR	FR
GN_1124 S-1	0	0.01	0.01	ROOF	RF
GN_1124 S-1	0.01	0.9	0.89	ANT	AN
GN_1124 S-1	0.9	6.1	5.2	Qt3	MU
GN_1124 S-1	6.1	7.2	1.1	Qt3	CL
GN_1124 S-1	7.2	9.1	1.9	Qt3	GR
GN_1124 S-1	9.1	9.49	0.39	TER	MG
GN_1124 S-1	9.49	9.5	0.01	FLOOR	FR
GN_1124 S-2	0	0.01	0.01	ROOF	RF
GN_1124 S-2	0.01	0.6	0.59	ANT	AN
GN_1124 S-2	0.6	6	5.4	Qt3	MU
GN_1124 S-2	6	6.6	0.6	Qt3	CL
GN_1124 S-2	6.6	7.1	0.5	TER	CG
GN_1124 S-2	7.1	8.29	1.19	TER	MG
GN_1124 S-2	8.29	8.3	0.01	FLOOR	FR
GN_1124 S-3	0	0.01	0.01	ROOF	RF
GN_1124 S-3	0.01	0.6	0.59	ANT	AN
GN_1124 S-3	0.6	5.6	5	Qt3	MU
GN_1124 S-3	5.6	6.8	1.2	Qt3	CL
GN_1124 S-3	6.8	7.2	0.4	Qac	SD
GN_1124 S-4	0	0.01	0.01	ROOF	RF
GN_1124 S-4	0.01	0.3	0.29	ANT	AN
GN_1124 S-4	0.3	5.5	5.2	Qt3	MU
GN_1124 S-4	5.5	7	1.5	Qac	SD
GN_1124 S-4	7	8.49	1.49	TER	MG
GN_1124 S-4	8.49	8.5	0.01	FLOOR	FR
GN_1124 S-5	0	0.01	0.01	ROOF	RF
GN_1124 S-5	0.01	1.1	1.09	ANT	AN
GN_1124 S-5	1.1	6.4	5.3	Qt3	MU
GN_1124 S-5	6.4	7.1	0.7	Qac	CL
GN_1124 S-5	7.1	8.5	1.4	Qac	SD

GN_1124 S-6	0	0.01	0.01	ROOF	RF
GN_1124 S-6	0.01	2.1	2.09	ANT	AN
GN_1124 S-6	2.1	6.5	4.4	Qt3	MU
GN_1124 S-6	6.5	7.5	1	Qac	CL
GN_1124 S-6	7.5	9	1.5	Qac	MG
GN_1124 S-7	0	0.01	0.01	ROOF	RF
GN_1124 S-7	0.01	1.5	1.49	ANT	AN
GN_1124 S-7	1.5	6.1	4.6	Qt3	MU
GN_1124 S-7	6.1	7	0.9	Qac	CL
GN_1124 S-7	7	7.6	0.6	Qac	SD
GN_1124 S-7	7.6	8.7	1.1	Qac	MG
GN_1124 S-8	0	0.01	0.01	ROOF	RF
GN_1124 S-8	0.01	1	0.99	ANT	AN
GN_1124 S-8	1	6	5	Qt3	MU
GN_1124 S-8	6	7	1	Qac	CL
GN_1124 S-8	7	7.9	0.9	Qac	SD
GN_1124 S-8	7.9	9.3	1.4	Qac	MG
GN_1124 S-9	0	0.01	0.01	ROOF	RF
GN_1124 S-9	0.01	0.5	0.49	ANT	AN
GN_1124 S-9	0.5	7.4	6.9	Qt3	MU
GN_1124 S-9	7.4	8.5	1.1	Qt3	GR
GN_1124 S-9	8.5	8.89	0.39	TER	MG
GN_1124 S-9	8.89	8.9	0.01	FLOOR	FR
GN_1668 S-1	0	0.01	0.01	ROOF	RF
GN_1668 S-1	0.01	2	1.99	Qac	MU
GN_1668 S-1	2	4.99	2.99	TER	GS
GN_1668 S-1	4.99	5	0.01	FLOOR	FR
GN_1668 S-2	0	0.01	0.01	ROOF	RF
GN_1668 S-2	0.01	1	0.99	Qac	MU
GN_1668 S-2	1	5.49	4.49	TER	GS
GN_1668 S-2	5.49	5.5	0.01	FLOOR	FR
GN_1668 S-4	0	0.01	0.01	ROOF	RF
GN_1668 S-4	0.01	0.5	0.49	Qac	MU
GN_1668 S-4	0.5	4.99	4.49	TER	GS
GN_1668 S-4	4.99	5	0.01	FLOOR	FR
GN_1668 S-3	0	0.01	0.01	ROOF	RF
GN_1668 S-3	0.01	0.4	0.39	Qac	MU
GN_1668 S-3	0.4	5.24	4.84	TER	GS
GN_1668 S-3	5.24	5.25	0.01	FLOOR	FR
GN_1716_004 S-2	0	0.01	0.01	ROOF	RF
GN_1716_004 S-2	0.01	0.3	0.29	ANT	AN
GN_1716_004 S-2	0.3	5	4.7	Qac	LT
GN_1716_004 S-2	5	6	1	TER	MG
GN_1716_004 S-2	6	6.12	0.12	TER	GS
GN_1716_004 S-2	6.12	7.1	0.98	TER	LT
GN_1716_004 S-2	7.1	7.2	0.1	TER	GS

GN_1716_004 S-2	7.2	7.65	0.45	TER	LT
GN_1716_004 S-2	7.65	8.4	0.75	TER	GS
GN_1716_004 S-2	8.4	11.99	3.59	TER	LT
GN_1716_004 S-2	11.99	12	0.01	FLOOR	FR
GN_1716_004 S-1	0	0.01	0.01	ROOF	RF
GN_1716_004 S-1	0.01	1.8	1.79	Qac	MU
GN_1716_004 S-1	1.8	2.4	0.6	TER	LT
GN_1716_004 S-1	2.4	3.05	0.65	TER	GS
GN_1716_004 S-1	3.05	4.2	1.15	TER	CG
GN_1716_004 S-1	4.2	7.4	3.2	TER	LT
GN_1716_004 S-1	7.4	7.5	0.1	TER	GS
GN_1716_004 S-1	7.5	7.7	0.2	TER	LT
GN_1716_004 S-1	7.7	7.9	0.2	TER	MG
GN_1716_004 S-1	7.9	8.4	0.5	TER	LT
GN_1716_004 S-1	8.4	8.5	0.1	TER	MG
GN_1716_004 S-1	8.5	9.15	0.65	TER	LT
GN_1716_004 S-1	9.15	9.6	0.45	TER	GS
GN_1716_004 S-1	9.6	10.3	0.7	TER	LT
GN_1716_004 S-1	10.3	10.45	0.15	TER	GS
GN_1716_004 S-1	10.45	10.7	0.25	TER	LT
GN_1716_004 S-1	10.7	11	0.3	TER	GS
GN_1716_004 S-1	11	11.4	0.4	TER	LT
GN_1716_004 S-1	11.4	11.65	0.25	TER	MG
GN_1716_004 S-1	11.65	11.99	0.34	TER	LT
GN_1716_004 S-1	11.99	12	0.01	FLOOR	FR
GN_1717_005 S-1	0	0.01	0.01	ROOF	RF
GN_1717_005 S-1	0.01	4.5	4.49	ANT	AN
GN_1717_005 S-1	4.5	5.5	1	Qac	SD
GN_1717_005 S-1	5.5	8.25	2.75	Qac	GR
GN_1717_005 S-1	8.25	9.3	1.05	TER	MG
GN_1717_005 S-1	9.3	12.29	2.99	TER	GS
GN_1717_005 S-1	12.29	12.3	0.01	FLOOR	FR
GN_2129 S-4	0	0.01	0.01	ROOF	RF
GN_2129 S-4	0.01	3.4	3.39	Qac	CL
GN_2129 S-4	3.4	4	0.6	TER	MG
GN_2129 S-4	4	5.99	1.99	TER	GS
GN_2129 S-4	5.99	6	0.01	FLOOR	FR
GN_2129 S-3	0	0.01	0.01	ROOF	RF
GN_2129 S-3	0.01	2.3	2.29	Qac	CL
GN_2129 S-3	2.3	3.4	1.1	TER	MG
GN_2129 S-3	3.4	5.99	2.59	TER	GS
GN_2129 S-3	5.99	6	0.01	FLOOR	FR
GN_2129 S-5	0	0.01	0.01	ROOF	RF
GN_2129 S-5	0.01	0.9	0.89	TER	MG
GN_2129 S-5	0.9	8.99	8.09	TER	MG
GN_2129 S-5	8.99	9	0.01	FLOOR	FR

GN_2129 S-6	0	0.01	0.01	ROOF	RF
GN_2129 S-6	0.01	1.1	1.09	TER	MG
GN_2129 S-6	1.1	4.99	3.89	TER	MG
GN_2129 S-6	4.99	5	0.01	FLOOR	FR
GN_2129 S-7	0	0.01	0.01	ROOF	RF
GN_2129 S-7	0.01	1.2	1.19	TER	MG
GN_2129 S-7	1.2	8.99	7.79	TER	MG
GN_2129 S-7	8.99	9	0.01	FLOOR	FR
GN_2129 S-8	0	0.01	0.01	ROOF	RF
GN_2129 S-8	0.01	0.5	0.49	TER	MG
GN_2129 S-8	0.5	4.99	4.49	TER	MG
GN_2129 S-8	4.99	5	0.01	FLOOR	FR
GN_2129 S-1	0	0.01	0.01	ROOF	RF
GN_2129 S-1	0.01	0.4	0.39	ANT	AN
GN_2129 S-1	0.4	1	0.6	TER	MG
GN_2129 S-1	1	4.99	3.99	TER	MG
GN_2129 S-1	4.99	5	0.01	FLOOR	FR
GN_2129 S-2	0	0.01	0.01	ROOF	RF
GN_2129 S-2	0.01	0.5	0.49	ANT	AN
GN_2129 S-2	0.5	0.9	0.4	TER	MG
GN_2129 S-2	0.9	5.99	5.09	TER	MG
GN_2129 S-2	5.99	6	0.01	FLOOR	FR
GN_2301 S-2	0	0.01	0.01	ROOF	RF
GN_2301 S-2	0.01	0.2	0.19	ANT	AN
GN_2301 S-2	0.2	1.2	1	Qac	CL
GN_2301 S-2	1.2	2	0.8	TER	LT
GN_2301 S-2	2	7.39	5.39	TER	ST
GN_2301 S-2	7.39	7.4	0.01	FLOOR	FR
GN_2301 S-1	0	0.01	0.01	ROOF	RF
GN_2301 S-1	0.01	0.2	0.19	ANT	AN
GN_2301 S-1	0.2	0.6	0.4	TER	LT
GN_2301 S-1	0.6	7.49	6.89	TER	ST
GN_2301 S-1	7.49	7.5	0.01	FLOOR	FR
GN_2311 S-1	0	0.01	0.01	ROOF	RF
GN_2311 S-1	0.01	0.15	0.14	ANT	AN
GN_2311 S-1	0.15	2	1.85	Qt3	MU
GN_2311 S-1	2	4	2	Qac	GR
GN_2311 S-1	4	5.99	1.99	TER	GS
GN_2311 S-1	5.99	6	0.01	FLOOR	FR
GN_2457 S-2	0	0.01	0.01	ROOF	RF
GN_2457 S-2	0.01	0.3	0.29	Qac	SD
GN_2457 S-2	0.3	4	3.7	Qac	LT
GN_2457 S-2	4	4.49	0.49	TER	GS
GN_2457 S-2	4.49	4.5	0.01	FLOOR	FR
GN_2519 S-4	0	0.01	0.01	ROOF	RF
GN_2519 S-4	0.01	0.3	0.29	ANT	AN

GN_2519 S-4	0.3	1.5	1.2	Qac	MU
GN_2519 S-4	1.5	3	1.5	TER	LT
GN_2519 S-3	0.1	0.4	0.3	ANT	AN
GN_2519 S-3	0.4	1.9	1.5	Qac	MU
GN_2519 S-3	1.9	4.6	2.7	TER	LT
GN_2519 S-1	0.4	1	0.6	ANT	AN
GN_2519 S-1	1	1	0	Qac	MU
GN_2519 S-1	1.9	6.4	4.5	TER	LT
GN_2519 S-2	0.8	1.4	0.6	ANT	AN
GN_2519 S-2	1.4	2.9	1.5	Qac	MU
GN_2519 S-2	2.9	5.29	2.39	TER	LT
GN_2519 S-2	5.29	5.3	0.01	FLOOR	FR
GN_2520 C-3	0	0.01	0.01	ROOF	RF
GN_2520 C-3	0.01	0.4	0.39	TER	MG
GN_2520 C-3	0.4	0.8	0.4	TER	MG
GN_2520 C-3	0.8	0.99	0.19	TER	GS
GN_2520 C-3	0.99	1	0.01	FLOOR	FR
GN_2520 C-1	0	0.01	0.01	ROOF	RF
GN_2520 C-1	0.01	0.2	0.19	TER	MG
GN_2520 C-1	0.2	2	1.8	TER	MG
GN_2520 C-1	2	2.29	0.29	TER	LT
GN_2520 C-1	2.29	2.3	0.01	FLOOR	FR
GN_2520 C-2	0	0.01	0.01	ROOF	RF
GN_2520 C-2	0.01	0.35	0.34	TER	MG
GN_2520 C-2	0.35	1.1	0.75	TER	MG
GN_2520 C-2	1.1	3	1.9	TER	MG
GN_2520 C-2	3	4.4	1.4	TER	MG
GN_2520 C-2	4.4	4.55	0.15	TER	GS
GN_2520 C-2	4.55	4.74	0.19	TER	LT
GN_2520 C-2	4.74	4.75	0.01	FLOOR	FR
GN_2540 S-1	0	0.01	0.01	ROOF	RF
GN_2540 S-1	0.01	1.5	1.49	Qac	GR
GN_2540 S-1	1.5	2.5	1	Qac	CL
GN_2540 S-1	2.5	3.8	1.3	Qac	MU
GN_2540 S-1	3.8	4.25	0.45	Qac	GR
GN_2540 S-1	4.25	4.55	0.3	Qac	CL
GN_2540 S-1	4.55	5.8	1.25	Qac	CL
GN_2540 S-1	5.8	10.99	5.19	TER	GS
GN_2540 S-1	10.99	11	0.01	FLOOR	FR
GN_2540 S-2	0	0.01	0.01	ROOF	RF
GN_2540 S-2	0.01	0.65	0.64	Qac	GR
GN_2540 S-2	0.65	1	0.35	Qac	GR
GN_2540 S-2	1	5	4	Qac	MU
GN_2540 S-2	5	15	10	Qac	CL
GN_2543 S-2	0	0.01	0.01	ROOF	RF
GN_2543 S-2	0.01	0.2	0.19	ANT	AN

GN_2543 S-2	0.2	0.5	0.3	Qac	MU
GN_2543 S-2	0.5	8.99	8.49	TER	LT
GN_2543 S-2	8.99	9	0.01	FLOOR	FR
GN_2543 S-1	0	0.01	0.01	ROOF	RF
GN_2543 S-1	0.01	1	0.99	Qac	MU
GN_2543 S-1	1	11.99	10.99	TER	LT
GN_2543 S-1	11.99	12	0.01	FLOOR	FR
GN_2543 S-5	0	0.01	0.01	ROOF	RF
GN_2543 S-5	0.01	1	0.99	Qac	MU
GN_2543 S-5	1	10.99	9.99	TER	LT
GN_2543 S-5	10.99	11	0.01	FLOOR	FR
GN_2543 S-4	0	0.01	0.01	ROOF	RF
GN_2543 S-4	0.01	1	0.99	Qac	MU
GN_2543 S-4	1	10.99	9.99	TER	LT
GN_2543 S-4	10.99	11	0.01	FLOOR	FR
GN_2543 S-3	0	0.01	0.01	ROOF	RF
GN_2543 S-3	0.01	0.3	0.29	ANT	AN
GN_2543 S-3	0.3	11.99	11.69	TER	LT
GN_2543 S-3	11.99	12	0.01	FLOOR	FR
GN_2544 C-1	0	0.01	0.01	ROOF	RF
GN_2544 C-1	0.01	3.79	3.78	TER	MG
GN_2544 C-1	3.79	3.8	0.01	FLOOR	FR
GN_2544 C-2	0	0.01	0.01	ROOF	RF
GN_2544 C-2	0.01	0.3	0.29	TER	MG
GN_2544 C-2	0.3	0.6	0.3	TER	GS
GN_2544 C-2	0.6	0.99	0.39	TER	GS
GN_2544 C-2	0.99	1	0.01	FLOOR	FR
GN_2544 C-7	0	0.01	0.01	ROOF	RF
GN_2544 C-7	0.01	4.49	4.48	TER	MG
GN_2544 C-7	4.49	4.5	0.01	FLOOR	FR
GN_2545 C-6	0	0.01	0.01	ROOF	RF
GN_2545 C-6	0.01	0.2	0.19	ANT	AN
GN_2545 C-6	0.2	2.19	1.99	TER	MG
GN_2545 C-6	2.19	2.2	0.01	FLOOR	FR
GN_2545 C-7	0	0.01	0.01	ROOF	RF
GN_2545 C-7	0.01	0.2	0.19	ANT	AN
GN_2545 C-7	0.2	1.19	0.99	TER	MG
GN_2545 C-7	1.19	1.2	0.01	FLOOR	FR
GN_2545 C-5BIS	0	0.01	0.01	ROOF	RF
GN_2545 C-5BIS	0.01	0.2	0.19	ANT	AN
GN_2545 C-5BIS	0.2	0.59	0.39	TER	MG
GN_2545 C-5BIS	0.59	0.6	0.01	FLOOR	FR
GN_2545 C-5	0	0.01	0.01	ROOF	RF
GN_2545 C-5	0.01	0.2	0.19	ANT	AN
GN_2545 C-5	0.2	0.59	0.39	TER	MG
GN_2545 C-5	0.59	0.6	0.01	FLOOR	FR

GN_2545 C-4	0	0.01	0.01	ROOF	RF
GN_2545 C-4	0.01	0.3	0.29	ANT	AN
GN_2545 C-4	0.3	4.19	3.89	TER	MG
GN_2545 C-4	4.19	4.2	0.01	FLOOR	FR
GN_2545 C-9	0	0.01	0.01	ROOF	RF
GN_2545 C-9	0.01	0.4	0.39	ANT	AN
GN_2545 C-9	0.4	3.59	3.19	TER	MG
GN_2545 C-9	3.59	3.6	0.01	FLOOR	FR
GN_2545 C-1	0	0.01	0.01	ROOF	RF
GN_2545 C-1	0.01	0.1	0.09	ANT	AN
GN_2545 C-1	0.1	4.29	4.19	TER	MG
GN_2545 C-1	4.29	4.3	0.01	FLOOR	FR
GN_2545 C-8	0	0.01	0.01	ROOF	RF
GN_2545 C-8	0.01	0.1	0.09	ANT	AN
GN_2545 C-8	0.1	0.39	0.29	TER	MG
GN_2545 C-8	0.39	0.4	0.01	FLOOR	FR
GN_2545 C-8BIS	0	0.01	0.01	ROOF	RF
GN_2545 C-8BIS	0.01	0.4	0.39	ANT	AN
GN_2545 C-8BIS	0.4	3.19	2.79	TER	MG
GN_2545 C-8BIS	3.19	3.2	0.01	FLOOR	FR
GN_2545 C-3	0	0.01	0.01	ROOF	RF
GN_2545 C-3	0.01	2	1.99	ANT	AN
GN_2545 C-3	2	4.29	2.29	TER	MG
GN_2545 C-3	4.29	4.3	0.01	FLOOR	FR
GN_2545 S-1	0	0.01	0.01	ROOF	RF
GN_2545 S-1	0.01	0.1	0.09	ANT	AN
GN_2545 S-1	0.1	8.19	8.09	TER	MG
GN_2545 S-1	8.19	8.2	0.01	FLOOR	FR
GN_2545 C-2	0	0.01	0.01	ROOF	RF
GN_2545 C-2	0.01	0.4	0.39	ANT	AN
GN_2545 C-2	0.4	4.19	3.79	TER	MG
GN_2545 C-2	4.19	4.2	0.01	FLOOR	FR
GN_3124 S-63-5	0	0.01	0.01	ROOF	RF
GN_3124 S-63-5	0.01	1.4	1.39	TER	GS
GN_3124 S-63-5	1.4	1.8	0.4	TER	MG
GN_3124 S-63-5	1.8	2.4	0.6	TER	GS
GN_3124 S-63-5	2.4	2.8	0.4	TER	MG
GN_3124 S-63-5	2.8	5	2.2	TER	CG
GN_3124 S-63-5	5	6.2	1.2	TER	MG
GN_3124 S-63-5	6.2	7.5	1.3	TER	CG
GN_3124 S-63-5	7.5	7.7	0.2	TER	MG
GN_3124 S-63-5	7.7	8.5	0.8	TER	GS
GN_3124 S-63-5	8.5	8.7	0.2	TER	CG
GN_3124 S-63-5	8.7	10	1.3	TER	GS
GN_3124 S-63-5	10	10.8	0.8	TER	CG
GN_3124 S-63-5	10.8	12.3	1.5	TER	MG

GN_3124 S-63-5	12.3	13.6	1.3	TER	CG
GN_3124 S-63-5	13.6	13.7	0.1	TER	MG
GN_3124 S-63-5	13.7	14	0.3	TER	CG
GN_3124 S-63-5	14	14.2	0.2	TER	MG
GN_3124 S-63-5	14.2	14.5	0.3	TER	GS
GN_3124 S-63-5	14.5	14.6	0.1	TER	GS
GN_3124 S-63-5	14.6	15	0.4	TER	CG
GN_3124 S-63-5	15	18.8	3.8	TER	MG
GN_3124 S-63-5	18.8	19.1	0.3	TER	GS
GN_3124 S-63-5	19.1	20	0.9	TER	MG
GN_3124 S-63-5	20	20.8	0.8	TER	GS
GN_3124 S-63-5	20.8	21.4	0.6	TER	MG
GN_3124 S-63-5	21.4	22.2	0.8	TER	CG
GN_3124 S-63-5	22.2	25.8	3.6	TER	MG
GN_3124 S-63-5	25.8	26.2	0.4	TER	GS
GN_3124 S-63-5	26.2	26.4	0.2	TER	MG
GN_3124 S-63-5	26.4	28.6	2.2	TER	GS
GN_3124 S-63-5	28.6	30	1.4	TER	MG
GN_3124 S-63-5	30	30.6	0.6	TER	GS
GN_3124 S-63-5	30.6	34.5	3.9	TER	MG
GN_3124 S-63-5	34.5	34.99	0.49	TER	GS
GN_3124 S-63-5	34.99	35	0.01	FLOOR	FR
GN_3124 S-64-2	0	0.01	0.01	ROOF	RF
GN_3124 S-64-2	0.01	0.8	0.79	Qac	SD
GN_3124 S-64-2	0.8	2.1	1.3	Qac	MU
GN_3124 S-64-2	2.1	2.3	0.2	Qac	SD
GN_3124 S-64-2	2.3	4.3	2	TER	GS
GN_3124 S-64-2	4.3	4.8	0.5	TER	MG
GN_3124 S-64-2	4.8	5.7	0.9	TER	GS
GN_3124 S-64-2	5.7	7	1.3	TER	MG
GN_3124 S-64-2	7	8.2	1.2	TER	GS
GN_3124 S-64-2	8.2	8.3	0.1	TER	CG
GN_3124 S-64-2	8.3	8.6	0.3	TER	GS
GN_3124 S-64-2	8.6	9.3	0.7	TER	CG
GN_3124 S-64-2	9.3	10.3	1	TER	GS
GN_3124 S-64-2	10.3	10.4	0.1	TER	MG
GN_3124 S-64-2	10.4	10.5	0.1	TER	GS
GN_3124 S-64-2	10.5	11	0.5	TER	MG
GN_3124 S-64-2	11	11.4	0.4	TER	GS
GN_3124 S-64-2	11.4	12.6	1.2	TER	MG
GN_3124 S-64-2	12.6	12.7	0.1	TER	GS
GN_3124 S-64-2	12.7	14.99	2.29	TER	MG
GN_3124 S-64-2	14.99	15	0.01	FLOOR	FR
GN_3124 S-64-5	0	0.01	0.01	ROOF	RF
GN_3124 S-64-5	0.01	0.5	0.49	Qac	SD
GN_3124 S-64-5	0.5	1.4	0.9	Qac	CL

GN_3124 S-64-5	1.4	1.9	0.5	Qac	SD
GN_3124 S-64-5	1.9	5.4	3.5	Qac	CL
GN_3124 S-64-5	5.4	6	0.6	TER	CG
GN_3124 S-64-5	6	6.1	0.1	TER	MG
GN_3124 S-64-5	6.1	6.5	0.4	TER	GS
GN_3124 S-64-5	6.5	6.7	0.2	TER	MG
GN_3124 S-64-5	6.7	7	0.3	TER	GS
GN_3124 S-64-5	7	7.5	0.5	TER	MG
GN_3124 S-64-5	7.5	7.9	0.4	TER	GS
GN_3124 S-64-5	7.9	8	0.1	TER	CG
GN_3124 S-64-5	8	8.6	0.6	TER	MG
GN_3124 S-64-5	8.6	9	0.4	TER	GS
GN_3124 S-64-5	9	9.4	0.4	TER	MG
GN_3124 S-64-5	9.4	10.1	0.7	TER	CG
GN_3124 S-64-5	10.1	10.8	0.7	TER	MG
GN_3124 S-64-5	10.8	11	0.2	TER	GS
GN_3124 S-64-5	11	14.99	3.99	TER	MG
GN_3124 S-64-5	14.99	15	0.01	FLOOR	FR
GN_3124 S-64.7	0	0.01	0.01	ROOF	RF
GN_3124 S-64.7	0.01	0.8	0.79	ANT	AN
GN_3124 S-64.7	0.8	1.4	0.6	Qac	CL
GN_3124 S-64.7	1.4	2.6	1.2	TER	GS
GN_3124 S-64.7	2.6	3.3	0.7	TER	MG
GN_3124 S-64.7	3.3	3.4	0.1	TER	GS
GN_3124 S-64.7	3.4	3.8	0.4	TER	MG
GN_3124 S-64.7	3.8	7.3	3.5	TER	GS
GN_3124 S-64.7	7.3	7.6	0.3	TER	MG
GN_3124 S-64.7	7.6	7.8	0.2	TER	GS
GN_3124 S-64.7	7.8	8.6	0.8	TER	MG
GN_3124 S-64.7	8.6	10.8	2.2	TER	GS
GN_3124 S-64.7	10.8	11.3	0.5	TER	MG
GN_3124 S-64.7	11.3	11.4	0.1	TER	GS
GN_3124 S-64.7	11.4	12	0.6	TER	CG
GN_3124 S-64.7	12	13.1	1.1	TER	MG
GN_3124 S-64.7	13.1	16	2.9	TER	CG
GN_3124 S-64.7	16	18.1	2.1	TER	MG
GN_3124 S-64.7	18.1	18.3	0.2	TER	CG
GN_3124 S-64.7	18.3	21.4	3.1	TER	GS
GN_3124 S-64.7	21.4	21.7	0.3	TER	CG
GN_3124 S-64.7	21.7	24	2.3	TER	GS
GN_3124 S-64.7	24	24.2	0.2	TER	MG
GN_3124 S-64.7	24.2	24.99	0.79	TER	GS
GN_3124 S-64.7	24.99	25	0.01	FLOOR	FR
GN_3124 S-64-92	0	0.01	0.01	ROOF	RF
GN_3124 S-64-92	0.01	0.8	0.79	Qt3	SD
GN_3124 S-64-92	0.8	1.3	0.5	Qt3	CL

GN_3124 S-64-92	1.3	1.4	0.1	Qt3	GR
GN_3124 S-64-92	1.4	2.9	1.5	Qt3	CL
GN_3124 S-64-92	2.9	3.3	0.4	Qt3	SD
GN_3124 S-64-92	3.3	3.6	0.3	Qt3	CL
GN_3124 S-64-92	3.6	5.9	2.3	Qac	CL
GN_3124 S-64-92	5.9	6.1	0.2	Qac	GR
GN_3124 S-64-92	6.1	12.8	6.7	Qac	CL
GN_3124 S-64-92	12.8	13	0.2	Qac	GR
GN_3124 S-64-92	13	21.59	8.59	TER	MG
GN_3124 S-64-92	21.59	21.6	0.01	FLOOR	FR
GN_3124 S-64-95	0	0.01	0.01	ROOF	RF
GN_3124 S-64-95	0.01	6.2	6.19	Qt3	SD
GN_3124 S-64-95	6.2	6.6	0.4	Qt3	CL
GN_3124 S-64-95	6.6	8	1.4	Qt3	SD
GN_3124 S-64-95	8	8.3	0.3	Qt3	CL
GN_3124 S-64-95	8.3	8.7	0.4	Qt3	SD
GN_3124 S-64-95	8.7	11.3	2.6	Qt3	CL
GN_3124 S-64-95	11.3	12	0.7	Qt3	GR
GN_3124 S-64-95	12	16	4	Qt3	CL
GN_3124 S-64-95	16	16.1	0.1	Qt3	SD
GN_3124 S-64-95	16.1	17	0.9	Qt3	CL
GN_3124 S-64-95	17	17.2	0.2	Qac	SD
GN_3124 S-64-95	17.2	18	0.8	Qac	GR
GN_3124 S-64-95	18	18.2	0.2	Qac	SD
GN_3124 S-64-95	18.2	19	0.8	Qac	GR
GN_3124 S-64-95	19	19.7	0.7	TER	CG
GN_3124 S-64-95	19.7	19.8	0.1	TER	MG
GN_3124 S-64-95	19.8	20.9	1.1	TER	GS
GN_3124 S-64-95	20.9	22	1.1	TER	MG
GN_3124 S-64-95	22	22.3	0.3	TER	GS
GN_3124 S-64-95	22.3	22.9	0.6	TER	MG
GN_3124 S-64-95	22.9	22.99	0.09	TER	GS
GN_3124 S-64-95	22.99	23	0.01	FLOOR	FR
GN_3124 S-64-99	0	0.01	0.01	ROOF	RF
GN_3124 S-64-99	0.01	1.9	1.89	Qt3	SD
GN_3124 S-64-99	1.9	3.6	1.7	Qt3	CL
GN_3124 S-64-99	3.6	3.9	0.3	Qt3	SD
GN_3124 S-64-99	3.9	5	1.1	Qt3	CL
GN_3124 S-64-99	5	6.5	1.5	Qt3	MU
GN_3124 S-64-99	6.5	7.7	1.2	Qt3	SD
GN_3124 S-64-99	7.7	7.8	0.1	Qt3	CL
GN_3124 S-64-99	7.8	8.3	0.5	Qt3	SD
GN_3124 S-64-99	8.3	8.5	0.2	Qac	CL
GN_3124 S-64-99	8.5	9	0.5	Qac	GR
GN_3124 S-64-99	9	9.8	0.8	Qac	SD
GN_3124 S-64-99	9.8	11.1	1.3	Qac	GR

GN_3124 S-64-99	11.1	11.4	0.3	Qac	SD
GN_3124 S-64-99	11.4	14.8	3.4	Qac	GR
GN_3124 S-64-99	14.8	15.2	0.4	Qac	GS
GN_3124 S-64-99	15.2	16.4	1.2	TER	MG
GN_3124 S-64-99	16.4	17.99	1.59	TER	GS
GN_3124 S-64-99	17.99	18	0.01	FLOOR	FR
GN_3124 S-65-02	0	0.01	0.01	ROOF	RF
GN_3124 S-65-02	0.01	0.8	0.79	Qt3	SD
GN_3124 S-65-02	0.8	1.6	0.8	Qt3	MU
GN_3124 S-65-02	1.6	1.8	0.2	Qt3	SD
GN_3124 S-65-02	1.8	2.3	0.5	Qt3	MU
GN_3124 S-65-02	2.3	2.9	0.6	Qt3	SD
GN_3124 S-65-02	2.9	4.3	1.4	Qt3	CL
GN_3124 S-65-02	4.3	5.2	0.9	Qt3	SD
GN_3124 S-65-02	5.2	7.1	1.9	Qac	GR
GN_3124 S-65-02	7.1	9.6	2.5	Qac	CL
GN_3124 S-65-02	9.6	10.6	1	TER	MG
GN_3124 S-65-02	10.6	12.2	1.6	TER	GS
GN_3124 S-65-02	12.2	12.3	0.1	TER	MG
GN_3124 S-65-02	12.3	12.8	0.5	TER	GS
GN_3124 S-65-02	12.8	13.1	0.3	TER	MG
GN_3124 S-65-02	13.1	13.3	0.2	TER	GS
GN_3124 S-65-02	13.3	13.7	0.4	TER	MG
GN_3124 S-65-02	13.7	14.4	0.7	TER	GS
GN_3124 S-65-02	14.4	14.99	0.59	TER	MG
GN_3124 S-65-02	14.99	15	0.01	FLOOR	FR
GN_3124 S-65-07	0	0.01	0.01	ROOF	RF
GN_3124 S-65-07	0.01	3	2.99	Qt3	SD
GN_3124 S-65-07	3	3.5	0.5	Qt3	CL
GN_3124 S-65-07	3.5	4.3	0.8	TER	CG
GN_3124 S-65-07	4.3	4.7	0.4	TER	GS
GN_3124 S-65-07	4.7	6	1.3	Qt3	SD
GN_3124 S-65-07	6	6.8	0.8	Qt3	MU
GN_3124 S-65-07	6.8	8.8	2	Qt3	SD
GN_3124 S-65-07	8.8	12.6	3.8	TER	MG
GN_3124 S-65-07	12.6	12.7	0.1	TER	GS
GN_3124 S-65-07	12.7	13.6	0.9	TER	MG
GN_3124 S-65-07	13.6	13.7	0.1	TER	GS
GN_3124 S-65-07	13.7	14	0.3	TER	MG
GN_3124 S-65-07	14	14.1	0.1	TER	GS
GN_3124 S-65-07	14.1	14.99	0.89	TER	MG
GN_3124 S-65-07	14.99	15	0.01	FLOOR	FR
GN_3124 S-65-140	0	0.01	0.01	ROOF	RF
GN_3124 S-65-140	0.01	1.8	1.79	Qt3	SD
GN_3124 S-65-140	1.8	2.4	0.6	TER	GS
GN_3124 S-65-140	2.4	3	0.6	Qt3	CL

GN_3124 S-65-140	3	4.2	1.2	Qt3	SD
GN_3124 S-65-140	4.2	4.7	0.5	TER	MG
GN_3124 S-65-140	4.7	4.8	0.1	TER	GS
GN_3124 S-65-140	4.8	7	2.2	TER	MG
GN_3124 S-65-140	7	8	1	TER	GS
GN_3124 S-65-140	8	14.1	6.1	TER	MG
GN_3124 S-65-140	14.1	14.99	0.89	TER	GS
GN_3124 S-65-140	14.99	15	0.01	FLOOR	FR
GN_3124 S-65-24	0	0.01	0.01	ROOF	RF
GN_3124 S-65-24	0.01	0.2	0.19	Qt2	AN
GN_3124 S-65-24	0.2	3	2.8	Qt2	SD
GN_3124 S-65-24	3	3.6	0.6	Qt3	SD
GN_3124 S-65-24	3.6	4.2	0.6	Qac	GR
GN_3124 S-65-24	4.2	4.6	0.4	Qac	CL
GN_3124 S-65-24	4.6	5.1	0.5	Qac	SD
GN_3124 S-65-24	5.1	10.3	5.2	TER	MG
GN_3124 S-65-24	10.3	11	0.7	TER	GS
GN_3124 S-65-24	11	12.5	1.5	TER	MG
GN_3124 S-65-24	12.5	14.99	2.49	TER	GS
GN_3124 S-65-24	14.99	15	0.01	FLOOR	FR
GN_3124 S-65-31	0	0.01	0.01	ROOF	RF
GN_3124 S-65-31	0.01	1	0.99	Qt2	SD
GN_3124 S-65-31	1	1.2	0.2	Qt3	GR
GN_3124 S-65-31	1.2	1.7	0.5	Qac	CL
GN_3124 S-65-31	1.7	3.4	1.7	TER	MG
GN_3124 S-65-31	3.4	3.6	0.2	TER	GS
GN_3124 S-65-31	3.6	4.3	0.7	TER	MG
GN_3124 S-65-31	4.3	4.5	0.2	TER	GS
GN_3124 S-65-31	4.5	5.5	1	TER	MG
GN_3124 S-65-31	5.5	6	0.5	TER	GS
GN_3124 S-65-31	6	6.6	0.6	TER	MG
GN_3124 S-65-31	6.6	9.9	3.3	TER	GS
GN_3124 S-65-31	9.9	10.2	0.3	TER	MG
GN_3124 S-65-31	10.2	11	0.8	TER	GS
GN_3124 S-65-31	11	11.3	0.3	TER	MG
GN_3124 S-65-31	11.3	12	0.7	TER	GS
GN_3124 S-65-31	12	13.2	1.2	TER	MG
GN_3124 S-65-31	13.2	13.3	0.1	TER	GS
GN_3124 S-65-31	13.3	13.8	0.5	TER	MG
GN_3124 S-65-31	13.8	14	0.2	TER	GS
GN_3124 S-65-31	14	14.19	0.19	TER	MG
GN_3124 S-65-31	14.19	14.2	0.01	FLOOR	FR
GN_3124 S-65-35	0	0.01	0.01	ROOF	RF
GN_3124 S-65-35	0.01	0.8	0.79	ANT	AN
GN_3124 S-65-35	0	0.8	0.8	ANT	AN
GN_3124 S-65-35	0.8	2.4	1.6	Qt3	SD

GN_3124 S-65-35	2.4	3	0.6	Qac	CL
GN_3124 S-65-35	3	3.2	0.2	TER	GS
GN_3124 S-65-35	3.2	3.8	0.6	TER	MG
GN_3124 S-65-35	3.8	4	0.2	TER	GS
GN_3124 S-65-35	4	5.5	1.5	TER	MG
GN_3124 S-65-35	5.5	6.6	1.1	TER	GS
GN_3124 S-65-35	6.6	7.2	0.6	TER	MG
GN_3124 S-65-35	7.2	7.4	0.2	TER	GS
GN_3124 S-65-35	7.4	9.5	2.1	TER	MG
GN_3124 S-65-35	9.5	10.9	1.4	TER	GS
GN_3124 S-65-35	10.9	11.4	0.5	TER	MG
GN_3124 S-65-35	11.4	13.3	1.9	TER	GS
GN_3124 S-65-35	13.3	13.8	0.5	TER	MG
GN_3124 S-65-35	13.8	14.79	0.99	TER	GS
GN_3124 S-65-35	14.79	14.8	0.01	FLOOR	FR
GN_3124 S-65-40	0	0.01	0.01	ROOF	RF
GN_3124 S-65-40	0.01	0.2	0.19	Qt3	AN
GN_3124 S-65-40	0	0.2	0.2	Qt3	AN
GN_3124 S-65-40	0.2	1.2	1	Qt3	SD
GN_3124 S-65-40	1.2	2.2	1	Qt3	MU
GN_3124 S-65-40	2.2	2.8	0.6	Qt3	SD
GN_3124 S-65-40	2.8	4.2	1.4	Qac	SD
GN_3124 S-65-40	4.2	5.8	1.6	TER	MG
GN_3124 S-65-40	5.8	6.4	0.6	TER	GS
GN_3124 S-65-40	6.4	7.4	1	TER	MG
GN_3124 S-65-40	7.4	7.6	0.2	TER	GS
GN_3124 S-65-40	7.6	8.1	0.5	TER	MG
GN_3124 S-65-40	8.1	8.2	0.1	TER	GS
GN_3124 S-65-40	8.2	8.5	0.3	TER	MG
GN_3124 S-65-40	8.5	9.8	1.3	TER	GS
GN_3124 S-65-40	9.8	10.3	0.5	TER	MG
GN_3124 S-65-40	10.3	10.5	0.2	TER	GS
GN_3124 S-65-40	10.5	11.5	1	TER	MG
GN_3124 S-65-40	11.5	11.8	0.3	TER	GS
GN_3124 S-65-40	11.8	12.4	0.6	TER	MG
GN_3124 S-65-40	12.4	12.5	0.1	TER	GS
GN_3124 S-65-40	12.5	14.79	2.29	TER	MG
GN_3124 S-65-40	14.79	14.8	0.01	FLOOR	FR
GN_3124 S-65-44	0	0.01	0.01	ROOF	RF
GN_3124 S-65-44	0.01	0.4	0.39	Qt3	SD
GN_3124 S-65-44	0	0.4	0.4	Qt3	SD
GN_3124 S-65-44	0.4	2.4	2	Qt3	GR
GN_3124 S-65-44	2.4	6	3.6	Qac	CL
GN_3124 S-65-44	6	6.8	0.8	TER	MG
GN_3124 S-65-44	6.8	7	0.2	TER	GS
GN_3124 S-65-44	7	8.8	1.8	TER	MG

GN_3124 S-65-44	8.8	10.2	1.4	TER	GS
GN_3124 S-65-44	10.2	10.5	0.3	TER	CG
GN_3124 S-65-44	10.5	11	0.5	TER	GS
GN_3124 S-65-44	11	11.4	0.4	TER	CG
GN_3124 S-65-44	11.4	12	0.6	TER	MG
GN_3124 S-65-44	12	12.79	0.79	TER	GS
GN_3124 S-65-44	12.79	12.8	0.01	FLOOR	FR
GN_3124 S-65-48	0	0.01	0.01	ROOF	RF
GN_3124 S-65-48	0.01	0.9	0.89	Qt3	MU
GN_3124 S-65-48	0	0.9	0.9	Qt3	MU
GN_3124 S-65-48	0.9	2.2	1.3	Qt3	SD
GN_3124 S-65-48	2.2	3.2	1	Qt3	GR
GN_3124 S-65-48	3.2	4.2	1	TER	MG
GN_3124 S-65-48	4.2	4.8	0.6	TER	GS
GN_3124 S-65-48	4.8	5.5	0.7	TER	MG
GN_3124 S-65-48	5.5	6.2	0.7	TER	GS
GN_3124 S-65-48	6.2	9.6	3.4	TER	MG
GN_3124 S-65-48	9.6	10.5	0.9	TER	GS
GN_3124 S-65-48	10.5	10.9	0.4	TER	MG
GN_3124 S-65-48	10.9	14.2	3.3	TER	GS
GN_3124 S-65-48	14.2	14.29	0.09	TER	MG
GN_3124 S-65-48	14.29	14.3	0.01	FLOOR	FR
GN_3124 S-65-51	0	0.01	0.01	ROOF	RF
GN_3124 S-65-51	0.01	1	0.99	Qt3	MU
GN_3124 S-65-51	0	1	1	Qt3	MU
GN_3124 S-65-51	1	2.2	1.2	Qt3	SD
GN_3124 S-65-51	2.2	3	0.8	Qt3	GR
GN_3124 S-65-51	3	3.6	0.6	Qac	CL
GN_3124 S-65-51	3.6	4.8	1.2	TER	GS
GN_3124 S-65-51	4.8	6	1.2	TER	CG
GN_3124 S-65-51	6	6.6	0.6	TER	GS
GN_3124 S-65-51	6.6	7.1	0.5	TER	MG
GN_3124 S-65-51	7.1	7.4	0.3	TER	GS
GN_3124 S-65-51	7.4	8	0.6	TER	MG
GN_3124 S-65-51	8	8.4	0.4	TER	GS
GN_3124 S-65-51	8.4	9.6	1.2	TER	MG
GN_3124 S-65-51	9.6	10.4	0.8	TER	GS
GN_3124 S-65-51	10.4	11.3	0.9	TER	MG
GN_3124 S-65-51	11.3	12.3	1	TER	GS
GN_3124 S-65-51	12.3	12.5	0.2	TER	MG
GN_3124 S-65-51	12.5	14.49	1.99	TER	GS
GN_3124 S-65-51	14.49	14.5	0.01	FLOOR	FR
GN_3124 S-65-55	0	0.01	0.01	ROOF	RF
GN_3124 S-65-55	0.01	1.6	1.59	Qt3	SD
GN_3124 S-65-55	0	1.6	1.6	Qt3	SD
GN_3124 S-65-55	1.6	2.3	0.7	Qt3	CL

GN_3124 S-65-55	2.3	2.5	0.2	Qt3	SD
GN_3124 S-65-55	2.5	3.6	1.1	Qt3	GR
GN_3124 S-65-55	3.6	4.4	0.8	Qt3	SD
GN_3124 S-65-55	4.4	4.6	0.2	Qac	CL
GN_3124 S-65-55	4.6	4.8	0.2	Qac	GS
GN_3124 S-65-55	4.8	6.2	1.4	TER	MG
GN_3124 S-65-55	6.2	6.8	0.6	TER	GS
GN_3124 S-65-55	6.8	6.9	0.1	TER	CG
GN_3124 S-65-55	6.9	7.4	0.5	TER	GS
GN_3124 S-65-55	7.4	9.1	1.7	TER	CG
GN_3124 S-65-55	9.1	9.7	0.6	TER	MG
GN_3124 S-65-55	9.7	10.6	0.9	TER	GS
GN_3124 S-65-55	10.6	11.1	0.5	TER	MG
GN_3124 S-65-55	11.1	11.8	0.7	TER	GS
GN_3124 S-65-55	11.8	12	0.2	TER	MG
GN_3124 S-65-55	12	12.8	0.8	TER	GS
GN_3124 S-65-55	12.8	14.99	2.19	TER	MG
GN_3124 S-65-55	14.99	15	0.01	FLOOR	FR
GN_3124 S-65-58	0	0.01	0.01	ROOF	RF
GN_3124 S-65-58	0.01	1.8	1.79	Qt3	SD
GN_3124 S-65-58	1.8	2	0.2	Qt3	GR
GN_3124 S-65-58	2	2.3	0.3	Qt3	CL
GN_3124 S-65-58	2.3	2.7	0.4	Qt3	SD
GN_3124 S-65-58	2.7	3.3	0.6	Qt3	CL
GN_3124 S-65-58	3.3	4.2	0.9	Qac	CL
GN_3124 S-65-58	4.2	4.9	0.7	TER	GS
GN_3124 S-65-58	4.9	5.4	0.5	TER	MG
GN_3124 S-65-58	5.4	5.9	0.5	TER	GS
GN_3124 S-65-58	5.9	6.2	0.3	TER	MG
GN_3124 S-65-58	6.2	9.5	3.3	TER	GS
GN_3124 S-65-58	9.5	9.9	0.4	TER	MG
GN_3124 S-65-58	9.9	10.4	0.5	TER	MG
GN_3124 S-65-58	10.4	10.5	0.1	TER	GS
GN_3124 S-65-58	10.5	12.7	2.2	TER	MG
GN_3124 S-65-58	12.7	13.2	0.5	TER	GS
GN_3124 S-65-58	13.2	13.8	0.6	TER	MG
GN_3124 S-65-58	13.8	14.8	1	TER	GS
GN_3124 S-65-58	14.8	14.9	0.1	TER	CG
GN_3124 S-65-58	14.9	14.99	0.09	TER	GS
GN_3124 S-65-58	14.99	15	0.01	FLOOR	FR
GN_3124 S-65-62	0	0.01	0.01	ROOF	RF
GN_3124 S-65-62	0.01	1.8	1.79	Qt3	MU
GN_3124 S-65-62	1.8	2.1	0.3	Qac	GS
GN_3124 S-65-62	2.1	2.4	0.3	TER	MG
GN_3124 S-65-62	2.4	2.7	0.3	TER	GS
GN_3124 S-65-62	2.7	3	0.3	TER	MG

GN_3124 S-65-62	3	5.3	2.3	TER	GS
GN_3124 S-65-62	5.3	5.7	0.4	TER	CG
GN_3124 S-65-62	5.7	5.9	0.2	TER	GS
GN_3124 S-65-62	5.9	6.4	0.5	TER	CG
GN_3124 S-65-62	6.4	6.6	0.2	TER	GS
GN_3124 S-65-62	6.6	7.8	1.2	TER	MG
GN_3124 S-65-62	7.8	12.6	4.8	TER	GS
GN_3124 S-65-62	12.6	13.7	1.1	TER	MG
GN_3124 S-65-62	13.7	14.3	0.6	TER	GS
GN_3124 S-65-62	14.3	14.7	0.4	TER	MG
GN_3124 S-65-62	14.7	14.99	0.29	TER	GS
GN_3124 S-65-62	14.99	15	0.01	FLOOR	FR
GN_3124 S-65-655	0	0.01	0.01	ROOF	RF
GN_3124 S-65-655	0.01	0.2	0.19	Qt3	SD
GN_3124 S-65-655	0.2	0.6	0.4	Qt3	MU
GN_3124 S-65-655	0.6	0.8	0.2	Qt3	GR
GN_3124 S-65-655	0.8	2.4	1.6	Qt3	SD
GN_3124 S-65-655	2.4	2.8	0.4	Qt3	MU
GN_3124 S-65-655	2.8	3.6	0.8	Qac	CL
GN_3124 S-65-655	3.6	6.6	3	TER	MG
GN_3124 S-65-655	6.6	11.4	4.8	TER	GS
GN_3124 S-65-655	11.4	12.6	1.2	TER	CG
GN_3124 S-65-655	12.6	14.99	2.39	TER	GS
GN_3124 S-65-655	14.99	15	0.01	FLOOR	FR
GN_3124 S-66-5	0	0.01	0.01	ROOF	RF
GN_3124 S-66-5	0.01	1.8	1.79	Qac	CL
GN_3124 S-66-5	1.8	2.4	0.6	TER	MG
GN_3124 S-66-5	2.4	2.7	0.3	TER	GS
GN_3124 S-66-5	2.7	6.3	3.6	TER	MG
GN_3124 S-66-5	6.3	8	1.7	TER	GS
GN_3124 S-66-5	8	12.3	4.3	TER	MG
GN_3124 S-66-5	12.3	13	0.7	TER	GS
GN_3124 S-66-5	13	19.99	6.99	TER	MG
GN_3124 S-66-5	19.99	20	0.01	FLOOR	FR
GN_3124 S-67-1	0	0.01	0.01	ROOF	RF
GN_3124 S-67-1	0.01	0.8	0.79	Qt3	SD
GN_3124 S-67-1	0.8	2.6	1.8	Qt3	CL
GN_3124 S-67-1	2.6	3	0.4	Qac	SD
GN_3124 S-67-1	3	5.5	2.5	Qac	CL
GN_3124 S-67-1	5.5	6.2	0.7	Qac	GR
GN_3124 S-67-1	6.2	8.2	2	Qac	CL
GN_3124 S-67-1	8.2	14.99	6.79	TER	MG
GN_3124 S-67-1	14.99	15	0.01	FLOOR	FR
GN_3124 C-63-98	0	0.01	0.01	ROOF	RF
GN_3124 C-63-98	0.01	0.6	0.59	Qac	CL
GN_3124 C-63-98	0.6	0.7	0.1	Qac	GS

GN_3124 C-64-26	0	0.01	0.01	ROOF	RF
GN_3124 C-64-26	0.01	0.5	0.49	Qac	GR
GN_3124 C-64-38	0	0.01	0.01	ROOF	RF
GN_3124 C-64-38	0.01	0.8	0.79	Qac	LT
GN_3124 C-64-5	0	0.01	0.01	ROOF	RF
GN_3124 C-64-5	0.01	1.8	1.79	Qac	CL
GN_3124 C-64-5	1.8	2.5	0.7	Qac	LT
GN_3124 C-64-64	0	0.01	0.01	ROOF	RF
GN_3124 C-64-64	0.01	0.2	0.19	Qac	AN
GN_3124 C-64-64	0.2	1	0.8	Qac	CL
GN_3124 C-64-64	1	3	2	Qac	CL
GN_3124 C-66-36	0	0.01	0.01	ROOF	RF
GN_3124 C-66-36	0.01	1.2	1.19	Qac	SD
GN_3124 C-66-36	1.2	1.49	0.29	TER	MG
GN_3124 C-66-36	1.49	1.5	0.01	FLOOR	FR
GN_3124 C-66-74	0	0.01	0.01	ROOF	RF
GN_3124 C-66-74	0.01	3.4	3.39	Qt3	SD
GN_3124 C-66-74	3.4	3.6	0.2	Qac	CL
GN_3124 C-67	0	0.01	0.01	ROOF	RF
GN_3124 C-67	0.01	0.5	0.49	Qt3	AN
GN_3124 C-67	0.5	1.8	1.3	Qt3	SD
GN_3124 C-67	1.8	2.6	0.8	Qac	CL
GN_3124 C-67-3	0	0.01	0.01	ROOF	RF
GN_3124 C-67-3	0.01	1.2	1.19	Qt3	SD
GN_3124 C-67-3	1.2	1.4	0.2	Qac	GS
GN_3133 CD-127-2	0	0.01	0.01	ROOF	RF
GN_3133 CD-127-2	0.01	0.3	0.29	Qac	AN
GN_3133 CD-127-2	0.3	0.7	0.4	Qac	CL
GN_3133 CD-127-2	0.7	0.8	0.1	Qac	GS
GN_3133 CD-127-2	0.8	2.1	1.3	TER	MG
GN_3133 CD-127-2	2.1	2.15	0.05	TER	GS
GN_3133 CD-127-2	2.15	2.16	0.01	FLOOR	FR
GN_3133 CD-128-0	0	0.01	0.01	ROOF	RF
GN_3133 CD-128-0	0.01	0.25	0.24	ANT	AN
GN_3133 CD-128-0	0.25	1.2	0.95	Qac	CL
GN_3133 CD-128-0	1.2	1.26	0.06	Qac	GS
GN_3133 CD-129-2	0	0.01	0.01	ROOF	RF
GN_3133 CD-129-2	0.01	0.25	0.24	Qac	AN
GN_3133 CD-129-2	0.25	0.5	0.25	Qac	CL
GN_3133 CD-129-2	0.5	0.55	0.05	Qac	GS
GN_3133 CD-130-6	0	0.01	0.01	ROOF	RF
GN_3133 CD-130-6	0.01	0.2	0.19	ANT	AN
GN_3133 CD-130-6	0.2	0.6	0.4	Qac	CL
GN_3133 CD-130-6	0.6	0.68	0.08	Qac	GS
GN_3133 SE-128-3	0	0.01	0.01	ROOF	RF
GN_3133 SE-128-3	0.01	0.4	0.39	ANT	AN

GN_3133 SE-128-3	0.4	0.6	0.2	Qac	CL
GN_3133 SE-128-3	0.6	1	0.4	Qac	GR
GN_3133 SE-128-3	1	4	3	Qac	CL
GN_3133 SE-128-3	4	8.1	4.1	TER	MG
GN_3133 SE-128-3	8.1	9.49	1.39	TER	GS
GN_3133 SE-128-3	9.49	9.5	0.01	FLOOR	FR
GN_3133 SE-129-3	0	0.01	0.01	ROOF	RF
GN_3133 SE-129-3	0.01	0.3	0.29	ANT	AN
GN_3133 SE-129-3	0.3	2.4	2.1	Qac	CL
GN_3133 SE-129-3	2.4	4.8	2.4	TER	MG
GN_3133 SE-129-3	4.8	6.3	1.5	TER	GS
GN_3133 SE-129-3	6.3	7	0.7	TER	MG
GN_3133 SE-129-3	7	10	3	TER	GS
GN_3133 SE-129-3	10	12.7	2.7	TER	MG
GN_3133 SE-129-3	12.7	13.39	0.69	TER	GS
GN_3133 SE-129-3	13.39	13.4	0.01	FLOOR	FR
GN_3133 SE-131-0	0	0.01	0.01	ROOF	RF
GN_3133 SE-131-0	0.01	0.1	0.09	ANT	AN
GN_3133 SE-131-0	0.1	2.6	2.5	Qt3	CL
GN_3133 SE-131-0	2.6	3	0.4	TER	CG
GN_3133 SE-131-0	3	3.6	0.6	TER	GS
GN_3133 SE-131-0	3.6	4.3	0.7	TER	CG
GN_3133 SE-131-0	4.3	5.1	0.8	TER	GS
GN_3133 SE-131-0	5.1	8.7	3.6	TER	CG
GN_3133 SE-131-0	8.7	9.8	1.1	TER	GS
GN_3133 SE-131-0	9.8	9.99	0.19	TER	MG
GN_3133 SE-131-0	9.99	10	0.01	FLOOR	FR
GN_3134 S-2	0	0.01	0.01	ROOF	RF
GN_3134 S-2	0.01	1.6	1.59	ANT	AN
GN_3134 S-2	1.6	3.8	2.2	TER	MG
GN_3134 S-2	3.8	5.4	1.6	TER	LT
GN_3134 S-2	5.4	5.7	0.3	TER	GS
GN_3134 S-2	5.7	6.2	0.5	TER	MG
GN_3134 S-2	6.2	9.6	3.4	TER	GS
GN_3134 S-2	9.6	9.9	0.3	TER	MG
GN_3134 S-2	9.9	10.16	0.26	TER	GS
GN_3134 S-2	10.16	10.2	0.04	TER	MG
GN_3134 S-2	10.2	10.8	0.6	TER	GS
GN_3134 S-2	10.8	12.74	1.94	TER	LT
GN_3134 S-2	12.74	12.75	0.01	FLOOR	FR
GN_3134 S-3	0	0.01	0.01	ROOF	RF
GN_3134 S-3	0.01	2	1.99	ANT	AN
GN_3134 S-3	2	3.2	1.2	TER	MG
GN_3134 S-3	3.2	3.5	0.3	TER	GS
GN_3134 S-3	3.5	6.5	3	TER	MG
GN_3134 S-3	6.5	7.8	1.3	TER	GS

GN_3134 S-3	7.8	8.2	0.4	TER	MG
GN_3134 S-3	8.2	8.5	0.3	TER	GS
GN_3134 S-3	8.5	10.19	1.69	TER	MG
GN_3134 S-3	10.19	10.2	0.01	FLOOR	FR
GN_3134 S-4	0	0.01	0.01	ROOF	RF
GN_3134 S-4	0.01	0.4	0.39	Qac	MU
GN_3134 S-4	0.4	1.3	0.9	TER	MG
GN_3134 S-4	1.3	2.4	1.1	TER	LT
GN_3134 S-4	2.4	5.4	3	TER	GS
GN_3134 S-4	5.4	9.99	4.59	TER	LT
GN_3134 S-4	9.99	10	0.01	FLOOR	FR
GN_3134 S-5	0	0.01	0.01	ROOF	RF
GN_3134 S-5	0.01	2	1.99	ANT	AN
GN_3134 S-5	2	5.3	3.3	Qac	GR
GN_3134 S-5	5.3	15.14	9.84	TER	MG
GN_3134 S-5	15.14	15.15	0.01	FLOOR	FR
GN_3134 S-6	0	0.01	0.01	ROOF	RF
GN_3134 S-6	0.01	4	3.99	ANT	AN
GN_3134 S-6	4	4.9	0.9	Qac	MU
GN_3134 S-6	4.9	6.3	1.4	Qac	GR
GN_3134 S-6	6.3	9.4	3.1	TER	MG
GN_3134 S-6	9.4	10.2	0.8	TER	GS
GN_3134 S-6	10.2	12.8	2.6	TER	MG
GN_3134 S-6	12.8	14.9	2.1	TER	GS
GN_3134 S-6	14.9	17.4	2.5	TER	MG
GN_3134 S-6	17.4	19.2	1.8	TER	GS
GN_3134 S-6	19.2	19.99	0.79	TER	MG
GN_3134 S-6	19.99	20	0.01	FLOOR	FR
GN_3134 S-7	0	0.01	0.01	ROOF	RF
GN_3134 S-7	0.01	0.2	0.19	Qac	GR
GN_3134 S-7	0.2	1.2	1	Qac	SD
GN_3134 S-7	1.2	3	1.8	TER	MG
GN_3134 S-7	3	6.3	3.3	TER	GS
GN_3134 S-7	6.3	11.2	4.9	TER	LT
GN_3134 S-7	11.2	11.7	0.5	TER	GS
GN_3134 S-7	11.7	12	0.3	TER	LT
GN_3134 S-7	12	13.3	1.3	TER	MG
GN_3134 S-7	13.3	19.99	6.69	TER	LT
GN_3134 S-7	19.99	20	0.01	FLOOR	FR
GN_3134 S-8	0	0.01	0.01	ROOF	RF
GN_3134 S-8	0.01	1.8	1.79	ANT	AN
GN_3134 S-8	1.8	5.3	3.5	TER	MG
GN_3134 S-8	5.3	7.8	2.5	TER	LT
GN_3134 S-8	7.8	9	1.2	TER	GS
GN_3134 S-8	9	10.2	1.2	TER	MG
GN_3134 S-8	10.2	12	1.8	TER	LT

GN_3134 S-8	12	13.8	1.8	TER	MG
GN_3134 S-8	13.8	20.39	6.59	TER	LT
GN_3134 S-8	20.39	20.4	0.01	FLOOR	FR
GN_3134 C-1	0	0.01	0.01	ROOF	RF
GN_3134 C-1	0.01	0.2	0.19	ANT	AN
GN_3134 C-1	0.2	1.7	1.5	Qac	CL
GN_3134 C-1	1.7	4	2.3	Qac	GR
GN_3134 C-2	0	0.01	0.01	ROOF	RF
GN_3134 C-2	0.01	0.3	0.29	ANT	AN
GN_3134 C-2	0.3	1.8	1.5	Qac	MU
GN_3134 C-2	1.8	4.3	2.5	Qac	CL
GN_3134 C-3	0	0.01	0.01	ROOF	RF
GN_3134 C-3	0.01	0.3	0.29	ANT	AN
GN_3134 C-3	0.3	3.99	3.69	TER	MG
GN_3134 C-3	3.99	4	0.01	FLOOR	FR
GN_3134 C-6	0	0.01	0.01	ROOF	RF
GN_3134 C-6	0.01	0.2	0.19	ANT	AN
GN_3134 C-6	0.2	1.6	1.4	TER	MG
GN_3134 C-6	1.6	2.49	0.89	TER	LT
GN_3134 C-6	2.49	2.5	0.01	FLOOR	FR
GN_3134 C-7	0	0.01	0.01	ROOF	RF
GN_3134 C-7	0.01	0.3	0.29	ANT	AN
GN_3134 C-7	0.3	2.1	1.8	TER	MG
GN_3134 C-7	2.1	2.99	0.89	TER	GS
GN_3134 C-7	2.99	3	0.01	FLOOR	FR
GN_3134 C-8	0	0.01	0.01	ROOF	RF
GN_3134 C-8	0.01	0.2	0.19	ANT	AN
GN_3134 C-8	0.2	3.49	3.29	TER	MG
GN_3134 C-8	3.49	3.5	0.01	FLOOR	FR
GN_3663 S-1	0	0.01	0.01	ROOF	RF
GN_3663 S-1	0.01	0.2	0.19	Qt2	SD
GN_3663 S-1	0.2	0.7	0.5	Qt2	MU
GN_3663 S-1	0.7	1	0.3	Qt2	SD
GN_3663 S-1	1	1.7	0.7	Qt2	GR
GN_3663 S-1	1.7	2.5	0.8	Qac	GR
GN_3663 S-1	2.5	3.3	0.8	Qac	CL
GN_3663 S-1	3.3	3.7	0.4	TER	GS
GN_3663 S-1	3.7	3.82	0.12	TER	MG
GN_3663 S-1	3.82	3.9	0.08	TER	GS
GN_3663 S-1	3.9	4.06	0.16	TER	MG
GN_3663 S-1	4.06	4.25	0.19	TER	GS
GN_3663 S-1	4.25	4.33	0.08	TER	MG
GN_3663 S-1	4.33	4.43	0.1	TER	GS
GN_3663 S-1	4.43	4.61	0.18	TER	MG
GN_3663 S-1	4.61	5	0.39	TER	GS
GN_3663 S-1	5	5.05	0.05	TER	MG

GN_3663 S-1	5.05	6.29	1.24	TER	GS
GN_3663 S-1	6.29	6.73	0.44	TER	CG
GN_3663 S-1	6.73	7.12	0.39	TER	GS
GN_3663 S-1	7.12	7.37	0.25	TER	MG
GN_3663 S-1	7.37	7.79	0.42	TER	GS
GN_3663 S-1	7.79	7.8	0.01	FLOOR	FR
GN_3664 S-1	0	0.01	0.01	ROOF	RF
GN_3664 S-1	0.01	4.7	4.69	ANT	AN
GN_3664 S-1	4.7	7.4	2.7	Qt1	GR
GN_3664 S-1	7.4	7.99	0.59	TER	LT
GN_3664 S-1	7.99	8	0.01	FLOOR	FR
GN_3664 S-2	0	0.01	0.01	ROOF	RF
GN_3664 S-2	0.01	4.8	4.79	ANT	AN
GN_3664 S-2	4.8	7.3	2.5	Qt1	GR
GN_3664 S-2	7.3	7.99	0.69	TER	LT
GN_3664 S-2	7.99	8	0.01	FLOOR	FR
GN_3665 S-2	0	0.01	0.01	ROOF	RF
GN_3665 S-2	0.01	3.6	3.59	ANT	AN
GN_3665 S-2	3.6	7.99	4.39	TER	LT
GN_3665 S-2	7.99	8	0.01	FLOOR	FR
GN_3665 S-1	0	0.01	0.01	ROOF	RF
GN_3665 S-1	0.01	2.2	2.19	ANT	AN
GN_3665 S-1	2.2	7.99	5.79	TER	LT
GN_3665 S-1	7.99	8	0.01	FLOOR	FR
GN_3666 S-1	0	0.01	0.01	ROOF	RF
GN_3666 S-1	0.01	4.9	4.89	ANT	AN
GN_3666 S-1	4.9	8	3.1	Qt1	GR
GN_3735 S-1	0	0.01	0.01	ROOF	RF
GN_3735 S-1	0.01	0.2	0.19	ANT	AN
GN_3735 S-1	0.2	5.3	5.1	Qt1	MU
GN_3735 S-1	5.3	7	1.7	Qt1	GR
GN_3735 S-1	7	8.6	1.6	Qt1	SD
GN_3735 S-1	8.6	9.3	0.7	Qt1	GR
GN_3769 S-5R	0	0.01	0.01	ROOF	RF
GN_3769 S-5R	0.01	1.2	1.19	ANT	AN
GN_3769 S-5R	1.2	2.4	1.2	Qac	AN
GN_3769 S-5R	2.4	5.2	2.8	Qac	MU
GN_3769 S-5R	5.2	7.4	2.2	TER	GS
GN_3769 S-5R	7.4	7.6	0.2	TER	MG
GN_3769 S-5R	7.6	7.7	0.1	TER	GS
GN_3769 S-5R	7.7	8.19	0.49	TER	MG
GN_3769 S-5R	8.19	8.2	0.01	FLOOR	FR
GN_3769 C-2	0	0.01	0.01	ROOF	RF
GN_3769 C-2	0.01	0.7	0.69	ANT	AN
GN_3769 S-4R	0	0.01	0.01	ROOF	RF
GN_3769 S-4R	0.01	1.4	1.39	ANT	AN

GN_3769 S-4R	1.4	5.2	3.8	Qac	MU
GN_3769 S-4R	5.2	6.6	1.4	TER	GS
GN_3769 S-4R	6.6	7.99	1.39	TER	MG
GN_3769 S-4R	7.99	8	0.01	FLOOR	FR
GN_3769 C-1	0	0.01	0.01	ROOF	RF
GN_3769 C-1	0.01	1.2	1.19	ANT	AN
GN_3769 C-1	1.2	2.3	1.1	ANT	AN
GN_3769 C-1	2.3	5.3	3	Qac	MU
GN_3769 C-1	5.3	7.3	2	TER	GS
GN_3769 C-1	7.3	7.6	0.3	TER	MG
GN_3769 C-1	7.6	7.8	0.2	TER	GS
GN_3769 C-1	7.8	8.19	0.39	TER	MG
GN_3769 C-1	8.19	8.2	0.01	FLOOR	FR
GN_3769 C-3	0	0.01	0.01	ROOF	RF
GN_3769 C-3	0.01	0.2	0.19	ANT	AN
GN_3769 C-3	0.2	1.7	1.5	ANT	AN
GN_3769 C-3	1.7	3.1	1.4	Qac	MU
GN_3769 S-3R	0	0.01	0.01	ROOF	RF
GN_3769 S-3R	0.01	1.2	1.19	ANT	AN
GN_3769 S-3R	1.2	6.6	5.4	Qac	MU
GN_3769 S-3R	6.6	7.1	0.5	Qac	SD
GN_3769 S-3R	7.1	7.39	0.29	TER	GS
GN_3769 S-3R	7.39	7.4	0.01	FLOOR	FR
GN_3769 S-2R	0	0.01	0.01	ROOF	RF
GN_3769 S-2R	0.01	1.8	1.79	ANT	AN
GN_3769 S-2R	1.8	5.6	3.8	Qac	CL
GN_3769 S-2R	5.8	7	1.2	Qac	SD
GN_3769 S-2R	7	7.8	0.8	Qac	CL
GN_3769 S-2R	7.8	7.99	0.19	TER	GS
GN_3769 S-2R	7.99	8	0.01	FLOOR	FR
GN_3769 S-1R	0	0.01	0.01	ROOF	RF
GN_3769 S-1R	0.01	3	2.99	ANT	AN
GN_3769 S-1R	3	4	1	ANT	AN
GN_3769 S-1R	4	7.1	3.1	TER	GS
GN_3769 S-1R	7.1	7.99	0.89	TER	MG
GN_3769 S-1R	7.99	8	0.01	FLOOR	FR
GN_3770 S-6	0	0.01	0.01	ROOF	RF
GN_3770 S-6	0.01	6.3	6.29	ANT	AN
GN_3770 S-6	6.3	8.99	2.69	TER	CG
GN_3770 S-6	8.99	9	0.01	FLOOR	FR
GN_3770 S-5	0	0.01	0.01	ROOF	RF
GN_3770 S-5	0.01	7.3	7.29	ANT	AN
GN_3770 S-5	7.3	10.19	2.89	TER	CG
GN_3770 S-5	10.19	10.2	0.01	FLOOR	FR
GN_3770 S-4	0	0.01	0.01	ROOF	RF
GN_3770 S-4	0.01	1.5	1.49	ANT	AN

GN_3770 S-4	1.5	5.5	4	TER	GS
GN_3770 S-4	5.5	6.5	1	TER	CG
GN_3770 S-4	6.5	7.19	0.69	TER	MG
GN_3770 S-4	7.19	7.2	0.01	FLOOR	FR
GN_3770 S-3	0	0.01	0.01	ROOF	RF
GN_3770 S-3	0.01	5	4.99	ANT	AN
GN_3770 S-3	5	6.2	1.2	TER	CG
GN_3770 S-3	6.2	10	3.8	TER	GS
GN_3770 S-3	10	10.1	0.1	TER	MG
GN_3770 S-3	10.1	10.6	0.5	TER	GS
GN_3770 S-3	10.6	16.6	6	TER	MG
GN_3770 S-3	16.6	17.99	1.39	TER	GS
GN_3770 S-3	17.99	18	0.01	FLOOR	FR
GN_3770 S-1	0	0.01	0.01	ROOF	RF
GN_3770 S-1	0.01	4	3.99	TER	GS
GN_3770 S-1	4	7.7	3.7	TER	CG
GN_3770 S-1	7.7	10.5	2.8	TER	GS
GN_3770 S-1	10.5	11.3	0.8	TER	CG
GN_3770 S-1	11.3	17.99	6.69	TER	GS
GN_3770 S-1	17.99	18	0.01	FLOOR	FR
GN_3770 S-2	0	0.01	0.01	ROOF	RF
GN_3770 S-2	0.01	1.7	1.69	ANT	AN
GN_3770 S-2	1.7	6.6	4.9	TER	GS
GN_3770 S-2	6.6	10.9	4.3	TER	CG
GN_3770 S-2	10.9	16.6	5.7	TER	GS
GN_3770 S-2	16.6	17.99	1.39	TER	MG
GN_3770 S-2	17.99	18	0.01	FLOOR	FR
GN_3771 S-5	0	0.01	0.01	ROOF	RF
GN_3771 S-5	0.01	1	0.99	ANT	AN
GN_3771 S-5	1	2.6	1.6	Qt3	GR
GN_3771 S-5	2.6	10	7.4	Qt3	CL
GN_3771 S-4	0	0.01	0.01	ROOF	RF
GN_3771 S-4	0.01	0.5	0.49	ANT	AN
GN_3771 S-4	0.5	1.8	1.3	Qt3	CL
GN_3771 S-4	1.8	3.5	1.7	Qt3	GR
GN_3771 S-4	3.5	10	6.5	Qt3	CL
GN_3771 S-3	0	0.01	0.01	ROOF	RF
GN_3771 S-3	0.01	1	0.99	ANT	AN
GN_3771 S-3	1	2.2	1.2	Qt3	CL
GN_3771 S-3	2.2	4.6	2.4	Qt3	GR
GN_3771 S-3	4.6	10	5.4	Qt3	CL
GN_3771 S-2	0	0.01	0.01	ROOF	RF
GN_3771 S-2	0.01	1.6	1.59	ANT	AN
GN_3771 S-2	1.6	3	1.4	Qt3	CL
GN_3771 S-2	3	3.8	0.8	Qt3	GR
GN_3771 S-2	3.8	10	6.2	Qt3	CL

GN_3771 S-1	0	0.01	0.01	ROOF	RF
GN_3771 S-1	0.01	0.4	0.39	ANT	AN
GN_3771 S-1	0.4	3.4	3	Qt3	CL
GN_3771 S-1	3.4	4.3	0.9	Qt3	GR
GN_3771 S-1	4.3	10	5.7	Qt3	CL
GN_3772 S-2	0	0.01	0.01	ROOF	RF
GN_3772 S-2	0.01	6	5.99	ANT	AN
GN_3772 S-2	6	7	1	Qac	GR
GN_3772 S-2	7	8.99	1.99	TER	MG
GN_3772 S-2	8.99	9	0.01	FLOOR	FR
GN_3772 S-3	0	0.01	0.01	ROOF	RF
GN_3772 S-3	0.01	2.3	2.29	ANT	AN
GN_3772 S-3	2.3	5.7	3.4	Qac	SD
GN_3772 S-3	5.7	7.99	2.29	TER	MG
GN_3772 S-3	7.99	8	0.01	FLOOR	FR
GN_3772 S-1	0	0.01	0.01	ROOF	RF
GN_3772 S-1	0.01	1.6	1.59	ANT	AN
GN_3772 S-1	1.6	2.4	0.8	Qac	SD
GN_3772 S-1	2.4	2.7	0.3	TER	GS
GN_3772 S-1	2.7	7.99	5.29	TER	MG
GN_3772 S-1	7.99	8	0.01	FLOOR	FR
GN_3773 S-4	0	0.01	0.01	ROOF	RF
GN_3773 S-4	0.01	10.09	10.08	ANT	AN
GN_3773 S-4	10.09	10.69	0.6	Qt1	MU
GN_3773 S-4	10.69	13.97	3.28	Qt1	SD
GN_3773 S-4	13.97	15.49	1.52	TER	GS
GN_3773 S-4	15.49	15.5	0.01	FLOOR	FR
GN_3773 S-5	0	0.01	0.01	ROOF	RF
GN_3773 S-5	0.01	11	10.99	ANT	AN
GN_3773 S-5	11	12	1	Qt1	MU
GN_3773 S-5	12	12.42	0.42	TER	GS
GN_3773 S-5	12.42	12.43	0.01	FLOOR	FR
GN_3773 S-3	0	0.01	0.01	ROOF	RF
GN_3773 S-3	0.01	11.28	11.27	ANT	AN
GN_3773 S-3	11.28	13.48	2.2	Qt1	MU
GN_3773 S-3	13.48	15.14	1.66	TER	GS
GN_3773 S-3	15.14	15.15	0.01	FLOOR	FR
GN_3773 S-2	0	0.01	0.01	ROOF	RF
GN_3773 S-2	0.01	10.84	10.83	ANT	AN
GN_3773 S-2	10.84	13.52	2.68	Qt1	SD
GN_3773 S-2	13.52	14.99	1.47	TER	GS
GN_3773 S-2	14.99	15	0.01	FLOOR	FR
GN_3773 S-1	0	0.01	0.01	ROOF	RF
GN_3773 S-1	0.01	9.05	9.04	ANT	AN
GN_3773 S-1	9.05	9.39	0.34	Qt1	SD
GN_3773 S-1	9.39	18.99	9.6	TER	GS

GN_3773 S-1	18.99	19	0.01	FLOOR	FR
GN_3774 S-1	0	0.01	0.01	ROOF	RF
GN_3774 S-1	0.01	0.6	0.59	Qt2	SD
GN_3774 S-1	0.6	1.8	1.2	Qac	SD
GN_3774 S-1	1.8	2.4	0.6	Qac	CL
GN_3774 S-1	2.4	6.14	3.74	TER	MG
GN_3774 S-1	6.14	6.15	0.01	FLOOR	FR
GN_3774 S-3	0	0.01	0.01	ROOF	RF
GN_3774 S-3	0.01	1	0.99	Qt1	SD
GN_3774 S-3	1	2.5	1.5	Qac	SD
GN_3774 S-3	2.5	6.99	4.49	TER	MG
GN_3774 S-3	6.99	7	0.01	FLOOR	FR
GN_3774 S-2	0	0.01	0.01	ROOF	RF
GN_3774 S-2	0.01	0.9	0.89	Qt1	SD
GN_3774 S-2	0.9	2.4	1.5	Qac	SD
GN_3774 S-2	2.4	6.99	4.59	TER	MG
GN_3774 S-2	6.99	7	0.01	FLOOR	FR
GN_3775 S-3	0	0.01	0.01	ROOF	RF
GN_3775 S-3	0.01	0.3	0.29	Qac	MU
GN_3775 S-3	0.3	2.1	1.8	TER	GS
GN_3775 S-3	2.1	2.99	0.89	TER	MG
GN_3775 S-3	2.99	3	0.01	FLOOR	FR
GN_3775 S-1	0	0.01	0.01	ROOF	RF
GN_3775 S-1	0.01	0.4	0.39	Qac	MU
GN_3775 S-1	0.4	2.8	2.4	TER	GS
GN_3775 S-1	2.8	7.19	4.39	TER	MG
GN_3775 S-1	7.19	7.2	0.01	FLOOR	FR
GN_3775 S-2	0	0.01	0.01	ROOF	RF
GN_3775 S-2	0.01	0.3	0.29	Qac	MU
GN_3775 S-2	0.3	1.29	0.99	TER	GS
GN_3775 S-2	1.29	2.39	1.1	TER	MG
GN_3775 S-2	2.39	2.4	0.01	FLOOR	FR
GN_3776 S-6	0	0.01	0.01	ROOF	RF
GN_3776 S-6	0.01	0.5	0.49	ANT	AN
GN_3776 S-6	0.5	1.3	0.8	Qac	MU
GN_3776 S-6	1.3	2.49	1.19	TER	GS
GN_3776 S-6	2.49	2.5	0.01	FLOOR	FR
GN_3776 S-5	0	0.01	0.01	ROOF	RF
GN_3776 S-5	0.01	1	0.99	ANT	AN
GN_3776 S-5	1	2	1	Qac	MU
GN_3776 S-5	2	3.1	1.1	Qac	CL
GN_3776 S-5	3.1	4	0.9	TER	CG
GN_3776 S-5	4	5	1	TER	GS
GN_3776 S-5	5	5.99	0.99	TER	MG
GN_3776 S-5	5.99	6	0.01	FLOOR	FR
GN_3776 S-4	0	0.01	0.01	ROOF	RF

GN_3776 S-4	0.01	0.5	0.49	ANT	AN
GN_3776 S-4	0.5	1	0.5	Qac	MU
GN_3776 S-4	1	2.5	1.5	Qac	CL
GN_3776 S-4	2.5	3.7	1.2	TER	GS
GN_3776 S-4	3.7	4.2	0.5	TER	CG
GN_3776 S-4	4.2	4.49	0.29	TER	GS
GN_3776 S-4	4.49	4.5	0.01	FLOOR	FR
GN_3776 S-3	0	0.01	0.01	ROOF	RF
GN_3776 S-3	0.01	0.4	0.39	ANT	AN
GN_3776 S-3	0.4	1.2	0.8	Qac	MU
GN_3776 S-3	1.2	1.6	0.4	TER	GS
GN_3776 S-3	1.6	1.7	0.1	TER	CG
GN_3776 S-3	1.7	2.2	0.5	TER	GS
GN_3776 S-3	2.2	2.99	0.79	TER	MG
GN_3776 S-3	2.99	3	0.01	FLOOR	FR
GN_3776 S-2	0	0.01	0.01	ROOF	RF
GN_3776 S-2	0.01	0.75	0.74	ANT	AN
GN_3776 S-2	0.75	1.5	0.75	TER	GS
GN_3776 S-2	1.5	1.7	0.2	TER	CG
GN_3776 S-2	1.7	1.8	0.1	TER	GS
GN_3776 S-2	1.8	2	0.2	TER	MG
GN_3776 S-2	2	2.45	0.45	TER	GS
GN_3776 S-2	2.45	2.99	0.54	TER	MG
GN_3776 S-2	2.99	3	0.01	FLOOR	FR
GN_3776 S-1	0	0.01	0.01	ROOF	RF
GN_3776 S-1	0.01	1.5	1.49	ANT	AN
GN_3776 S-1	1.5	2.49	0.99	TER	GS
GN_3776 S-1	2.49	2.5	0.01	FLOOR	FR
GN_3777 C-2	0	0.01	0.01	ROOF	RF
GN_3777 C-2	0.01	0.3	0.29	ANT	AN
GN_3777 C-2	0.3	1.2	0.9	Qt2	MU
GN_3777 C-2	1.2	2	0.8	Qt2	CL
GN_3777 C-2	2	2.19	0.19	TER	LT
GN_3777 C-2	2.19	2.2	0.01	FLOOR	FR
GN_3777 SR-1	0	0.01	0.01	ROOF	RF
GN_3777 SR-1	0.01	0.2	0.19	ANT	AN
GN_3777 SR-1	0.2	0.6	0.4	Qt2	MU
GN_3777 SR-1	0.6	1	0.4	Qt2	SD
GN_3777 SR-1	1	1.9	0.9	Qt2	GR
GN_3777 SR-1	1.9	5.3	3.4	TER	MG
GN_3777 SR-1	5.3	5.99	0.69	TER	LT
GN_3777 SR-1	5.99	6	0.01	FLOOR	FR
GN_3777 C-3	0	0.01	0.01	ROOF	RF
GN_3777 C-3	0.01	0.4	0.39	ANT	AN
GN_3777 C-3	0.4	3.6	3.2	Qt2	MU
GN_3777 C-7	0	0.01	0.01	ROOF	RF

GN_3777 C-7	0.01	0.4	0.39	ANT	AN
GN_3777 C-7	0.4	1	0.6	Qt2	GR
GN_3777 C-7	1	1.7	0.7	Qt2	CL
GN_3777 C-7	1.7	1.89	0.19	TER	LT
GN_3777 C-7	1.89	1.9	0.01	FLOOR	FR
GN_3777 C-9	0	0.01	0.01	ROOF	RF
GN_3777 C-9	0.01	0.7	0.69	ANT	AN
GN_3777 C-9	0.7	1.2	0.5	Qt2	SD
GN_3777 C-8	0	0.01	0.01	ROOF	RF
GN_3777 C-8	0.01	0.2	0.19	ANT	AN
GN_3777 C-8	0.2	0.49	0.29	TER	GS
GN_3777 C-8	0.49	0.5	0.01	FLOOR	FR
GN_3777 SR-2	0	0.01	0.01	ROOF	RF
GN_3777 SR-2	0.01	0.2	0.19	ANT	AN
GN_3777 SR-2	0.2	1.5	1.3	Qt2	MU
GN_3777 SR-2	1.5	3.8	2.3	Qt2	CL
GN_3777 SR-2	3.8	5.3	1.5	TER	MG
GN_3777 SR-2	5.3	5.99	0.69	TER	GS
GN_3777 SR-2	5.99	6	0.01	FLOOR	FR
GN_3777 C-4	0	0.01	0.01	ROOF	RF
GN_3777 C-4	0.01	0.3	0.29	ANT	AN
GN_3777 C-4	0.3	1.2	0.9	ANT	AN
GN_3777 C-4	1.2	3.2	2	Qac	MU
GN_3777 C-5	0	0.01	0.01	ROOF	RF
GN_3777 C-5	0.01	0.1	0.09	ANT	AN
GN_3777 C-5	0.1	0.9	0.8	ANT	AN
GN_3777 C-5	0.9	1.5	0.6	Qt3	CL
GN_3777 C-6	0	0.01	0.01	ROOF	RF
GN_3777 C-6	0.01	0.4	0.39	ANT	AN
GN_3777 C-6	0.4	2.5	2.1	Qt3	MU
GN_3777 C-6	2.5	3.2	0.7	Qt3	SD
GN_3777 C-6	3.2	4	0.8	Qt3	GR
GN_3777 C-1	0	0.01	0.01	ROOF	RF
GN_3777 C-1	0.01	0.2	0.19	ANT	AN
GN_3777 C-1	0.2	0.6	0.4	Qt2	CL
GN_3777 C-1	0.6	2.1	1.5	Qt2	MU
GN_3777 C-1	2.1	3.1	1	Qt2	GR
GN_3778 S-7	0	0.01	0.01	ROOF	RF
GN_3778 S-7	0.01	1	0.99	ANT	AN
GN_3778 S-7	1	5	4	Qac	MU
GN_3778 S-7	5	6.4	1.4	TER	MG
GN_3778 S-7	6.4	11.99	5.59	TER	GS
GN_3778 S-7	11.99	12	0.01	FLOOR	FR
GN_3778 S-8	0	0.01	0.01	ROOF	RF
GN_3778 S-8	0.01	0.9	0.89	ANT	AN
GN_3778 S-8	0.9	4.4	3.5	Qac	MU

GN_3778 S-8	4.4	5.6	1.2	TER	MG
GN_3778 S-8	5.6	11.99	6.39	TER	GS
GN_3778 S-8	11.99	12	0.01	FLOOR	FR
GN_3778 S-9	0	0.01	0.01	ROOF	RF
GN_3778 S-9	0.01	1.9	1.89	ANT	AN
GN_3778 S-9	1.9	4	2.1	Qac	MU
GN_3778 S-9	4	6	2	TER	MG
GN_3778 S-9	6	10.99	4.99	TER	GS
GN_3778 S-9	10.99	11	0.01	FLOOR	FR
GN_3778 S-6	0	0.01	0.01	ROOF	RF
GN_3778 S-6	0.01	2	1.99	ANT	AN
GN_3778 S-6	2	2.4	0.4	Qac	MU
GN_3778 S-6	2.4	7.2	4.8	TER	MG
GN_3778 S-6	7.2	11.99	4.79	TER	GS
GN_3778 S-6	11.99	12	0.01	FLOOR	FR
GN_3778 S-5	0	0.01	0.01	ROOF	RF
GN_3778 S-5	0.01	1.8	1.79	ANT	AN
GN_3778 S-5	1.8	4.5	2.7	Qac	MU
GN_3778 S-5	4.5	7.5	3	TER	MG
GN_3778 S-5	7.5	11.69	4.19	TER	GS
GN_3778 S-5	11.69	11.7	0.01	FLOOR	FR
GN_3778 S-4	0	0.01	0.01	ROOF	RF
GN_3778 S-4	0.01	1.6	1.59	ANT	AN
GN_3778 S-4	1.6	3.2	1.6	Qac	MU
GN_3778 S-4	3.2	6.8	3.6	TER	MG
GN_3778 S-4	6.8	11.99	5.19	TER	GS
GN_3778 S-4	11.99	12	0.01	FLOOR	FR
GN_3778 S-2	0	0.01	0.01	ROOF	RF
GN_3778 S-2	0.01	1.9	1.89	ANT	AN
GN_3778 S-2	1.9	3.3	1.4	Qac	MU
GN_3778 S-2	3.3	9	5.7	TER	MG
GN_3778 S-2	9	11.99	2.99	TER	GS
GN_3778 S-2	11.99	12	0.01	FLOOR	FR
GN_3778 S-3	0	0.01	0.01	ROOF	RF
GN_3778 S-3	0.01	1.6	1.59	ANT	AN
GN_3778 S-3	1.6	4	2.4	Qac	MU
GN_3778 S-3	4	5.8	1.8	TER	MG
GN_3778 S-3	5.8	11.99	6.19	TER	GS
GN_3778 S-3	11.99	12	0.01	FLOOR	FR
GN_3778 S-1	0	0.01	0.01	ROOF	RF
GN_3778 S-1	0.01	2.2	2.19	ANT	AN
GN_3778 S-1	2.2	3.2	1	TER	MG
GN_3778 S-1	3.2	3.6	0.4	TER	GS
GN_3778 S-1	3.6	7	3.4	TER	MG
GN_3778 S-1	7	10.99	3.99	TER	GS
GN_3778 S-1	10.99	11	0.01	FLOOR	FR

GN_3779 S-1	0	0.01	0.01	ROOF	RF
GN_3779 S-1	0.01	0.6	0.59	ANT	AN
GN_3779 S-1	0.6	4.49	3.89	TER	LT
GN_3779 S-1	4.49	4.5	0.01	FLOOR	FR
GN_3779 S-2	0	0.01	0.01	ROOF	RF
GN_3779 S-2	0.01	0.4	0.39	ANT	AN
GN_3779 S-2	0.4	2	1.6	Qt3	MU
GN_3779 S-2	2	4.99	2.99	TER	LT
GN_3779 S-2	4.99	5	0.01	FLOOR	FR
GN_3779 S-4	0	0.01	0.01	ROOF	RF
GN_3779 S-4	0.01	0.5	0.49	ANT	AN
GN_3779 S-4	0.5	4.49	3.99	TER	LT
GN_3779 S-4	4.49	4.5	0.01	FLOOR	FR
GN_3779 S-3	0	0.01	0.01	ROOF	RF
GN_3779 S-3	0.01	0.9	0.89	ANT	AN
GN_3779 S-3	0.9	4.19	3.29	TER	LT
GN_3779 S-3	4.19	4.2	0.01	FLOOR	FR
GN_3780 S-2	0	0.01	0.01	ROOF	RF
GN_3780 S-2	0.01	0.6	0.59	ANT	AN
GN_3780 S-2	0.6	11.99	11.39	TER	LT
GN_3780 S-2	11.99	12	0.01	FLOOR	FR
GN_3780 S-1	0	0.01	0.01	ROOF	RF
GN_3780 S-1	0.01	0.4	0.39	ANT	AN
GN_3780 S-1	0.4	11.99	11.59	TER	LT
GN_3780 S-1	11.99	12	0.01	FLOOR	FR
GN_3780 S-3	0	0.01	0.01	ROOF	RF
GN_3780 S-3	0.01	1.4	1.39	ANT	AN
GN_3780 S-3	1.4	2.85	1.45	Qac	CL
GN_3780 S-3	2.85	14.99	12.14	TER	LT
GN_3780 S-3	14.99	15	0.01	FLOOR	FR
GN_3781 S-3	0	0.01	0.01	ROOF	RF
GN_3781 S-3	0.01	0.2	0.19	ANT	AN
GN_3781 S-3	0.2	2.3	2.1	Qac	MU
GN_3781 S-3	2.3	3.49	1.19	TER	LT
GN_3781 S-3	3.49	3.5	0.01	FLOOR	FR
GN_3781 S-1	0	0.01	0.01	ROOF	RF
GN_3781 S-1	0.01	0.2	0.19	ANT	AN
GN_3781 S-1	0.2	0.8	0.6	Qac	MU
GN_3781 S-1	0.8	4.99	4.19	TER	LT
GN_3781 S-1	4.99	5	0.01	FLOOR	FR
GN_3781 S-2	0	0.01	0.01	ROOF	RF
GN_3781 S-2	0.01	0.2	0.19	ANT	AN
GN_3781 S-2	0.2	1.6	1.4	Qac	MU
GN_3781 S-2	1.6	4.19	2.59	TER	LT
GN_3781 S-2	4.19	4.2	0.01	FLOOR	FR
GN_3782 S-1	0	0.01	0.01	ROOF	RF

GN_3782 S-1	0.01	2.7	2.69	Qt2	MU
GN_3782 S-1	2.7	6.3	3.6	Qac	SD
GN_3782 S-1	6.3	8.74	2.44	TER	MG
GN_3782 S-1	8.74	8.75	0.01	FLOOR	FR
GN_3783 C-8	0	0.01	0.01	ROOF	RF
GN_3783 C-8	0.01	0.8	0.79	ANT	AN
GN_3783 C-8	0.8	1	0.2	Qt1	GR
GN_3783 C-6	0	0.01	0.01	ROOF	RF
GN_3783 C-6	0.01	1.2	1.19	ANT	AN
GN_3783 C-7	0	0.01	0.01	ROOF	RF
GN_3783 C-7	0.01	1.2	1.19	ANT	AN
GN_3783 C-5	0	0.01	0.01	ROOF	RF
GN_3783 C-5	0.01	1.4	1.39	ANT	AN
GN_3783 C-4	0	0.01	0.01	ROOF	RF
GN_3783 C-4	0.01	1.2	1.19	ANT	AN
GN_3783 C-3	0	0.01	0.01	ROOF	RF
GN_3783 C-3	0.01	1.2	1.19	ANT	AN
GN_3783 C-2	0	0.01	0.01	ROOF	RF
GN_3783 C-2	0.01	1.2	1.19	ANT	AN
GN_3783 C-1	0	0.01	0.01	ROOF	RF
GN_3783 C-1	0.01	1.2	1.19	ANT	AN
GN_3784 S-4	0	0.01	0.01	ROOF	RF
GN_3784 S-4	0.01	1.58	1.57	ANT	AN
GN_3784 S-4	1.58	6.39	4.81	TER	GS
GN_3784 S-4	6.39	6.4	0.01	FLOOR	FR
GN_3784 S-2	0	0.01	0.01	ROOF	RF
GN_3784 S-2	0.01	1.8	1.79	ANT	AN
GN_3784 S-2	1.8	2.65	0.85	Qt1	SD
GN_3784 S-2	2.65	8.04	5.39	TER	GS
GN_3784 S-2	8.04	8.05	0.01	FLOOR	FR
GN_3784 S-1	0	0.01	0.01	ROOF	RF
GN_3784 S-1	0.01	1.1	1.09	ANT	AN
GN_3784 S-1	1.1	2.6	1.5	Qt1	SD
GN_3784 S-1	2.6	3	0.4	TER	MG
GN_3784 S-1	3	6.69	3.69	TER	GS
GN_3784 S-1	6.69	6.7	0.01	FLOOR	FR
GN_3784 S-5	0	0.01	0.01	ROOF	RF
GN_3784 S-5	0.01	1.2	1.19	ANT	AN
GN_3784 S-5	1.2	3.3	2.1	TER	MG
GN_3784 S-5	3.3	5.99	2.69	TER	GS
GN_3784 S-5	5.99	6	0.01	FLOOR	FR
GN_3784 S-6	0	0.01	0.01	ROOF	RF
GN_3784 S-6	0.01	3.65	3.64	ANT	AN
GN_3784 S-6	3.65	11.99	8.34	TER	GS
GN_3784 S-6	11.99	12	0.01	FLOOR	FR
GN_3784 S-3	0	0.01	0.01	ROOF	RF

GN_3784 S-3	0.01	1.2	1.19	ANT	AN
GN_3784 S-3	1.2	3.3	2.1	Qt1	SD
GN_3784 S-3	3.3	7.99	4.69	TER	GS
GN_3784 S-3	7.99	8	0.01	FLOOR	FR
GN_3785 S-8	0	0.01	0.01	ROOF	RF
GN_3785 S-8	0.01	5.4	5.39	ANT	AN
GN_3785 S-8	5.4	7.29	1.89	TER	GS
GN_3785 S-8	7.29	7.3	0.01	FLOOR	FR
GN_3785 S-7	0	0.01	0.01	ROOF	RF
GN_3785 S-7	0.01	4	3.99	ANT	AN
GN_3785 S-7	4	4.99	0.99	TER	GS
GN_3785 S-7	4.99	5	0.01	FLOOR	FR
GN_3786 P-6	0	0.01	0.01	ROOF	RF
GN_3786 P-6	0.01	2.1	2.09	Qac	CL
GN_3786 P-6	2.1	5.99	3.89	TER	LT
GN_3786 P-6	5.99	6	0.01	FLOOR	FR
GN_3786 S-5	0	0.01	0.01	ROOF	RF
GN_3786 S-5	0.01	5.2	5.19	Qac	MU
GN_3786 S-5	5.2	11.99	6.79	TER	GS
GN_3786 S-5	11.99	12	0.01	FLOOR	FR
GN_3786 S-4	0	0.01	0.01	ROOF	RF
GN_3786 S-4	0.01	0.4	0.39	ANT	AN
GN_3786 S-4	0.4	0.8	0.4	Qac	MU
GN_3786 S-4	0.8	3	2.2	TER	GS
GN_3786 S-4	3	11.99	8.99	TER	LT
GN_3786 S-4	11.99	12	0.01	FLOOR	FR
GN_3786 S-2	0	0.01	0.01	ROOF	RF
GN_3786 S-2	0.01	1.8	1.79	Qac	MU
GN_3786 S-2	1.8	5	3.2	TER	GS
GN_3786 S-2	5	10.5	5.5	TER	LT
GN_3786 S-2	10.5	11.99	1.49	TER	GS
GN_3786 S-2	11.99	12	0.01	FLOOR	FR
GN_3786 S-3	0	0.01	0.01	ROOF	RF
GN_3786 S-3	0.01	0.4	0.39	ANT	AN
GN_3786 S-3	0.4	0.8	0.4	Qac	MU
GN_3786 S-3	0.8	3	2.2	TER	GS
GN_3786 S-3	3	11.99	8.99	TER	LT
GN_3786 S-3	11.99	12	0.01	FLOOR	FR
GN_3786 P-1	0	0.01	0.01	ROOF	RF
GN_3786 P-1	0.01	0.2	0.19	ANT	AN
GN_3786 P-1	0.2	6.2	6	Qac	MU
GN_3786 P-1	6.2	11.99	5.79	TER	GS
GN_3786 P-1	11.99	12	0.01	FLOOR	FR
GN_3786 P-2	0	0.01	0.01	ROOF	RF
GN_3786 P-2	0.01	1.9	1.89	Qac	CL
GN_3786 P-2	1.9	5.99	4.09	TER	LT

GN_3786 P-2	5.99	6	0.01	FLOOR	FR
GN_3786 P-3	0	0.01	0.01	ROOF	RF
GN_3786 P-3	0.01	1.25	1.24	Qac	CL
GN_3786 P-3	1.25	5.99	4.74	TER	LT
GN_3786 P-3	5.99	6	0.01	FLOOR	FR
GN_3786 P-4	0	0.01	0.01	ROOF	RF
GN_3786 P-4	0.01	1.3	1.29	Qac	CL
GN_3786 P-4	1.3	5.99	4.69	TER	LT
GN_3786 P-4	5.99	6	0.01	FLOOR	FR
GN_3786 P-5	0	0.01	0.01	ROOF	RF
GN_3786 P-5	0.01	1.1	1.09	Qac	CL
GN_3786 P-5	1.1	5.99	4.89	TER	LT
GN_3786 P-5	5.99	6	0.01	FLOOR	FR
GN_3786 S-8	0	0.01	0.01	ROOF	RF
GN_3786 S-8	0.01	0.2	0.19	ANT	AN
GN_3786 S-8	0.2	2.1	1.9	Qac	MU
GN_3786 S-8	2.1	11.99	9.89	TER	LT
GN_3786 S-8	11.99	12	0.01	FLOOR	FR
GN_3786 S-9	0	0.01	0.01	ROOF	RF
GN_3786 S-9	0.01	0.2	0.19	ANT	AN
GN_3786 S-9	0.2	0.9	17	Qac	MU
GN_3786 S-9	0.9	11.99	11.09	TER	LT
GN_3786 S-9	11.99	12	0.01	FLOOR	FR
GN_3786 S-10	0	0.01	0.01	ROOF	RF
GN_3786 S-10	0.01	0.2	0.19	ANT	AN
GN_3786 S-10	0.2	0.9	0.7	Qac	MU
GN_3786 S-10	0.9	11.99	11.09	TER	LT
GN_3786 S-10	11.99	12	0.01	FLOOR	FR
GN_3786 S-11	0	0.01	0.01	ROOF	RF
GN_3786 S-11	0.01	4.2	4.19	TER	LT
GN_3786 S-11	4.2	6.8	2.6	TER	GS
GN_3786 S-11	6.8	11.99	5.19	TER	LT
GN_3786 S-11	11.99	12	0.01	FLOOR	FR
GN_3786 S-13	0	0.01	0.01	ROOF	RF
GN_3786 S-13	0.01	0.2	0.19	ANT	AN
GN_3786 S-13	0.2	1.3	1.1	Qac	CL
GN_3786 S-13	1.3	1.5	0.2	Qac	LT
GN_3786 S-13	1.5	4.5	3	Qac	MU
GN_3786 S-13	4.5	5.4	20	Qac	CL
GN_3786 S-13	5.4	11.99	6.59	TER	LT
GN_3786 S-13	11.99	12	0.01	FLOOR	FR
GN_3786 S-14	0	0.01	0.01	ROOF	RF
GN_3786 S-14	0.01	0.2	0.19	ANT	AN
GN_3786 S-14	0.2	1.3	1.1	Qac	CL
GN_3786 S-14	1.3	1.5	21	Qac	LT
GN_3786 S-14	1.5	4.5	3	Qac	MU

GN_3786 S-14	4.5	5.4	0.9	Qac	CL
GN_3786 S-14	5.4	11.99	6.59	TER	LT
GN_3786 S-14	11.99	12	0.01	FLOOR	FR
GN_3786 S-15	0	0.01	0.01	ROOF	RF
GN_3786 S-15	0.01	0.2	0.19	ANT	AN
GN_3786 S-15	0.2	6.2	6	Qac	MU
GN_3786 S-15	6.2	11.99	5.79	TER	GS
GN_3786 S-15	11.99	12	0.01	FLOOR	FR
GN_3786 P-7	0	0.01	0.01	ROOF	RF
GN_3786 P-7	0.01	4.7	4.69	Qac	CL
GN_3786 P-7	4.7	5.99	1.29	TER	LT
GN_3786 P-7	5.99	6	0.01	FLOOR	FR
GN_3786 S-1	0	0.01	0.01	ROOF	RF
GN_3786 S-1	0.01	0.2	0.19	ANT	AN
GN_3786 S-1	0.2	11.99	11.79	TER	LT
GN_3786 S-1	11.99	12	0.01	FLOOR	FR
GN_3786 S-6	0	0.01	0.01	ROOF	RF
GN_3786 S-6	0.01	0.2	0.19	ANT	AN
GN_3786 S-6	0.2	4.5	4.3	Qac	MU
GN_3786 S-6	4.5	5.3	0.8	Qac	GR
GN_3786 S-7	0	0.01	0.01	ROOF	RF
GN_3786 S-7	0.01	0.2	0.19	ANT	AN
GN_3786 S-7	0.2	1.2	1	Qac	MU
GN_3786 S-7	1.2	1.8	0.6	TER	GS
GN_3786 S-7	1.8	8.6	6.8	TER	LT
GN_3786 S-7	8.6	11.99	3.39	TER	GS
GN_3786 S-7	11.99	12	0.01	FLOOR	FR
GN_3786 S-12	0	0.01	0.01	ROOF	RF
GN_3786 S-12	0.01	0.2	0.19	ANT	AN
GN_3786 S-12	0.2	5.1	4.9	Qac	MU
GN_3786 S-12	5.1	11.99	6.89	TER	LT
GN_3786 S-12	11.99	12	0.01	FLOOR	FR
GN_4285 S-2	0	0.01	0.01	ROOF	RF
GN_4285 S-2	0.01	0.7	0.69	Qac	CL
GN_4285 S-2	0.7	2.49	1.79	TER	MG
GN_4285 S-2	2.49	2.5	0.01	FLOOR	FR
GN_4285 S-3	0	0.01	0.01	ROOF	RF
GN_4285 S-3	0.01	0.3	0.29	Qac	CL
GN_4285 S-3	0.3	2.99	2.69	TER	MG
GN_4285 S-3	2.99	3	0.01	FLOOR	FR
GN_4285 S-1	0	0.01	0.01	ROOF	RF
GN_4285 S-1	0.01	0.3	0.29	Qac	CL
GN_4285 S-1	0.3	4.79	4.49	TER	MG
GN_4285 S-1	4.79	4.8	0.01	FLOOR	FR
GN_4567 S-10	0	0.01	0.01	ROOF	RF
GN_4567 S-10	0.01	1.6	1.59	ANT	AN

GN_4567 S-10	1.6	2.8	1.2	Qac	CL
GN_4567 S-10	2.8	8.99	6.19	TER	MG
GN_4567 S-10	8.99	9	0.01	FLOOR	FR
GN_4567 S-8	0	0.01	0.01	ROOF	RF
GN_4567 S-8	0.01	2.8	2.79	ANT	AN
GN_4567 S-8	2.8	5.2	2.4	Qac	MU
GN_4567 S-8	5.2	10.99	5.79	TER	MG
GN_4567 S-8	10.99	11	0.01	FLOOR	FR
GN_4567 S-9	0	0.01	0.01	ROOF	RF
GN_4567 S-9	0.01	2	1.99	ANT	AN
GN_4567 S-9	2	9.49	7.49	TER	MG
GN_4567 S-9	9.49	9.5	0.01	FLOOR	FR
GN_4973 S-1	0	0.01	0.01	ROOF	RF
GN_4973 S-1	0.01	0.2	0.19	ANT	AN
GN_4973 S-1	0.2	1.2	1	Qac	MU
GN_4973 S-1	1.2	1.5	0.3	Qac	SD
GN_4973 S-1	1.5	2.05	0.55	Qac	MU
GN_4973 S-1	2.05	3.8	1.75	TER	GS
GN_4973 S-1	3.8	4.2	0.4	TER	MG
GN_4973 S-1	4.2	5.2	1	TER	GS
GN_4973 S-1	5.2	5.8	0.6	TER	MG
GN_4973 S-1	5.8	7.99	2.19	TER	GS
GN_4973 S-1	7.99	8	0.01	FLOOR	FR
GN_4973 S-2	0	0.01	0.01	ROOF	RF
GN_4973 S-2	0.01	0.8	0.79	ANT	AN
GN_4973 S-2	0.8	2.75	1.95	Qac	MU
GN_4973 S-2	2.75	3.1	0.35	Qac	GR
GN_4973 S-2	3.1	4.6	1.5	Qac	MU
GN_4973 S-2	4.6	5.99	1.39	TER	MG
GN_4973 S-2	5.99	6	0.01	FLOOR	FR
GN_4973 S-3	0	0.01	0.01	ROOF	RF
GN_4973 S-3	0.01	0.5	0.49	ANT	AN
GN_4973 S-3	0.5	5.5	5	Qac	MU
GN_4973 S-3	5.5	6.5	1	TER	MG
GN_4973 S-3	6.5	7.99	1.49	TER	GS
GN_4973 S-3	7.99	8	0.01	FLOOR	FR
GN_4973 C-1	0	0.01	0.01	ROOF	RF
GN_4973 C-1	0.01	0.25	0.24	ANT	AN
GN_4973 C-1	0.25	0.9	0.65	Qac	MU
GN_5048 S-1	0	0.01	0.01	ROOF	RF
GN_5048 S-1	0.01	2.1	2.09	ANT	AN
GN_5048 S-1	2.1	5.1	3	Qac	CL
GN_5048 S-1	5.1	8.99	3.89	TER	LT
GN_5048 S-1	8.99	9	0.01	FLOOR	FR
GN_5048 S-2	0	0.01	0.01	ROOF	RF
GN_5048 S-2	0.01	0.2	0.19	ANT	AN

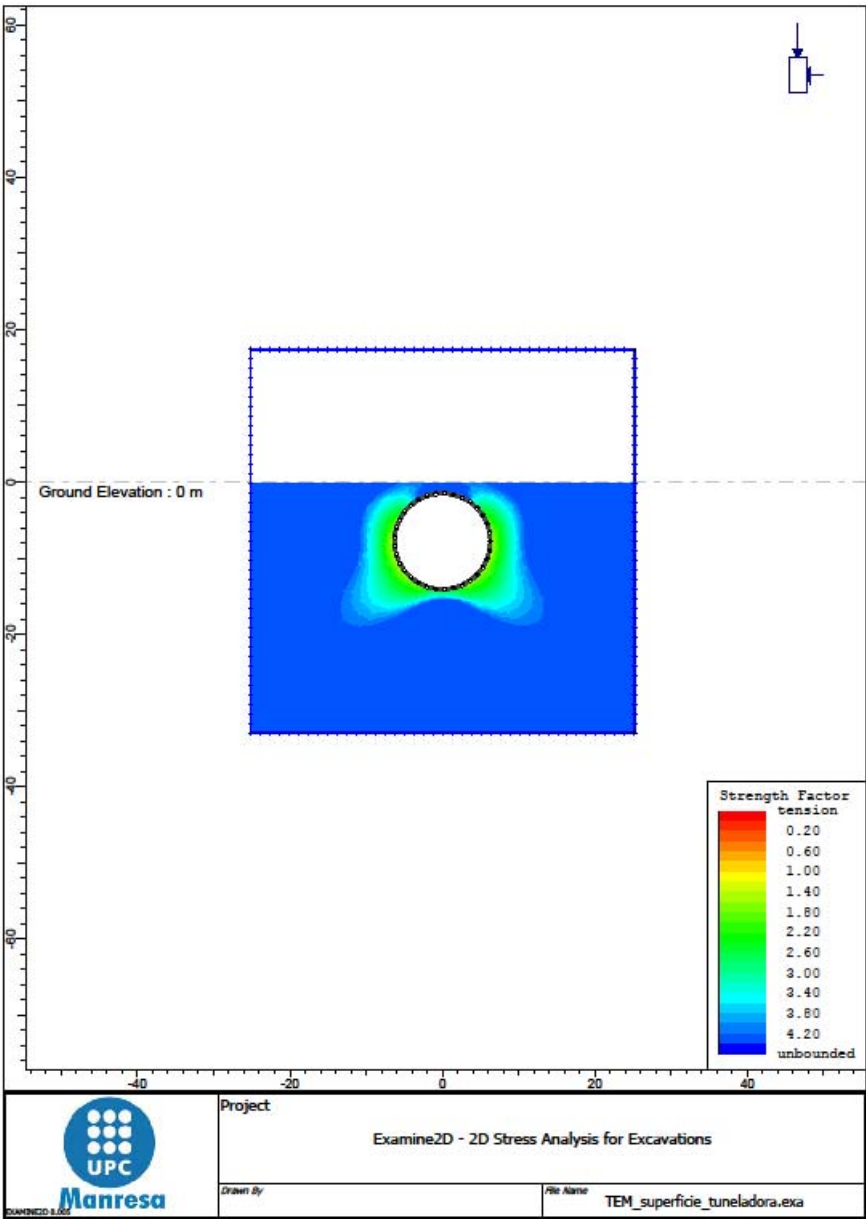
GN_5048 S-2	0.2	1.5	1.3	ANT	AN
GN_5048 S-2	1.5	3.4	1.9	Qac	CL
GN_5048 S-2	3.4	5.8	2.4	TER	LT
GN_5048 S-2	5.8	6.4	0.6	TER	GS
GN_5048 S-2	6.4	7.99	1.59	TER	LT
GN_5048 S-2	7.99	8	0.01	FLOOR	FR
GN_5048 S-3	0	0.01	0.01	ROOF	RF
GN_5048 S-3	0.01	4	3.99	ANT	AN
GN_5048 S-3	4	6	2	Qac	CL
GN_5048 S-3	6	9.7	3.7	TER	LT
GN_5048 S-3	9.7	9.99	0.29	TER	GS
GN_5048 S-3	9.99	10	0.01	FLOOR	FR
GN_5152 S-1	0	0.01	0.01	ROOF	RF
GN_5152 S-1	0.01	2.7	2.69	ANT	AN
GN_5152 S-1	2.7	4.2	1.5	Qac	MU
GN_5152 S-1	4.2	4.7	0.5	TER	MG
GN_5152 S-1	4.7	4.8	0.1	TER	GS
GN_5152 S-1	4.8	6.09	1.29	TER	MG
GN_5152 S-1	6.09	6.1	0.01	FLOOR	FR
GN_5152 S-2	0	0.01	0.01	ROOF	RF
GN_5152 S-2	0.01	3.2	3.19	ANT	AN
GN_5152 S-2	3.2	6.99	3.79	TER	MG
GN_5152 S-2	6.99	7	0.01	FLOOR	FR
GN_5996 S-4	0	0.01	0.01	ROOF	RF
GN_5996 S-4	0.01	0.3	0.29	ANT	AN
GN_5996 S-4	0.3	0.8	0.5	Qac	MU
GN_5996 S-4	0.8	2.99	2.19	TER	GS
GN_5996 S-4	2.99	3	0.01	FLOOR	FR
GN_5996 S-3	0	0.01	0.01	ROOF	RF
GN_5996 S-3	0.01	0.6	0.59	ANT	AN
GN_5996 S-3	0.6	1.3	0.7	Qac	MU
GN_5996 S-3	1.3	3.99	2.69	TER	GS
GN_5996 S-3	3.99	4	0.01	FLOOR	FR
GN_6152 S-2	0	0.01	0.01	ROOF	RF
GN_6152 S-2	0.01	0.5	0.49	ANT	AN
GN_6152 S-2	0.5	2.4	1.9	Qac	MU
GN_6152 S-2	2.4	5	2.6	TER	GS
GN_6152 S-2	5	5.5	0.5	TER	CG
GN_6152 S-2	5.5	6.99	1.49	TER	GS
GN_6152 S-2	6.99	7	0.01	FLOOR	FR
GN_6152 S-1	0	0.01	0.01	ROOF	RF
GN_6152 S-1	0.01	0.4	0.39	ANT	AN
GN_6152 S-1	0.4	4.7	4.3	TER	GS
GN_6152 S-1	4.7	5.2	0.5	TER	CG
GN_6152 S-1	5.2	7.99	2.79	TER	GS
GN_6152 S-1	7.99	8	0.01	FLOOR	FR

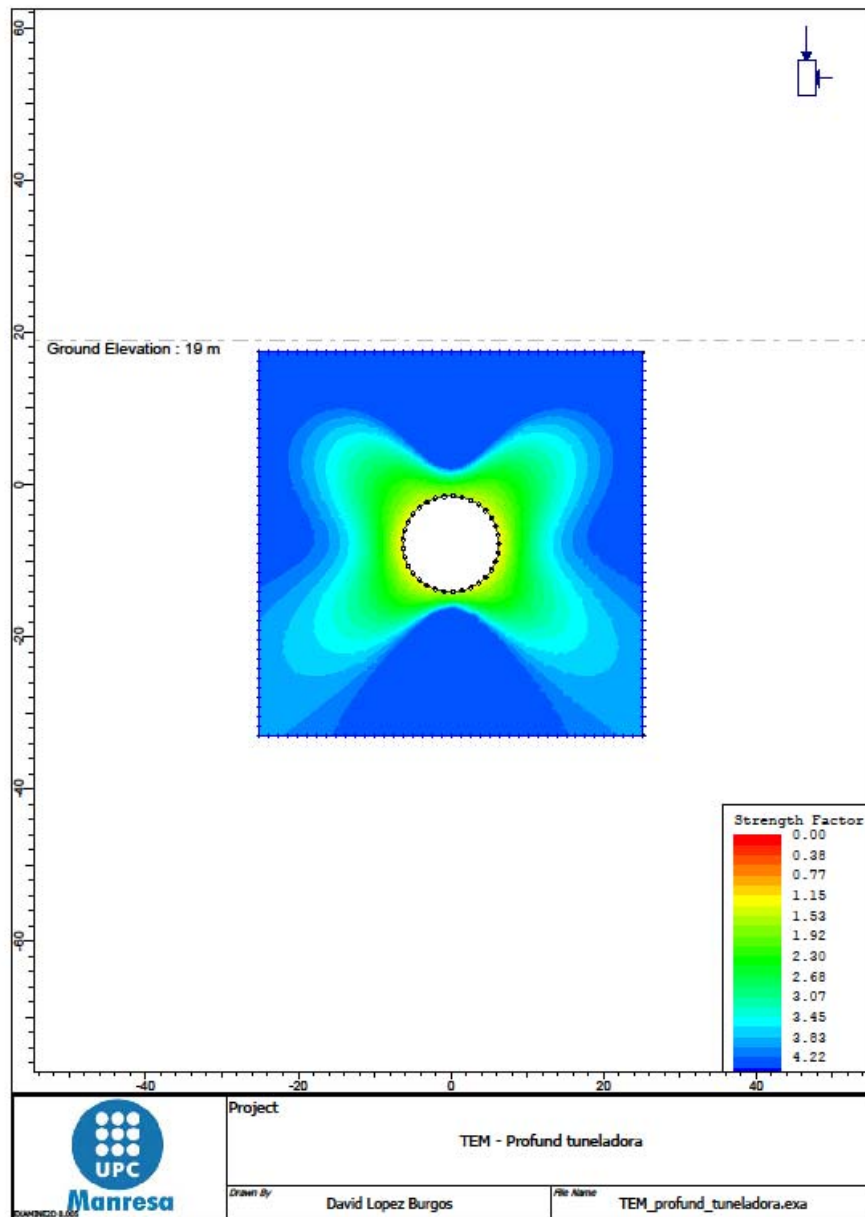
GT_035_09 C-1	0	0.01	0.01	ROOF	RF
GT_035_09 C-1	0.01	0.5	0.49	ANT	AN
GT_035_09 C-1	0.5	0.75	0.25	ANT	AN
GT_035_09 C-1	0.75	1	0.25	Qac	SD
GT_035_09 C-1	1	1.19	0.19	TER	LT
GT_035_09 C-1	1.19	1.2	0.01	FLOOR	FR
GT_035_09 C-2	0	0.01	0.01	ROOF	RF
GT_035_09 C-2	0.01	0.4	0.39	ANT	AN
GT_035_09 C-2	0.4	2.4	2	ANT	AN
GT_035_09 C-2	2.4	4.59	2.19	TER	LT
GT_035_09 C-2	4.59	4.6	0.01	FLOOR	FR
GT_035_09 C-2B	0	0.01	0.01	ROOF	RF
GT_035_09 C-2B	0.01	0.5	0.49	ANT	AN
GT_035_09 C-2B	0.5	2.1	1.6	ANT	AN
GT_035_09 C-2B	2.1	3.39	1.29	TER	LT
GT_035_09 C-2B	3.39	3.4	0.01	FLOOR	FR
GT_035_09 C-3	0	0.01	0.01	ROOF	RF
GT_035_09 C-3	0.01	0.9	0.89	ANT	AN
GT_035_09 C-3	0.9	2.4	1.5	Qac	CL
GT_035_09 C-3	2.4	4.6	2.2	Qac	SD
GT_035_09 C-3	4.6	4.79	0.19	TER	LT
GT_035_09 C-3	4.79	4.8	0.01	FLOOR	FR
GT_035_09 C-4	0	0.01	0.01	ROOF	RF
GT_035_09 C-4	0.01	0.5	0.49	ANT	AN
GT_035_09 C-4	0.5	1.2	0.7	Qac	CL
GT_035_09 C-4	1.2	1.39	0.19	TER	LT
GT_035_09 C-4	1.39	1.4	0.01	FLOOR	FR
GT_035_09 C-5	0	0.01	0.01	ROOF	RF
GT_035_09 C-5	0.01	1.1	1.09	ANT	AN
GT_035_09 C-5	1.1	3.2	2.1	Qac	CL
GT_035_09 C-5	3.2	4.1	0.9	Qac	SD
GT_035_09 C-5	4.1	4.39	0.29	TER	LT
GT_035_09 C-5	4.39	4.4	0.01	FLOOR	FR
GT_035_09 C-7	0	0.01	0.01	ROOF	RF
GT_035_09 C-7	0.01	0.3	0.29	ANT	AN
GT_035_09 C-7	0.3	0.4	0.1	Qac	CL
GT_035_09 C-7	0.4	0.5	0.1	Qac	SD
GT_035_09 C-7	0.5	1.7	1.2	Qac	CL
GT_035_09 C-7	1.7	1.89	0.19	TER	LT
GT_035_09 C-7	1.89	1.9	0.01	FLOOR	FR
GT_035_09 C-8	0	0.01	0.01	ROOF	RF
GT_035_09 C-8	0.01	1.5	1.49	ANT	AN
GT_035_09 C-8	1.5	1.69	0.19	TER	GS
GT_035_09 C-8	1.69	1.7	0.01	FLOOR	FR
GT_035_09 C-9	0	0.01	0.01	ROOF	RF
GT_035_09 C-9	0.01	0.8	0.79	ANT	AN

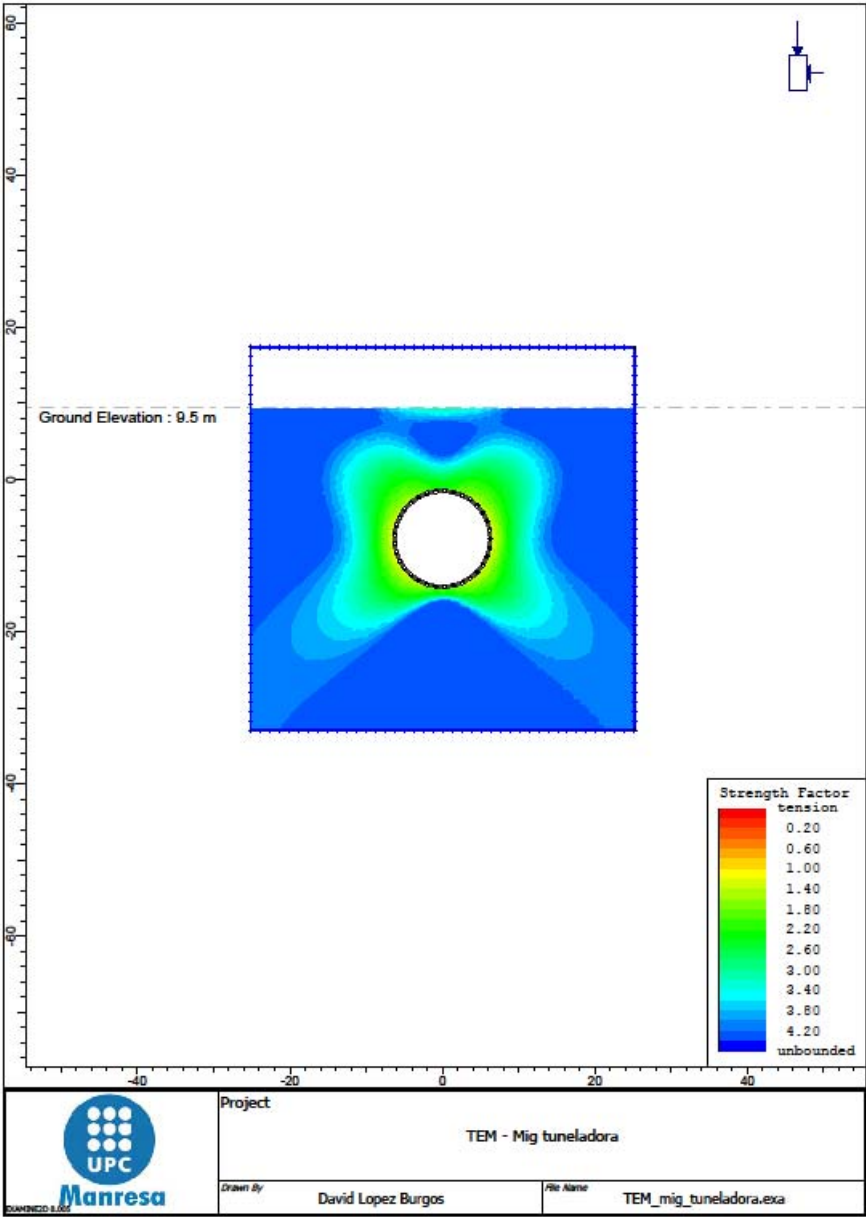
GT_035_09 C-9	0.8	1.1	0.3	Qac	SD
GT_035_09 C-9	1.1	1.6	0.5	Qac	CL
GT_035_09 C-9	1.6	2.09	0.49	TER	LT
GT_035_09 C-9	2.09	2.1	0.01	FLOOR	FR
GT_035_09 C-10	0	0.01	0.01	ROOF	RF
GT_035_09 C-10	0.01	0.3	0.29	ANT	AN
GT_035_09 C-10	0.3	0.59	0.29	TER	LT
GT_035_09 C-10	0.59	0.6	0.01	FLOOR	FR
GT_035_09 C-11	0	0.01	0.01	ROOF	RF
GT_035_09 C-11	0.01	0.6	0.59	ANT	AN
GT_035_09 C-11	0.6	1	0.4	Qac	SD
GT_035_09 C-11	1	1.59	0.59	TER	LT
GT_035_09 C-11	1.59	1.6	0.01	FLOOR	FR
GT_035_09 C-12	0	0.01	0.01	ROOF	RF
GT_035_09 C-12	0.01	0.6	0.59	ANT	AN
GT_035_09 C-12	0.6	4.2	3.6	Qac	CL
GT_035_09 C-12	4.2	4.49	0.29	TER	LT
GT_035_09 C-12	4.49	4.5	0.01	FLOOR	FR
GT_035_09 C-13	0	0.01	0.01	ROOF	RF
GT_035_09 C-13	0.01	0.75	0.74	ANT	AN
GT_035_09 C-13	0.75	1.25	0.5	Qac	MU
GT_035_09 C-13	1.25	1.49	0.24	TER	LT
GT_035_09 C-13	1.49	1.5	0.01	FLOOR	FR
GT_035_09 C-14	0	0.01	0.01	ROOF	RF
GT_035_09 C-14	0.01	0.6	0.59	ANT	AN
GT_035_09 C-14	0.6	1.2	0.6	Qac	SD
GT_035_09 C-14	1.2	1.39	0.19	TER	GS
GT_035_09 C-14	1.39	1.4	0.01	FLOOR	FR
GT_035_09 C-15	0	0.01	0.01	ROOF	RF
GT_035_09 C-15	0.01	0.25	0.24	ANT	AN
GT_035_09 C-15	0.25	0.6	0.35	Qac	CL
GT_035_09 C-15	0.6	0.79	0.19	TER	LT
GT_035_09 C-15	0.79	0.8	0.01	FLOOR	FR
GT_035_09 C-16	0	0.01	0.01	ROOF	RF
GT_035_09 C-16	0.01	0.5	0.49	ANT	AN
GT_035_09 C-16	0.5	1.1	0.6	Qac	CL
GT_035_09 C-16	1.1	1.39	0.29	TER	LT
GT_035_09 C-16	1.39	1.4	0.01	FLOOR	FR
GT_035_09 C-17	0	0.01	0.01	ROOF	RF
GT_035_09 C-17	0.01	0.4	0.39	ANT	AN
GT_035_09 C-17	0.4	1.1	0.7	Qac	SD
GT_035_09 C-17	1.1	1.7	0.6	Qac	MU
GT_035_09 C-17	1.7	1.99	0.29	TER	LT
GT_035_09 C-17	1.99	2	0.01	FLOOR	FR
GT_055_09 C-1	0	0.01	0.01	ROOF	RF
GT_055_09 C-1	0.01	0.2	0.19	ANT	AN

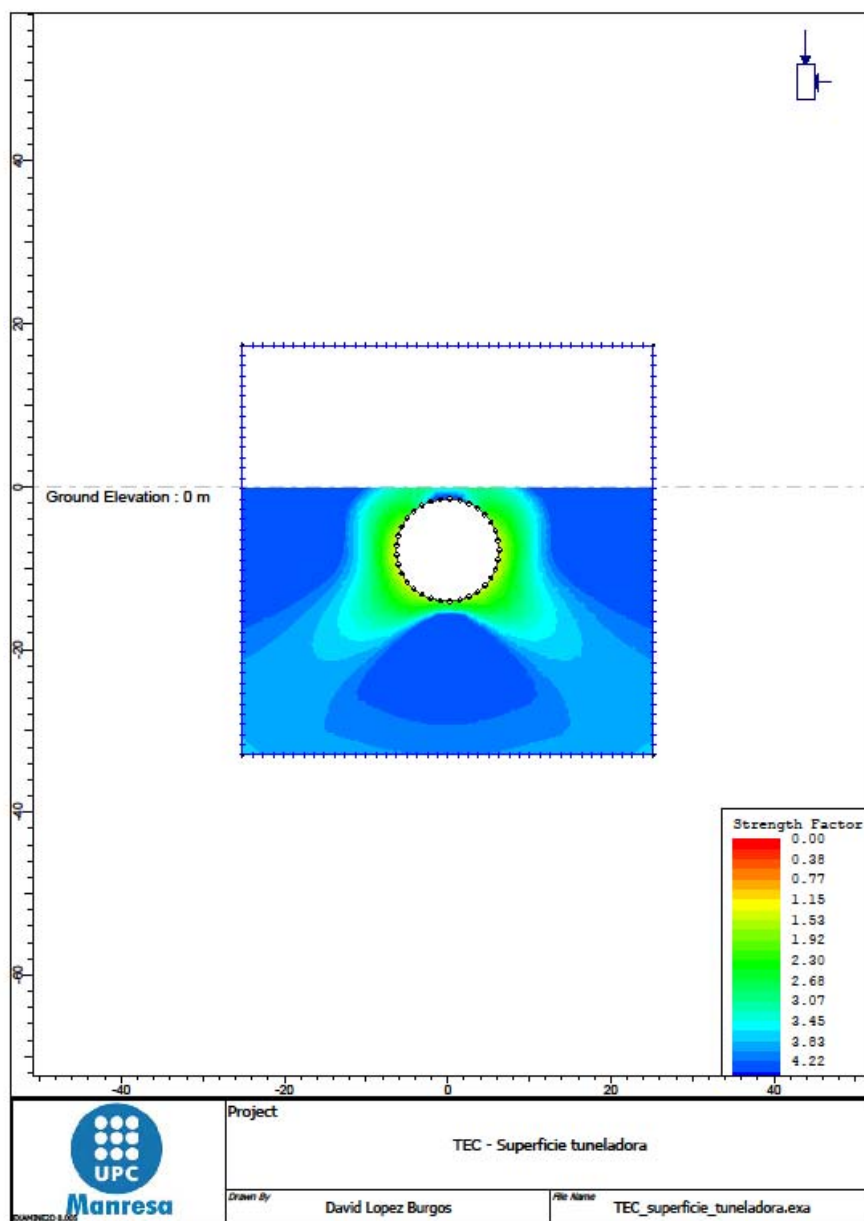
GT_055_09 C-1	0.2	0.4	0.2	Qac	CL
GT_055_09 C-1	0.4	5.59	5.19	TER	GS
GT_055_09 C-1	5.59	5.6	0.01	FLOOR	FR
GT_055_09 C-1B	0	0.01	0.01	ROOF	RF
GT_055_09 C-1B	0.01	0.3	0.29	ANT	AN
GT_055_09 C-1B	0.3	1.1	0.8	Qac	CL
GT_055_09 C-1B	1.1	1.19	0.09	TER	GS
GT_055_09 C-1B	1.19	1.2	0.01	FLOOR	FR
GT_055_09 C-2	0	0.01	0.01	ROOF	RF
GT_055_09 C-2	0.01	0.2	0.19	ANT	AN
GT_055_09 C-2	0.2	0.5	0.3	Qac	CL
GT_055_09 C-2	0.5	0.69	0.19	TER	LT
GT_055_09 C-2	0.69	0.7	0.01	FLOOR	FR
GT_055_09 C-3	0	0.01	0.01	ROOF	RF
GT_055_09 C-3	0.01	0.2	0.19	ANT	AN
GT_055_09 C-3	0.2	1.25	1.05	Qac	CL
GT_055_09 C-3	1.25	1.49	0.24	TER	LT
GT_055_09 C-3	1.49	1.5	0.01	FLOOR	FR
GT_055_09 C-4	0	0.01	0.01	ROOF	RF
GT_055_09 C-4	0.01	0.2	0.19	ANT	AN
GT_055_09 C-4	0.2	0.6	0.4	Qac	CL
GT_055_09 C-4	0.6	0.69	0.09	TER	GS
GT_055_09 C-4	0.69	0.7	0.01	FLOOR	FR
GT_055_09 C-5	0	0.01	0.01	ROOF	RF
GT_055_09 C-5	0.01	2.5	2.49	ANT	AN
GT_055_09 C-5	2.5	3.6	1.1	ANT	AN
GT_055_09 C-5B	0	0.01	0.01	ROOF	RF
GT_055_09 C-5B	0.01	0.2	0.19	ANT	AN
GT_055_09 C-5B	0.2	1.7	1.5	Qac	CL
GT_055_09 C-5B	1.7	2.19	0.49	TER	LT
GT_055_09 C-5B	2.19	2.2	0.01	FLOOR	FR

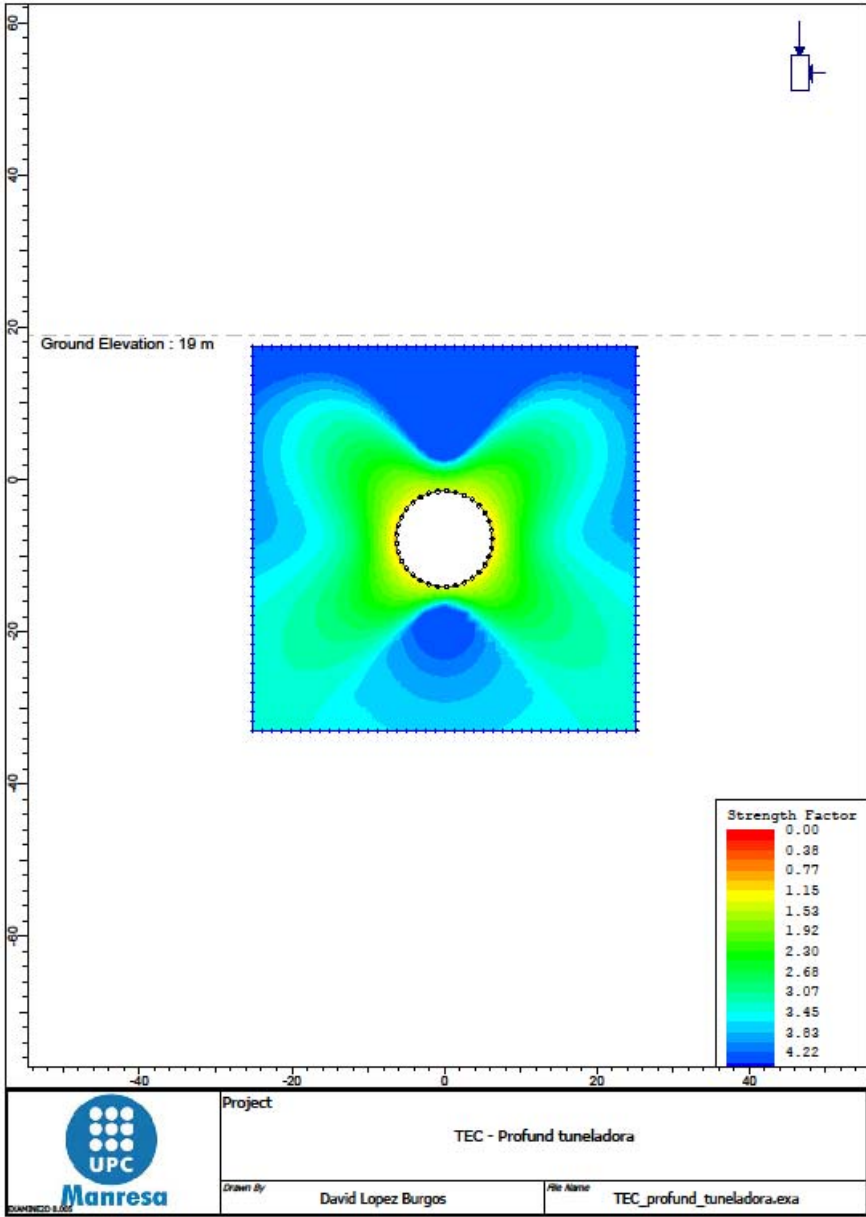
10.6. **Examine2D**

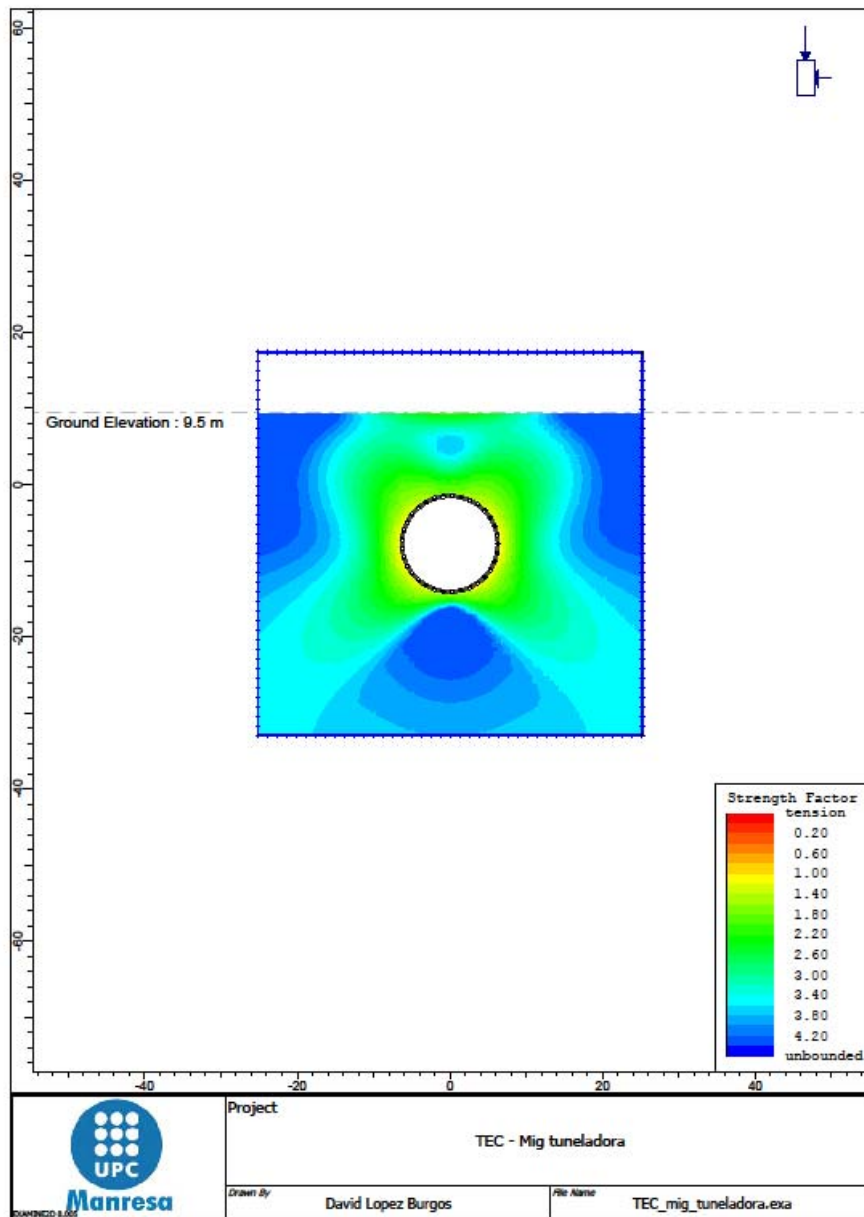


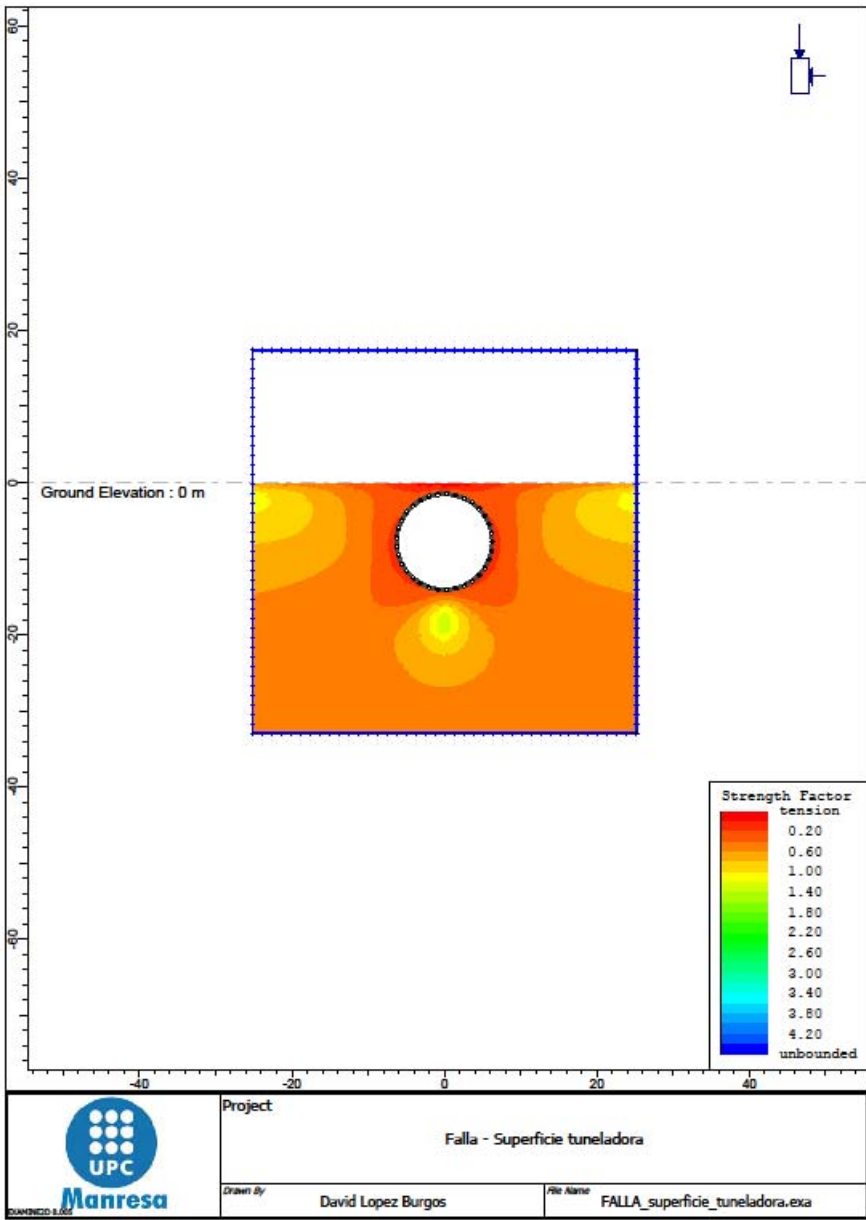


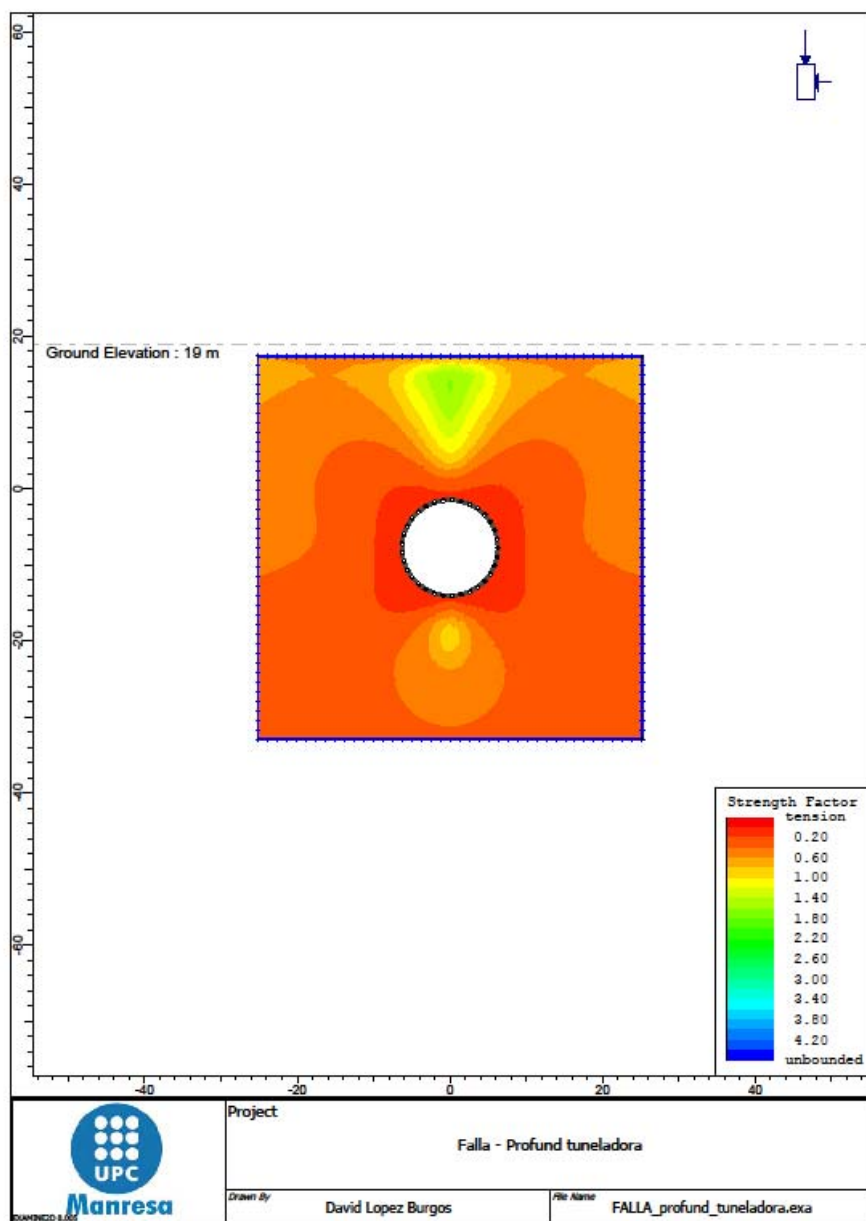


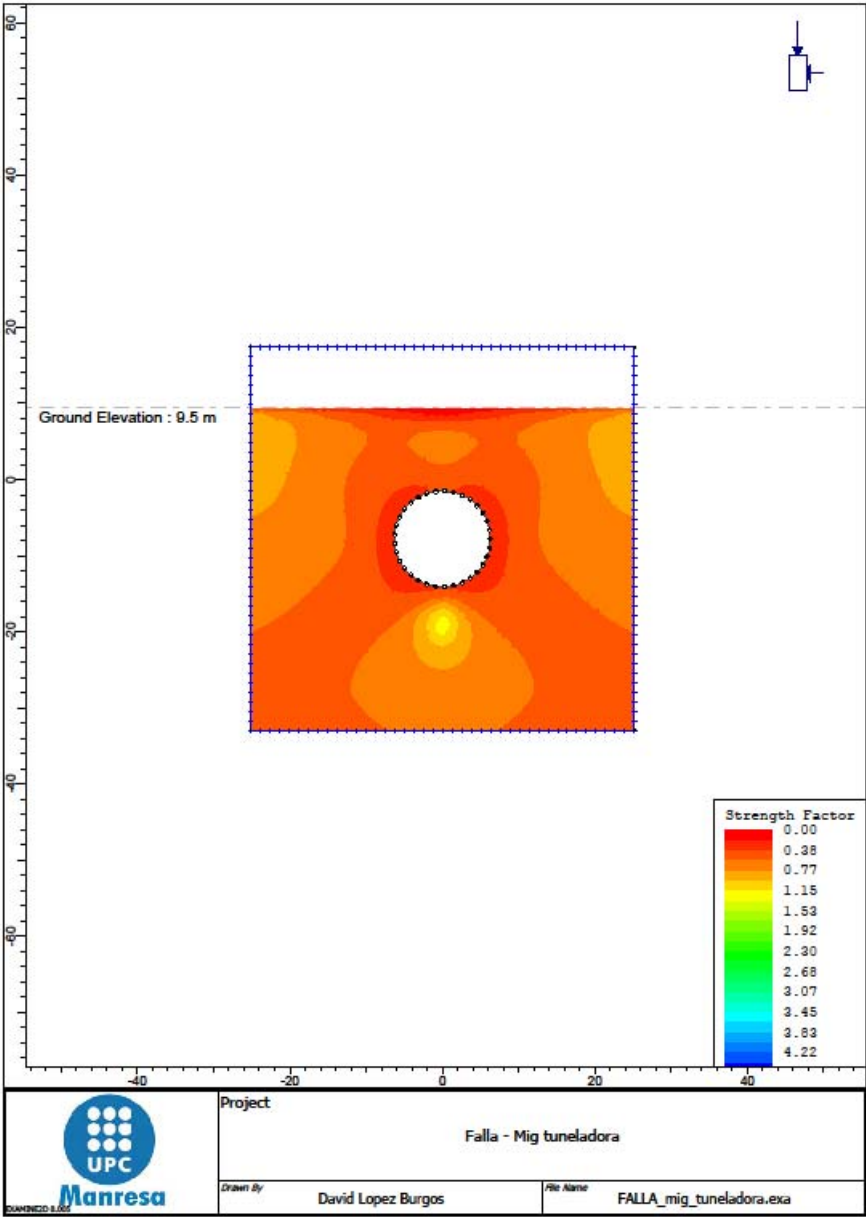


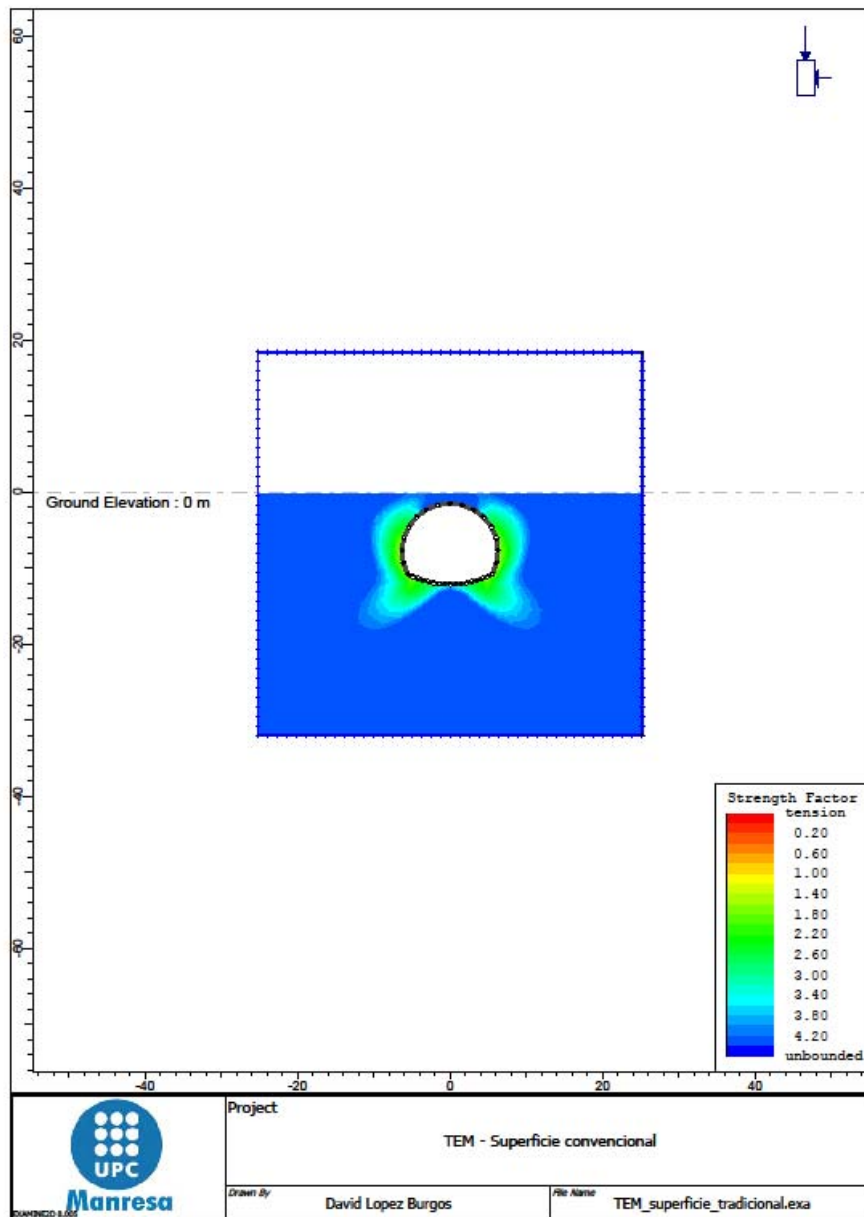


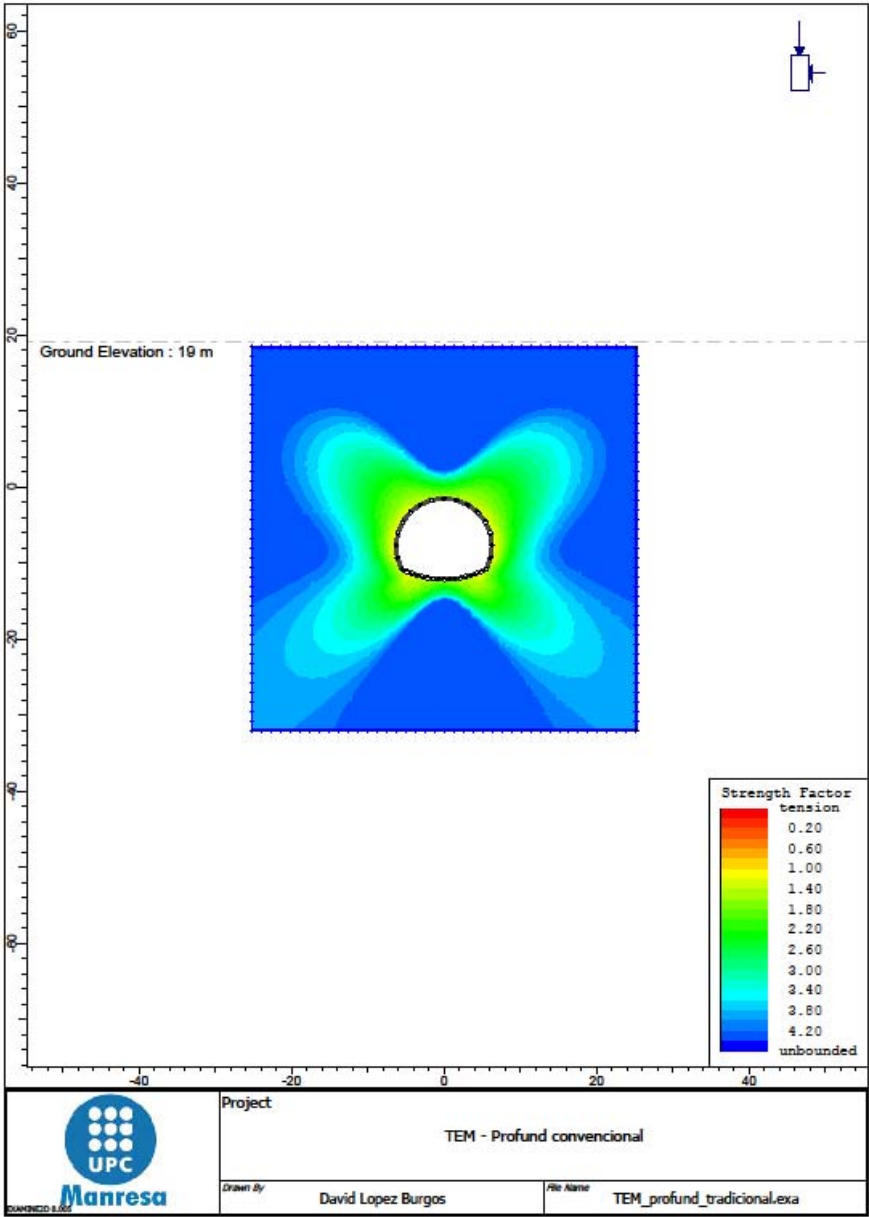


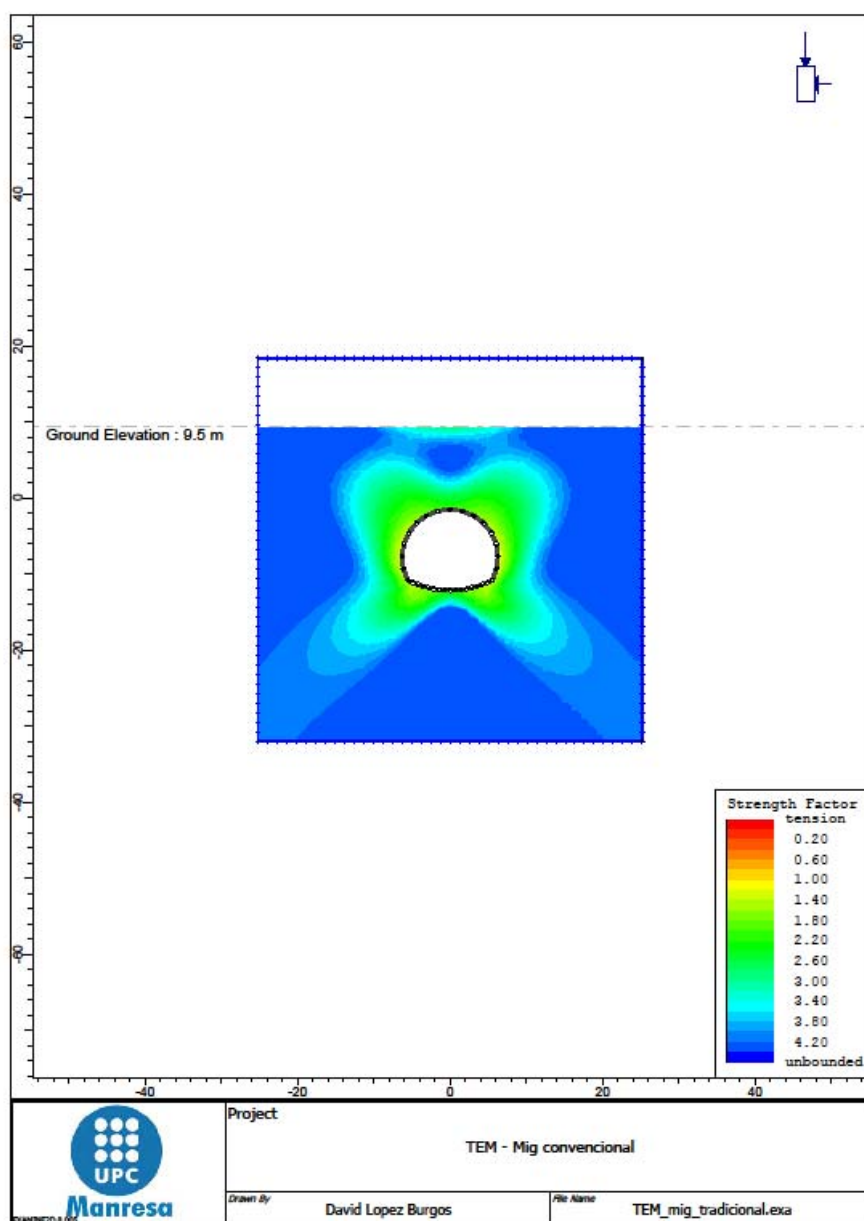


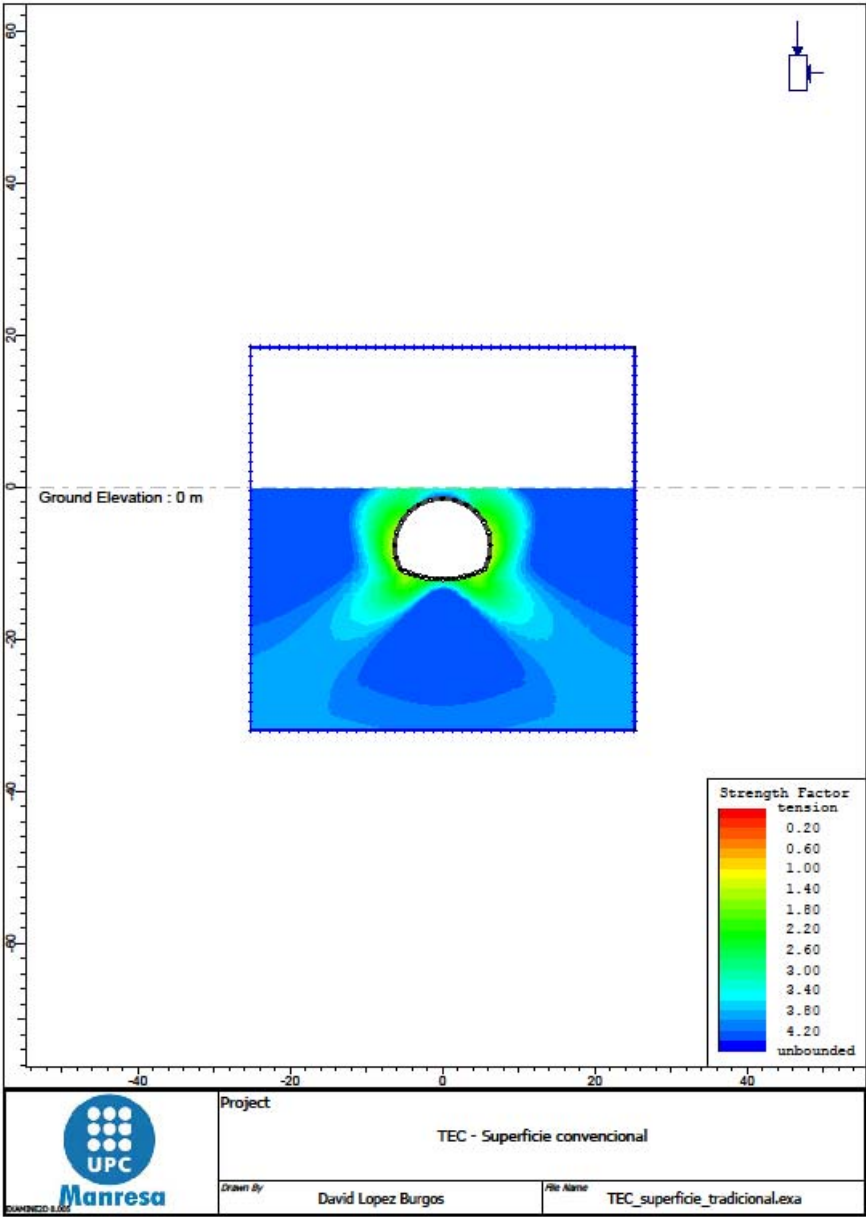


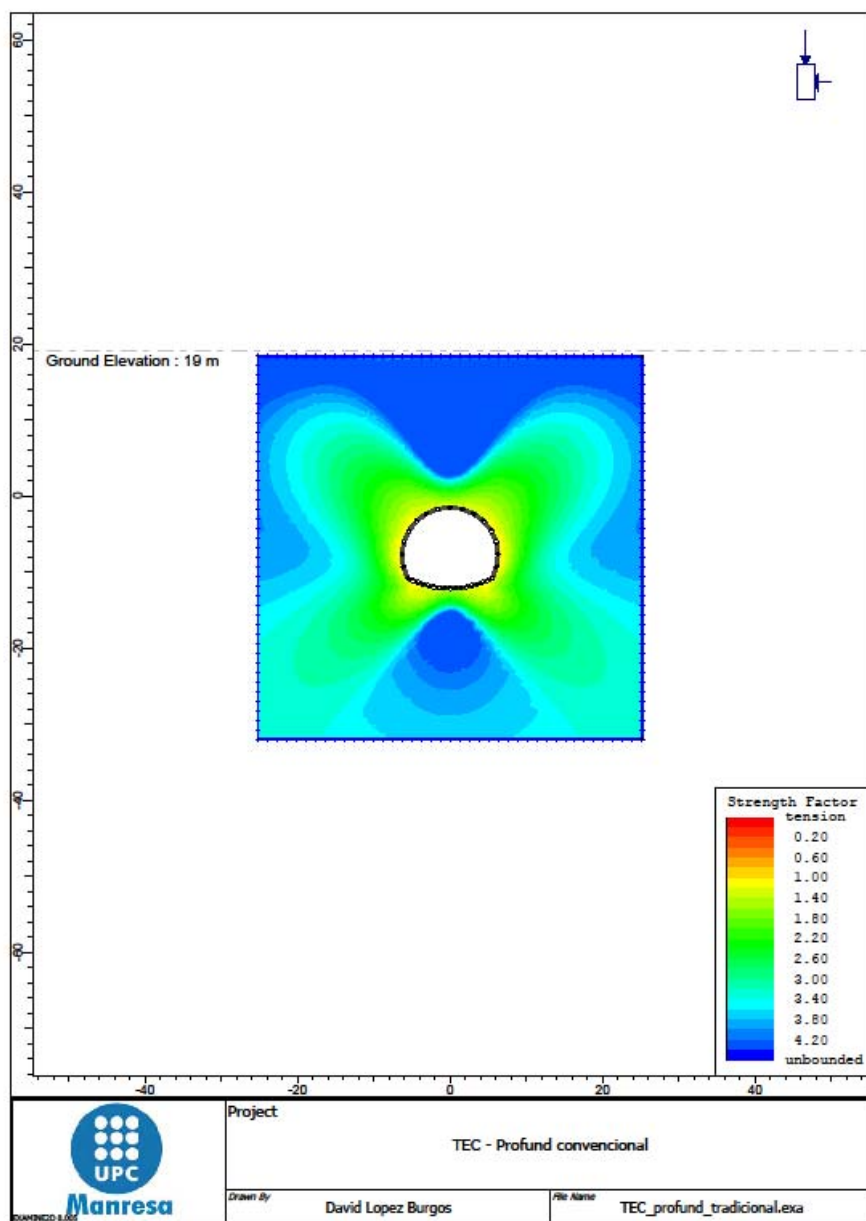


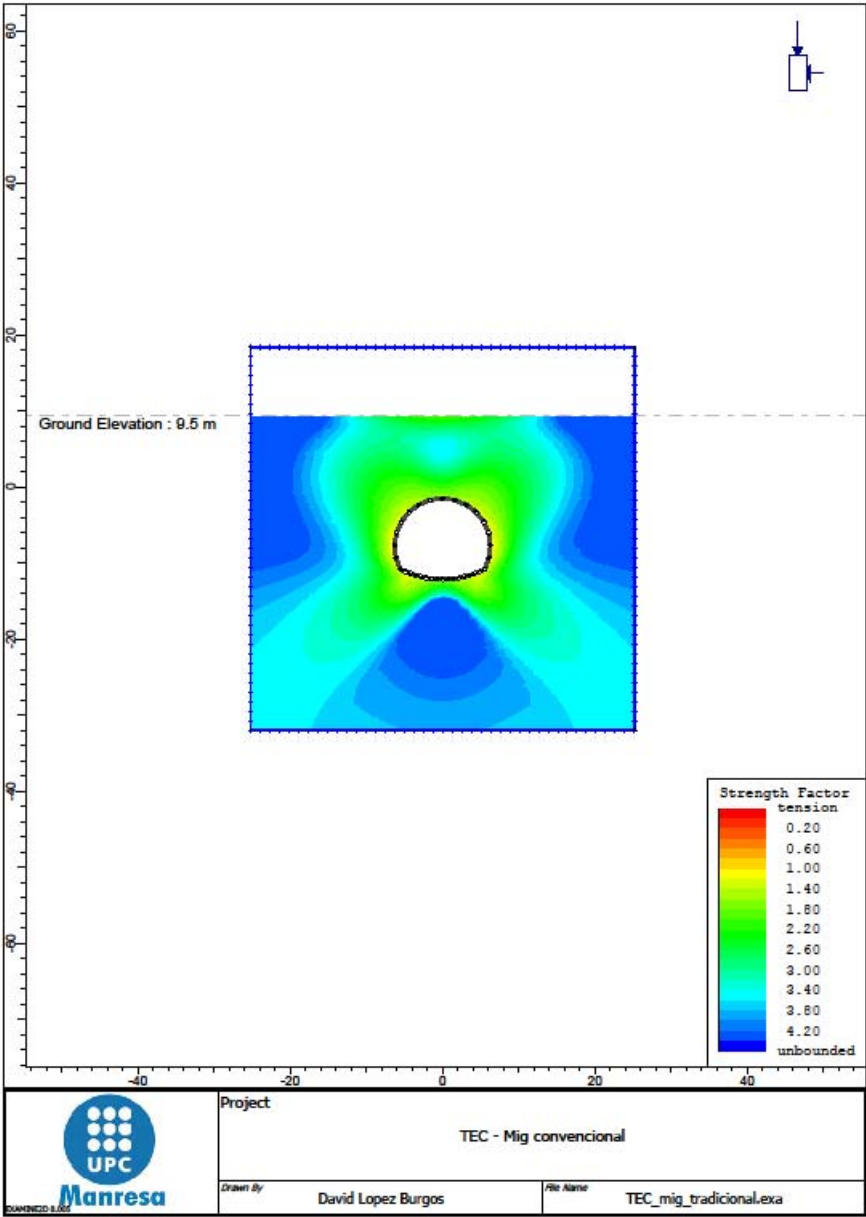


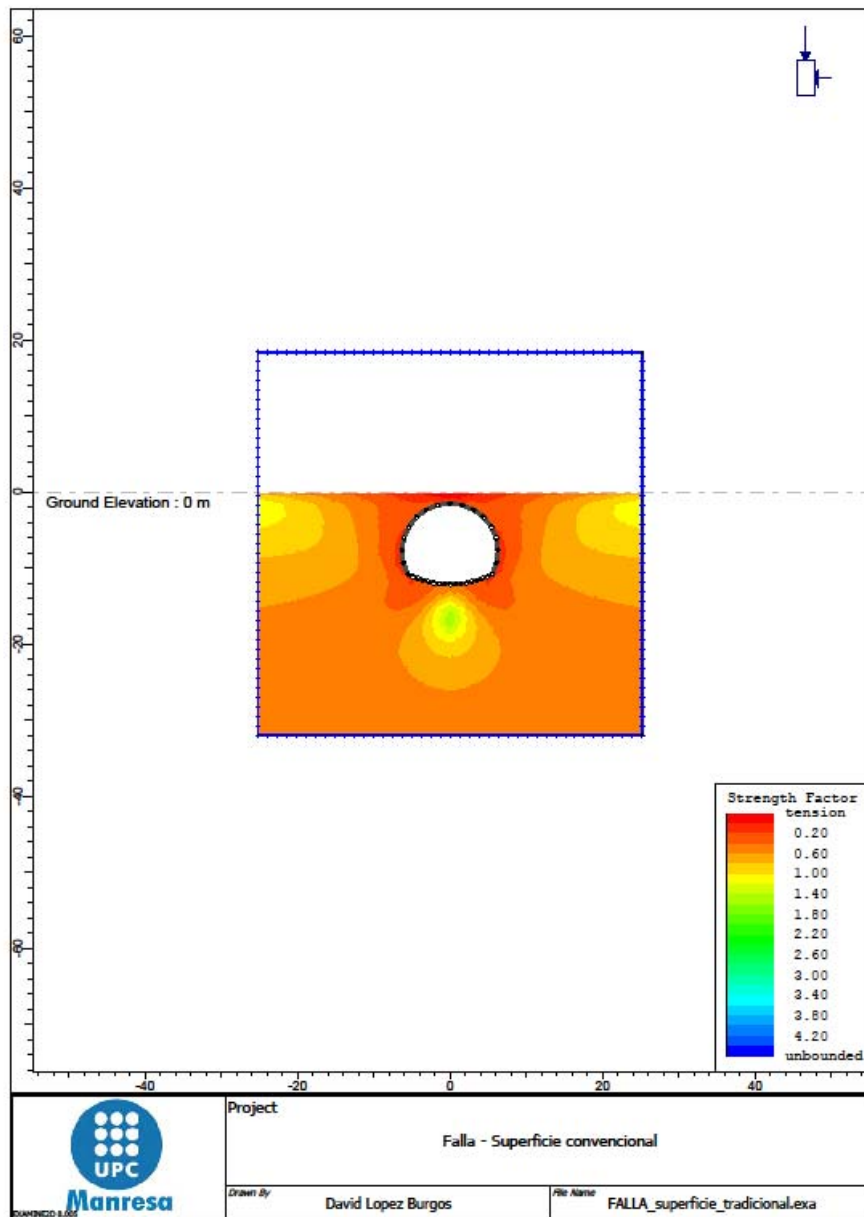


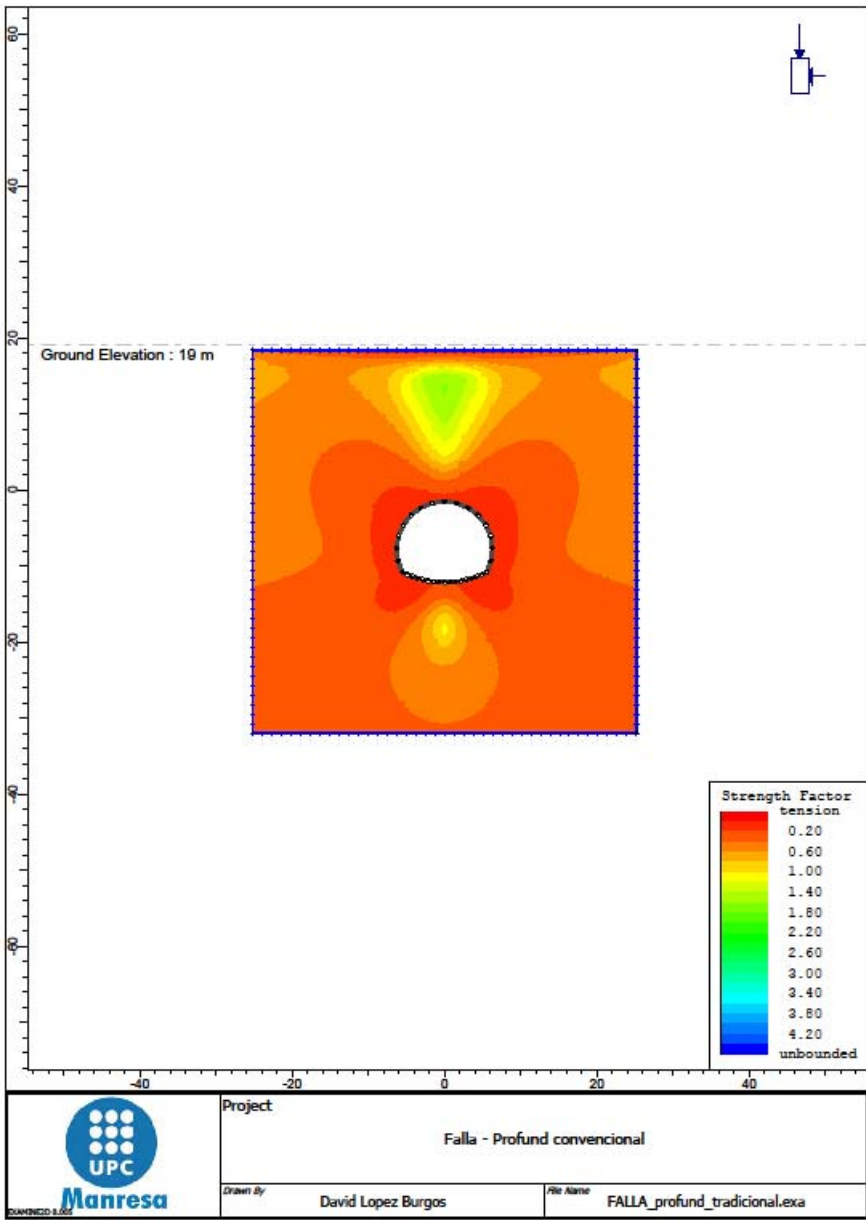


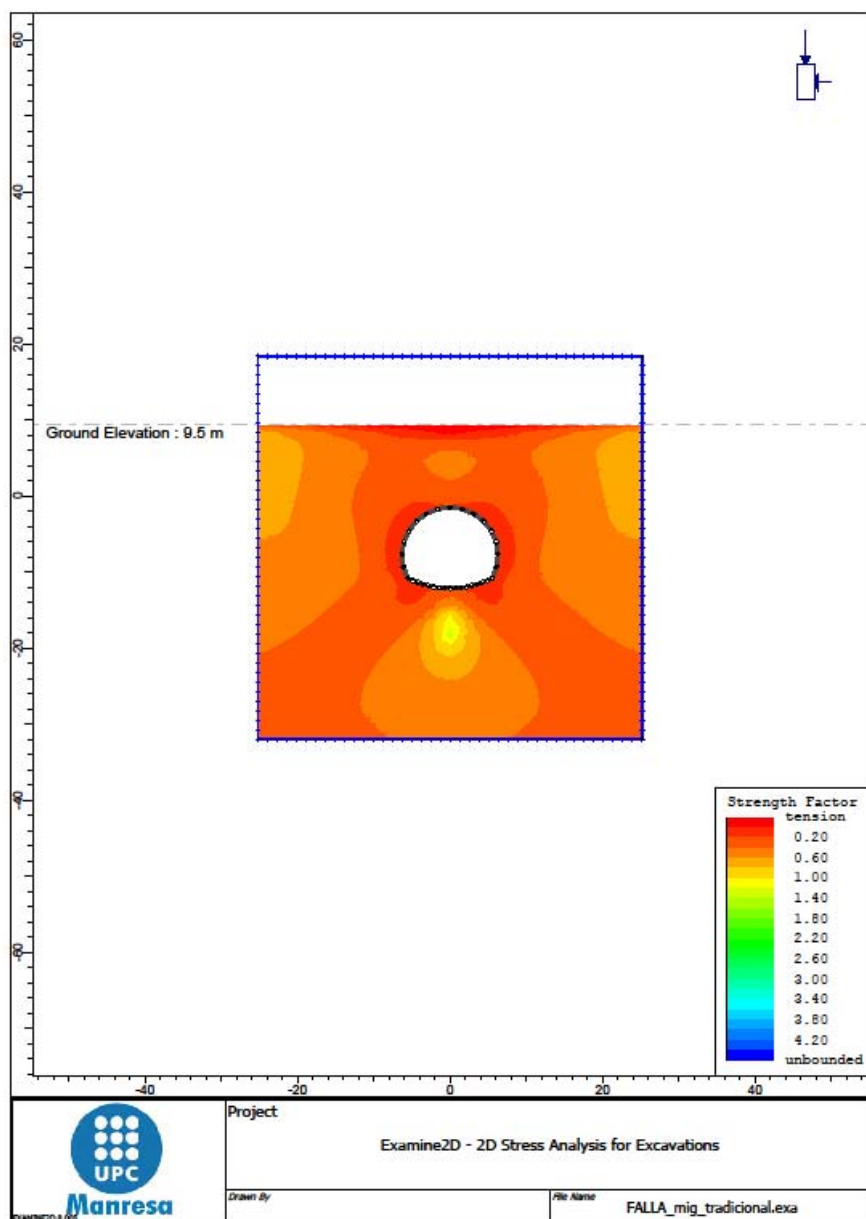












10.7. FAMÍLIES DE DISCONTINUITATS

Cabussament	Direcció
8	320
6	296
7	312
6	325
8	322
1	354
6	289
5	343
5	248
2	342
88	86
90	90
85	270
90	90
85	264
87	90
80	190
6	329
89	281
82	190
12	342
87	268
4	333
3	340
84	267
82	267
82	270
82	266
86	266
80	268
83	273
89	269
82	264
89	267
88	275
85	178
85	176
87	179
5	282
80	84
83	88
90	88
89	92
84	92
86	93

89	83
88	87
84	81
90	83
84	270
82	269
81	269
12	316
7	308
12	297
87	262
89	85
86	266
86	267
75	82
90	83
81	273
85	260
80	264
90	266
81	150
85	174
87	148
81	158
78	157
6	283
7	306
10	284
90	90
90	88
90	90
90	86
90	94
90	98
90	95
90	91
90	92
90	8
90	354
90	327
90	357

10.8. MODEL GEOLÒGIC 3D

Per a poder veure els models 3D s'ha d'obrir el document amb Acrobat Reader i confiar en el document en les opcions.

